

**34325**

CUMHURİYET ÜNİVERSİTESİ  
FEN BİLİMLERİ ENSTİTÜSÜ

**KARBOKSİL UÇ GRUPLU POLİSTİREN/POLİ(VİNİL KLORÜR)  
KARIŞIMLARININ İSİSAL JELLEŞMESİ**

Hacıbayram ZENGİN  
YÜKSEK LİSANS TEZİ  
KİMYA ANABİLİM DALI



Satılmış BASAN  
Danışman Adı

Kimya—Profesör  
Bölümü—Ünvanı

  
İmzası



**KARBOKSİL UÇ GRUPLU POLİSTİREN/POLİ(VİNİL KLORÜR)  
KARIŞIMLARININ İSİSAL JELLEŞMESİ**

Hacıbayram ZENGİN  
YÜKSEK LİSANS TEZİ  
KİMYA ANABİLİM DALI

1994

**FEN BİLİMLERİ ENSTİTÜSÜ MÜDÜRLÜĞÜ'NE**

Bu çalışma, jürimiz tarafından, Kimya Anabilim Dalında Yüksek Lisans Tezi olarak kabul edilmiştir.

**Başkan:** Prof. Dr. Oktay Hümmetoğlu EKBEROV



**Üye:** Prof. Dr. Satılmış BASAN



**Üye:** Yrd. Doç. Dr. Erdener KARADAĞ



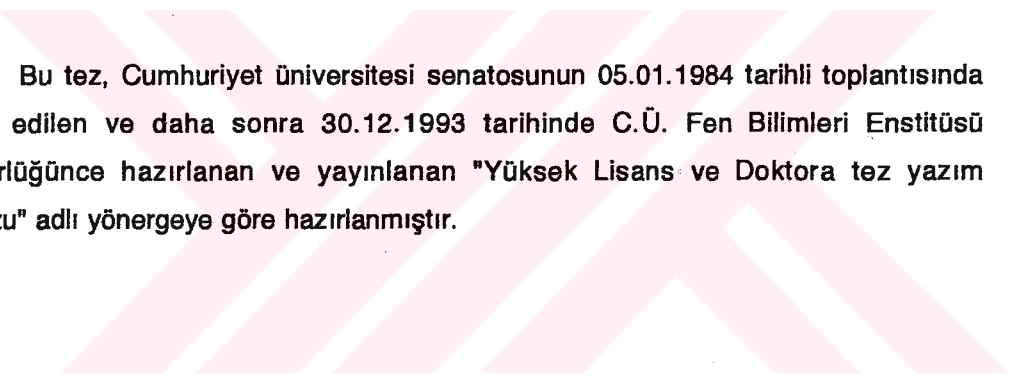
**ONAY**

Yukarıdaki imzaların, adı geçen öğretim üyelerine ait olduğunu onaylarım.

01.10.1994

**FEN BİLİMLERİ ENSTİTÜSÜ MÜDÜRÜ**

Prof.Dr. Fuat ÖNDER



Bu tez, Cumhuriyet Üniversitesi senatosunun 05.01.1984 tarihli toplantılarında kabul edilen ve daha sonra 30.12.1993 tarihinde C.Ü. Fen Bilimleri Enstitüsü Müdürlüğü tarafından hazırlanan ve yayınlanan "Yüksek Lisans ve Doktora tez yazım kılavuzu" adlı yönergeye göre hazırlanmıştır.

## ÖZET

### Yüksek Lisans Tezi

#### Karboksil Uç Gruplu Polistiren/Poli(vinil klorür) karışımlarının İsisal Jelleşmesi:

Hacıbayram ZENGİN  
Cumhuriyet Üniversitesi  
Fen Bilimleri Enstitüsü  
Kimya Anabilim Dalı

Danışman: Prof. Dr. Satılmış BASAN

Günümüzde polimerler ve onun türevleri olan plastikler her alanda kullanılmaktadır. Üretim, işleme ve kullanım aşamalarında her an ısı ve ışın gibi dış etkilere maruz kalmaktadırlar. En çok kullanılan PVC'nin en önemli özelliklerinden birisi ışuya karşı hassas olmasıdır. Değişik ısisal özelliklerinin yanında PVC'nin ısisal jelleşmesi incelenmiş ve jelleşmenin  $253^{\circ}\text{C}$ 'ta başladığı bulunmuştur. PVC'nin ısisal kararlılığını artırmak amacıyla yapılan çalışmalar arasında PS(COOH)/PVC ve PS/PVC karışımının ısisal bozunmasında incelenmiş ve HCl çıkış tepkimesi sonunda beklenenden daha fazla artık bırakıldığı gözlenmiştir. Bunun zincirler arasında oluşan çapraz bağlardan ileri geldiği sanılmaktadır. Bu çalışma ile bu durum aydınlatılacaktır.

Bu nedenle, bu çalışmada, değişik oranlarda hazırlanan PS(COOH)/PVC ve PS/PVC karışımının ısisal jelleşme sıcaklığı viskozimetrik, spektrofotometrik ve jel fraksiyonu yöntemleriyle tayin edilmiştir ve jelleşme sıcaklığının karışım oranı ile ilişkisi araştırılmıştır.

Bunun için, değişik oranlarda hazırlanan PS(COOH)/PVC ve PS/PVC film örnekleri  $10^{\circ}\text{C}/\text{dk}$  ısitma hızı ve  $25\text{cm}^3/\text{dk}$  dinamik azot atmosferi altında oda sıcaklığından  $280^{\circ}\text{C}$ 'ye kadar seçilen belirli sıcaklıklara kadar ısitılmış ve hemen tetrahidrofuran'da çözülerek çözeltileri hazırlanmıştır. Sızılıerek ayrılan çözeltilerin UV-VIS spektrumları kaydedilmiştir. Bu spektrumlardaki 326 nm, 350 nm ve 386 nm dalgaboylarında görülen hörgüçlerin absorbanslarından yararlanarak karışım örneklerinin jelleşme sıcaklıklarını saptanmıştır. Jelleşme sıcaklıklarının bulunması için aynı çözeltilerin viskoziteleri ölçülmüştür. Buna göre karışım oranları %10-%90 arasında değişen PS(COOH)/PVC karışımının jelleşme sıcaklıkları  $253^{\circ}\text{C}$ - $232^{\circ}\text{C}$  arasında bulunmuştur. Viskozimetrik yöntemle bulunan değerler spektrofotometrik ve jel fraksiyonu yöntemiyle karşılaştırılmış ve yaklaşık aynı değerler olduğu görülmüştür.

Her Üç yöntemle bulunan karışım örneklerinin ısisal jelleşme sıcaklıkları, karışım oranının artmasıyla, %50 PS(COOH)/PVC ve PS/PVC karışım oranına kadar büyük bir değişiklik göstermezken bundan daha büyük karışım oranlarında karışım

oranın artmasıyla ısisal jelleşme sıcaklıklarının azaldığı bulunmuştur. Ayrıca yüksek oranda PS(COOH) içeren karışımında PS(COOH) kendisinin'de ısisal jelleşemeye bir miktar katkıda bulunduğu anlaşılmıştır.

Sonuç olarak, PVC' ye %50 oranından fazla PS(COOH) ve PS katılarak onun ısisal jelleşme eğilimini artırmanın mümkün olduğu söylenebilir.

**ANAHTAR KELİMEler:** PVC, PS(COOH), PS, ısisal Bozunma ve ısisal Jelleşme

**SUMMARY****M. Sc.****Thermal Gelation of Blends of Poly(vinyl Chloride) With Polystyrene Having Carboxyl End Groups.**

Hacıbayram ZENGİN  
Cumhuriyet University  
Graduate School of Natural  
and Applied Sciences  
Department of Chemistry  
Supervisor: Prof. Dr. Satılmış BASAN

In todays, polymers and their derivatives is used in every. In the production, processing and use stages, polymers undergo to outside effects such to heat and radiations. The one of the important properties of poly(vinyl chloride) (PVC) is it's sensitivity against to different radiations. The thermal gelation of PVC is investigated with together various thermal properties and it's the thermal gelation temperature is founded as 253°C. In the studies doing to increas the thermal stability of PVC, thermal degradation of blends of PVC with polystyrene (PS) and polystyrene having carboxyl end groups PS(COOH) is observed the dehydrochlorinaiton reaction to left the residue more than expected amount. It is concerned that excecs amount of residue is due to the crosslinking between polymers chains. the cause of this case will be investigated in this work.

For this reason, thermal gelation temperatures of the PS(COOH)/PVC and PS/PVC blends with different ratio's were determined by viscosimetric, spectrophotometric and gel fractions methods and investigated the relation of gelation temparature with mixture ratio's .

The mixed samples in film samples containing PS(COOH) and PS in diffent ratio's are heated at chosen temparatures between room temparature and 280°C Then, the solutions of samples was prepared by dissolving immediately in tetrahydrofurane (THF). The UV-VIS spectra of solution were recorded after filtering of the solutions. The thermal gelation temperature of the samples is determined by using absorbans of shoulder at 326, 350 and 386 nm wavelengths in this spectra. For determinations of thermal gelation temperature of the sample, the viscosities of same solutions is meusured. According to this measurements, the mixtures containing 10%-90% PS(COOH) by weight were found among

253°C– 232°C. The values of thermal gelation temperatures determined by viscometric methods were compared with spectrophotometric and gel fractions methods .

The thermal gelation temperatures of mixed samples is not change with the ratio of mixture up to 50% in the PS(COOH)/PVC and PS/PVC mixture after that, it is found that thermal gelation temperatures decreased with amounts of PS(COOH) and PS in the PVC blends .Futhermore, it is understood that the PS(COOH) contribute to thermal gelation in high ratio's of PS(COOH)/PVC mixtures .

In conclusion, it can be said that it is possible to increase the tendency of thermal gelation of PVC by blending PS(COOH) or PS more than 50% ratio.

KEY WORDS: PVC, PS(COOH), PS, Thermal degradation and Thermal gelation

## TEŞEKKÜR

Bu çalışmanın yönlendiricisi, hocam Sayın Prof. Dr. Satılmış BASAN'a katkılarından dolayı en içten minnet ve şükranları sunarım.

Bu çalışmanın sağlanması için gerekli olan Breon-113 PVC, Bextrene-161 PS ve PS(COOH) maddelerini sağlayan Dr. I.C. Mc NEILL'e teşekkür ederim.

Tepkime mekanizmalarının çıkarılmasında bilgilerine başvurduğum sayın Prof. Dr. Oktay H. EKBEROV'a teşekkür ederim.

UV-VIS spektrumların alımında yardımını esirgemeyen arkadaşım Ali BOZTUĞ'a teşekkür ederim.

Bu tezin yazımında, bilgisayar programlanması ve kullanımında bana yardımcı olan Sayın Yrd. Doç. Dr. Dursun SARAYDIN'a teşekkür ederim.

Hafta sonu çalışmak için, bana laboratuvar'da (Hidrojel Lab.) çalışmama izin veren Sayın Yrd. Doç. Erdener KARADAĞ'a teşekkür ederim.

Ayrıca kimya bölümünün bütün personellerine en içten duygularımla teşekkürlerimi sunarım.

Hacıbayram ZENGİN

## İÇİNDEKİLER

	<b>Sayfa no</b>
ÖZET	I
SUMMARY	III
TEŞEKKÜR	V
ŞEKİLLER DİZİNİ	VIII
ÇİZELGELER DİZİNİ	XIV
SİMGELER ve KISALTMALAR DİZİNİ	XIV
<b>1.GİRİŞ</b>	<b>1</b>
1.1 POLİMERLER HAKKINDA GENEL BİLGİLER	3
1.1.1 Polimerler ile İlgili Temel Tanımlar.	3
1.2. POLİMERLERİN SINIFLANDIRILMASI	6
1.2.1 Molekül Kütlelerine Göre Sınıflandırma	6
1.2.2 Doğada Bulunup Bulunmamasına Göre Sınıflandırma	6
1.2.3. Kaynağına Göre Sınıflandırma	6
1.2.4 Sentez Tepkimesine Göre Sınıflandırma	7
1.2.5. Zincirlerin Fiziksel ve Kimyasal Yapısına Göre Sınıflandırma	8
1.2.6. Isıya Göre Gösterdiği Davranışa Göre Sınıflandırma	9
1.2.7. Zincir Yapısına Göre Sınıflandırma	10
1.3. POLİMERLERİN ORTALAMA MOLEKÜL KÜTLELERİ VE MOLEKÜL KÜLTE DAĞILIMLARI	10
1.3.1.Polimererde Molekül Kütlesi Türleri	11
1.3.2. Sayıca Ortalama Molekül Kütlesi	11
1.3.3. Kütlece Ortalama Molekül Kütlesi	12
1.3.4. Viskozite Ortalama Molekül Kütlesi	12
1.3.5. Molekül Kütlesi Dağılımı	13
1.4 KULLANILAN POLİMERLER HAKKINDA BİLGİLER	14
1.4.1. Poli(vinil klorür)	14
1.4.2 Poli(vinil klorür)'ün Özellikleri	14
1.4.3. PVC nin Isısal Bozunması	15
1.4.4. PVC den HCl Çıkışının Başlama Yereleri	16
1.4.5. PVC de Yapısal Düzensizlikler	16
1.5. Polistiren	18
1.5.1. Polistirenin Isısal Bozunması	19
1.6. Karboksil uç gruplu Polistiren	20
1.6.1. Karboksil uç gruplu Polistirenin Isısal Bozunması	20

1.6.2 Karboksil uç gruplu Polistiren / Poli(vinil klorür) karışımının İsisal Bozunması	21
1.7. ISISAL ANALİZ TEKNİKLERİ	22
1.8. ÇAPRAZ BAĞLANMA ve JELLEŞME OLAYI.	24
1.8.1. Jelleşme Sıcaklığı Saptama Yöntemleri	25
1.8.2 Viskozimetrik yöntem	26
1.8.3. Spektrofotometrik Yöntem	27
1.8.4. Jel Kesri Yöntemi	27
2. YÖNTEM ve TEKNİKLER	29
2.1. Deneyin Yapıldığı Yer ve Tarih	29
2.2. Kullanılan Maddeler	29
2.3. Örneklerin Hazırlanması	29
2.4. İsisal İşlemler	29
2.5. Viskozimetrik Ölçümler.	29
2.6. Spektrofotometrik Ölçümler.	30
2.7. Jel Fraksiyonlarının Belirlenmesi	30
3. DENEYSEL BULGULAR	31
3.1. Vizkozimetrik Bulgular	31
3.2. Spektrofotometrik Bulgular	44
3.3. Jel Fraksiyonu Yöntemiyle Bulunan Bulgular	76
4. TARTIŞMA ve SONUÇLAR	99
5. KAYNAKLAR	109
6. ÖZGEÇMİŞ	111

## ŞEKİLLER DİZİNİ

	<b>Sayfa no</b>
<b>Şekil 1– PVC (Breon-113) 'nin viskozite değerlerinin sıcaklıkla değişimi</b>	<b>3 3</b>
<b>Şekil 2– PS(COOH)'nin viskozite değerlerinin sıcaklıkla değişimi</b>	<b>3 3</b>
<b>Şekil 3– PS (Bextrene-161)'nin viskozite değerlerinin sıcaklıkla değişimi</b>	<b>3 3</b>
<b>Şekil 4– PVC, PS(COOH) ve %10 PS(COOH)/PVC karışımının viskozite değerlerinin sıcaklıkla değişimi</b>	<b>3 4</b>
<b>Şekil 5– PVC, PS ve %10 PS/PVC karışımının viskozite değerlerinin sıcaklıkla değişimi</b>	<b>3 4</b>
<b>Şekil 6– PVC, PS(COOH) ve %20 PS(COOH)/PVC karışımının viskozite değerlerinin sıcaklıkla değişimi</b>	<b>3 5</b>
<b>Şekil 7– PVC, PS ve %20 PS/PVC karışımının viskozite değerlerinin sıcaklıkla değişimi</b>	<b>3 5</b>
<b>Şekil 8– PVC, PS(COOH) ve %30 PS(COOH)/PVC karışımının viskozite değerlerinin sıcaklıkla değişimi</b>	<b>3 6</b>
<b>Şekil 9– PVC, PS ve %30 PS/PVC karışımının viskozite değerlerinin sıcaklıkla değişimi</b>	<b>3 6</b>
<b>Şekil 10– PVC, PS(COOH) ve %40 PS(COOH)/PVC karışımının viskozite değerlerinin sıcaklıkla değişimi</b>	<b>3 7</b>
<b>Şekil 11– PVC, PS ve %40 PS/PVC karışımının viskozite değerlerinin sıcaklıkla değişimi</b>	<b>3 7</b>
<b>Şekil 12– PVC, PS(COOH) ve %50 PS(COOH)/PVC karışımının viskozite değerlerinin sıcaklıkla değişimi</b>	<b>3 8</b>
<b>Şekil 13– PVC, PS ve %50 PS/PVC karışımının viskozite değerlerinin sıcaklıkla değişimi</b>	<b>3 8</b>
<b>Şekil 14– PVC, PS(COOH) ve %60 PS(COOH)/PVC karışımının viskozite değerlerinin sıcaklıkla değişimi</b>	<b>3 9</b>
<b>Şekil 15– PVC, PS ve %60 PS/PVC karışımının viskozite değerlerinin sıcaklıkla değişimi</b>	<b>3 9</b>
<b>Şekil 16– PVC, PS(COOH) ve %70 PS(COOH)/PVC karışımının viskozite değerlerinin sıcaklıkla değişimi</b>	<b>4 0</b>
<b>Şekil 17– PVC, PS ve %70 PS/PVC karışımının viskozite değerlerinin sıcaklıkla değişimi</b>	<b>4 0</b>

<b>Şekil 18– PVC, PS(COOH) ve %80 PS(COOH)/PVC karışımının viskozite değerlerinin sıcaklıkla değişimi</b>	<b>4 1</b>
<b>Şekil 19– PVC, PS ve %80 PS/PVC karışımının viskozite değerlerinin sıcaklıkla değişimi</b>	<b>4 1</b>
<b>Şekil 20– PVC, PS(COOH) ve %90 PS(COOH)/PVC karışımının viskozite değerlerinin sıcaklıkla değişimi</b>	<b>4 2</b>
<b>Şekil 21– PVC, PS ve %90 PS/PVC karışımının viskozite değerlerinin sıcaklıkla değişimi</b>	<b>4 2</b>
<b>Şekil 22– PS(COOH)/PVC ve PS/PVC karışımılarına ait viskozimetrik yöntemle bulunan jelleşme sıcaklıklarının karışım oranı ile değişimi</b>	<b>4 3</b>
<b>Şekil 23– 10°C/dk ısıtma hızı ve 25cm<sup>3</sup>/dk azot atmosferinde oda sıcaklığından değişik sıcaklıklara kadar ısıtılmış olan Breon-113 PVC filmi THF deki çözeltilerinin UV-VIS spektrumları.</b>	<b>4 5</b>
<b>Şekil 24– 10°C/dk ısıtma hızı ve 25cm<sup>3</sup>/dk azot atmosferinde oda sıcaklığından değişik sıcaklıklara kadar ısıtılmış olan karboksil uç gruplu polistirenin PS(COOH) THF deki çözeltilerinin UV-VIS spektrumları.</b>	<b>4 6</b>
<b>Şekil 25– 10°C/dk ısıtma hızı ve 25cm<sup>3</sup>/dk azot atmosferinde oda sıcaklığından değişik sıcaklıklara kadar ısıtılmış olan PS (Bextrene-161)'in THF deki çözeltilerinin UV-VIS spektrumları.</b>	<b>4 6</b>
<b>Şekil 26– 10°C/dk ısıtma hızı ve 25cm<sup>3</sup>/dk azot atmosferinde oda sıcaklığından değişik sıcaklıklara kadar ısıtılmış olan %10 PS(COOH)/PVC karışım filmi THF deki çözeltilerinin UV-VIS spektrumları.</b>	<b>4 7</b>
<b>Şekil 27– 10°C/dk ısıtma hızı ve 25cm<sup>3</sup>/dk azot atmosferinde oda sıcaklığından değişik sıcaklıklara kadar ısıtılmış olan %10 PS/PVC karışım filmi THF deki çözeltilerinin UV-VIS spektrumları.</b>	<b>4 8</b>
<b>Şekil 28– 10°C/dk ısıtma hızı ve 25cm<sup>3</sup>/dk azot atmosferinde oda sıcaklığından değişik sıcaklıklara kadar ısıtılmış olan %20 PS(COOH)/PVC karışım filmi THF deki çözeltilerinin UV-VIS spektrumları.</b>	<b>4 9</b>
<b>Şekil 29– 10°C/dk ısıtma hızı ve 25cm<sup>3</sup>/dk azot atmosferinde oda sıcaklığından değişik sıcaklıklara kadar ısıtılmış olan %20 PS/PVC karışım filmi THF deki çözeltilerinin UV-VIS spektrumları.</b>	<b>5 0</b>
<b>Şekil 30–10°C/dk ısıtma hızı ve 25cm<sup>3</sup>/dk azot atmosferinde oda sıcaklığından değişik sıcaklıklara kadar ısıtılmış olan %30 PS(COOH)/PVC karışım filmi THF deki çözeltilerinin UV-VIS spektrumları.</b>	<b>5 1</b>

- Şekil 31–**  $10^{\circ}\text{C}/\text{dk}$  ısıtma hızı ve  $25\text{cm}^3/\text{dk}$  azot atmosferinde oda sıcaklığından değişik sıcaklıklara kadar ısıtılmış olan %30 PS/PVC karışım filminin THF deki çözeltilerinin UV–VIS spektrumları. **52**
- Şekil 32–**  $10^{\circ}\text{C}/\text{dk}$  ısıtma hızı ve  $25\text{cm}^3/\text{dk}$  azot atmosferinde oda sıcaklığından değişik sıcaklıklara kadar ısıtılmış olan %40 PS(COOH)/PVC karışım filminin THF deki çözeltilerinin UV–VIS spektrumları. **53**
- Şekil 33–**  $10^{\circ}\text{C}/\text{dk}$  ısıtma hızı ve  $25\text{cm}^3/\text{dk}$  azot atmosferinde oda sıcaklığından değişik sıcaklıklara kadar ısıtılmış olan %40 PS/PVC karışım filminin THF deki çözeltilerinin UV–VIS spektrumları. **54**
- Şekil 34–**  $10^{\circ}\text{C}/\text{dk}$  ısıtma hızı ve  $25\text{cm}^3/\text{dk}$  azot atmosferinde oda sıcaklığından değişik sıcaklıklara kadar ısıtılmış olan %50 PS(COOH)/PVC karışım filminin THF deki çözeltilerinin UV–VIS spektrumları. **55**
- Şekil 35–**  $10^{\circ}\text{C}/\text{dk}$  ısıtma hızı ve  $25\text{cm}^3/\text{dk}$  azot atmosferinde oda sıcaklığından değişik sıcaklıklara kadar ısıtılmış olan %50 PS/PVC karışım filminin THF deki çözeltilerinin UV–VIS spektrumları. **56**
- Şekil 36–**  $10^{\circ}\text{C}/\text{dk}$  ısıtma hızı ve  $25\text{cm}^3/\text{dk}$  azot atmosferinde oda sıcaklığından değişik sıcaklıklara kadar ısıtılmış olan %60 PS(COOH)/PVC karışım filminin THF deki çözeltilerinin UV–VIS spektrumları. **57**
- Şekil 37–**  $10^{\circ}\text{C}/\text{dk}$  ısıtma hızı ve  $25\text{cm}^3/\text{dk}$  azot atmosferinde oda sıcaklığından değişik sıcaklıklara kadar ısıtılmış olan %60 PS/PVC karışım filminin THF deki çözeltilerinin UV–VIS spektrumları. **58**
- Şekil 38–**  $10^{\circ}\text{C}/\text{dk}$  ısıtma hızı ve  $25\text{cm}^3/\text{dk}$  azot atmosferinde oda sıcaklığından değişik sıcaklıklara kadar ısıtılmış olan %70 PS(COOH)/PVC karışım filminin THF deki çözeltilerinin UV–VIS spektrumları. **59**
- Şekil 39–**  $10^{\circ}\text{C}/\text{dk}$  ısıtma hızı ve  $25\text{cm}^3/\text{dk}$  azot atmosferinde oda sıcaklığından değişik sıcaklıklara kadar ısıtılmış olan %70 PS/PVC karışım filminin THF deki çözeltilerinin UV–VIS spektrumları. **60**
- Şekil 40–**  $10^{\circ}\text{C}/\text{dk}$  ısıtma hızı ve  $25\text{cm}^3/\text{dk}$  azot atmosferinde oda sıcaklığından değişik sıcaklıklara kadar ısıtılmış olan %80 PS(COOH)/PVC karışım filminin THF deki çözeltilerinin UV–VIS spektrumları. **61**
- Şekil 41–**  $10^{\circ}\text{C}/\text{dk}$  ısıtma hızı ve  $25\text{cm}^3/\text{dk}$  azot atmosferinde oda sıcaklığından değişik sıcaklıklara kadar ısıtılmış olan %80 PS/PVC karışım filminin THF deki çözeltilerinin UV–VIS spektrumları. **62**

<b>Şekil 42–</b> 10°C/dk ısıtma hızı ve 25cm <sup>3</sup> /dk azot atmosferinde oda sıcaklığından değişik sıcaklıklara kadar ısıtılmış olan %90 PS(COOH)/PVC karışım filminin THF deki çözeltilerinin UV–VIS spektrumları.	<b>63</b>
<b>Şekil 43–</b> 10°C/dk ısıtma hızı ve 25cm <sup>3</sup> /dk azot atmosferinde oda sıcaklığından değişik sıcaklıklara kadar ısıtılmış olan %90 PS/PVC karışım filminin THF deki çözeltilerinin UV–VIS spektrumları.	<b>64</b>
<b>Şekil 44–</b> PVC'nin 326 nm, 350 nm ve 386 nm dalgaboylarındaki absorbans değerlerinin sıcaklıkla değişimi	<b>65</b>
<b>Şekil 45–</b> Karboksil uç gruplu polistiren'nin PS(COOH) 326 nm 350 nm ve 386 nm dalgaboylarındaki absorbans değerlerinin sıcaklıkla değişimi	<b>65</b>
<b>Şekil 46–</b> Bextrene-161 polistiren'nin PS 326nm, 350nm ve 386nm dalgaboylarındaki absorbans değerlerinin sıcaklıkla değişimi	<b>65</b>
<b>Şekil 47–</b> %10 PS(COOH)/PVC karışımının 326nm, 350nm ve 386nm dalgaboylarındaki absorbans değerlerinin sıcaklıkla değişimi	<b>66</b>
<b>Şekil 48–</b> %10 PS/PVC karışımının 326 nm, 350 nm ve 386 nm dalgaboylarındaki absorbans değerlerinin sıcaklıkla değişimi	<b>66</b>
<b>Şekil 49–</b> %20 PS(COOH)/PVC karışımının 326nm, 350nm ve 386nm dalgaboylarındaki absorbans değerlerinin sıcaklıkla değişimi	<b>67</b>
<b>Şekil 50–</b> %20 PS/PVC karışımının 326 nm, 350 nm ve 386 nm dalgaboylarındaki absorbans değerlerinin sıcaklıkla değişimi	<b>67</b>
<b>Şekil 51–</b> %30 PS(COOH)/PVC karışımının 326nm, 350nm ve 386nm dalgaboylarındaki absorbans değerlerinin sıcaklıkla değişimi	<b>68</b>
<b>Şekil 52–</b> %30 PS/PVC karışımının 326 nm, 350 nm ve 386 nm dalgaboylarındaki absorbans değerlerinin sıcaklıkla değişimi	<b>68</b>
<b>Şekil 53–</b> %40 PS(COOH)/PVC karışımının 326nm, 350nm ve 386nm dalgaboylarındaki absorbans değerlerinin sıcaklıkla değişimi	<b>69</b>
<b>Şekil 54–</b> %40 PS/PVC karışımının 326 nm, 350 nm ve 386 nm dalgaboylarındaki absorbans değerlerinin sıcaklıkla değişimi	<b>69</b>
<b>Şekil 55–</b> %50 PS(COOH)/PVC karışımının 326nm, 350nm ve 386nm dalgaboylarındaki absorbans değerlerinin sıcaklıkla değişimi	<b>70</b>
<b>Şekil 56–</b> %50 PS/PVC karışımının 326 nm, 350 nm ve 386 nm dalgaboylarındaki absorbans değerlerinin sıcaklıkla değişimi	<b>70</b>
<b>Şekil 57–</b> %60 PS(COOH)/PVC karışımının 326nm, 350nm ve 386nm dalgaboylarındaki absorbans değerlerinin sıcaklıkla değişimi	<b>71</b>

<b>Şekil 58-</b> %60 PS/PVC karışımının 326 nm, 350 nm ve 386 nm dalgaboylarındaki absorbans değerlerinin sıcaklıkla değişimi	<b>71</b>
<b>Şekil 59-</b> %70 PS(COOH)/PVC karışımının 326 nm, 350 nm ve 386 nm dalgaboylarındaki absorbans değerlerinin sıcaklıkla değişimi	<b>72</b>
<b>Şekil 60-</b> %70 PS/PVC karışımının 326 nm, 350 nm ve 386 nm dalga boylarındaki absorbans değerlerinin sıcaklıkla değişimi	<b>72</b>
<b>Şekil 61 –</b> %80 PS(COOH)/PVC karışımının 326 nm, 350 nm ve 386 nm dalga boylarındaki absorbans değerlerinin sıcaklıkla değişimi	<b>73</b>
<b>Şekil 62-</b> %80 PS/PVC karışımının 326 nm, 350 nm ve 386 nm dalga boylarındaki absorbans değerlerinin sıcaklıkla değişimi	<b>73</b>
<b>Şekil 63-</b> %90 PS(COOH)/PVC karışımının 326 nm, 350 nm ve 386 nm dalga boylarındaki absorbans değerlerinin sıcaklıkla değişimi	<b>74</b>
<b>Şekil 64-</b> %90 PS/PVC karışımının 326 nm, 350 nm ve 386 nm dalga boylarındaki absorbans değerlerinin sıcaklıkla değişimi	<b>74</b>
<b>Şekil 65-</b> PS(COOH)/PVC ve PS/PVC karışımılarına ait absorbans ölçümlerinde bulunan jelleşme sıcaklıklarının karışım oranı ile değişimi	<b>75</b>
<b>Şekil 66-</b> PVC'nin jel kesrinin sıcaklıkla değişimi.	<b>77</b>
<b>Şekil 67-</b> %10 PS(COOH)/PVC karışımının jel kesrinin sıcaklıkla değişimi.	<b>78</b>
<b>Şekil 68-</b> %10 PS/PVC karışımının jel kesrinin sıcaklıkla değişimi.	<b>78</b>
<b>Şekil 69-</b> %20 PS(COOH)/PVC karışımının jel kesrinin sıcaklıkla değişimi.	<b>79</b>
<b>Şekil 70-</b> %20 PS/PVC karışımının jel kesrinin sıcaklıkla değişimi.	<b>79</b>
<b>Şekil 71-</b> %30 PS(COOH)/PVC karışımının jel kesrinin sıcaklıkla değişimi.	<b>80</b>
<b>Şekil 72-</b> %30 PS/PVC karışımının jel kesrinin sıcaklıkla değişimi.	<b>80</b>
<b>Şekil 73-</b> %40 PS(COOH)/PVC karışımının jel kesrinin sıcaklıkla değişimi.	<b>81</b>
<b>Şekil 74-</b> %40 PS/PVC karışımının jel kesrinin sıcaklıkla değişimi.	<b>81</b>
<b>Şekil 75-</b> %50 PS(COOH)/PVC karışımının jel kesrinin sıcaklıkla değişimi.	<b>82</b>
<b>Şekil 76-</b> %50 PS/PVC karışımının jel kesrinin sıcaklıkla değişimi.	<b>82</b>
<b>Şekil 77-</b> %60 PS(COOH)/PVC karışımının jel kesrinin sıcaklıkla değişimi.	<b>83</b>
<b>Şekil 78-</b> %60 PS/PVC karışımının jel kesrinin sıcaklıkla değişimi.	<b>83</b>
<b>Şekil 79-</b> %70 PS(COOH)/PVC karışımının jel sıcaklıkla değişimi.	<b>84</b>
<b>Şekil 80-</b> %70 PS/PVC karışımının jel kesrinin sıcaklıkla değişimi.	<b>84</b>
<b>Şekil 81-</b> %80 PS(COOH)/PVC karışımının jel kesrinin sıcaklıkla değişimi.	<b>85</b>
<b>Şekil 82-</b> %80 PS/PVC karışımının jel kesrinin sıcaklıkla değişimi.	<b>85</b>
<b>Şekil 83-</b> %90 PS(COOH)/PVC karışımının jel kesrinin sıcaklıkla değişimi.	<b>86</b>
<b>Şekil 84-</b> %90 PS/PVC karışımın jel kesrinin sıcaklıkla değişimi.	<b>86</b>

Şekil 85-PS(COOH)/PVC ve PS/PVC karışımılarına ait jel fraksiyonu yöntemiyle bulunan jelleşme sıcaklıklarının karışım oranı ile değişimi	87
Şekil 86-PS(COOH)/PVC karışımılarına ait bütün örneklerin 240°C ve 270°C deki viskozite değerlerinin karışım oranı ile değişimi.	88
Şekil 87-PS/PVC karışımılarına ait bütün örneklerin 240°C ve 270°C deki viskozite değerlerinin karışım oranı ile değişimi.	88
Şekil 88-PS(COOH)/PVC ve PS/PVC karışımılarına ait bütün örneklerin 240°C deki viskozite değerlerinin karışım oranı ile değişimi.	89
Şekil 89-PS(COOH)/PVC ve PS/PVC karışımılarına ait bütün örneklerin 270°C deki viskozite değerlerinin karışım oranı ile değişimi.	89
Şekil 90-PS(COOH)/PVC karışımılarına ait bütün örneklerin 240°C ve 270°C ye kadar ısıtılmış olanların 326 nm dalga boyundaki absorbans değerlerinin karışım oranı ile değişimi.	90
Şekil 91-PS/PVC karışımılarına ait bütün örneklerin 240°C ve 270°C ye kadar ısıtılmış olanların 326 nm dalga boyundaki absorbans değerlerinin karışım oranı ile değişimi.	90
Şekil 92-PS(COOH)/PVC ve PS/PVC karışımılarına ait bütün örneklerin 240°C ye kadar ısıtılmış olanların 326 nm dalga boyundaki absorbans değerlerinin karışım oranı ile değişimi.	91
Şekil 93-PS(COOH)/PVC ve PS/PVC karışımılarına ait bütün örneklerin 270°C ye kadar ısıtılmış olanların 326 nm dalga boyundaki absorbans değerlerinin karışım oranı ile değişimi.	91
Şekil 94-PS(COOH)/PVC ve PS/PVC karışımılarına ait bütün örneklerin 270°C deki jel kesri değerlerinin karışım oranı ile değişimi.	92
Şekil 95-PS(COOH)/PVC karışımının Ivs ve absorbans ölçümlerinde bulunan ısisal jelleşme sıcaklıklarının karışım oranı ile değişimi.	93
Şekil 96-PS/PVC karışımının Ivs ve absorbans ölçümlerinde bulunan ısisal jelleşme sıcaklıklarının karışım oranı ile değişimi.	93
Şekil 97- PS(COOH)/PVC karışım örneklerinin jelleşme öncesi sıcaklıklardaki $[\eta]/[\eta_0]$ i değerlerinin karışım oranı ile değişimi	94
Şekil 98- PS/PVC karışım örneklerinin jelleşme öncesi sıcaklıklardaki $[\eta]/[\eta_0]$ i değerlerinin karışım oranı ile değişimi	94
Şekil 99- PS(COOH)/PVC karışım örneklerinin jelleşme sonrası sıcaklıklardaki $[\eta]/[\eta_0]$ i değerlerinin karışım oranı ile değişimi	95

<b>Şekil 100-</b> PS/PVC karışım örneklerinin jelleşme sonrası sıcaklıklardaki $[\eta]/[\eta_0]$ değerlerinin karışım oranı ile değişimi	<b>95</b>
<b>Şekil 101-</b> PS(COOH)/PVC karışım örneklerinin jelleşme öncesi sıcaklıklardaki A/A <sub>0</sub> i değerlerinin karışım oranı ile değişimi	<b>96</b>
<b>Şekil 102-</b> PS/PVC karışım örneklerinin jelleşme öncesi sıcaklıklardaki A/A <sub>0</sub> i değerlerinin karışım oranı ile değişimi	<b>96</b>
<b>Şekil 103-</b> PS(COOH)/PVC karışım örneklerinin jelleşme sonrası sıcaklıklardaki A/A <sub>0</sub> i değerlerinin karışım oranı ile değişimi	<b>97</b>
<b>Şekil 104-</b> PS/PVC karışım örneklerinin jelleşme sonrası sıcaklıklardaki A/A <sub>0</sub> i değerlerinin karışım oranı ile değişimi	<b>97</b>
<b>Şekil 105-</b> PS(COOH)/PVC karışım örneklerinin içindeki PVC miktarı hesaba katılarak bulunan jel kesrinin karışım oranı ile değişimi	<b>98</b>
<b>Şekil 106-</b> PS/PVC karışım örneklerinin içindeki PVC miktarı hesaba katılarak bulunan jel kesrinin karışım oranı ile değişimi	<b>98</b>

### ÇİZELGELER DİZİNİ

<b>Çizelge.1-</b> PS(COOH)/PVC ve PS/PVC karışımlarının viskozimetrik yöntem sonunda bulunan ısisal jelleşme sıcaklıkları.	<b>32</b>
<b>Çizelge.2-</b> PS(COOH)/PVC ve PS/PVC karışımının spektrofotometrik yöntem sonunda bulunan ısisal jelleşme sıcaklıkları.	<b>44</b>
<b>Çizelge.3-</b> PS(COOH)/PVC ve PS/PVC karışımılarına ait jel fraksiyonu yöntemiyle bulunan ısisal jelleşme sıcaklıkları.	<b>76</b>
<b>Çizelge.4-</b> PS(COOH)/PVC ve PS/PVC karışımılarına ait bütün örneklerin 270°C'deki bulunan jel kesri miktarları.	<b>76</b>

### SİMGELER ve KISALTMALAR DİZİNİ

A/A<sub>0</sub>: Karışım örneklerinin belli bir sıcaklıktaki absorbans değerlerinin aynı örneklerin ısıtılmamış heldeki absorbans değerlerine oranıdır.

PS: Polistiren (Bextrene-161)

PS(COOH): Karboksil üç gruplu polistiren

PVC: Poli(vinil klorür) (Breon-113]

$\gamma$ : Jel kesri

LVS: Limit viskozite sayısı

$[\eta]/[\eta_0]$ : Karışım örneklerinin belli bir sıcaklıktaki limit viskozite sayılarının aynı örneklerin ısıtılmamış heldeki limit viskozite sayılarına oranıdır.

## 1. GİRİŞ

Son yarı� yüzyıldan beri naylon, plastik, poliester gibi isimlerle karşımıza çıkan polimer maddeler günlük yaşamımızın vazgeçilmez birer parçası olmuşlardır. Bugün yatak süngerinden dış fırçasına, gömlekten yapıştırıcıya, plastik torbadan otomobilin iç aksamına kadar yaşamımıza giren bu sentetik polimerler başlı başına bir endüstri alanı oluşturarak ülke ekonomilerinde büyük yer tutarlar. Sentetik polimerlerden başka doğada oluşturulmakta olan doğal polimerlerde vardır. Selüloz, nişasta, doğal kauçuk gibi doğal polimerler insanların giyim, barınma ve yiyecek gibi ihtiyaçlarını çok eskiden beri karşılaya gelmiştir. Bunlar arasında nükleik asitler, proteinler gibi biyolojik polimerler canlı organizmanın yaşamsal işlevlerini yerine getirmede büyük rol oynarlar.

Polimer (makromolekül), tanım olarak, küçük ve basit tekrarlanan birimlerden oluşmuş dev bir moleküldür. Polimer molekülü içerisinde tekrarlanan bu küçük, basit kimyasal birime tekrarlanan birim, polimeri elde etmek için başlangıcta kullanılan küçük moleküllü organik maddelere de monomer adı verilir. Bazı çift bağlı organik moleküller; hidroksil, amin, karboksilik asit gibi en az iki fonksiyonlu grup içeren maddeler ve tetrahidrofuran, diokzalan gibi hetero-halkalı bileşikler monomer olarak çok değişik özelliklere sahip polimerlerin elde edilmesinde kullanılmaktadır [Hazer, 1993].

Sentetik polimerik maddeler, ilk kez geçen yüzyılın başlarında elde edilmişlerdir. İçinde bulunduğuuz yüzyılın başlarında da bu tür maddeler, çeşitli amaçlarla kullanılmak üzere endüstriyel ölçülerde üretilmişlerdir. Bu tür maddelerin, makromoleküllerden olduğu varsayımlı 1920 yılında Staudinger tarafından ileri sürülmüştür [Smith, 1964]. Staudinger polistiren ve polioksimetilen için ilk kez uzun zincirli molekül formülleri vermiştir. Polimerik maddeler için ileri sürülen uzun zincir kavramı ile bu maddelerin fiziksel ve kimyasal özelliklerinin anlaşılmasında uygun bir çıkış noktası sağlanmıştır.

Polimerlerin teknolojik alanda önem kazanmalarından sonra, çeşitli ortam ve koşullarda, polimerlerden en iyi sonucun alınması ve kalitenin artılması doğrultusundaki çalışmalarda hızlanarak günümüzdeki şeklini almıştır.

Teknolojik açıdan, polimerlerin işlenebileceği uygun çalışma koşullarının seçimi oldukça ilgi çekmiş ve günümüzde, üzerinde çok çalışılan konulardan birisi olmuştur.

Polimerik maddelerin işlenmesi için çeşitli yöntemler geliştirilmiştir. Bu yöntemler için polimerin termoplastik (ısıyla yumuşayan) ya da termoset (ısıyla yumuşamayan) madde olma özelliği önemlidir.

Endüstride, polimerik maddeler işlenirken önce, ısıyla eritilerek belli kalıplara dökülmekte, sonra basınçla, istenen şekli almaları sağlanmaktadır.

Plastik teknolojisinde kalıplama sıcaklığı denilen bu sıcaklığın iyi bilinmesi gerekmektedir. Kalıplama sıcaklığı, polimerik maddenin yumuşama sıcaklığı ( $T_g$ ) ile ısisal bozunma sıcaklığı arasında bir sıcaklık olmalıdır. Bu nedenle, yapılan çalışmalar, ısıtılan bazı polimerlerin jelleştiğini, jelleşme öncesi ve sonrasında polimerik maddelerin yapısında önemli değişikliklerin olduğunu ortaya koymuştur [Basan, 1991,1993]. Bununla beraber, amaca uygun olan jelleşme bazen istenmekte, bazen de istenmemektedir. İşte bu yüzden, teknolojik açıdan, değişik amaçlarla kullanılan polimerik maddelerin yumuşama sıcaklığının, ve ısisal bozunma sıcaklığının yanında bir de ısisal jelleşme sıcaklığının önceden bilinmesi gerekmektedir.

Yapılan bu çalışmada, en çok kullanılan vinil polimerlerinden olan PVC'nin karboksil uçgruplu polistiren (PSCO OH) ve polistiren'in (Bextrene-161) değişik karışımılarından oluşan film örneklerinin ısisal jelleşme sıcaklığı, viskozimetrik, jel fraksiyonu ve spektrofotometrik yöntemlerle incelenmiş ve karışım oranı ile ısisal jelleşme sıcaklığının nasıl değiştiği araştırılmıştır.

## 1.1 POLİMERLER HAKKINDA GENEL BİLGİLER

### 1.1.1 Polimerler İle İlgili Temel Tanımlar

Polimerler monomer denilen, birbirinin benzeri ya da farklı atomik grupların, az ya da çok olarak tekrarlanması ile oluşan büyük moleküllü maddelerdir [Tager 1978].

En basit organik polimer, etilenin polimerleşme ürünü olan poli(etilen), PE, dir. Etilen katılma tepkimelerine kolaylıkla girebilen doymamış bir hidrokarbondur. İki etilen molekülü bir bütен oluşturmak üzere birleşirler.

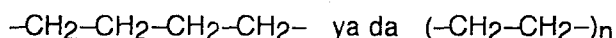


Burada etilen bir monomerdir. Ürün olan büten ise; bir dimerdir. Eğer üç molekül birleşirse trimer, dört molekül birleşirse tetramer, vb. oluşur.  $n$  tane molekülün birleşmesi ile *polimer* oluşur.



Monomerden gelen atomik guruplara monomerik birim yada tekrarlanan birim denir. Çok sayıda tekrarlanan birimden oluşan dev moleküllere makromolekül ya da polimerik zincir adı verilir.

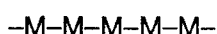
Polimerik zincirdeki zincir başına düşen ortalama tekrarlanan birim sayısı da polimerleşme derecesi adını alır. Polimerleşme derecesi bir kaç birimden, örneğin beş- on bin birime kadar bir aralıkta değişebilir. Büyük polimerleşme derecesine sahip olan polimerlere makromolekül denirken polimerleşme derecesi küçük olana oligomer denir. Polimerler 10.000--1.000.000 aralığında büyük mollekül kütleyerine sahiptirler. Oligomerlerin molekül kütleyeri ise 500-6.000 dolaylarındadır.



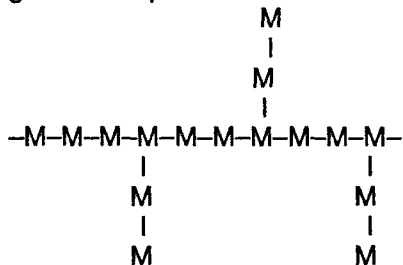
Bir polimerin adı genellikle poli- ön eki kullanılarak monomerin adından türetilir. Örneğin, vinil klorür'ün polimerleşme ürünü poli (vinil klorür) ya da PVC. stirenin ki ise polistiren olarak adlandırılır. Ancak ticari adlar farklı olabilir.

Monomerler, birbirleriyle polimerik zincirler halinde doğrusal, dallanmış yada çapraz bağlı yapılar oluşturacak şekilde birleşebilirler.

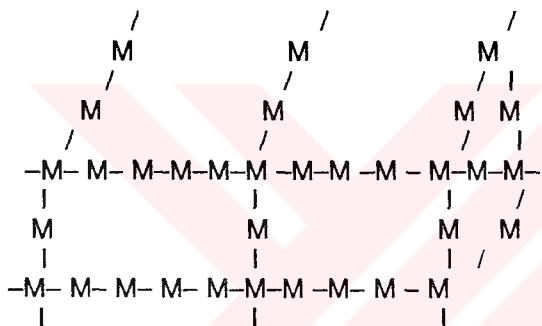
Uzun düz zincirli polimerlere doğrusal polimer denir. Eğer monomer M ile gösterilirse, doğrusal polimer şöyle yazılabilir.



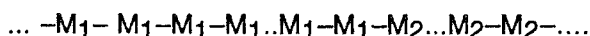
Dallanmış polimerler, sayı ve uzunluğu değişebilen yan dallar ya da zincirlerin bağlandığı uzun bir polimerik zincirden oluşur.



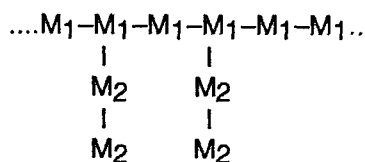
Çapraz bağlı yada üç boyutlu polimerler çapraz bağlarla üç boyutlu bir ağ yapısı oluşturacak şekilde kimyasal olarak bağlanmış uzun zincirli polimerlerdir.



Kopolimerlerde, doğrusal, dallanmış ve çapraz bağlı (ağ yapılı) olabilirler. Ayrıca kopolimerlerdeki monomerler birbiriyle rastgele yada düzenli olarak bağlanabilirler. Monomerlerin rastgele düzelendiği kopolimerlere istatistiksel, rastgele yada düzensiz kopolimerler, diğerlerine ise düzenli kopolimerler denir. Blok kopolimerlerde, her bir monomerin, birleşerek içinde düzenli bloklar halinde ve belli tekrarlanan birimlerden oluşan uzun zincir oluştururlar.



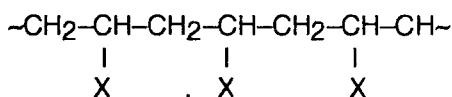
Aşı kopolimerleri ise, ana zincir belli bir monomer türünden, yan zincirler ise başka tür bir monomerden oluşur.



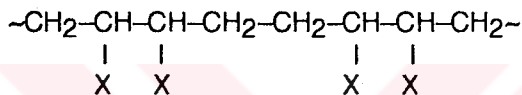
Polimerlerin yapısal özellikleri dikkate alınarak, düzenli, düzensiz; kimyasal olarak homojen, heterojen, mono ya da polimoleküller, (mono ya da polidispers) olarak da sınıflandırılması yapılabilir.

Eğer polimeri oluşturan monomerik birimler zincir boyunca düzgün sıralanmışsa polimer düzenli, sıralamada düzensizlik varsa, polimer düzensiz yapıya sahiptir denir.

Zincirdeki bu düzensizlikler farklı polimerleşme mekanizmasından dolayıdır. Herşeyden önce, zincirdeki düzensizlik, birbirini izleyen aynı monomerlerin zincir üzerinde farklı pozisyonlarda olması sonucudur. Burada baş--kuyruk yada baş--baş ya da kuyruk--kuyruk birleşmeleri önemlidir.

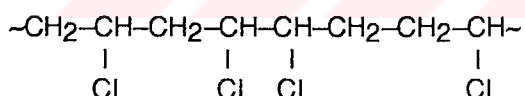


Burada baş--kuyruk birleşmesi olmuştur.



Burada ise baş--baş ve kuyruk--kuyruk birleşmesi olmuştur.

Polimerleşme tepkimesinde genellikle baş--kuyruk birleşmesi görülür, ancak bazı monomerler polimer zincirinin bir bölümünde baş--baş yada kuyruk--kuyruk birleşmesi yaparlar. Bu tip düzensizlikler poli(vinil klorür), PVC polistiren ve diğer bazı vinil polimerlerinde görülebilir.



Polimer ana zincirindeki birimler ile sübstituentler'in (yan gruplar) uzaydaki yöneleride önemlidir. Polimerdeki tüm birimler ve sübstituentler uzayda belli bir düzene göre sıralanmamışsa "stereoirregular" polimer adını alır. Polimerdeki birimlerin ve substituentlerin uzaysal dizilişlerindeki farklılıklar, polimerin konfigurasyonal izomerlerinin oluşmasına neden olur. Bunlar cis-trans ve D, L izomerleridir.

Cis-trans İzomeri ana zincir üzerinde çift bağ içeren polimerlerde bulunur. Cis-izomerinde yan grupların tümü çift bağın oluşturduğu düzlemin aynı yanında, trans-izomerinde ise sırayla her iki tarafta da bulunabilir.

Polimerler, ana zincir üzerinde bulunan bir asimetrik karbon atomundan dolayı D-L izomerine sahip olabilir.

Komşu asimetrik karbon atomları, makromolekül zinciri boyunca aynı uzaysal dizilişe sahipse polimer izotaktiktir. Ana zincirde birbirini izleyen her bir asimetrik karbon

atomunun uzaydaki yönelişi diğerinin tersi olan polimer sindiotaktiktir. Uzayda düzensiz olarak sıralanmış asimetrik karbon içeren polimerler ise ataktik polimerlerdir.

## **1. 2. Polimerlerin Sınıflandırılması:**

### **1.2.1. Molekül Kütlelerine Göre:**

Polimer, tekrarlanan birimlerden oluştuğuna göre küçük molekül kütleyeli (alt sınır=oligomerler) polimerlerden büyük molekül kütleyeli (üst sınır=makromolekül) polimerlere kadar aradaki orta molekül kütleyeli polimerlerde kapsayan geniş bir molekül kütlesi dağılımına sahiptir. Polimer zincirlerinin de birbirlerine çapraz bağlarla bağlanarak büyük bir kütte haline gelmesi durumunda ise molekül kütlesi sonsuz olarak alınır ve bunlar polimerik jeller olarak adlandırılırlar. O halde, molekül kütleyelerine göre sınıflama da polimerler: oligomerler, makromoleküller ve jeller olarak üç gruba ayrılabilir.

### **1.2.2. Doğada Bulunup Bulunmamasına Göre Sınıflandırma:**

Polimerleri en genel biçimde doğal ve yapay olmak üzere iki gruba ayırmak mümkündür. Doğada bulunan ve yaşamın temel maddelerinden olan selüloz, proteinler, nişasta gibi örnekler ek olarak, zamk, lignin ve doğal kauçuk da doğal polimerlere örnek olarak verilebilir. Selüloz doğada ağaç ve bitkilerde bulunur. Proteinler ise çeşitli adlarla örneğin kazein olarak süt ve mamüllerinde; keratin olarak saç, boynuz, tırnak, yün ve ipekte; kollojen olarak kemiklerin yapısında; jelatin olarak, deri ve kemikte bağlayıcı unsur olarak bulunmaktadır. Nişasta ise taneli ve yumrulu bitkilerde bulunur.

Bugün polietilen (PE), poli(vinil klorür) (PVC), polimetil metakrilat (PMMA) (pleksiglas), naylon gibi yaygın olarak bilinen ve kullanılan polimerler doğada bulunmazlar, ancak laboratuvarlarda ve endüstride özel koşullarda elde edilirler.

### **1.2.3. Kaynağına Göre Sınıflandırma**

Kaynağına göre polimerler organik ve inorganik polimerler olarak doğal yapay ayırimına bakılmadan iki gruba ayrılabilir. Bu gruplar da organik yapay, organik doğal; inorganik yapay ve inorganik doğal olmak üzere alt gruplara ayrılabilir.

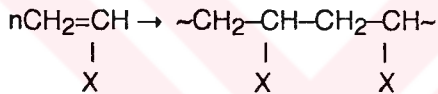
İnorganik yapay polimerler arasında polisülfür ve polisilosanlar sayılabilir. Genel anlamda inorganik polimerler ana zincirde karbon içermeyen, karbona dayalı olmayan polimerlerdir. İnorganik polimerler doğal polimerlere göre genellikle ışığa daha dayanıklı ve serttirler.

#### 1.2.4. Sentez Tepkimesine Göre Sınıflandırma

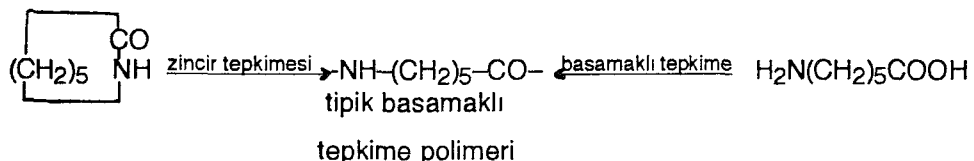
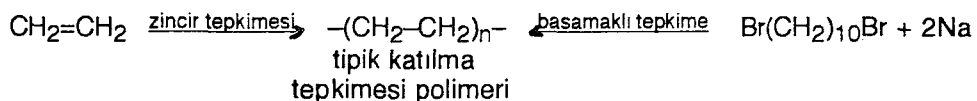
1929 yılında W.H.Carothers polimerleri sentez tepkimelerine göre basamaklı (condensation) ve katılma (addition) polimerleri olmak üzere iki grup olarak sınıflandırdı. [Brydson, 1966. ve Küchler, 1951] Basamaklı polimerler, iki ayrı tür fonksiyonel gruba sahip monomerler arasında küçük bir molekülün ayrılması ile oluşan polimerlerdir. Örneğin; poliester, iki ayrı fonksiyonel grupta monomer arasında bir molekül su çıkararak basamaklı bir tepkime ile oluşur.



Katılma polimerlerinin oluşmasında tek bir monomer vardır ve bir tepkimede küçük bir molekül ayrılması olmaz. En önemli katılma polimerleri, vinil monomerlerinden elde edilen polimerlerdir.



Katılma ve basamaklı polimerler arasındaki önemli fark iki tür polimerin oluşum mekanizmasını açıklayan Flory tarafından aydınlatıldı. Basamaklı polimerler, iki farklı monomerdeki aktif grupların karşılıklı kondenzasyonu (birleşmesi) ile olur. Katılma polimerleri ise tek tür monomerde bulunan etkin merkezlerin ard arda birleştiği zincir tepkimesi ile olur. Bu iki tepkime mekanizmasından, farklı zincir yapıları oluşur. Basamaklı polimerlerin temel birimleri genellikle birimler arası fonksiyonel gruplarla birbirine bağlanırlar, halbuki çoğu katılma polimerleri ana zincirde böyle fonksiyonel gruplara sahip değildir.



Örneklerde görüldüğü gibi bir tür polimer her iki polimerleşme mekanizması ile de elde edilebiliyor. Burada benimsenen sınıflandırma tepkime mekanizmasını esas alır. Buna göre, polimer basamaklı polimerleşme tepkimesiyle elde edilmişse basamaklı

polimer, katılma polimerleşme tepkimesiyle elde edilmişse katılma polimeri olarak sınıflandırılır.

Zincir ve basamaklı polimerleşme tepkime mekanizmaları arasındaki önemli farklar:

#### Zincir polimerleşmesi:

- 1– Sadece büyümeye basamağında bir defada ana zincire tek bir monomer katılır
- 2– Tepkime süresince monomer derişimi kararlı olarak azalır.
- 3– Büyük moleküller hemen oluşur. Tepkime süresince polimerin molekül kütlesi pek az değişir.
- 4– Uzun tepkime süresi verimi artırır, ancak molekül kütlesini çok az etkiler.
- 5– Tepkime karışımı: monomer, polimer ve büyüyen zincirlerin yaklaşık  $10^{-8}$ 'ni içerir.

#### Basamaklı polimerleşme:

- 1– Herhangi iki tür molekül aynı anda farklı zincirlere eklenebilir.
- 2– Tepkime başlangıcında daha  $DP=10$  iken monomerin %1 den azı kalır.
- 3– Tepkime süresince polimerin molekül kütlesi kararlı olarak artar.
- 4– Uzun tepkime süreleri yüksek molekül kütlesi elde etmek için önemlidir.
- 5– Herhangi bir adımda tüm molekül türleri hesaplanabilir bir dağılım gösterir.

### **1.2.5. Zincirlerin Fiziksel ve Kimyasal Yapısına Göre Sınıflama**

Zincirlerin fiziksel ve kimyasal yapısına göre sınıflamada fiziksel yapı dikkate alınarak üç gruba ayırmak mümkündür.

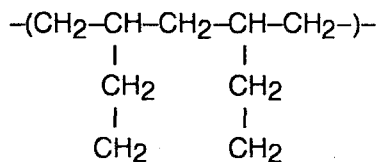
- 1--Düz (lineer) veya doğrusal zincirli polimerler.
- 2--Dallanmış zincirli polimerler.
- 3--Çapraz bağlı polimerler.

Düz zincirli bir polimerin yapısında bahsederken zincirlerin其实 bir ip boyunca bir çubuk şeklinde bulunduğu sanılmamalıdır. Düz yada doğrusal kelimesi fiziksel yapıyı değil kimyasal yapıyı tanımlamaktadır. Örneğin verilen PE zinciri kısaca;

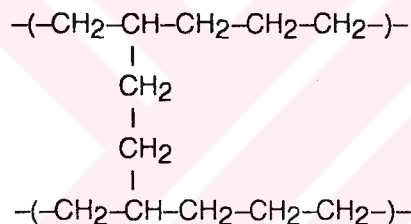


ve nihayet \_\_\_\_\_ düz bir çizgi şeklinde gösterilebilir. Bu anlatımı basitleştirmek için yapılır. Gerçekte polimerlerde karbon atomları çoğunlukla kovalent bağ ile bağlanmıştır. Bunedenle, karbon atomlarının yaptığı  $sp^3$  hibritleşmesine uygun olarak ana zincirdeki karbonlar arasında  $109.5^\circ$  açı bulunur.

Dallanmış polimerlerde karbon atomu en az diğer üç karbon atomu ve bir hidrojen atomu ile bağ yapmaktadır. Örneğin dallanmış polietilen (PE)



olarak gösterilebilir. Dallanmış polimerlerde her dal bir zincire aittir. Bir zincirde birden fazla dal olabilir. Eğer bir dal birden fazla zincire aitse yani zincirler arasında ise çapraz bağlar oluşmuş demektir.



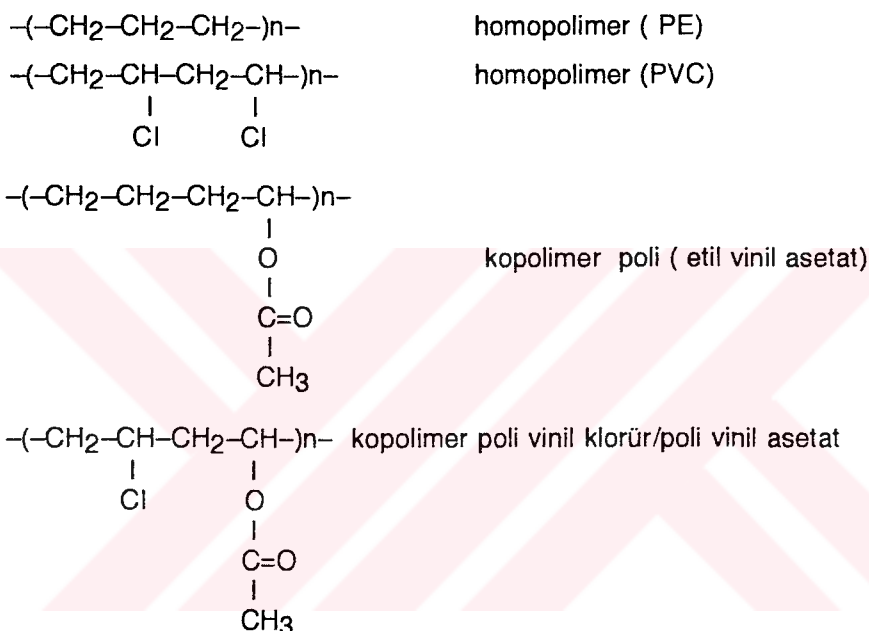
Çapraz bağların az veya çok olması, dallanma miktarı veya dallanmanın hiç olmaması polimerlerin mekanik özelliklerini etkileyen çok önemli faktörlere rdir.

#### **1.2.6. Isıya Karşı Gösterdiği Davranışa Göre Sınıflama**

Uzun "bağımsız" zincirler halinde bulunan düz ve dallanmış zincirli polimer sistemlerine aynı zamanda *termoplastik* adı da verilmektedir. Yüksek oranda çapraz bağ içeren sistemler de, *termoset* veya *termosetting* olarak adlandırılır. Bir termoplastik, sıcaklık yükseldikçe belli bir sıcaklıkta akışkan hale geçebilir. Bu konumda iken uygun bir sistemle örneğin, (enjeksiyonla) bir kalıba doldurulup kalıp soğutularak şekilli madde "*plastik*" elde edilir. Gerektiğinde aynı malzemenin ısıtılarak eritilmesi ve yeniden kalıplanması mümkündür ve bu iş defalarca tekrarlanabilir. Oysa yüksek oranda çapraz bağ içeren bir sistemde (*termoset*) farklı zincir molekülleri birbirine sağlam bağlarla bağlanmış olduğundan zincirlerin tek başına yer değiştirmeleri yani akmaları mümkün değildir.

### 1.2.7. Zincir Yapısına Göre sınıflama

Polimerleri zincir yapısına göre sınıflandırma farklı biçimde yapılabilir. Polimerler tek düz birimlerden oluşursa *homopolimer*, iki farklı birimden oluşursa *kopolimer* adını alır. Bu tanıma göre örneğin poli(etilen) poli(vinil klorür) birer homopolimerdir. Poli(etil-vinil asetat) (EVA) poli(vinil klorür)-poli(vinil asetat) ise birer kopolimerdir.[Basan, 1988]]



Bu kopolimerlerde etilen ve vinil asetat birimlerine ayrı ayrı (A) ve (B) dersek A ile B'nin yan yana gelişisi, geliş-i-güzel ise;  $\text{--A--A--A--B--A--B--}$  geliş-i-güzel *random-kopolimer*, peryodik olarak tekrarlanan belli bir düzene uyularak sıralanmışsa  $\text{--A--B--A--B--A--B--}$  tekrarlanan (*alternating*) *kopolimer* adını alır.

### 1.3. Polimerlerin Ortalama Molekül Kütleleri ve Molekül Kütle Dağılımları

Bir polimerin molekül kütesi ve bunun dağılımı, kullanım yerlerini belirleyebilmesi ve sınıflandırılabilmesi açısından büyük önem taşır. Polimerik maddelerin özellikle de mekanik özellikleri ile molekül kütleleri arasında yakın bir ilgi vardır. Hangi polimerleşme yöntemiyle elde edilirse edilsin, bir polimer sisteminde bulunan polimer zincirinin hepsinin aynı uzunlukta olması mümkün değildir. Kullanılan elde ediliş yöntemine bağlı olarak her boyda zincirlerin bulunabildiği sistemlerin yanında nisbeten daha dar bir dağılıma sahip belli bir boydaki zincirlerin çoğunlukta

olduğu sistemlerde elde edilebilir. Bunlardan her boyda zincirlerin bulunabildiği sistemlere çok dağılımlı anlamında *polidispers* belli bir boydaki zincirlerin çoğunlukta olduğu sistemlere ise tek dağılımlı anlamına gelen *monodispers* sistem denir.

Polimer sistemlerinin çeşitli molekül kütleyi zincirlerin bir karışımı olduğu bilindiğine göre polimerlerde molekül kütleyi için bir ortalama değerden söz edilebilir. Burada çeşitli ortalama molekül kütleyi değerleri ile molekül kütleye dağılımları inceleneciktir.

### 1.3.1. Polimerlerde Molekül Kütlesi Türleri

Bilindiği gibi polimerler monomerlerin kovalent bağlarla ard arda birbirlerine bağlanması ile oluşturular için yüksek molekül kütleye sahiptirler. Molekül kütlesi arttıkça, polimerin erime noktası, yumuşama noktası ve mekanik özellikler gibi belli fiziksel özelliklerinde bir değişme görülür. Ançak belli bir molekül kütlesinin üstünde, yeni katılan tekrarlanan birimin polimer özelliklerini artık pek değiştirmeden gözlenmiştir. Polimerlerin özellikleri bu sınır değere kadar molekül kütleye kuvvetle bağlı olduklarından, belli bir amaçla kullanılacak polimerlerin molekül kütleye denetlenmesi ve değerinin bilinmesi gerekmektedir. Polimerleşme tepkimelerinde, zincir büyümesi tamamen istatistiksel, rastgele olaylara bağlı olduğu için, tümüyle aynı sayıda tekrarlanan birimlerden oluşan homojen bir örnek elde etmek hemen imkansızdır. Bir başka deyişle, yapay polimerler çeşitli zincir uzunluğunda moleküllerden oluşturularından, heterojen, (*polidispers*)'dırler. Bu nedenle, zincir uzunluğu ve buna bağlı olarak molekül kütlesinde bir dağılım söz konusudur. Dolayısıyla, molekül kütleyi için tek bir değer verilemez ancak "ortalama" molekül kütlesi değeri verilebilir. Polimerler için çeşitli molekül kütlesi tanımları yapılmıştır.

### 1.3.2. Sayıca Ortalama Molekül Kütlesi ( $\bar{M}_n$ )

Sayıca ortalama molekül kütlesi, polimerörneğinde bulunan molekül kütleyeının basit aritmetik ortalamasıdır. Kısaca toplam kütleyenin toplam molekül sayısına oranıdır. Ya da polimerin tekrarlanan biriminin kütleyenin sayıca ortalama polimerleşme derecesi ile çarpımıdır.

Örneğin; molekül kütlesi  $M_i$  olan  $i$  tane birim içeren zincirden  $N_i$  tane varsa;

$$\bar{M}_n = \frac{\text{toplam kütleye}}{\text{toplam molekül sayısı}} = \frac{\sum N_i M_i}{\sum N_i} = \frac{\sum w_i}{\sum N_i}$$

Burada  $w_j = M_j N_j$  molekül kütlesi  $M_j$  olan zincirlerin toplam kütlesidir. Toplama  $i=1 \rightarrow \infty$  kadar olan tüm moleküller katılır. Molekül kütlesi ( $M_j$ ) olan moleküllerin sayı kesri, ( $n_j$ ) ve kütle kesri ( $w_j$ ) aşağıdaki eşitliklerle tanımlanır.

$$n_j = \frac{N_j}{\sum N_i} \quad w_j = \frac{M_j}{\sum M_i}$$

Buradan sayıca ve kütlece bileşimi bilinen bir örnek için  $M_n$  aşağıdaki eşitliklerden hesaplanabilir.

$$\bar{M}_n = n_i M_i = \frac{1}{\sum \frac{w_i}{M_i}}$$

Eğer sayıca ortalama polimerleşme derecesi biliniyorsa tekrarlanan birimin molekül kütlesi ile çarpılarak da sayıca ortalama molekül kütlesi bulunabilir.

$$M_n = M_x X_n$$

burada  $M$  tekrarlanan birimin molekül kütlesidir.

### 1.3.3. Kütlece Ortalama Molekül Kütlesi ( $\bar{M}_w$ )

Kütlece ortalama molekül kütlesi  $M_w$  aşağıdaki eşitlikle tanımlanır.

$$\bar{M}_w = \frac{\sum w_i M_i}{\sum w_i} = \frac{\sum N_j M_j}{\sum N_j M_j}$$

Kütlece ortalama molekül kütlesini bulmak için kullanılan deneysel yöntemlerde, her bir molekülün, ölçülen büyülüğe katkısı, onun kütlesiyle orantılı olmalıdır. Örneğin polimer çözeltilerinden saçılan ışığın şiddeti bu saçılmasına neden olan molekül kütlesine bağlıdır. Bu nedenle ışık saçılması deneylerinden kütlece ortalama molekül kütlesi bulunur.. Ayrıca ultrasantrifüjde sedimentasyon (çökme) dengesi deneylerinden de kütlece ortalama molekül kütlesi hesaplanabilir.

### 1.3.4. Viskozite Ortalama Molekül Kütlesi ( $\bar{M}_v$ )

Polimerlerde viskozite ölçümülarından elde edilen ortalama molekül kütlesine viskozite ortalama molekül kütlesi ( $M_v$ ) denir. Viskozite ortalama molekül kütlesi aşağıdaki gibi tanımlanır.

$$\bar{M}_V = (\sum w_i M_i)^{1/a} = \left[ \frac{\sum N_i M_i^{1+a}}{\sum N_i M_i} \right]^{1/a}$$

Burada a, limit viskozite sayısı–molekül kütle bağıntısını veren Mark–Houwing eşitliğindeki sabittir.

$$[\eta] = KM_V^a \quad \text{Mark–Houwing eşitliği}$$

$[\eta]$ , limit viskozite sayısı ya da "intrinsik" viskozite,  $M_V$  viskozite ortalama molekül kütlesi, K ve a polimer–çözücü etkileşmesine ve sıcaklığa bağlı sabitlerdir. Dallanmamış rastgele yumak konformasyonunda polimerler için a genellikle 0.5–0.8 arasında değerler alındığından viskozite ortalama molekül kütlesi  $M_V$ ,  $M_H$  ve  $M_W$  arasında büyülüğe sahiptir. Ancak  $M_W$  değerine daha yakındır. a=1 için  $M_V=M_W$  olur.

### 1.3.5. Molekül Kütlesi Dağılımı

Bir polimer örneğinde molekül kütle dağılımının genişliği pratikte heterojenlik indisini (HI) ile verilir.

$$HI = \frac{\bar{M}_W}{\bar{M}_n}$$

Ancak heterojenlik indisinin bilinmesi, molekül kütlesi dağılımı hakkında tam bir fikir vermez. Polimeri tümüyle karakterize edebilmek için molekül kütlesi dağılımının ayrıntılı olarak bilinmesi gereklidir.

Molekül kütlesi dağılımının bilinmesi polimerleşme tepkimesinin mekanizması için aydınlatıcı bilgiler sağlar. Pratikte polimerlerin işlenebilirliği, film yapma yapma kabiliyeti, mekanik özellikleri, polimerin molekül kütlesi dağılımına bağlıdır.

Molekül kütlesi dağılımı, ya sayıca yada kütlece dağılım olarak verilir [Akovalı, 1984].

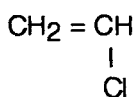
Molekül kütle dağılımını bulmak için, fraksiyonlu çöktürme, fraksiyonlu çözme, kolon fraksiyonlanması, turbidimetrik titrasyon gibi denel yöntemler kullanılır. Jel geçirgenlik kromatografisi (GPC) de kalibrasyon gerektirmesine rağmen çabuk sonuç veren bir yöntem olarak molekül kütle dağılımını ve ortalama molekül kütleselerini bulmada son yıllarda çok kullanılmaktadır [Basan, 1988].

## **1.4 BU ÇALIŞMADA KULLANILAN POLİMERLER HAKKINDA BİLGİLER**

### **1.4.1 Poli(Vinil Klorür) PVC**

Poli(vinil klorür), dünyada en çok üretilen polimerlerden birisidir.. Polimerizasyonu ilk defa 1872 de Baumann tarafından gerçekleştirılmıştır. Üretiminde en çok serbest radikal polimerizasyonu, kütte (bulk), süspansiyon ve emülsiyon polimerizasyon teknikleri kullanılır.

Poli(vinil klorür), vinil klorür monomerinden elde edilir..



### **1.4.2. Poli(Vinil Klorür)'ün Özellikleri**

Yüksek moleküllerarası çekim kuvvetlerinin varlığından dolayı PVC katı ve sert, amorf bir plastiktir. Camsılaşma sıcaklığı  $80^{\circ}\text{C}$  civarındadır. Tamamen sindiotaktik bir polimerin erime noktası  $273^{\circ}\text{C}$  iken ticari polimerin erime noktası  $173^{\circ}\text{C}$ 'tir. Bu nedenle saf PVC'nin (katı PVC) işlenmesi zordur. Bu yüzden ticari olarak plastikleştirici katılmış ya da özel amaçlı kopolimerleri daha çok kullanılır.

Polimerizasyon sırasında zincir sonlarında çift bağlar oluşabilir. Bunlar zincir aktarımı ve ayrı ayrı sonlanma (disproportionation) ile oluşabilir. Yüksek sıcaklıkta, bu çift bağlarla komşu çift bağlar, rezonansa girerek kararlılığı artırır ve hemen HCl çıkararak polimer zinciri biraz daha kararlı hale geçer. PVC'de bulunan bu çift bağlar tekrar klorlanarak ısıya daha dayanıklı polimer elde edilebilir. HCl çıkışını önlemek için tüm ticari PVC türleri kararlı kılıcı (stabilizer) madde içerir.

PVC, işleme (proses) sıcaklığında bile ısı ve ışık etkisiyle renklenebilir. Isısal bozunmada HCl çıkar, bunun sonucu olarak bir konjuge çift bağ sistemi oluşur. Aynı zamanda sarımsı beyazdan, sarı, kahverengi ve siyaha kadar değişir. Bu renk değişimi, yalnız polien yapısının oluşumundan değil, kısmen yüklü transfer komplekslerinin varlığından da kaynaklanabilir. Ayrılma tepkimesi (elimination) zincir uçlarına yakın çift bağlardan başlar. [Elias, 1977]. Tam bir HCl ayrılma mekanizması kurulamaz. Bozunmada jelleşmenin gözlenmesi aynı zamanda zincirler arası ayrılma tepkimesinin de olduğunu gösterir. Bu tepkimede, trans-vinilen yapısının büyük bir etkisi vardır. Trans- vinilen yapısı büyük olasılıkla vinil klorür ana birimi ile başlatıcı radikallerinin tepkimeye girmesi sonucu oluşur. [Elias, 1977.].

PVC için en etkin kararlı kılıcılardır;

- organik-inorganik kurşun tuzları,
- ikinci grup metalleri ile bazı geçiş metallerinin (Ba, Cd, Zn v.b.) organik türevleri,
- dört değerlikli kalayın organik türevleridir.

Bu ilk kararlı kılıcılardan çift bağlarda bir azaltma yaparak moleküller arası bir çapraz bağlanmaya neden oldukları görülmesine karşın bozunmaya karşı gerçekten koruyucu değildir. [Elias, 1977].

Işık etkisiyle bozunma bir oksitlenme tepkimesidir. Çünkü HCl ayrılması ile birlikte polimerde karbonil grupları oluşur. Buna karşılık ısisal bozunmada renklenme olmadan önce bile mekanik özelliklerde değişme başlar. Bu nedenle, aldehit ve ketonlarla, fenol ve aminlerin kondenzasyon ürünleri kararlı kılıcı olarak eklenir.

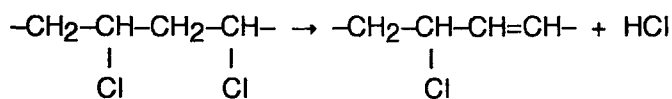
Pek çok kullanım alanı olan PVC'nin en büyük sakıncası ısı ve ışığa karşı çok kararsız olmasıdır. Bu nedenle çok düşük sıcaklıklarda bile (yaklaşık 100°C) hemen bozunmaya başlar.

#### **1.4.3. Poli(Vinil Klorür)'ün ısisal Bozunması**

PVC en çok kullanılan termoplastik polimerlerden biridir. En üstün tarafı, gerek katı gerekse plastikleştirici katılmış ürünü olsun çeşitli kullanım alanlarına uygun çok değişken özelliklere sahip olmalıdır. PVC gibi plastikleştirici ile yapılan modifikasyonlarında bu kadar çok değişiklikler gösteren başka bir polimer yoktur. Bununla birlikte, yukarıda belirtildiği gibi bütün vinil klorür polimerleri ısı ve ışığa karşı çok dayanıksızdır. Bu dayanıksızlık polimer yapısında büyük değişikliklere yol açar. Bozunma sırasında, polimerdeki renklenme ile karakterize edilen HCl çıkışına paralel olarak bir dizi istenmeyen mekanik, optik ve elektriksel özellikler ortaya çıkar.

Polimerin büyük pratik önemine paralel olarak PVC'nin ısisal ve fotokimyasal bozunma üzerine uzun zamandır çalışılmaktadır. Son yıllarda PVC'nin parçalanmasını ve mekanizmasını inceleyen birçok çalışma yapılmıştır.

PVC'nin bozunmasında ilk temel olay oldukça düşük sıcaklıkta başlayan (yaklaşık 100°C) HCl çıkışıdır. İlk aşamada bu tepkime bir çift bağ oluşumuna yol açar.



Bu adımı izleyen ve fermuar açılmasına benzeten bir tepkime ile (unzipping reaction) HCl çıkışları sürer. Sonuç polimer zincirinde konjuge olmuş bir çift bağ sistemidir. Bu

oluşan polien zincirinin uzunluğunun artmasıyla polimerin ışık absorbsiyonu daha uzun dalga boylarına; UV bölgesinden görünür bölgeye doğru kayar. Bu nedenle tepkime polimerin rengindeki sarıdan portakal rengi, kırmızı, kahverengi siyaha kadar değişme ile görsel olarak da izlenebilir. Daha yüksek sıcaklıklarda PVC'nin ısisal bozunmasının ikinci aşamasında önce oluşan polien yapısı zincir kesilmesine uğrayarak benzen, toluen ve benzeri aromatik ürünler verir.

PVC ile yapılan ilk çalışmalarında daha çok çıkan HCl'in suda soğurularak saptanmasına dayanan yöntemler kullanılmıştır. Burada en büyük sorun, çıkan HCl'in soğurucu ortamda tamamen tutulmamasıdır. [Braun, 1975]. Son yıllarda ısisal tekniklerin gelişmesiyle PVC'nin ısisal bozunması, kütleye kaybına dayanan termogravimetri (TG) tekniği ile incelenmektedir.

#### **1.4.4. PVC'den HCl Çıkışının Başlama Yüreleri**

PVC'den HCl çıkış tepkimesinde en önemli nokta nisbeten yüksek aktivasyon enerjisi gerektiren başlangıç adımındadır. Düşük moleküllü kloroetanlarlarındaki bilgilerimize göre ideal PVC'nin ısiya daha dayanıklı olmasını, kısmen parçalanmaya uğramış PVC'nin ise daha dayanıksız olmasını bekleyebiliriz. Bu nedenle, HCl çıkışının başlangıç yüreleri olarak çeşitli yapısal düzensizlikler literatürde tartışılmış ve aşağıda özetlenmiştir.

- 1-Doymamış uç gruplar ve başlatıcıdan kalan zincir uçları.
- 2-Dallanmalar.
- 3-Zincir üzerinde rastgele dağılmış allilik klorlu doymamışlıklar.
- 4-Oksitlenmiş yapılar.
- 5-Baş baş birleşmesi yapmış olan birimler.

Bozunma tepkimesinin çok karmaşık olmasından ve PVC yapısının aydınlatılmamasındaki güçlükler nedeniyle son yıllarda PVC'nin yerine ona benzer düşük molekül küteli model bileşiklerin ısisal kararlılıklarını incelenerek HCl'in çıkış tepkimesinin zincirdeki başlama yerleri aydınlatılmaya çalışılmıştır.

#### **1.4.5. PVC'deki Yapısal Düzensizlikler**

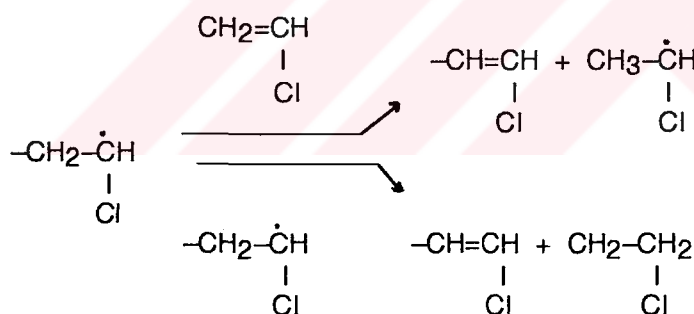
PVC içindeki allilik klorlu gruplar, ısisal olarak doymamış uç gruplarından daha kararsızdır. Bu sonuç yarı deneysel hesaplamalarda desteklenmiştir. Zincir kesilmesi ile molekül kütlesinde değişme viskozimetrik yöntemle, zincir içindeki çift bağ sayısı spektrofotometrik yöntemle takip edilebilir. Buna göre, normal PVC'de her 1000 karbon atomu başına 15'e kadar zincir içi çift bağ beklenebilir.

Polimerin ısisal kararlılığı ile zincir içi çift bağların sayısı arasında bazı ilişkilerde bulunmuştur. Bu nedenle de, PVC'nin ısisal kararsızlığının ana nedeninin bu bağların olması oldukça olası görülür.

Polimer zincirindeki çift bağların kaynağı açıklanamamıştır. Bu bağların bir kısmının polimerleşmeden sonra kurutma ve benzeri işlemler sırasında oluşma olasılığı vardır.

PVC'de yapısal düzensizliğe yol açan nedenlerden biride, ana zincir üzerinde var olan dallanmadır. Bu dalların ucunda ayrı sonlanma ve transfer ile oluşan çift bağlar yapıya kararsızlıklar getirirler ve ısisal kararlılığı etkilerler. Uç gruplar da yapıya düzensizlikler getirebilir. PVC iki tür uç grup içerebilir. Bunlardan biri polimerleşme başlatıcısının parçalanmasından oluşan uç gruplar, diğeride polimerleşme sırasında monomere zincir aktarımı ile ya da sonlanma sırasında ayrı ayrı sonlanma yoluyla oluşan doymamış uç gruplardır. Polimerleşme koşullarının önemi polimerin ısisal kararlılığı bakımından belki önemlidir ama, uç grubun yapısı PVC'nin düşük ısisal kararlılığı için bir neden olarak düşünülemez.

Asıl önemli olan, PVC'deki doymamış uç gruplarının etkisidir. Bu gruplar ya ayrı ayrı sonlanma ile ya da monomere zincir aktarımı ile olabilir.



Son yıllarda bir çok araştırmacı PVC zincirinin ucundaki çift bağları, onun düşük ısisal kararlılığını ana nedeni olarak tartışımlardır.

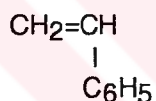
PVC'de çeşitli oksijen içeren yapılar da bulunabilir. Bu tür yapılar polimerleşme sırasında az miktarda oksijenle polimerin oksitlenmesi ile oluşur. Böyle durumlar, PVC için yapısal bir düzensizliği ortaya çıkarabilir.

PVC'den HCl çıkışının başlama yeri, ya da bozunma başlangıcı için, diğer bir olasılık baş-baş birleşmesi yapmış birimler olabilir. Ancak bu konu pek az çalışılan bir konu olduğu için deneysel kanıtı da azdır.

### 1.5. Polistiren

Polistiren, doğrusal bir polimerdir. Ticari polimer ataktik ve amortur. İzotaktik polistiren'in ticari olarak üretimi avantajlı bulunmaktadır. Optik özellikleri mükemmeldir. Yüksek kırılma indisi (1.60) plastik optik parçalar yapımına olanak sağlar. Güneş ve hava etkilerinden zarar gördüğü için dış kullanım için uygun değildir. 80–85°C den yukarıda yumuşamaya başladığı için sterilizasyona uygun değildir. İyi bir elektrik yalıtkanıdır. Isı ve elektrik yalıtkanı olarak, ambalaj malzemesi olarak kullanılır. Şişe mantarı, soğutmalı kabinlerinin, optik parçaların sinema fotoğraf filmlerin yapımında, mikroskoplarda ve fotometrelerde kullanılır. Duvarların ısı yalıtımı için duvar aralarına polistiren yapraklar konulmaktadır.

Polistiren, stiren monomerinden elde edilir.



**Polimerleşmesi:** Stiren'in polimerleşmesi kütle polimerleşmesi, çözelti polimerleşmesi, emülsiyon ve süspansiyon polimerleşmesi olmak üzere dört ayrı şekilde gerçekleştirilmektedir.

**a – Kütle polimerleşmesi:** polimerleşme reaksiyon ısısı tüm kütleye homojen olarak yayılacaklarından dolayı ürünü kalite düşüklüğüne sebep olur. Bunun için polimerleşme 85°C de iki aşamada, alüminyum kaplarda yapılır. Önce bir peroksit başlatıcı ile % 35 polimerleşme sağlanarak vizkoz polistiren çözeltisi elde edilir. Sonra bu polimer şurubu silindirik kulelerde 100-200°C de tamamen polimerleştirilir. Kulelerin altından ermiş polimer alınır. Çubuklar halinde çekiliп dogranarak granül polimer elde edilir.

**b – Çözelti polimerleşmesi:** benzen ya da siklohekzanon içinde yapılır. Böylece, tepkime ısısı ve viskozite artışından ileri gelen karıştırma sorunu azalır. Ancak, bu kez, çözücüün polimer içinden tamamen giderilmesi zordur.

**c – Emülsiyon polimerleşmesi:** için monomer su ile karıştırılır. Suda çözünen bir başlatıcı ve bir emülsiyon yapıcı (sodyum oleat, %5 oranda) katılır. Polimerleşme pH'a çok bağımlı olduğundan tampon kullanılarak küçük pH değişimleri önlenmiş olur. Isı ve karıştırma bu tür polimerleşmede tamamen giderilmiş olur.

**d – Süspansiyon polimerleşmesi:** stiren suda karıştırılır. Başlatıcı olarak stirende çözünen bir katalizör (benzoil peroksit) ve bir stabilizatör katılır. Isı sorunu tamamen

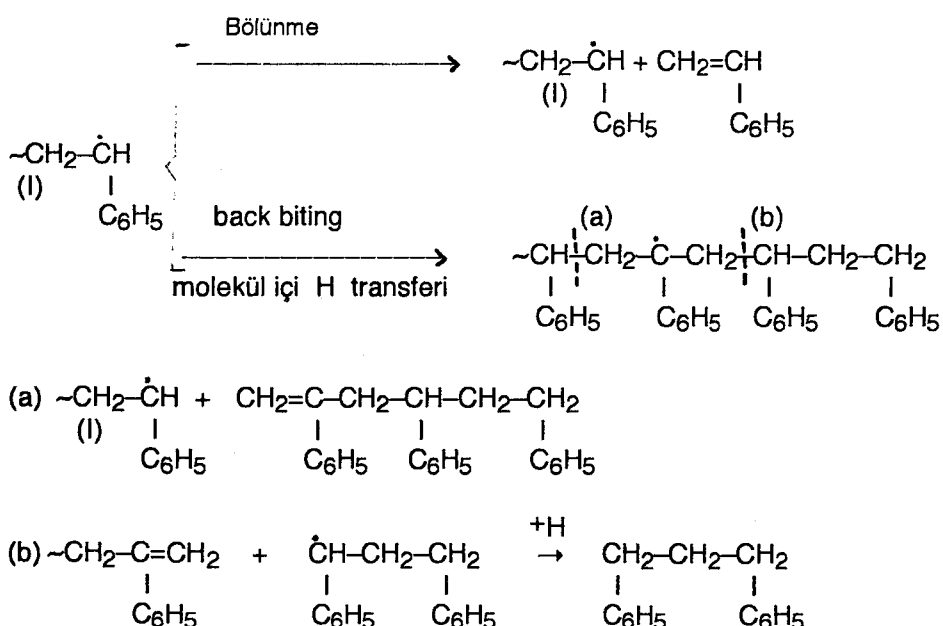
giderilmiş olmalı ve ürün boncuk şeklinde elde edilmekte, yıkanıp kurutuluduktan sonra doğrudan depolanmaktadır [Hazer, 1993].

### 1.5.1 Polistirenin İsisal Bozunması

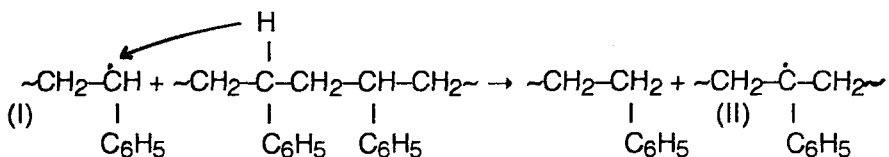
Ya başlangıçta orijinal olarak bulunan ya da bozunma sırasında oluşan zincir uçları, anyonik polistirenlerin ısisal bozunmasında başlatıcı rolü oynadığına dair doğrudan kanıtlar verilmektedir. Bozunmanın ilk aşamalarında her iki zincir ucunda,  $(CH_2(C_6H_5)-)$  tipi birimler bulunan polistiren de, en olasılıklı bağ kopması, toluen ve doymamış bir üç biriminin  $(CH_2=C(C_6H_5)-CH_2)$  oluşumunu gerektirir. Politiren'in monomer, dimer, trimer vb. fragmentlere depolimerleşmesi, daha sonra doymamış zincir uçlarında, depolimerleşen makroradikal ve  $\alpha$ -metil stiren veren başka zincir kesilmelerini de başlatır.

Bozunmanın ilk aşamalarından sonra, doymamış üç grup oluşumuna daha fazla katkı, depolimerleşme sırasında meydana gelen zincir transfer tepkimeleri ile sağlanır. Doymamış zincir uçlarının derişimi depolimerizasyon işlemi boyunca artar, ve böylece uçlu depolimerleşme ürünlerinin oluşumu artar. Bu başlama mekanizmasına göre, polimerin orijinal molekül kütlesinden bağımsız olarak, bozunma boyunca  $\alpha$ -metil stiren oluşumu ve kütle kaybının hızları arasında sabit bir oran bulunmaktadır.

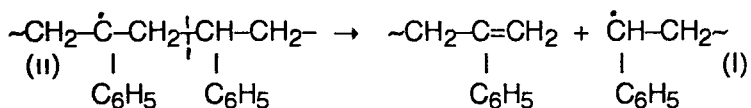
Özetle, geniş kabul gören depolimerleşme mekanizması, monomer veren bölünme ve dimer, trimer vb. oligomeric fragmentler veren moleküller içi transfer veya "back biting" tepkimeleri olmak üzere iki paralel tepkime verecek bir makroradikalın varlığını esas alır [Costa 1982].



Makroradikal (I)'in uğradığı molekül içi zincir transferi oluşumu aşağıda gösterilmiştir.



Makroradikal (II); bir makroradikalın tekrar oluşumu ve doymamış zincir ucu veren bir  $\beta$  bölünmesine uğrar.



Yukarıdaki sonuçlara göre orijinal molekül kütlesinden bağımsız olarak ( $\geq 4000$ ) polistirenin bozunması boyunca, depolimerleşme basamağını aynı mekanizmanın kontrol ettiği söylenebilir [Costa, 1982].

### 1.6. Karboksil Uç Gruplu Polistiren PS(COOH)

Karboksil uç gruplu polistiren, stiren oligomerlerinden anyonik polimerleşme ile elde edilebilir.

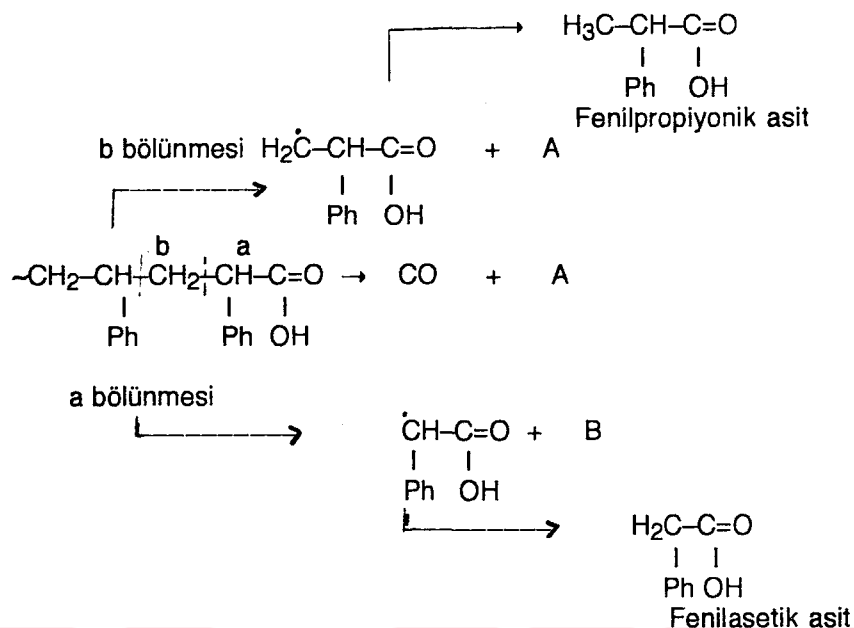
Azot atmosferindeki THF içinde sodyum ve naftalin etkileştirilerek sodyum naftalinid başlatıcı çözeltisi elde edilir. Sonra, yine azot atmosferinde bir yandan bu çözelti şiddetle karıştırılırken bir yandan da üzerine stiren monomeri damla damla eklenir. Bu sırada başlatıcı çözeltisinin yeşil rengi kırmızıya döner. Bu stiren polimerleşmesini sağlayacak stiren radikal-anyonunun olduğunu gösterir.

Karboksil uç gruplu polistiren özel bir yöntemle elde edilir; Kuru karbondioksit stirili çözücülarından, geçirilir, kısa sürede kırmızı renk kaybolur ve dikarboksil iyonlarının oluşumu ile viskoz bir sıvı elde edilir. Sonra bir kaç mL asitlendirilmiş metanol eklenir. Polimer saflaştırılıp çöktürülür [Tasneem, 1991].

#### 1.6.1. Karboksil Uç Gruplu Polistirenin Isısal Bozunması

Hidroksil, karboksil ve klor asitli polimerlerin ısısal bozunmaları oldukça benzerdir. TVA ve TG'de normal polistirenden az farklılık gösterirler. Normal polistirenin temel mekanizması bu polimerlerin bozunmaları için önerilebilir.

$\text{HOOC-PS-COOH}$ 'nın bozunmasında zincir uçlarında küçük parçaların oluşum mekanizması şöyledir; [Tasneem, 1991]



### 1.6.2. Karboksil Uç Gruplu Polistiren/Poli(Vinil Klorür)

#### Karışımlarının İsisal Bozunması

Daha önce belirtildiği gibi saf PVC'nin ısisal bozunma tepkimesinin ilk aşamasında HCl çıkıştı, ikinci aşamasında ise kalan doymamış yapının parçalanma ürünleri olan benzen, toluen vb. çıkıştı olurken: PS'nin tek aşamalı ısisal bozunma tepkimesinde esas olarak stiren çıkıştı olur. PS'nin ısisal bozunma tepkimesini, yapısında bulunan düzensizlikler ve üç grupların yapısı çok etkiler.

TVA ve TG çalışmaları karboksil uç gruplu Polistirenin, normal polistiren den biraz daha düşük maksimum bozunma sıcaklıklarına sahip olduğunu göstermiştir. Ayrıca PS/PVC karışım örnekleri PVC ye göre nisbeten kararlı davranışırken PS(COOH)/PVC karışım örneklerinin daha kararlı davranışları karboksil uç gruplarının varlığı ile açıklanabilir. [Basan, 1992]

## 1.7. İSİSAL ANALİZ TEKNİKLERİ

İsisal analiz, ısıtılan bir maddenin fiziksel bir özelliğini veya onun tepkime ürünlerini sıcaklığın veya zamanın bir fonksiyonu olarak ölçen bir grup tekniki içine alan geniş kapsamlı bir terimdir. Programlı bir şekilde sıcaklığın artırılması ile madde de meydana gelen değişikliklere ya da o değişikliklerin ölçüm tekniklerine göre sisal analiz yöntemleri çok çeşitli adlar alır. Örneğin maddede ısı etkisiyle kütle kaybı olursa, bu özelliğin ölçümlü dayanan sisal analiz teknüğine termogravimetri (TG) denir. Karşılaştırma maddesi olarak alınan bir maddeye göre ısıtılan maddede enerji (ısı enerjisi) değişimi oluyorsa ölçüm teknüğine göre sisal analiz teknüğü sıcaklık farkı kaydedilirse diferansiyel termal analiz (DTA), ısı değişim hızı kaydedilirse diferansiyel taramalı kalorimetri (DSC) adını alır. Isıtılan maddede uçucu bir gaz ürün çıkıyorsa bunu tayin eden sisal analiz teknüğine, en genel anlamıyla sisal uçuculuk analizi (TVA) denilir. Eğer sisal analiz teknüğü ısıtılan maddenin mekanik özelliklerinin ölçümlü dayandırılırsa o zaman bu teknigue termomekanik analiz (TMA) denilir.

Çoğu kez bir sistem hakkında sadece bir sisal analiz yöntemi yetersiz kalır. Bu nedenle bazen birden fazla sisal analiz teknüğünü kullanma zorunluluğu doğar. Örneğin DTA veya DSC 'nin TGA ile birlikte kullanılması oldukça yaygındır. Eğer çıkan uçucu ürünler varsa onların tayini ve analizinin yapılması problemin çözümü için çok faydalı olur. Ayrıca günümüzde, aynı koşullarda ısıtılan tek bir örnekten bir kaç tür termogram elde edebilen sisal analiz aletleri de vardır. Örneğin DTA ve TG termogramları bazı aletler tarafından aynı anda alınabilmektedir.

**Termogravimetri (TG):** Denetimli olarak ısıtılan bir maddenin kütlesini sıcaklığın veya zamanın bir fonksiyonu olarak ölçen bir tekniktir. Kütle değişimi sıcaklığın bir fonksiyonu olarak ölçülürse dinamik termogravimetri (DTG), zamanın bir fonksiyonu olarak ölçülürse izotermal termogravimetri (İTG) adını alır. Ayrıca ısıtılan maddeden çıkan uçucu ürünlerin sabit kısmı basınçları altında maddenin dengedeki kütlesini sıcaklığın bir fonksiyonu olarak ölçen izobarik kütle değişimini saptayan bir teknik daha vardır. Türevsel termogravimetri ise termogramın birinci türevidir.

**Diferansiyel Termal Analiz (DTA):** Denetimli olarak ısıtılan bir madde ile referans madde arasındaki sıcaklık farkını (DT), sıcaklığın bir fonksiyonu olarak ölçen bir tekniktir.

**Diferansiyel Taramalı Kalorimetre (DSC):** Denetimli olarak ısıtılan bir madde ile referans madde arasında meydana gelen sıcaklık farkını sıfırlamak için gerekli enerjiyi ölçen bir tekniktir.

**İsısal Uçuculuk Analizi (TVA):** Vakumda denetimli olarak ısıtılan bir maddeden çıkan uçucu ürünlerin basıncını sıcaklığın veya zamanın bir fonksiyonu olarak ölçen bir tekniktir.

**Çıkan Gaz analizi (EGA):** Denetimli olarak ısıtılan bir madde den çıkan gazların nitel ve nicel analizinin yapıldığı bir tekniktir.

**Çıkan Gaz Tayini (EGD):** Denetimli olarak ısıtılan bir maddeden çıkan gazların tayinini yapan bir tekniktir.

**Termal Mekanik Analiz (TMA):** Delinmenin (içe girmeye), baskı altında bir örneğin genleşmesi ya da çekilmesini sıcaklığın ya da zamanın bir fonksiyonu olarak ölçen bir tekniktir. [Basan, 1991]

### **1.8. ÇAPRAZ BAĞLANMA ve JELLEŞME OLAYI**

Çapraz bağlanma tepkimeleri, makromoleküller arasındaki kimyasal bağlanmalarla polimerde ağ yapı oluşturan tepkimelerdir. Bu tepkimelerle polimer çözünmeyen ve erimeyen üç boyutlu bir yapı oluşturur. Bu olaya *jelleşme* oluşan üç boyutlu ağ yapılı erimeyen ve çözünmeyen kısma ise *jel* denir. Jelleşmenin birden bire başlaması tepkime ortamından iki ayrı kısmın var olduğunu gösterir. Bunlar çözüçülerde çözünmeyen jel kısmı ve çözülebilin sol kısmıdır. Jelleşmenin ilk görüldüğü jelleşme sıcaklığından sonra çapraz bağlanma sürerse sol kısmı aleyhine jel kısmı artar. Bu nedenle de karışımın viskozitesi hızla artarak viskoz sıvıdan elastik madde haline geçer. Jelleşmenin önemli bir özelliği de sayıca ortalama molekül kütlesinin düşmesi, kütlece ortalama molekül kütlesinin ise sonsuz olmasıdır. [Billmeyer, 1970]

Çapraz bağlanma tepkimesi, polimerin sentezlenme sırasında olduğu gibi teknolojide doğrusal polimerlerin işlenmesi sırasında da olabilir. Tepkime kabından uzaklaştırılması güç ve çözünmeyen- erimeyen ürünlerin oluşmasına neden olduğu için polimerlerin üretimi sırasında çapraz bağlanma tepkimesi, dolayısıyla jelleşme hiç istenmeyen bir durumdur. Ancak teknolojide polimerin işlenmesi sırasında bazı endüstri dallarında da vazgeçilmeyen bir olaydır.

Polimerler genellikle doğrusal ya da dallanmış yapıdadır. Böyle polimerlerin işlenmesi sırasında çapraz bağlanma tepkimeleri sık sık istenerek oluşurlar. Bu tepkimeler genellikle lastik endüstrisinde "vulkanizasyon", plastik endüstrisinde ise "curing" ya da "hardening", sertleştirme tepkimeleri olarak bilinir. Bu ısı veya ışın etkisiyle olur.

Polietylén, PE, poli(vinil klorür), PVC gibi bazı polimerlerin ışınlama ile çapraz bağlanması üzerinde çok çalışılmıştır. [Tager, 1978] Örneğin; ışınlama polietilen zincirinde hidrojen eliminasyonu dolayısıyla doymamışlık derecesinin artmasına neden olmuştur. İyonlaştırıcı ışın etkisiyle ilk aşamada polimer zincirinde serbest radikaller oluşur. ışın etkisiyle zincir kesilmesi olduğu gibi; oluşan radikaller kendi aralarında veya diğer makroradikallerle birleşerek çapraz bağlanmaya yani jelleşmeye neden olur.

Çapraz bağlanma tepkimelerinin başlamasına neden olan iyonlaştırıcı ışınlar yerine ısı da kullanılabilir. Aynı mekanizma ısı etkisiyle zayıf bir bağın kopmasıyla oluşturulan serbest radikallerle de oluşturulabilir.

PE, PVC ve diğer polimerlerin ısı veya ışınla çapraz bağlanma sonucu, ısisal kararlılığı artmış, organik çözüçülerde çözünmeyen, birçok teknolojik özelliklere sahip polimerik ürünler oluşturulabilir. Çapraz bağlanma vinil polimerlerinin özelliklerini geliştirmede kullanılan en önemli tepkimeler olması nedeni ile pratikte önemleri çok büyüktür.

İşlenecek polimerlerde eğer çapraz bağ sayısı, (ağ yoğunluğu) yani jel kısmının azsa, ürün yumuşak ve esnek olacaktır. Ağ yoğunluğunun artmasıyla ürünün sertliği artacak ve erime noktası yükselecektir. Çok büyük sayıda çapraz bağ çok sert ve kırılgan ürünlerin oluşmasına neden olur.

Üç boyutlu ağ yapıya sahip polimerler genellikle ısı ile sertleşen (termosetting) polimerlerdir. İşıyla belli bir sıcaklıkta ( $T_g$ 'de) yumuşayarak katı halden sıvı hale geçen polimerlerde ısıyla eriyen (termoplastik) polimerlerdir.

Bazı polimerlerin kendisi termoset olmadığı halde, sertleştirme maddeleri katılarak termosetleştirilir. Termoset polimerlerde veya karışımında çapraz bağlanma tepkimesi çok düşük hızlardamasına karşın; oda sıcaklığında bile olur. Bu durum, termoset ve karışımının depolanmasında çok önemlidir.

Çapraz bağlanma tepkimelerinden en çok bilinenlerinin hızı sıcaklığın yükselmesiyle birden bire artar. Bu yüzden uygulamada vulkanizasyon ve sertleştirme tepkimeleri ısı ile yapılır.

Teknikte en çok kullanılan çapraz bağlanma tepkimeleri; vulkanizasyon, plastiklerin sertleştirilmesi, fonksiyonel grupların tepkimeleri ve kararlı kılma (stabilizasyon) tepkimeleridir. Bütün bu tepkimelerin temeli, herhangi bir nedenle polimer zincirinde oluşturulan radikaller veya etkin fonksiyonel gruplar aracılığıyla polimer zincirlerinin birbirine bağlanmasıyla bir polimerik ağ yapısının, yani çapraz bağlanma tepkimesiyle jel oluşumudur.

Polimerlerin günlük yaşamımızda her alanda kullanılmasının nedenlerinin birisi de kolayca şekil verilebilmesidir. Polimerler, şekil verilebilmesi için yumuşama sıcaklığı üzerinde, bozunma sıcaklığı altında uygun bir sıcaklıkta eritilerek belirli şekillerdeki kalıplara konulmalı, basınçla istenilen şekil verildikten sonra soğutularak şekil sabitlestirilmelidir. Ancak termosetlerde bu işlem sırasında ısı etkisiyle çapraz bağlanma olduğu için, bir kez işlendikten sonra yeniden eski haline gelemez. Bu nedenle kalıplama sıcaklığı çok iyi saptanmalıdır. İsi etkisiyle çapraz bağlanma yani jelleşme denetimli olarak yapılmalıdır. Yoksa ürün sertleşerek kırılgan hale gelir. Ayrıca termosetlerin işlenmesinde çapraz bağ oluşumu istenen bir olay olmasına karşın; çoğu zaman sertlik ve kırılganlığa neden olduğundan aşırı bir çapraz bağlanmada istenmez. Bazı durumlarda da örneğin; yapay elyaf endüstrisinde çok az bir jelleşme

istenir.[Akovalı,1984] İşte bu yüzden ısı etkisi ile oluşan jelleşmenin ilk görüldüğü zamanın doğru olarak saptanması çok önem kazanmaktadır.

Jelleşme öncesi ve sonrası polimerlerin molekül kütlesi, çözünürlüğü ısisal kararlılığı ve diğer mekanik özelliklerinde büyük değişiklikler olur. Bu özellik değişimlerinin dönüm noktası olan jelleşme sıcaklığının bilinmesi ve polimere uygulanacak ısisal işlemlerin ona göre seçilip değerlendirilmesi gereklidir. Bunun için de jelleşme sıcaklığının kolay, pratik ve çabuk alınabilecek bir yöntemle saptanması gereklidir.

#### **1.8.1. Jelleşme Sıcaklığı Saptama Yöntemleri**

Isı ve iyonlaştırıcı ışınlarla etkileşen vinil polimerlerinde zayıf bağların kopmasıyla ana zincir üzerinde radikalik yöreler oluşur. Oluşan bu serbest radikallerin komşu karbon atomlarından bir hidrojen ayrılmaya da zincir üzerinde çift bağ oluşur. Allilik aktivasyonla ana zincir üzerindeki çift bağ sayısı artar. Çift bağ oluşumu yanında zincir kesilmesi ve çapraz bağlanma olayları da birlikte yürürlür. [Charlesby, 1960] Özellikle fonksiyonel yan grupları ve dallanma olasılığı fazla olan vinil polimerlerinde çapraz bağlanma dolayısıyla jelleşme olasılığı diğer polimerlere göre çok daha fazladır.

Jelleşme ile polimer özelliklerinin değiştiği bilinmektedir. Jelleşme sıcaklığının belirlenmesi yönünden onde gelen özellikler jelleşme ile molekül büyüklüğünün, dolayısıyla viskozitenin birden bire sonsuza kadar artmasıdır. Ayrıca ana zincir üzerindeki serbest radikaller jelleşme sırasında çift bağ oluşumunda harcadıkları için çift bağ oluşması olanağında azaltmaktadır. Jel kısmı, sol kısımdan süzülerek ayrılsa, jel oluşturan zincirler üzerindeki çift bağlar da ortamdan uzaklaştırılmış olur. Bu nedenle jel öncesinde ve sonrasında önemli farklılıklar oluşur.

Jelleşmeden önce ve sonra önemli değişikliklere uğrayan viskozite, çözünürlük ve çift bağ sayılarındaki değişim esas alınarak üç ayrı jelleşme noktası saptama yöntemi geliştirilmiştir. [Güven, Deniz, Basan ,Tarhan 1982]

#### **1.8.2. Viskozimetrik Yöntem**

Isı etkisiyle üç boyutlu ağ yapısı oluşturulan polimerlerde çapraz bağ yoğunluğu artıkça polimer çözeltisinin viskozitesi hızla yükselerek birdenbire sonsuz olur. Bu durumdan yararlanılarak, ısıtılmış polimer örneklerinin çözeltilerinin viskozitelerinin sıcaklık ve zamanla değişimi kolaylıkla izlenebilir. Jelleşmeden sonra jel kısmı süzülerek ayrılır. Viskoziteyi artıran ağ yapılı büyük moleküllerin ortamdan uzaklaştırılması nedeni ile viskozitede yeniden bir azalma beklenir. Sıcaklık veya

Isıtma zamanı ile çözelti viskozitesindeki değişimlerin dönüm noktasından jel sıcaklığı bulunur.

#### **1.8.3. Spektrofotometrik Yöntem**

Isı ve ışınlama etkisiyle vinil polimerlerinde oluşan çapraz bağlanma ile çift bağ oluşumu birbirine karşıt iki tepkimedir. Çapraz bağlanma dolayısıyla jel oluşumu artıkça ana zincirle üzerinde oluşan çift bağ sayısında genelde bir azalma olur. Süzülerek jel kısmının sol kısmından ayrılmasıyla ağı yapıda bulunan çift bağlar da ortamdan uzaklaştırıldıgından, jel öncesi ve sonrasında polimerörneğindeki çift bağ sayısında önemli farklılıklar ortaya çıkar.

Bilindiği gibi polimer ana zincirinde çift bağ sayısı arttıkça UV-VIS spektrumlarında, farklı sayıda çift bağ absorbsiyonuna karşı gelen pik yada omuzlarda mor ötesi bölgeden görünür bölgeye doğru bir kayma görülür. Jelleşme öncesi ve sonrası polimer çözeltilerinin UV-VIS spektrumları kaydedilerek belli dalga boyundaki omuz ya da piklerin absorbansları incelendiğinde; absorbansın jelleşme öncesinde artan çift bağlar nedeni ile arttığı; jelleşme ile birlikte viskozite ve çözünürlükte olduğu gibi birden bire artarak sonsuz olduğu gözlenmiştir. [İvan, 1978] Jel kısmının ayrılımasından sonra sol kısmının absorbanslarında düşmeler olduğu görülmüştür. Isıtma zamanı veya sıcaklığa karşı polimer çözeltisinin gösterdiği absorbanslar grafiğe geçirilerek gözlenen dönüm noktasından jelleşme sıcaklığı kolaylıkla bulunabilir.

İlk defa Nagy ve arkadaşları [İvan, 1978] tarafından ortaya atılan ve Güven ve arkadaşları'ncı [Güven, 1984, Basan, 1985] geliştirilen bu yöntem ve diğer yöntemlere göre çok daha kolay, daha az zaman alıcı ve aynı duyarlılıkta sonuç veren bir yöntemdir.

#### **1.8.4. Jel Fraksiyonu Yöntemi**

Bu yöntemin temeli, jelleşme ile polimer çözünürlüğündeki değişimlerdir. Jelleşme ile oluşan üç boyutlu ağı yapıdan dolayı polimerin jel kısmının iyi çözücülerde bile çözünmez hale geldiği bilinmektedir.

Isıtılmış polimerörneğinin çözeltisi hazırlandığında; jelleşme öncesinde örneğin tümü çözünürken, jelleşme sonrasında sol kısmının çözündüğü, jel kısmının ise çözünmediği gözlenmiştir. Bu nedenle jel kısmı süzülerek sol kısmından ayrılır. Jel kısmı sabit tartıma getirilerek ağırlığı bulunur. Jel kısmının ağırlığının, toplam örnek kütlesine oranı, % jel fraksiyonu ( $\gamma$ ) nu verir. Isıtma zamanına veya sıcaklığına

karşı % $\gamma$  grafiğe geçirilerek jelleşmenin başlangıç noktasından jelleşme zamanı ya da sıcaklığı saptanır.



## **2. YÖNTEM ve TEKNİKLER**

### **2.1. Deneyin Yapıldığı Yer ve Tarih**

Bu çalışma Cumhuriyet üniversitesi (SİVAS) Fen Edebiyat Fakültesi Kimya Bölümü, Polimer araştırma ve Merkezi Araştırma Laboratuvarlarında, Eylül 1992-Eylül 1993 tarihleri arasında yapılmıştır.

### **2.2. Kullanılan Maddeler**

Bu çalışma için kullanılan maddeler analitik saflıktadır. Örneklerin hazırlanmasında kullanılan ve British Geon Ltd. tarafından üretilen poli(vinil klorür) PVC; (Breon-113) polistiren PS; (Bextrene-161) ve laboratuvara sentezlenmiş karboksil uç grublu polistiren PS(COOH) kullanılmıştır. Maddeler Glasgow Üniversitesiinden (İskoçya) sağlanmıştır. Çözücü olarak Merck ürünü Tetrahidrofuran, (THF) kullanılmıştır.

### **2.3. Örneklerin Hazırlanması**

Örnek filmlerin homojen olarak hazırlanması için karışımın iki maddesi (PSCO OH - PVC ya da PS - PVC) belirlenen oranlara göre katı halde tartılmış sonra her iki madde karışımı THF'de çözülmüştür. Bir hafta sonra hazırlanan karışım çözeltileri petri kaplarına dökülkerek filmleri oluşturulmuştur. Örneklerden THF'ı uzaklaştırmak için önce açık havada kurutulmuş sonra 60°C'de vakum altında saklanmıştır.

### **2.4. Isısal İşlemler**

Hazırlanıp kurutulan filmlerden 25 mg örnekler tartılmış ve SHIMADZU DT-30 Termal analizörün, TG-30 Termogravimetri birimi kullanılarak oda sıcaklığından belirlenen sıcaklıklara kadar ısıtılmış, ısıtma işlemleri 10°C/dk'lık ısıtma hızı ve 25cm<sup>3</sup>/dk'lık azot atmosferi akışı altında ısıtılan örnekler dikkatli bir şekilde 25mL'lik balon jojelere konulup hacmi THF ile 25mL ye tamamlanmıştır.

### **2.5. Viskozimetrik Ölçümler**

Viskozimetrik ölçümlerde sabit sıcaklık banyosu LAUDA Cs marka termomiks kullanılmış ve ölçüm 25±0.1°C sabit sıcaklıkta yapılmıştır. Çözeltilerin viskozitelerinin ölçümünde Oswald viskozimetresi kullanılmış akış sürelerinin ölçümü dijital saat ile yapılmıştır.

Viskozite ölçümleri, tek nokta ölçüm yöntemine göre yapılmış hesaplamalarda Solomon–Gotesman eşitliği kullanılmıştır.

$$[\eta] = \frac{\eta_{sp}/C}{1 + 0.333\eta_{sp}} \quad \text{Solomon–Gotesman eşitliği}$$

Burada  $[\eta]$ ; limit viskozite sayısı,  $\eta_{sp}$ ; özgül viskozite sayısı ve C; de polimer örneğinin ( $\text{g dL}^{-1}$ ) derişimidir.

## **2.6. Spektrofotometrik Ölçümler**

Süzülen sol kısım SHIMADZU marka 160A model çift ışınılı UV–VIS spektrofotometresine konularak, UV–VIS spektrumları alınmış. Referans olarak çözücü THF kullanılmıştır.

## **2.7. Jel Fraksiyonlarının Belirlenmesi**

Isıtılma işlemi sonunda hazırlanan çözeltiler bir hafta sonra por- 4 tipi Gooch krozelerinden süzülerek, jel ve sol kısmı birbirinden ayrılmıştır. Krozede kalan jel kısmı  $60^{\circ}\text{C}$ 'de sabit tartıma getirilmiştir.

### **3. DENEYSEL BULGULAR**

Bu çalışmada, PS(COOH) ve PS'nin PVC'nin azot atmosferindeki ısisal jelleşmesine etkisi ve PS/PVC ve PS(COOH)/PVC karışımlarının ısisal jelleşme sıcaklıklarının karışım oranı ile değişimleri incelemiştir. Bunun için %10-%90 arasında değişen farklı oranlarda PS(COOH) ve PS içeren PS(COOH)/PVC ve PS/PVC karışım filmleri hazırlanmıştır. Film halindeki PVC ve ince toz haldeki PS(COOH) ve PS örneklerinden 25mg alınarak 25 mL/dk olan dinamik azot atmosferinde oda sıcaklığından 160°C, 180°C, 200°C, 220°C, 230°C, 240°C, 250°C, 260°C, 270°C ve 280°C'ye ayrıca, PS(COOH) ve PS ise 160°C, 200°C, 240°C, 280°C, 320°C, 360°C, 400°C ve 440°C'ye kadar ısıtılmıştır.

Isıtılan tüm örnekler derhal 25mL THF'de çözülmüş, tam çözünmenin olması için bir hafta baktırıldıktan sonra süzülerek jelleşme sıcaklığından daha büyük sıcaklıklara kadar ısıtılan örneklerde oluşan jel kısımları sol kısımlardan ayrılmıştır. Jelleşme sıcaklığından daha küçük sıcaklıklara kadar ısıtılan örneklerin çözeltileri de süzülerek olabilecek çözünmeyecek partiküller uzaklaştırılmıştır. Bundan sonra, jelleşme öncesinde ısıtılmış örneklerin çözeltilerinin süzülmesiyle elde edilen çözelti 'süzüntü' terimi ile; jelleşme sonrasında ısıtılmış örneklerin çözeltilerinin süzülmesiyle elde edilen çözelti ise 'sol kısmı' terimi ile ifade edilecektir.

#### **3.1. Viskozimetrik Bulgular**

Isıtılan tüm örneklerin süzüntü ve sol kısımlarının limit viskozite sayıları tek nokta ölçüm yöntemine göre Soloman–Gotesman eşitliği kullanılarak bulunmuştur.

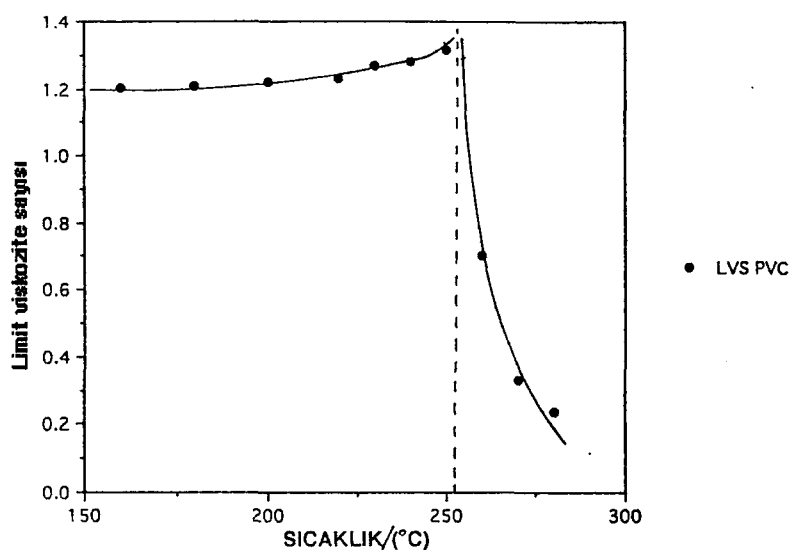
Saf PVC, PS(COOH) ve PS'nin ısisal jelleşme sıcaklığını viskozimetrik yöntemle belirlemek amacıyla elde edilen limit viskozite sayıları ısıtma sıcaklığına karşı grafiğe geçirilmiş ve Şekil 1-3 de gösterilmiştir. Şekil 1 de görüldüğü gibi ısıtılmış PVC örneklerinin limit viskozite sayıları yaklaşık 250°C da kadar sıcaklıkla çok az artmış ve bu sıcaklıktan sonra oluşan jel kısmın süzülerek ortamdan uzaklaştırılması nedeniyle birdenbire düşmüştür. Limit viskozite sayısının sıcaklıkla değişiminde görülen bu dönüm noktasına göre PVC'nin ısisal jelleşme sıcaklığı 253°C olarak belirlenmiştir. Şekil 2 de PS(COOH) nin limit viskozite sayısı sıcaklıkla çok az ve sürekli bir azalma göstermiş ve limit viskozite sayısının sıcaklıkla değişiminde bir kesiklik gözlenmemiştir. Dolayısıyla PS(COOH) nin ısisal jelleşme sıcaklığı belirlenmemiştir. Zaten ısisal olarak depolimerleşmeye uğrayan polimerlerde ısisal jelleşme beklenmez. Şekil 3 te ise

görüldüğü gibi PS için sıcaklıkla limit viskozite sayılarındaki azalma PS(COOH) e göre daha fazladır. Özellikle 300°C dan sonra azalma hızı daha da artmaktadır.

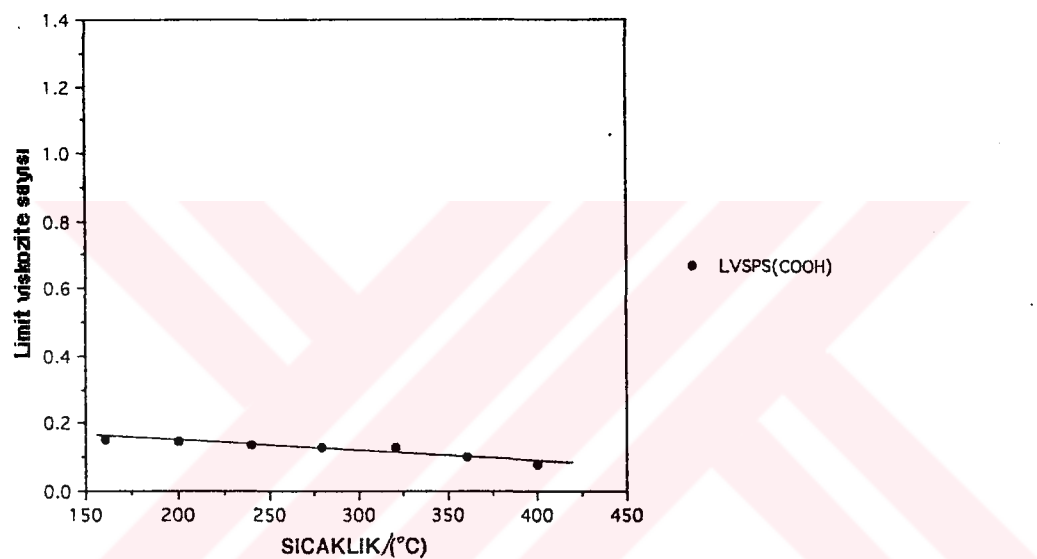
PS(COOH)/PVC ve PS/PVC karışımlarının ısisal jelleşme sıcaklıklarını belirlemek amacıyla ısıtılmış karışım örneklerinin çözelti ve sol kısımlarına ait limit viskozite sayıları ısıtma sıcaklıklarına karşı grafiğe geçirilmiş ve Şekil 4-21 de verilmiştir. Karşılaştırmanın kolay olması için saf PVC, PS(COOH) ve PS nin limit viskozite sayılarının sıcaklıkla değişimleri de bu şekillerde gösterilmiştir. Bu grafiklerden elde edilen karışım örneklerinin ısisal jelleşme sıcaklıkları Çizelge-1 de gösterilmiştir. PS(COOH)/PVC ve PS/PVC karışım örneklerinin ısisal jelleşme sıcaklıkları karışım oranına karşı grafiğe geçirilmiş ve Şekil 22 de gösterilmiştir.

**Çizelge.1.** PS(COOH)/PVC ve PS/PVC karışımlarının viskozimetrik yöntem sonunda bulunan ısisal jelleşme sıcaklıkları.

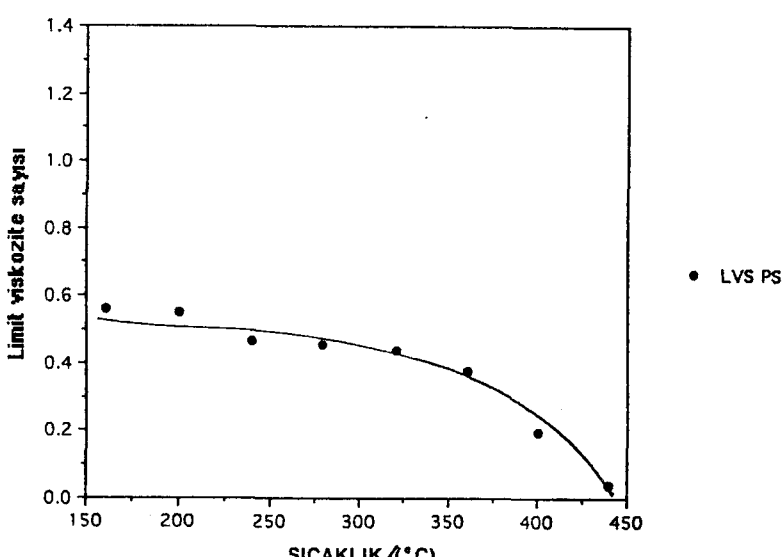
% karışım oranı	0	10	20	30	40	50	60	70	80	90
PS(COOH)/PVC	253	253	253	253	254	253	244	244	235	225
PS/PVC	253	253	253	253	253	253	244	244	232	234



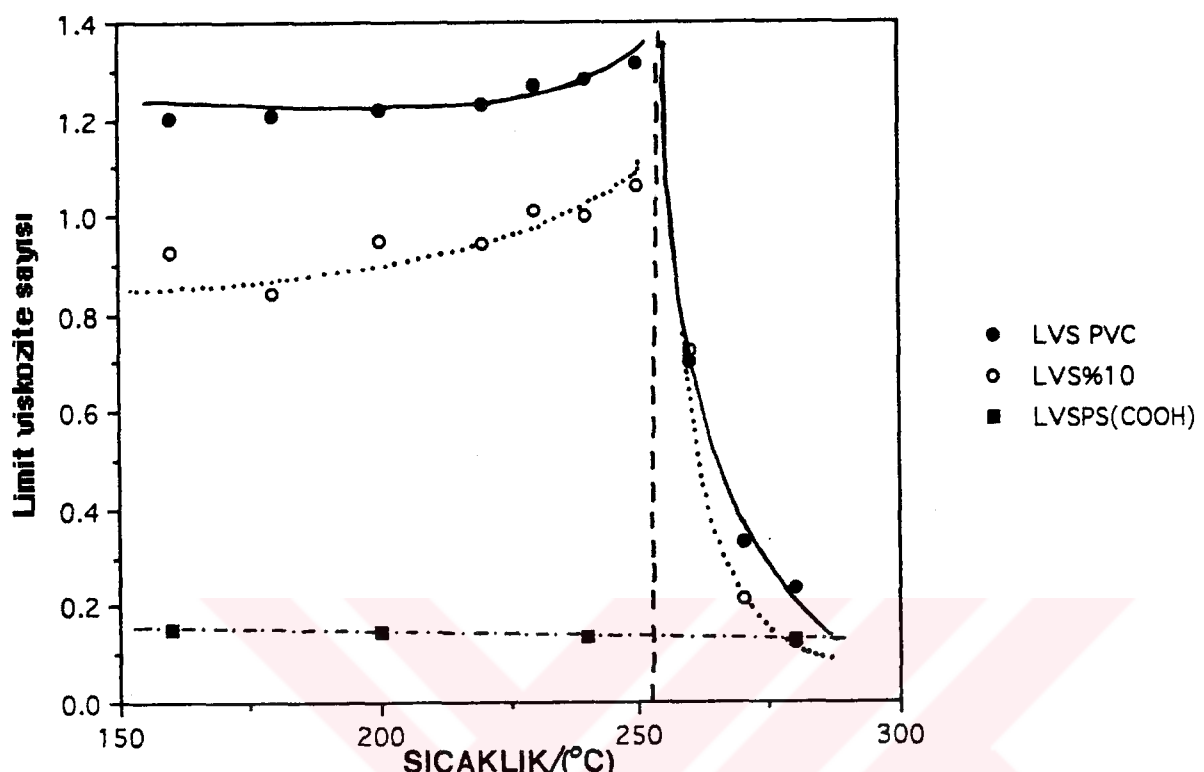
Şekil.1 Breon 113 PVC'nin viskozite değerine karşı sıcaklık grafiği.



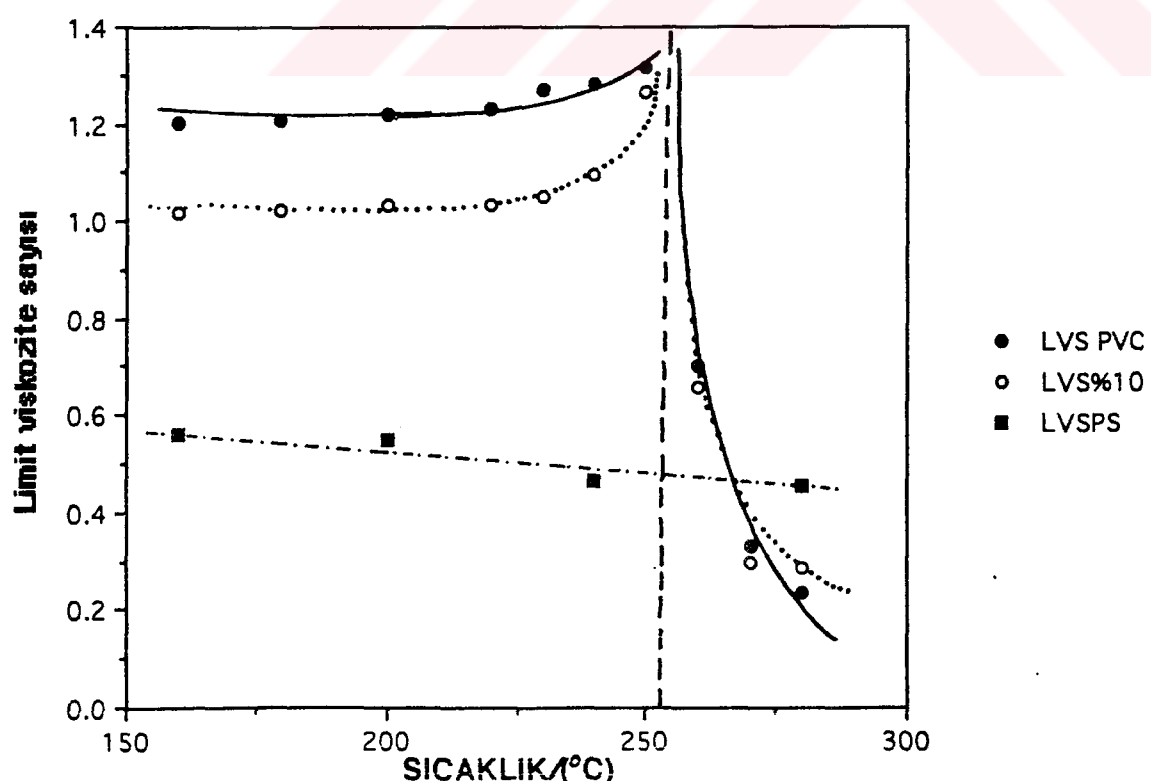
Şekil.2 Karboksil uç gruplu polistirenin viskozite değerine karşı sıcaklık grafiği.



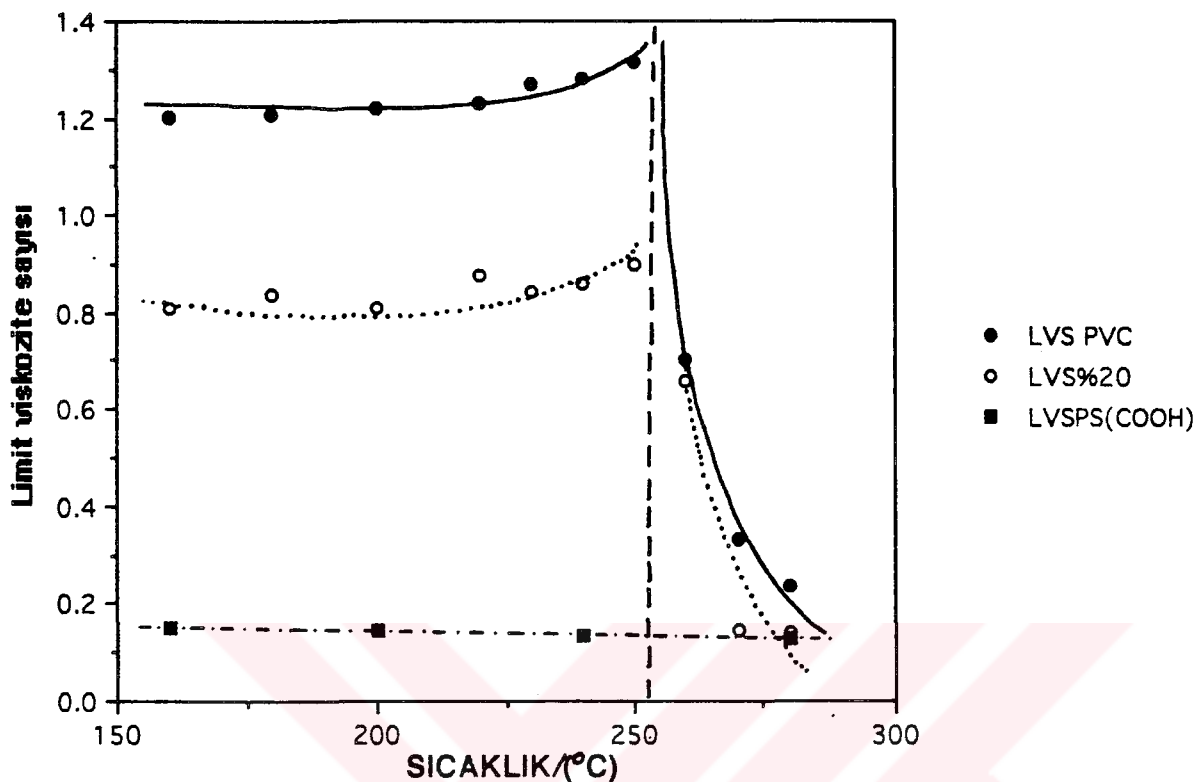
Şekil.3.Bextrene-161 PS'nin viskozite değerine karşı sıcaklık grafiği.



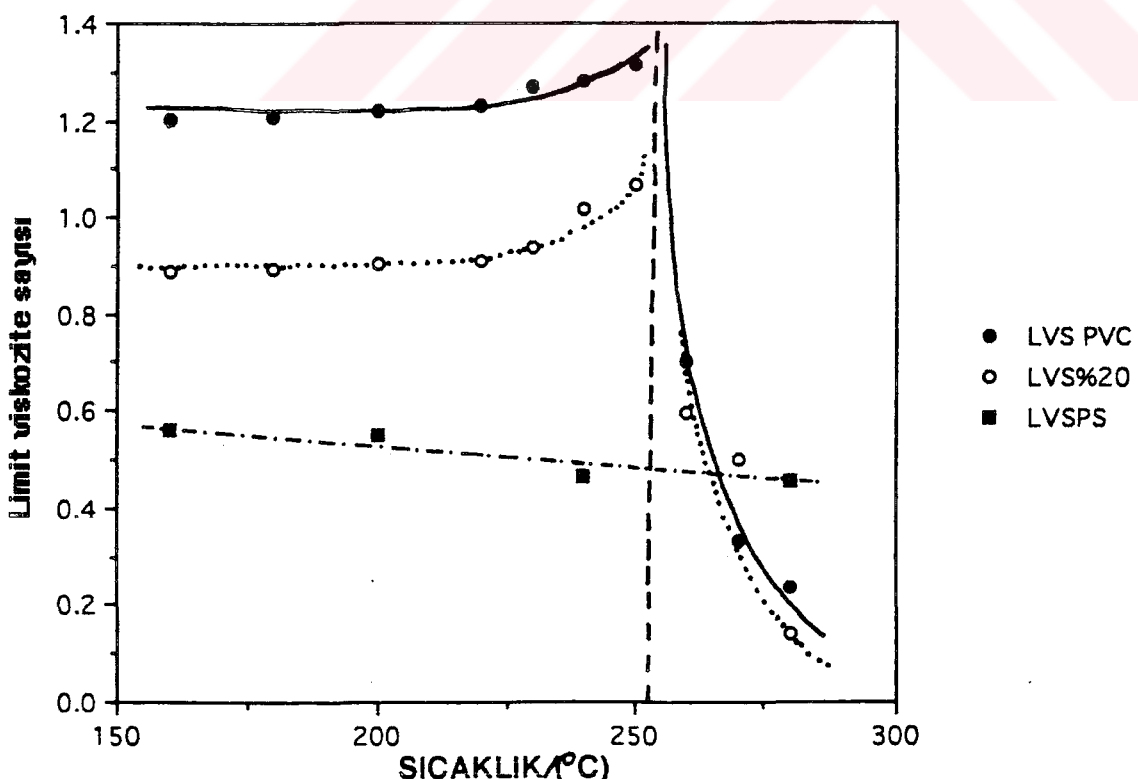
Şekil.4. Breon-113 PVC, PS(COOH) ve %10 PS(COOH)/PVC'nin viskozite değerlerine karşı sıcaklık grafiği.



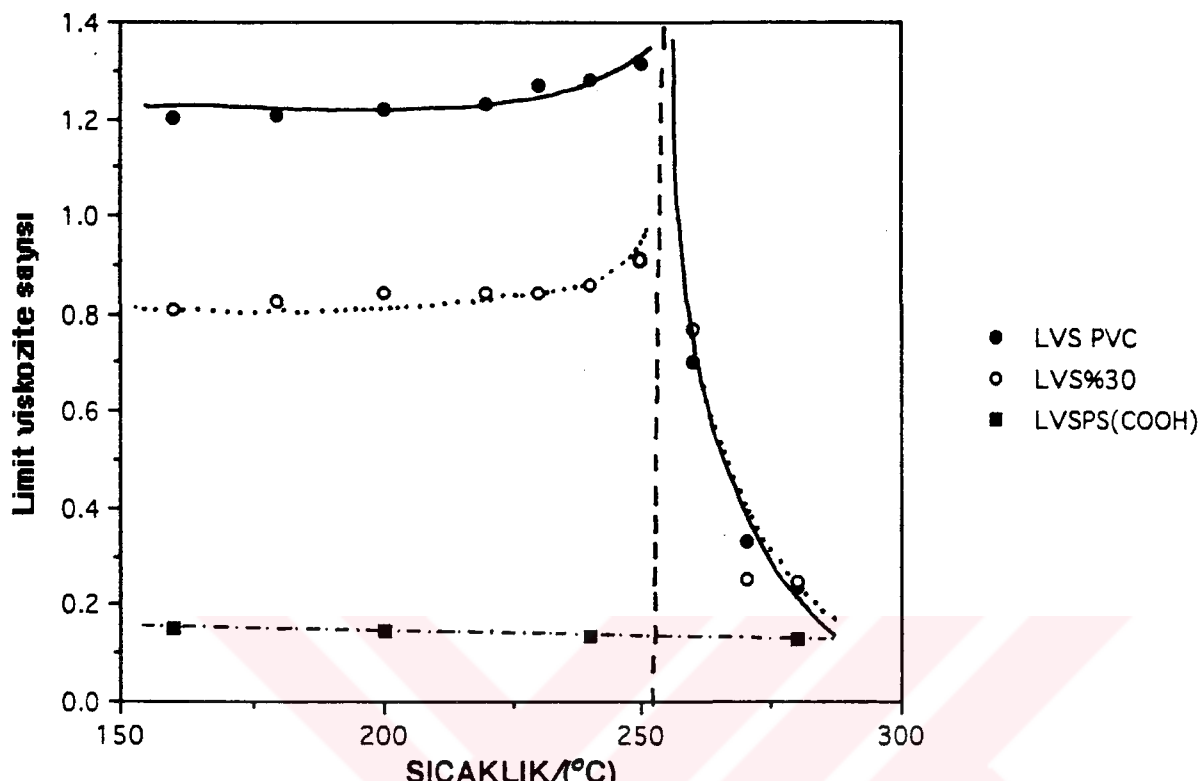
Şekil.5. Breon-113 PVC, Bextrene-161 PS ve %10 PS/PVC karışımının viskozite değerine karşı sıcaklık grafiği.



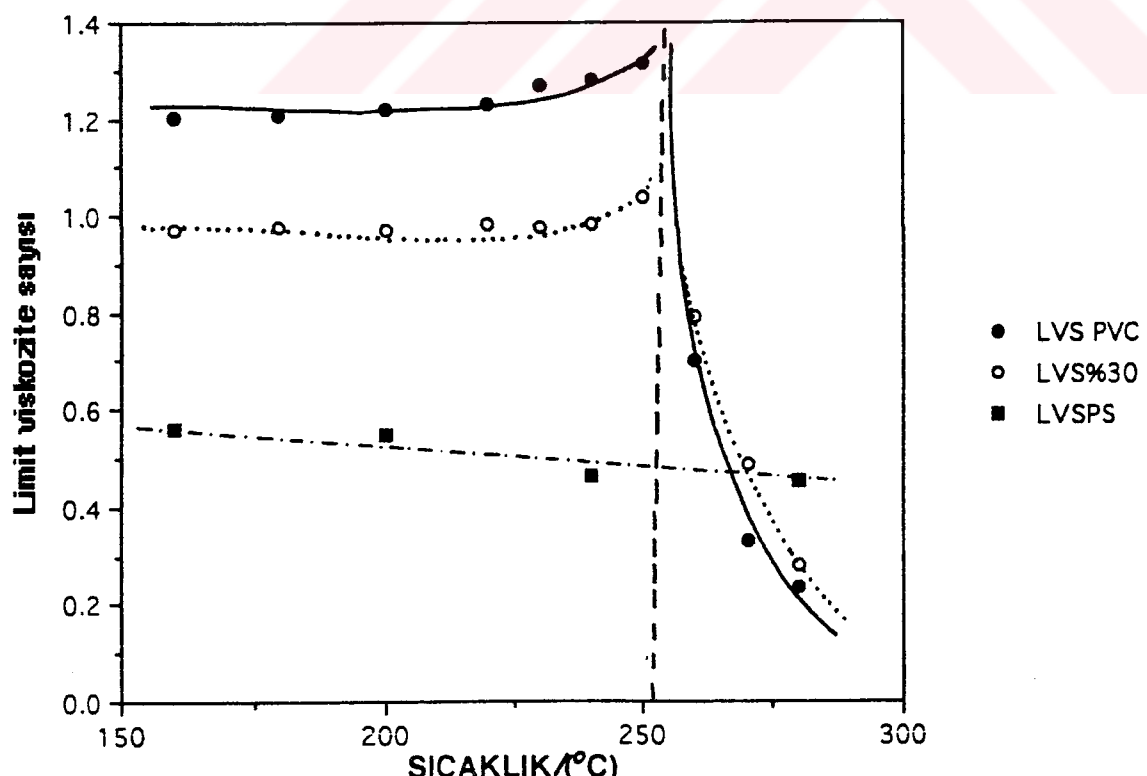
Şekil.6. Breon-113 PVC, PS(COOH) ve %20 PS(COOH)/PVC karışımının viskozite değerine karşı sıcaklık grafiği.



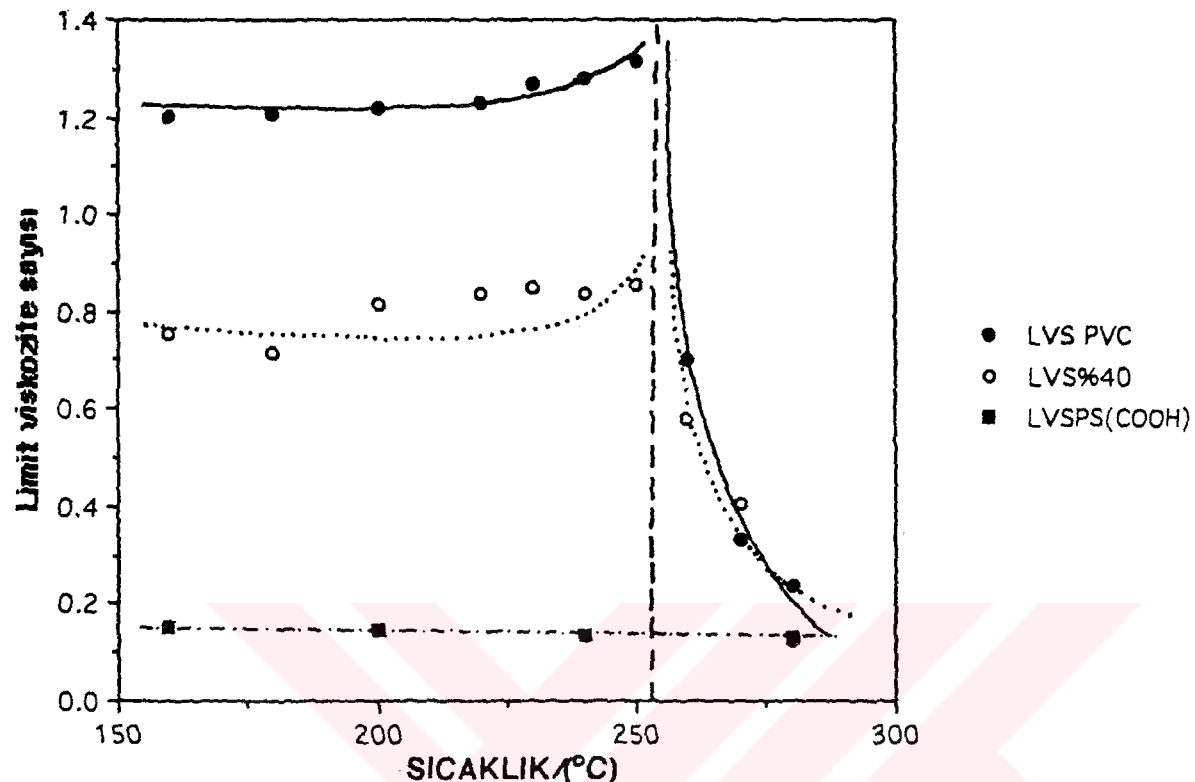
Şekil.7. Breon-113 PVC, Bextrene-161 PS ve %20 PS/PVC karışımının viskozite değerine karşı sıcaklık grafiği.



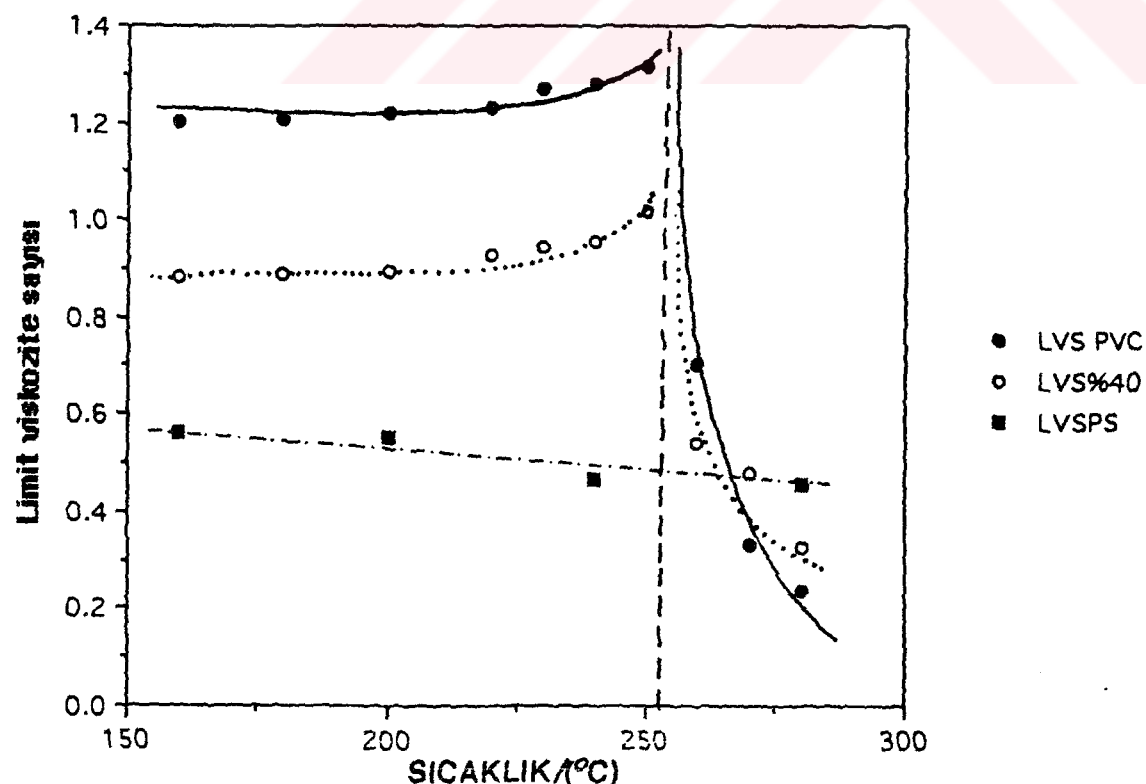
Şekil.8. Breon-113 PVC, PS(COOH) ve %30 PS(COOH)/PVC karışımının viskozite değerine karşı sıcaklık grafiği.



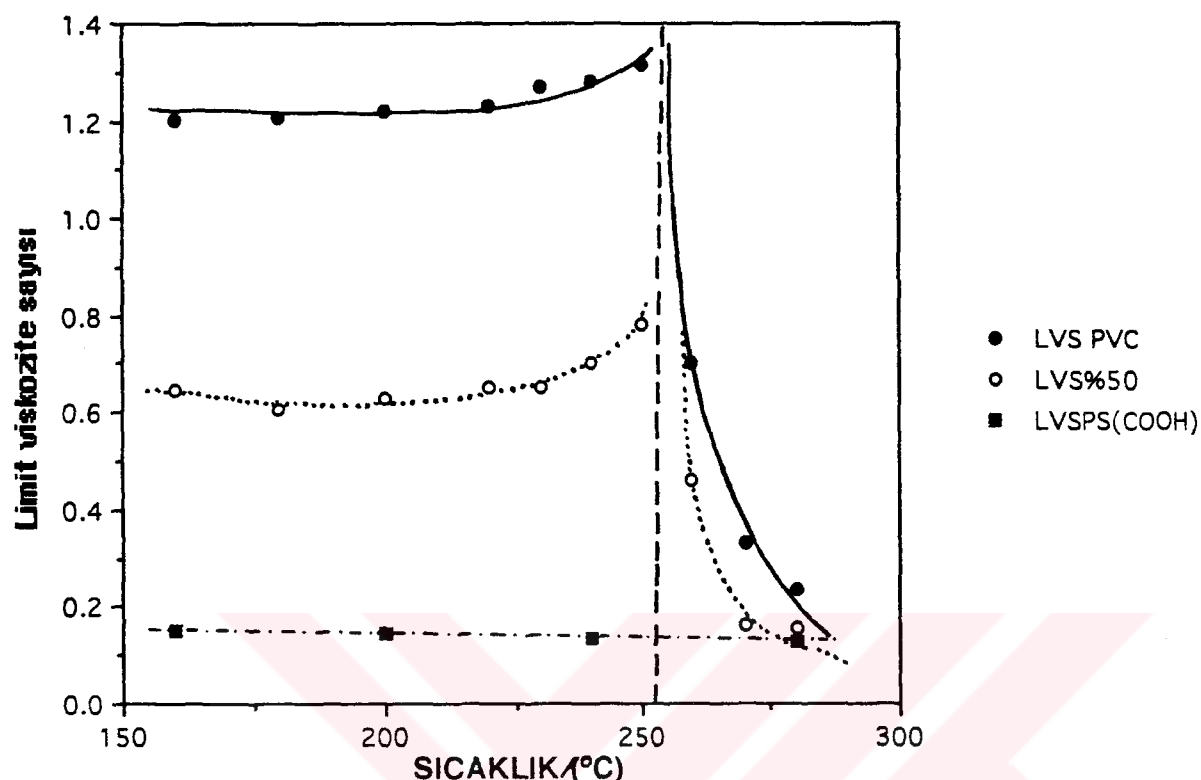
Şekil.9. Breon-113 PVC, Bextrene-161 PS ve %30 PS/PVC karışımının viskozite değerine karşı sıcaklık grafiği.



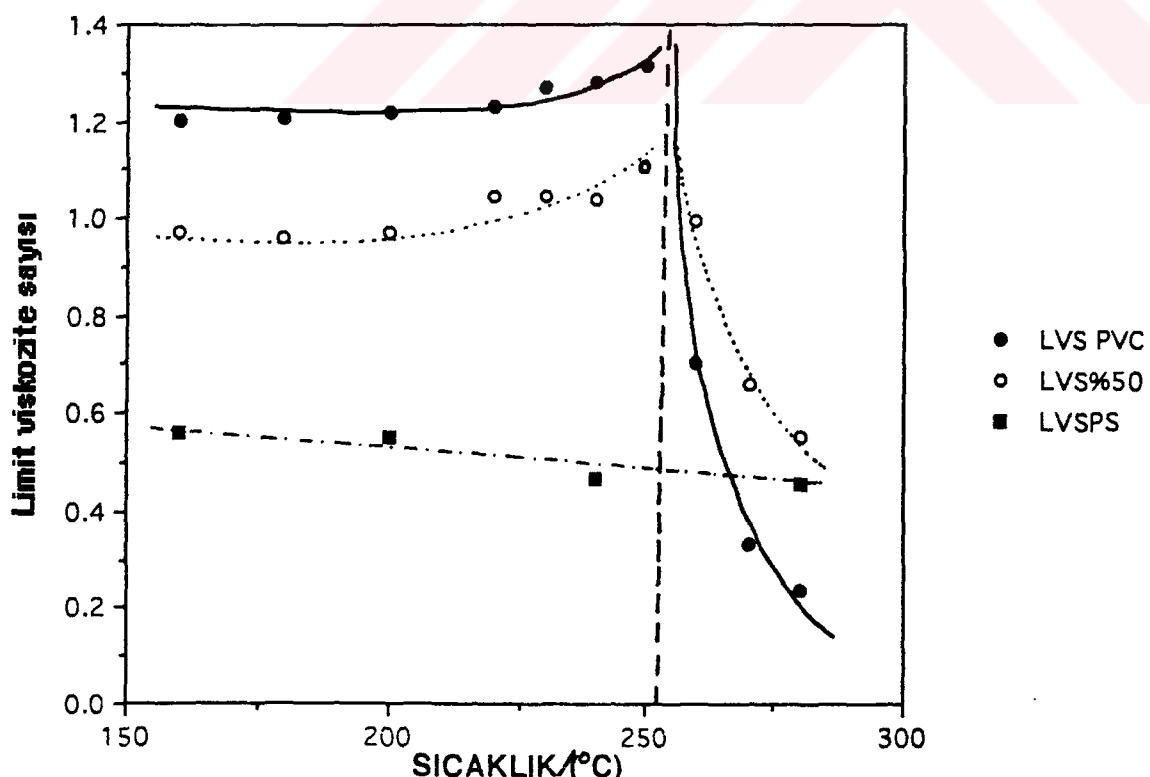
Şekil.10. Breon-113 PVC, PS(COOH) ve %40 PS(COOH)/PVC karışımının viskozite değerine karşı sıcaklık grafiği.



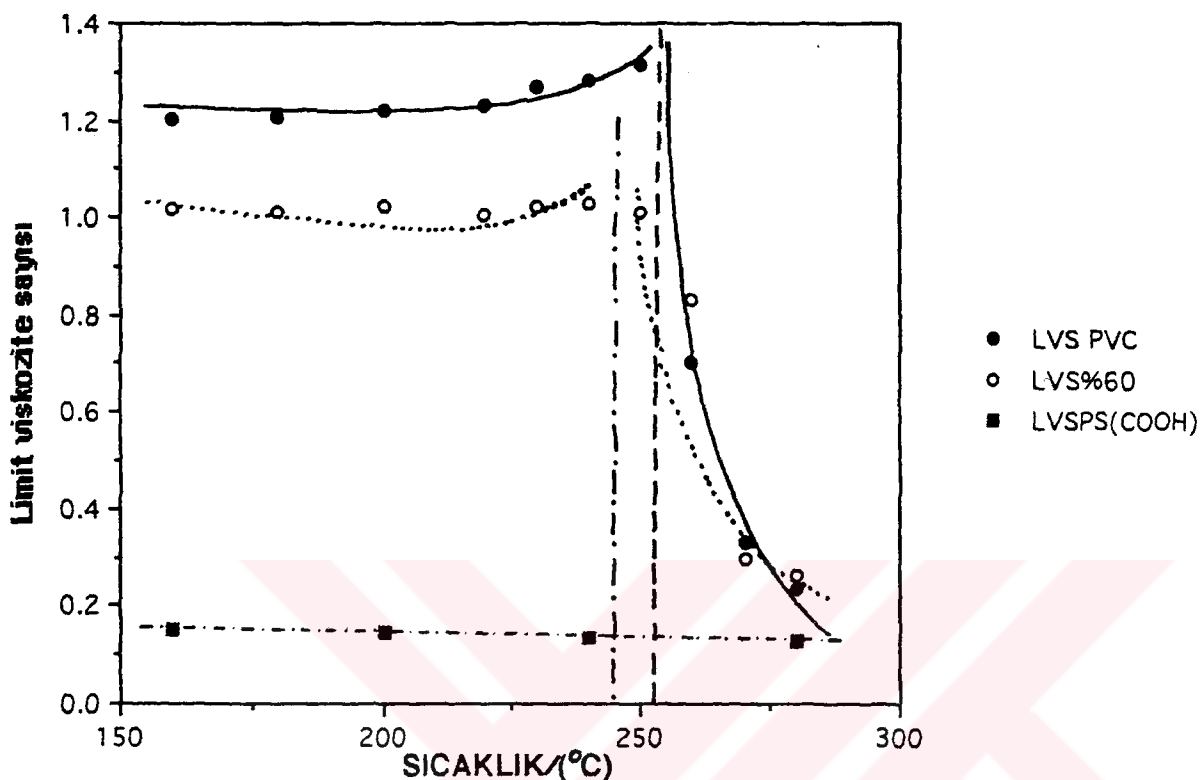
Şekil.11. Breon-113 PVC, Bextrene-161 ve %40 PS/PVC karışımının viskozite değerine karşı sıcaklık grafiği.



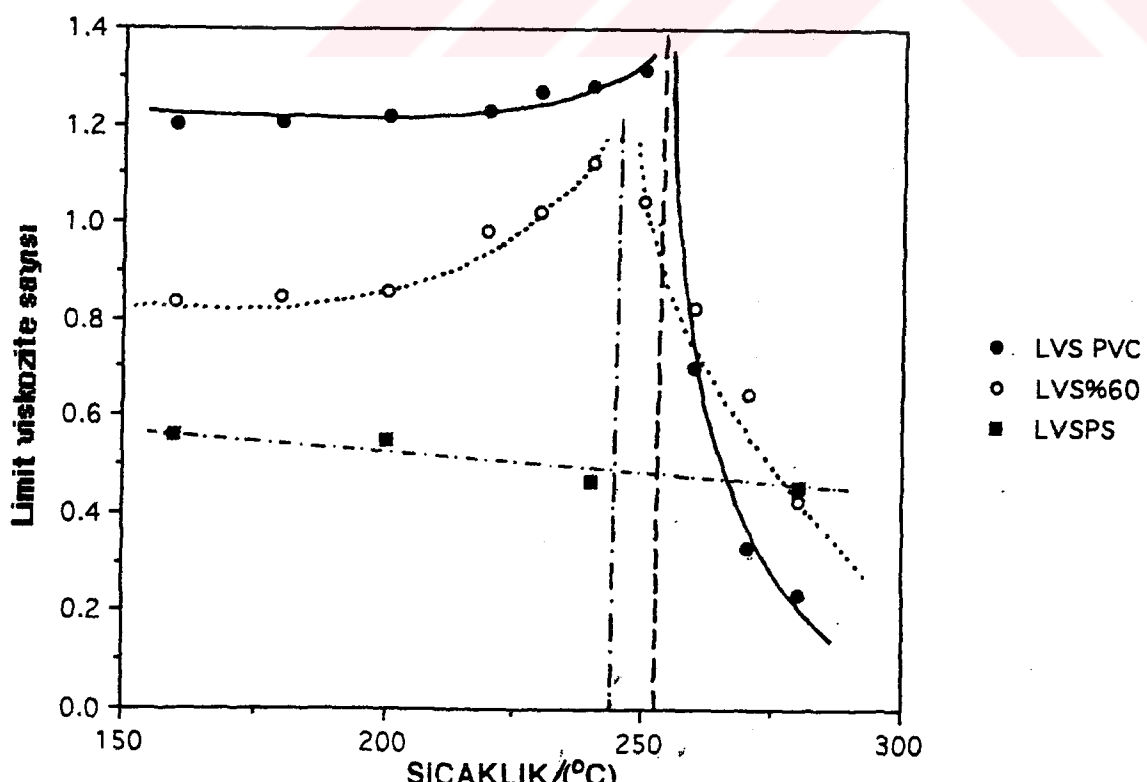
Şekil.12. Breon-113 PVC, PS(COOH) ve %50PS(COOH)/PVC karışımının viskozite değerine karşı sıcaklık grafiği.



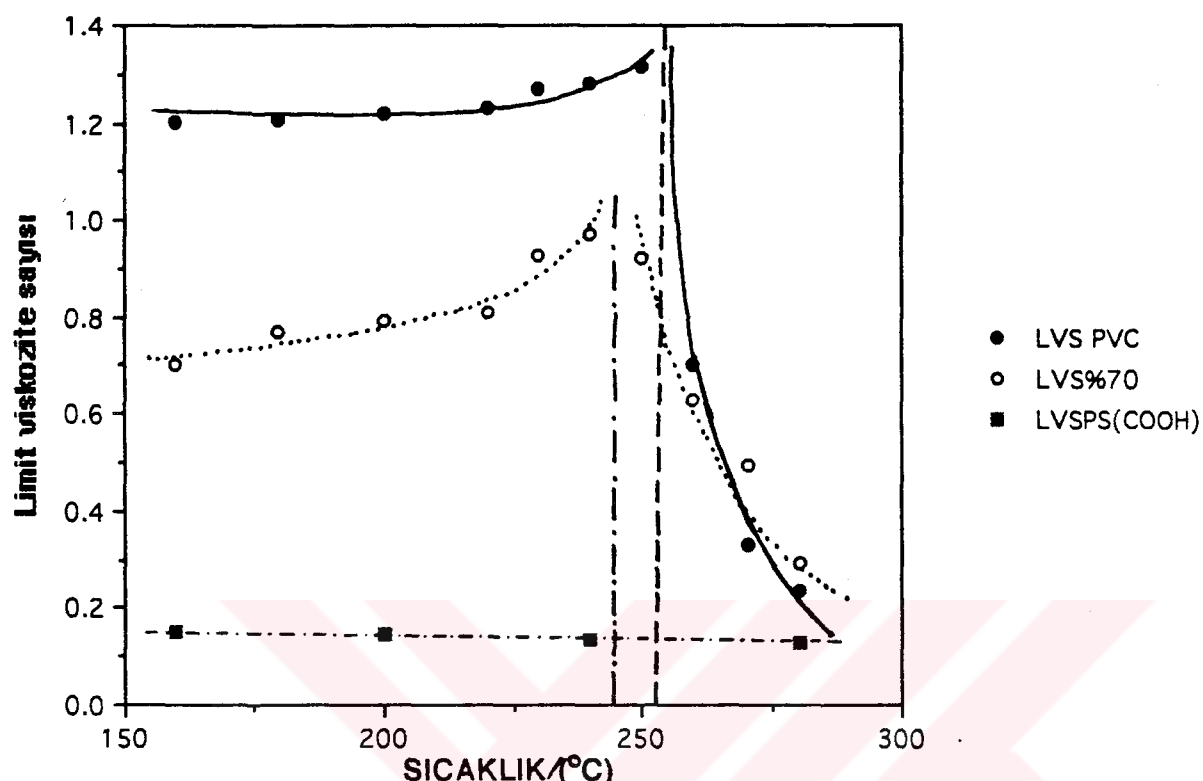
Şekil.13. Breon-113 PVC, Bextrene-161 PS ve %50 PS/PVC karışımının viskozite değerine karşı sıcaklık grafiği.



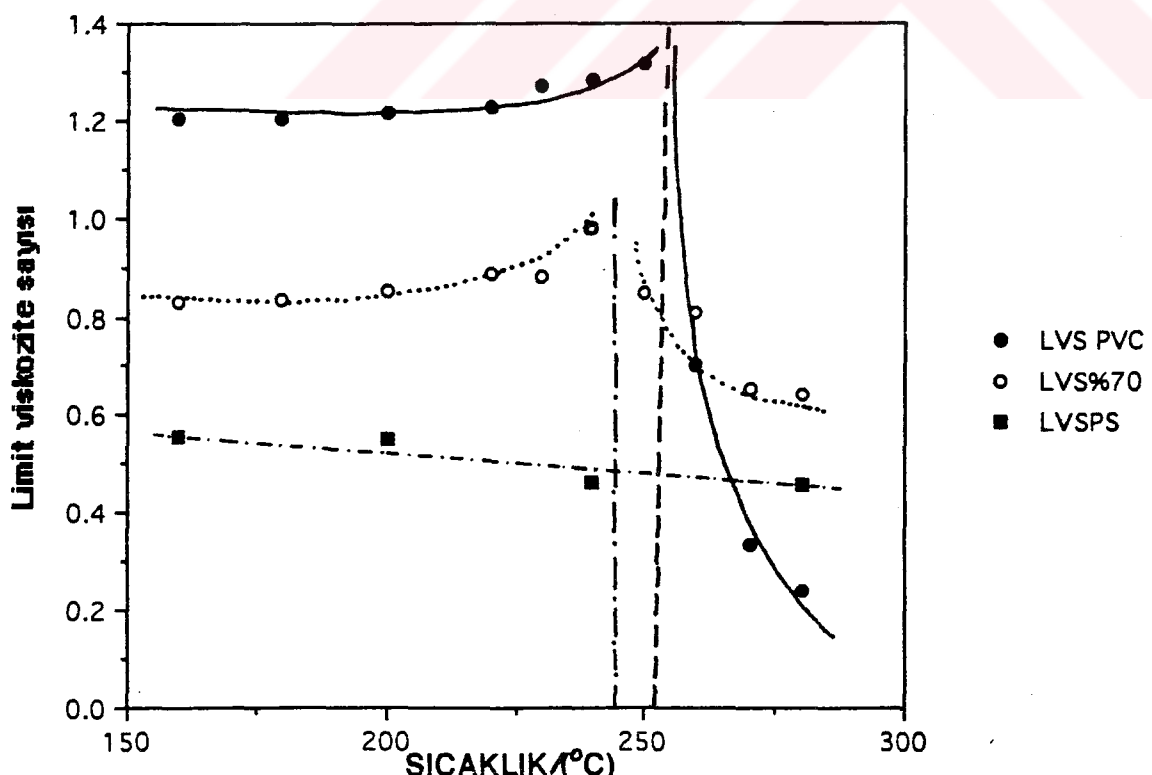
Şekil.14. Breon-113 PVC, PS(COOH) ve %60 PS(COOH)/PVC karışımının viskozite değerine karşı sıcaklık grafiği.



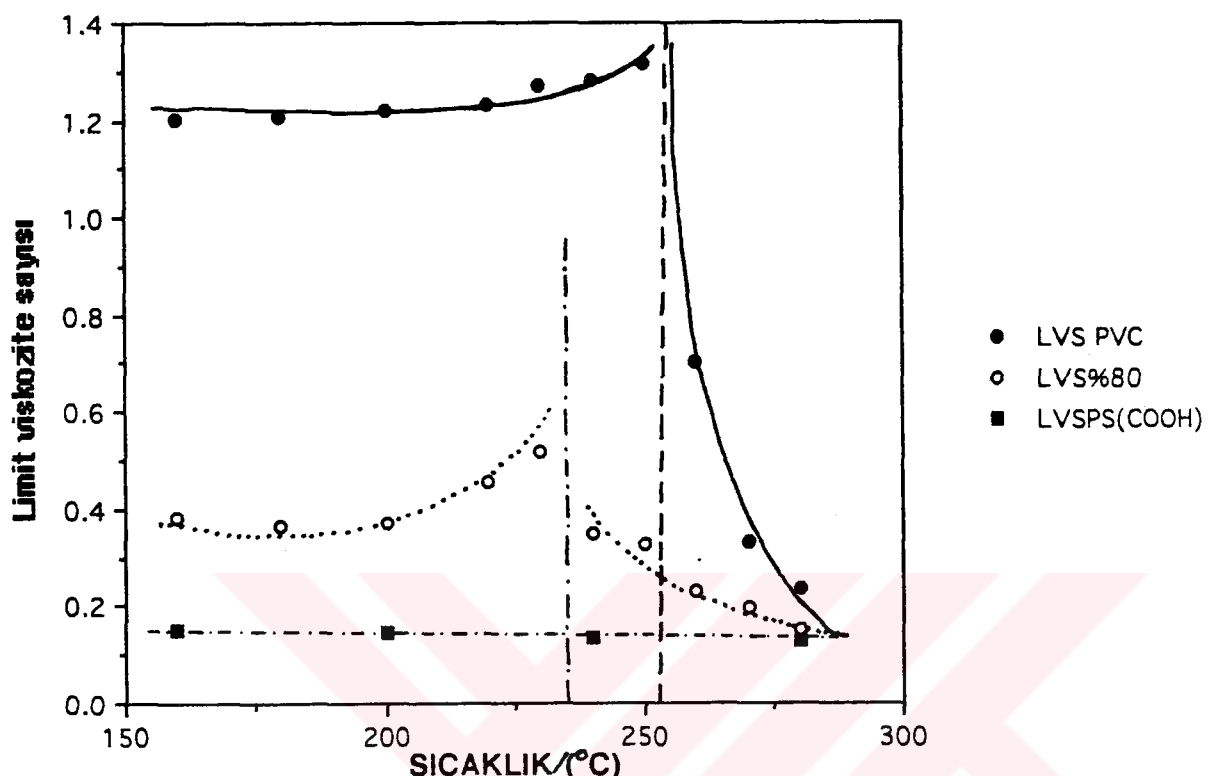
Şekil.15. Breon-113 PVC, Bextrene-161 PS ve %60 PS/PVC karışımının viskozite değerine karşı sıcaklık grafiği.



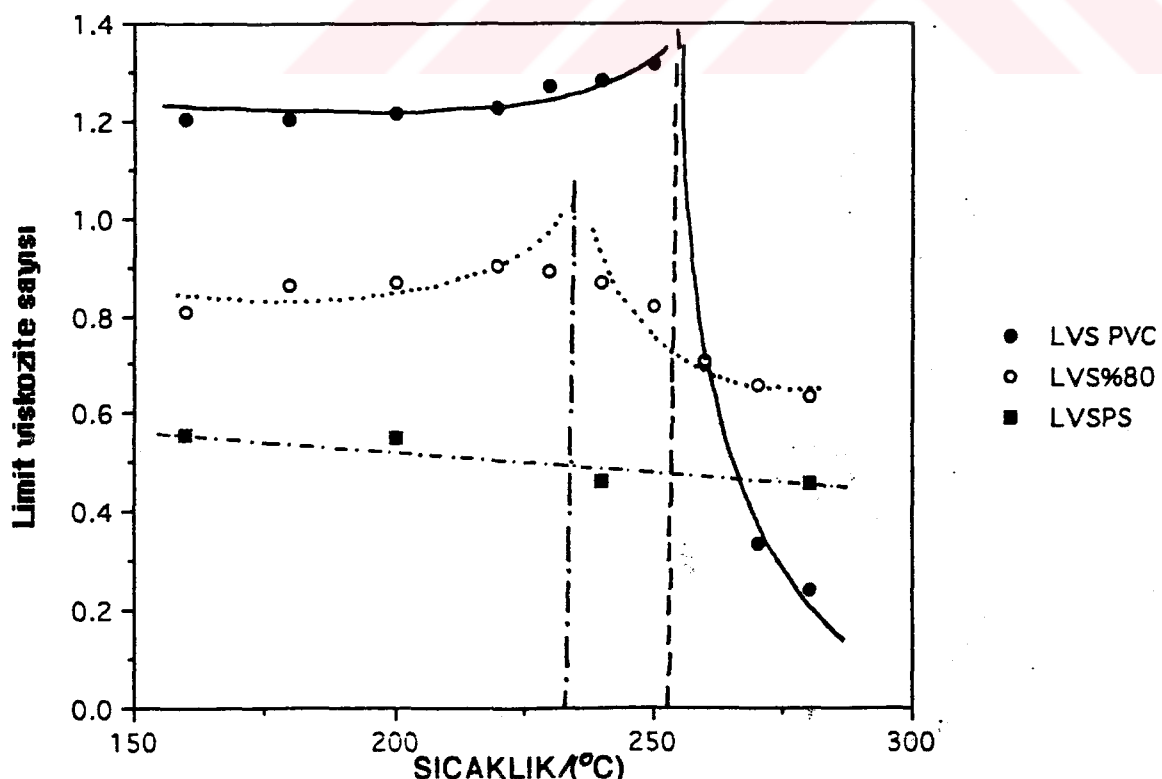
Şekil.16. Breon-113 PVC, PS(COOH) ve %70 PS(COOH)/PVC karışımının viskozite değerine karşı sıcaklık grafiği.



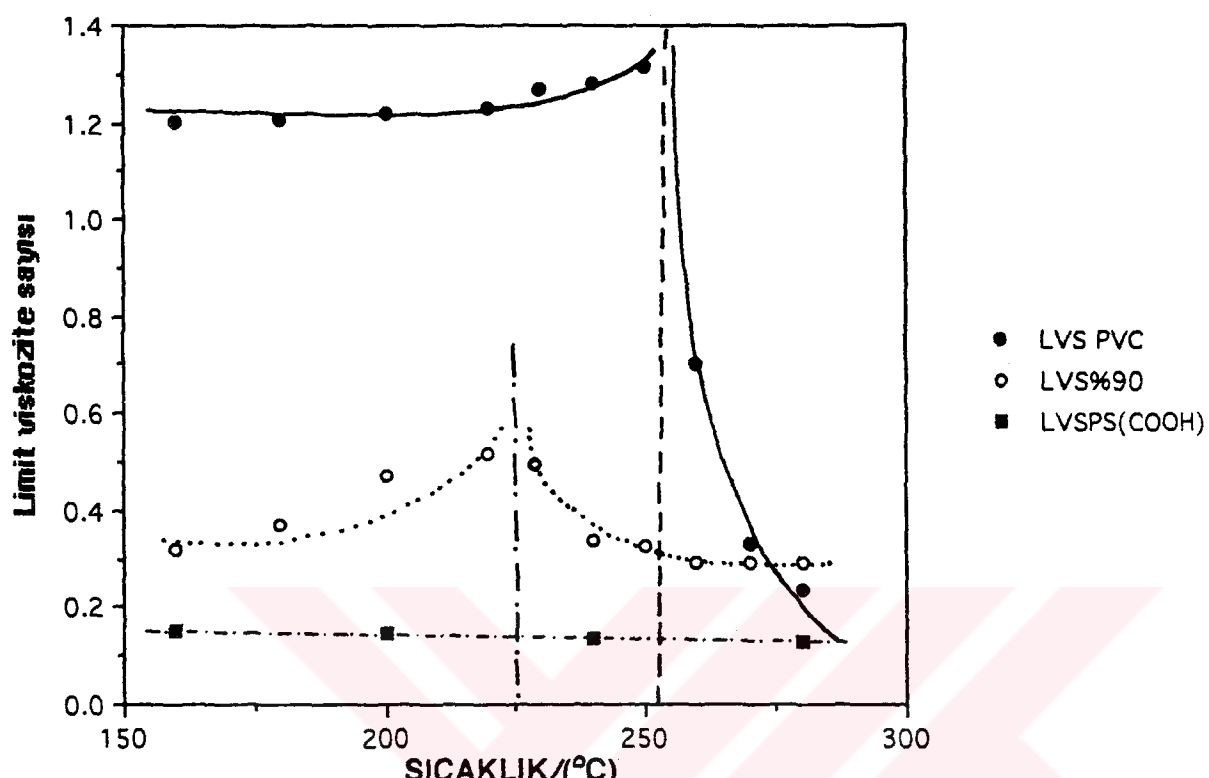
Şekil.17. Breon-113 PVC, Bextrene-161 PS ve %70 PS/PVC karışımının viskozite değerine karşı sıcaklık grafiği.



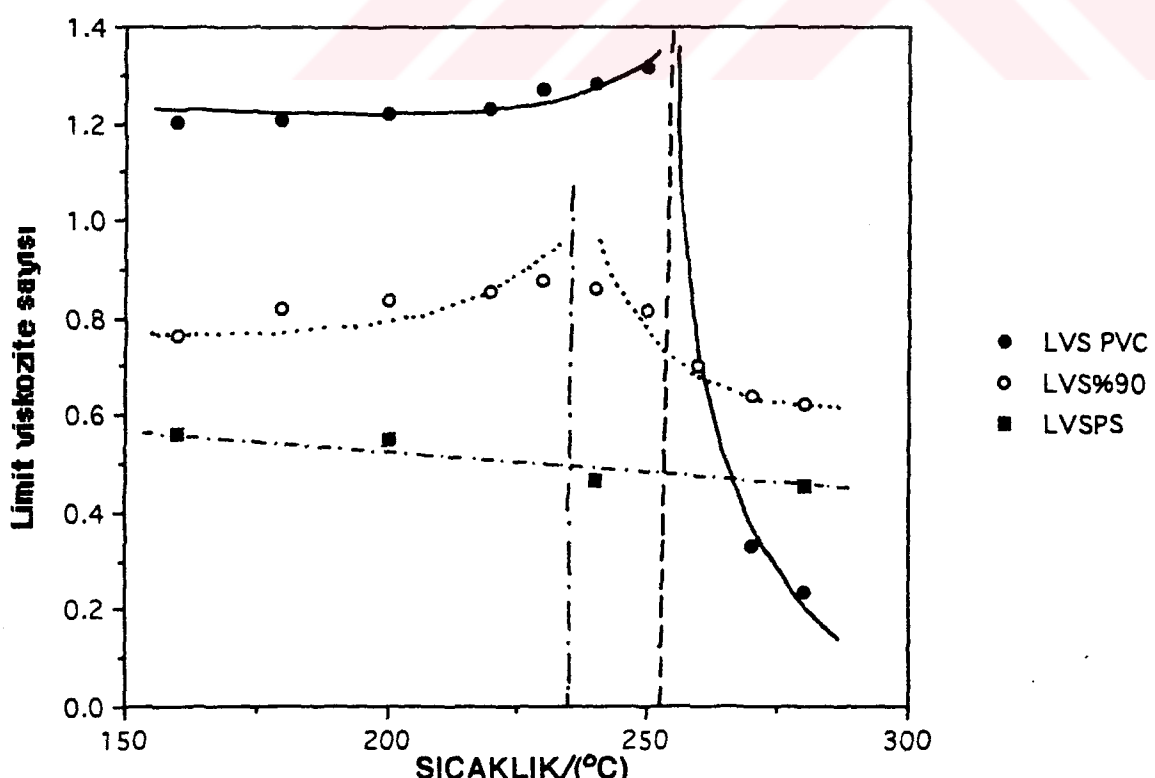
Şekil.18. Breon-113 PVC, PS(COOH) ve %80 PS(COOH)/PVC karışımının viskozite değerine karşı sıcaklık grafiği.



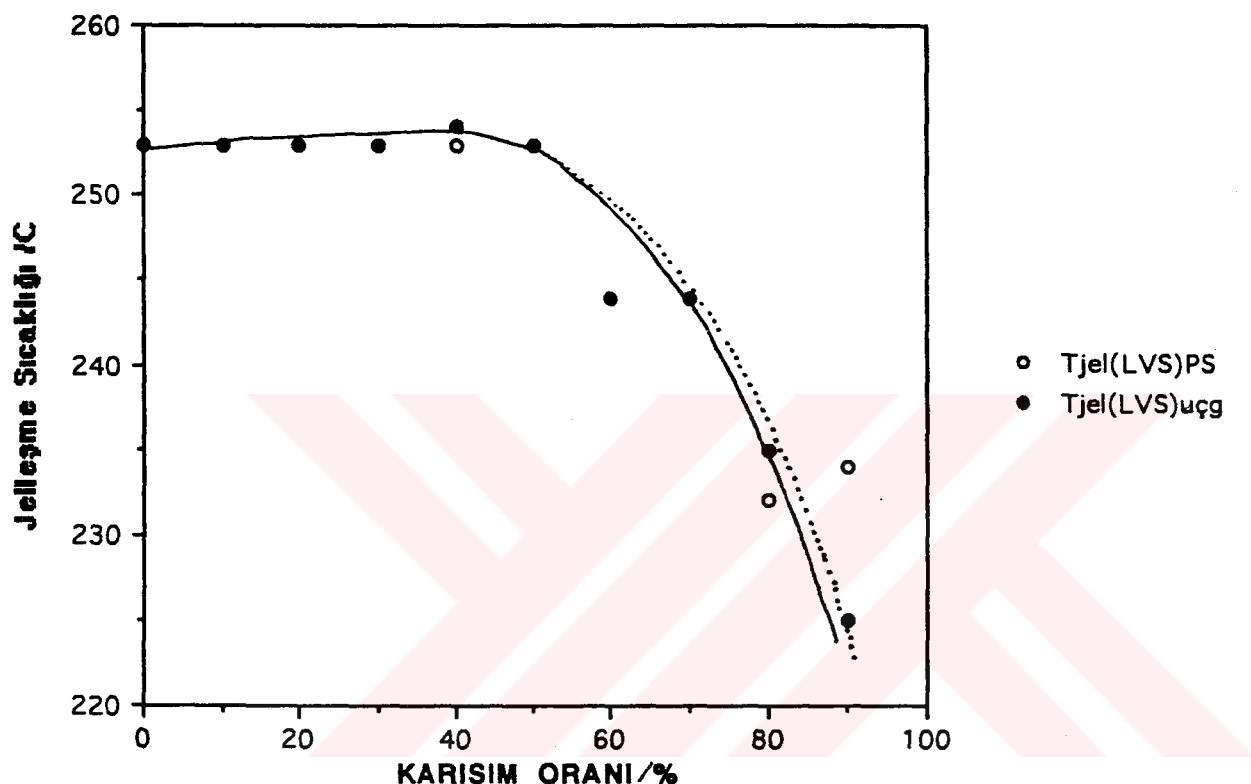
Şekil.19. Breon-113 PVC, Bextren-161 PS ve %80 PS/PVC karışımının viskozite değerine karşı sıcaklık grafiği.



Şekil.20. Breon-113 PVC, PS(COOH) ve %90 PS(COOH)/PVC karışımının viskozite değerine karşı sıcaklık grafiği.



Şekil.21. Breon-113 PVC, Bextrene-161 PS ve %90 PS/PVC karışımının viskozite değerine karşı sıcaklık grafiği.



Şekil.22 PS(COOH)/PVC ve PS/PVC karışımılarına ait viskozimetrik yöntemle bulunan jelleşme sıcaklıklarının karışım oranı ile değişimi.

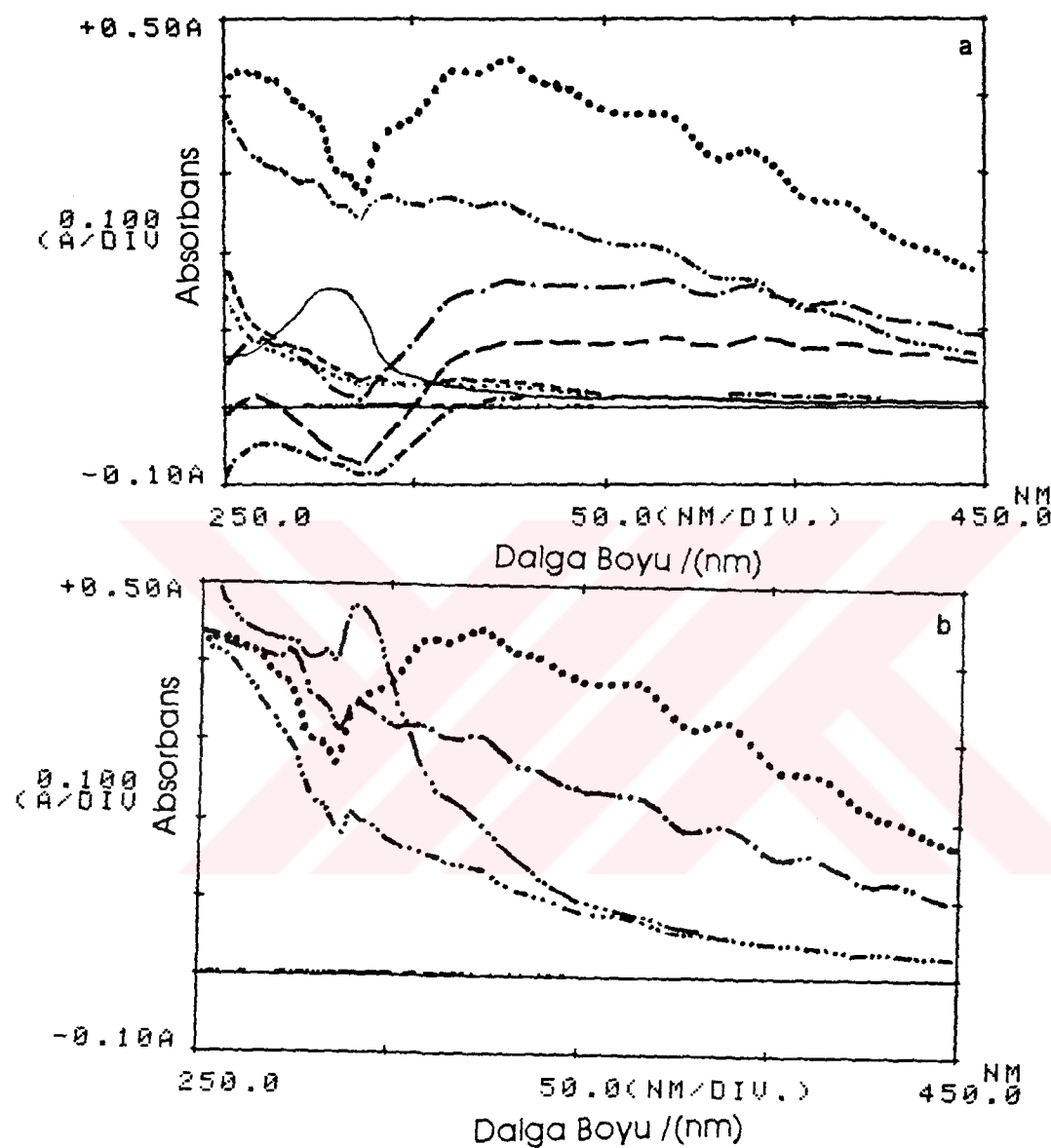
### 3.2. Spektrofotometrik Bulgular

Saf PVC, PS(COOH) ve PS ile %10-%90 arasındaki farklı oranlarda PS(COOH) ve PS içeren PS(COOH)/PVC ve PS/PVC film halindeki karışım örnekleri oda sıcaklığından yukarıda belirtilen sıcaklıklara kadar ısıtılmış ve bunların 0.1g/dL derişimindeki çözeltiler hazırlanmıştır. Bir hafta bekletildikten sonra tüm çözeltiler süzülerek jelleşme sıcaklığından daha büyük sıcaklıklara kadar ısıtılan örneklerin jel ve sol kısımları birbirinden ayrılmıştır.

Isıtılmış PVC nin süzüntü ve sol kısımları ile PS(COOH) ve PS nin süzüntülerin UV-VIS spektrumları kaydedilmiş ve Şekil 23, Şekil 24 ve Şekil 25' de gösterilmiştir. %10-%90 arasındaki farklı oranlarda PS(COOH) ve PS içeren PS(COOH)/PVC ve PS/PVC film halindeki karışım örneklerinin süzüntü ve sol kısımlarının kaydedilen UV-VIS spektrumları ise Şekil 26-43 te gösterilmiştir. Saf PVC, PS(COOH) ve PS ile %10-%90 arasındaki farklı oranlarda PS(COOH) ve PS içeren PS(COOH)/PVC ve PS/PVC film halindeki karışım örneklerinin süzüntü ve sol kısımlarının UV-VIS spektrumlarının 326, 350 ve 386 nm dalgaboyundaki absorbans değerleri ısıtma sıcaklığına karşı grafiğe geçirilmiş ve Şekil 44-64 de gösterilmiştir. Bu grafiklerde görülen dönüm noktalarından elde edilen her bir karışım örneğine ait ısisal jelleşme sıcaklıkları Çizelge 2 de verilmiştir. PS(COOH)/PVC ve PS/PVC karışım örneklerine ait ısisal jelleşme sıcaklıkları karışım oranına karşı grafiğe geçirilmiş ve Şekil 65 te gösterilmiştir.

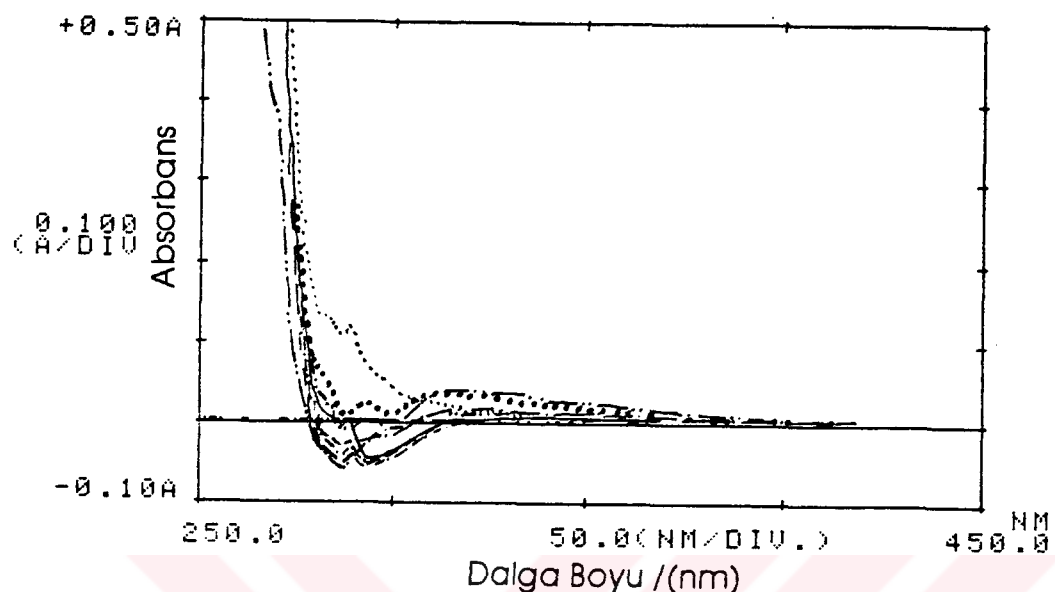
Çizelge.2. PS(COOH)/PVC ve PS/PVC karışımlarının spektrofotometrik yöntem sonunda bulunan ısisal jelleşme sıcaklıkları.

% karışım oranı	0	10	20	30	40	50	60	70	80	90
PS(COOH)/PVC	253	253	254	253	253	253	245	246	235	234
PS/PVC	253	253	253	254	253	253	244	244	243	235

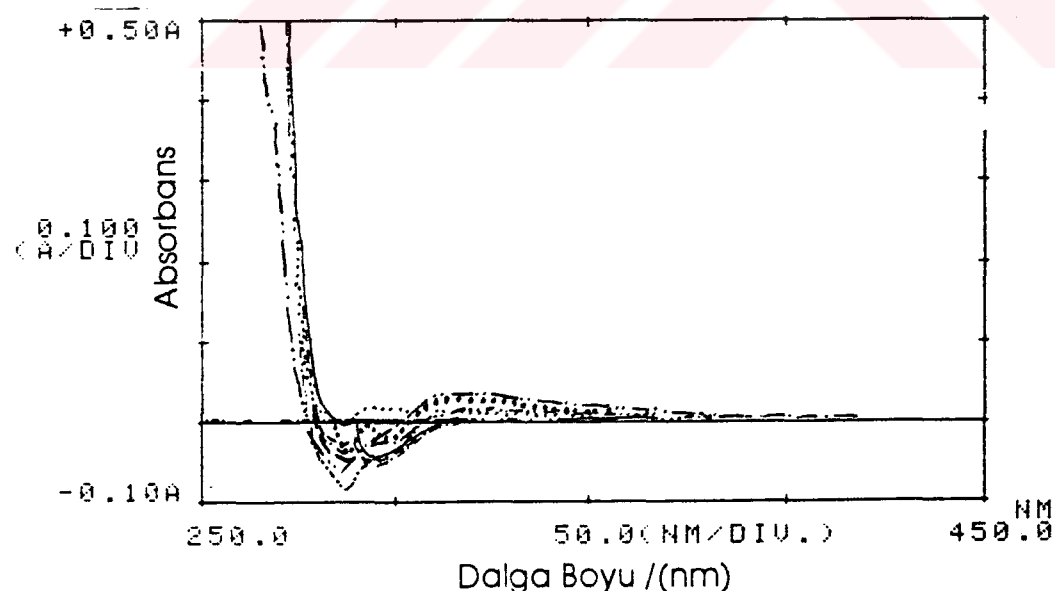


Şekil.23.  $10^{\circ}\text{C}/\text{dk}$  ısıtma hızı ve  $25\text{cm}^3/\text{dk}$  azot atmosferinde oda sıcaklığından değişik sıcaklıklara kadar ısıtılmış olan Breon-113 PVC filminin THF deki çözeltilerinin UV-VIS spektrumları.

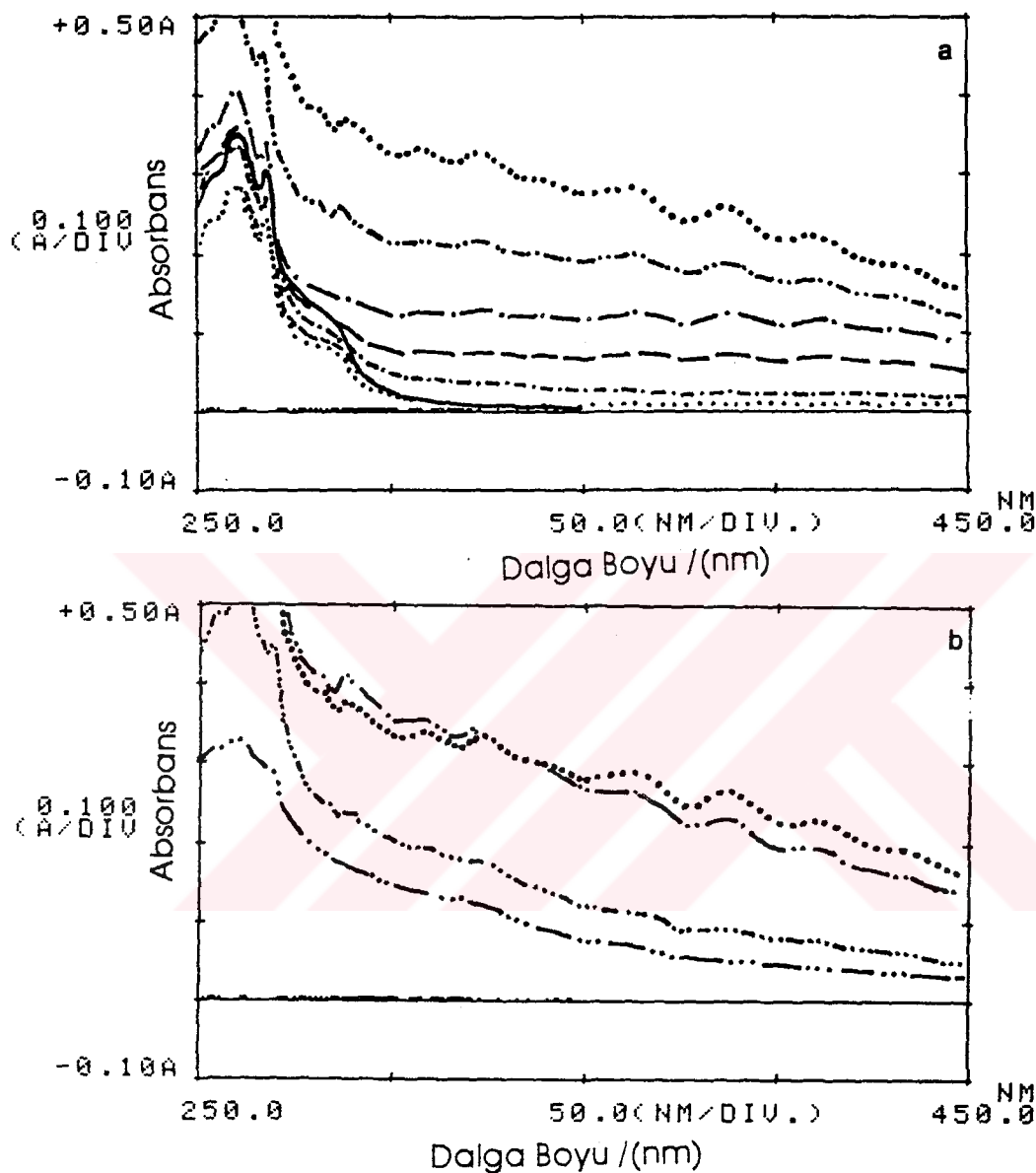
- a) (—) ısıtılmamış, (……)  $160^{\circ}\text{C}$ , (---)  $180^{\circ}\text{C}$ , (-·-)  $200^{\circ}\text{C}$ ,
- (—)  $220^{\circ}\text{C}$ , (—·—)  $230^{\circ}\text{C}$ , (—)  $240^{\circ}\text{C}$ , (……)  $250^{\circ}\text{C}$
- b) (……)  $250^{\circ}\text{C}$ , (—·—)  $260^{\circ}\text{C}$ , (—·—)  $270^{\circ}\text{C}$ , (—·—)  $280^{\circ}\text{C}$



Şekil.24 10°C/dk ısıtma hızı ve 25cm<sup>3</sup>/dk azot atmosferinde oda sıcaklığından değişik sıcaklıklara kadar ısıtılmış olan karboksil uç gruplu polistirenin, [PS(COOH)] THF'deki çözeltilerinin UV-VIS spektrumları. (—) ısıtılmamış, (.....) 160°C, (---) 200°C, (- - - -) 240°C, (— —) 280°C, (— · — ·) 320°C, (— .. — ..) 360°C, (.....) 400°C ve (— “ — “) 440°C

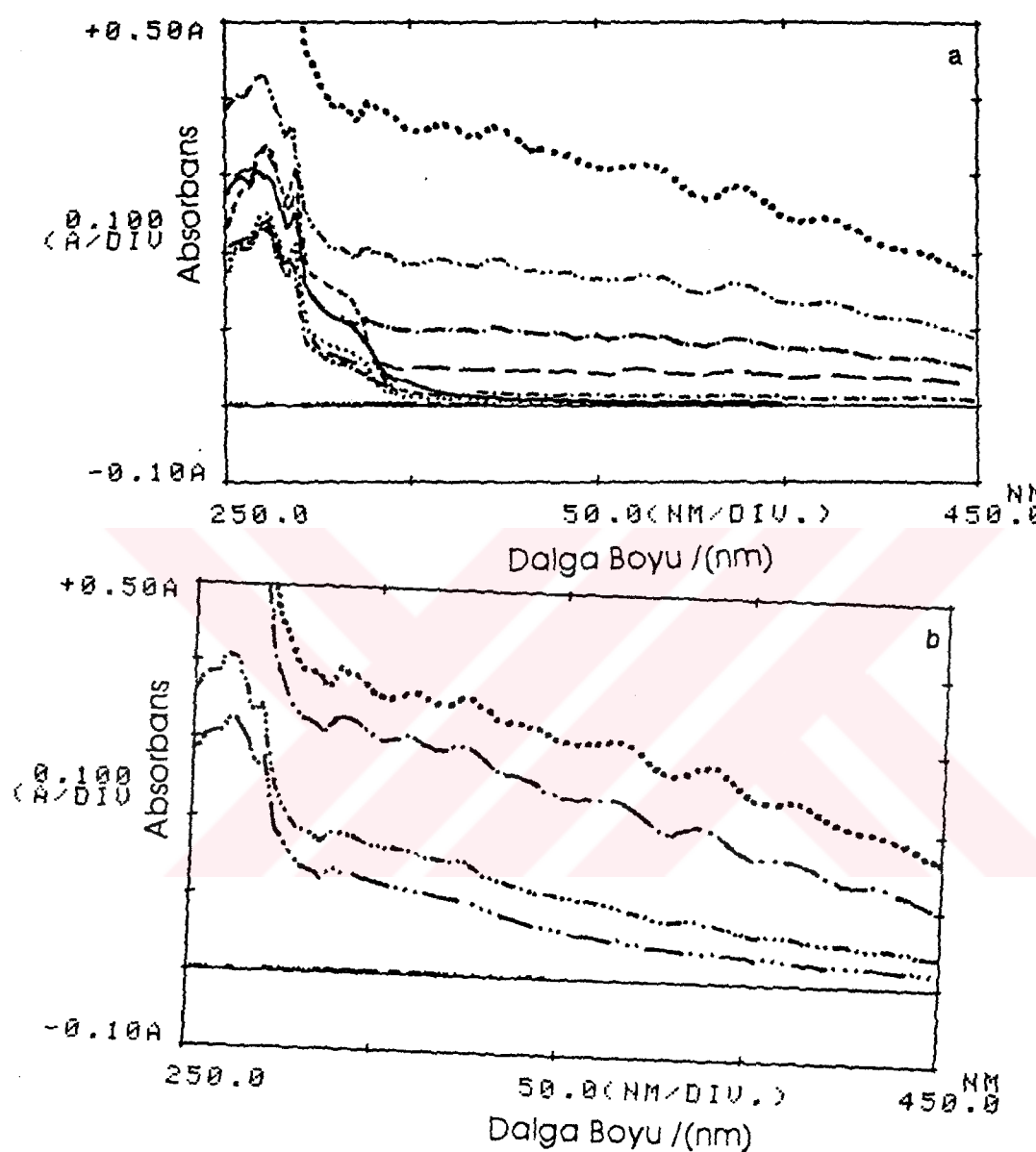


Şekil. 25 10°C/dk ısıtma hızı ve 25cm<sup>3</sup>/dk azot atmosferinde oda sıcaklığından değişik sıcaklıklara kadar ısıtılmış olan Bextrene-161 Polistirenin, (PS) THF'deki çözeltilerinin UV-VIS spektrumları. (—) ısıtılmamış, (.....) 160°C, (---) 200°C, (- - - -) 240°C, (— —) 280°C, (— · — ·) 320°C, (— .. — ..) 360°C, (.....) 400°C ve (— “ — “) 440°C



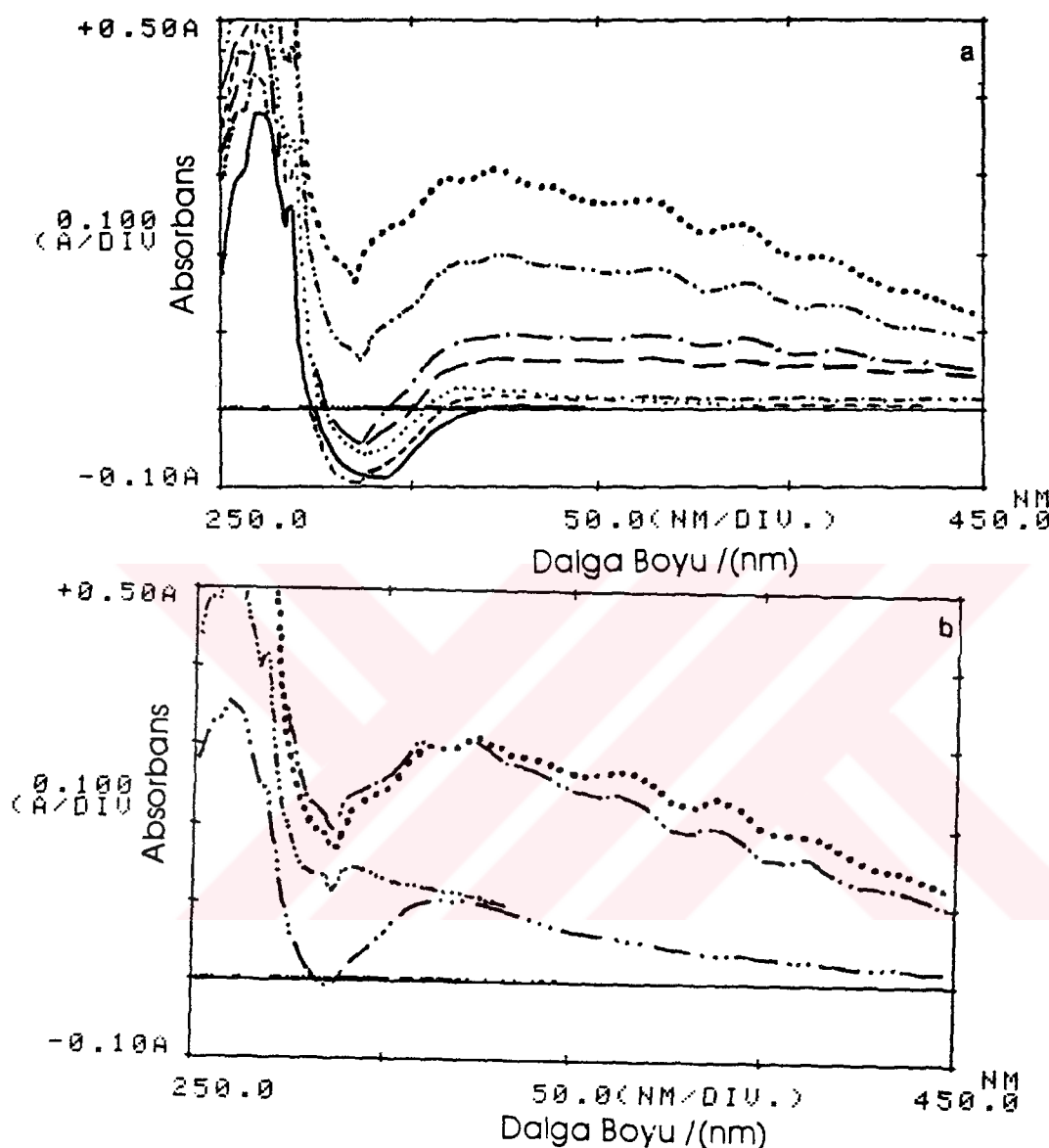
Şekil.26.  $10^{\circ}\text{C}/\text{dk}$  ısıtma hızı ve  $25\text{cm}^3/\text{dk}$  azot atmosferinde oda sıcaklığından değişik sıcaklıklara kadar ısıtılmış olan %10 PS(COOH)/PVC karışım filminin THF deki çözeltilerinin UV-VIS spektrumları.

- a) (—) ısıtılmamış, (.....)  $160^{\circ}\text{C}$ , (- - -)  $180^{\circ}\text{C}$ , (- - - -)  $200^{\circ}\text{C}$ ,
- (- - -)  $220^{\circ}\text{C}$ , (— - -)  $230^{\circ}\text{C}$ , (— - - -)  $240^{\circ}\text{C}$ , (.....)  $250^{\circ}\text{C}$
- b) (.....)  $250^{\circ}\text{C}$ , (— - -)  $260^{\circ}\text{C}$ , (— - - -)  $270^{\circ}\text{C}$ , (— - - - -)  $280^{\circ}\text{C}$



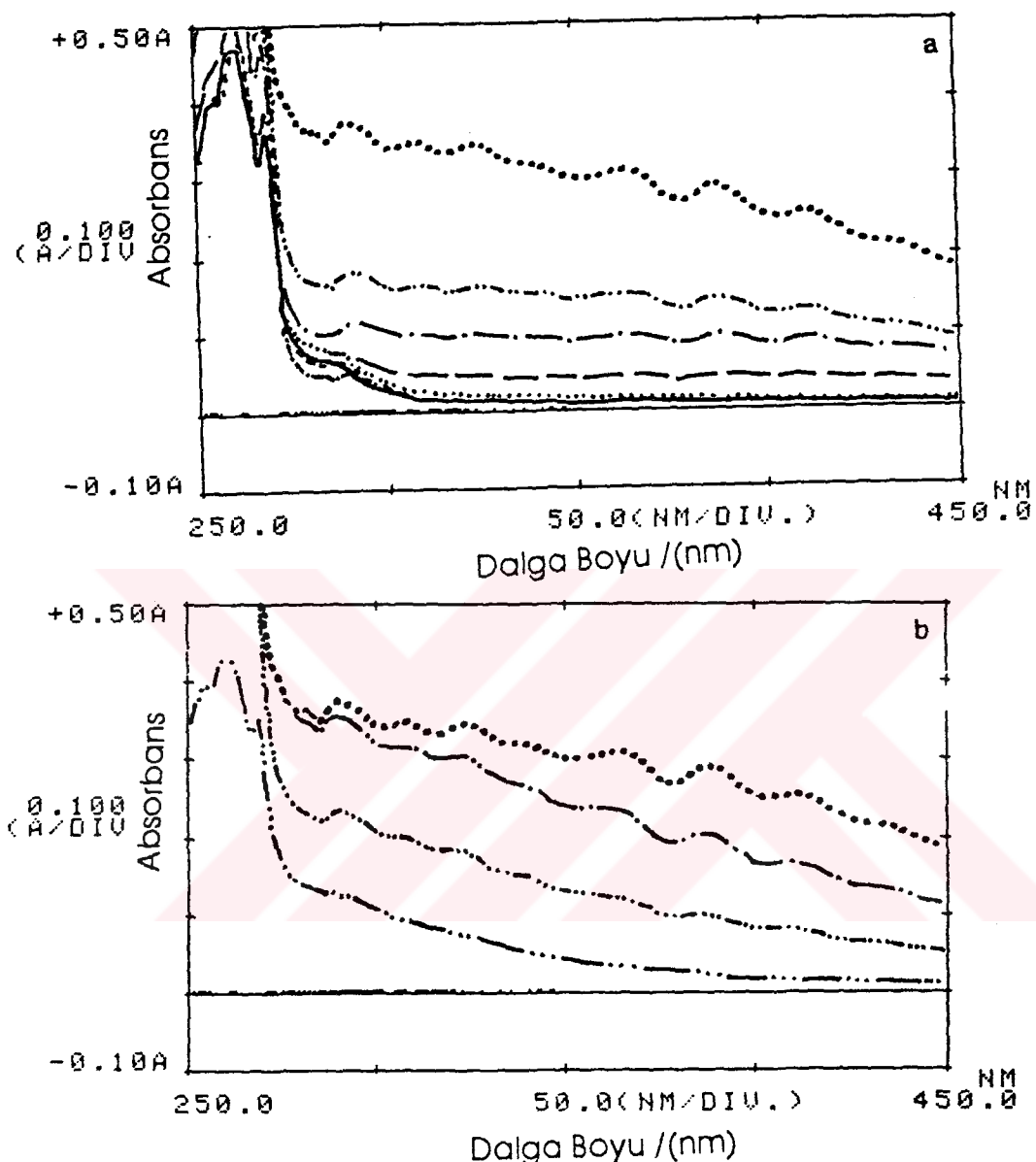
Şekil.27  $10^{\circ}\text{C}/\text{dk}$  ısıtma hızı ve  $25\text{cm}^3/\text{dk}$  azot atmosferinde oda sıcaklığından değişik sıcaklıklara kadar ısıtılmış olan %10 PS/PVC karışım filminin THF deki çözeltilerinin UV-VIS spektrumları.

- a) (—) ısıtılmamış, (.....)  $160^{\circ}\text{C}$ , (---)  $180^{\circ}\text{C}$ , (- - -)  $200^{\circ}\text{C}$ ,  
 (—)  $220^{\circ}\text{C}$ , (— · —)  $230^{\circ}\text{C}$ , (— · —)  $240^{\circ}\text{C}$ , (.....)  $250^{\circ}\text{C}$
- b) (.....)  $250^{\circ}\text{C}$ , (— · —)  $260^{\circ}\text{C}$ , (— · —)  $270^{\circ}\text{C}$ , (— · —)  $280^{\circ}\text{C}$



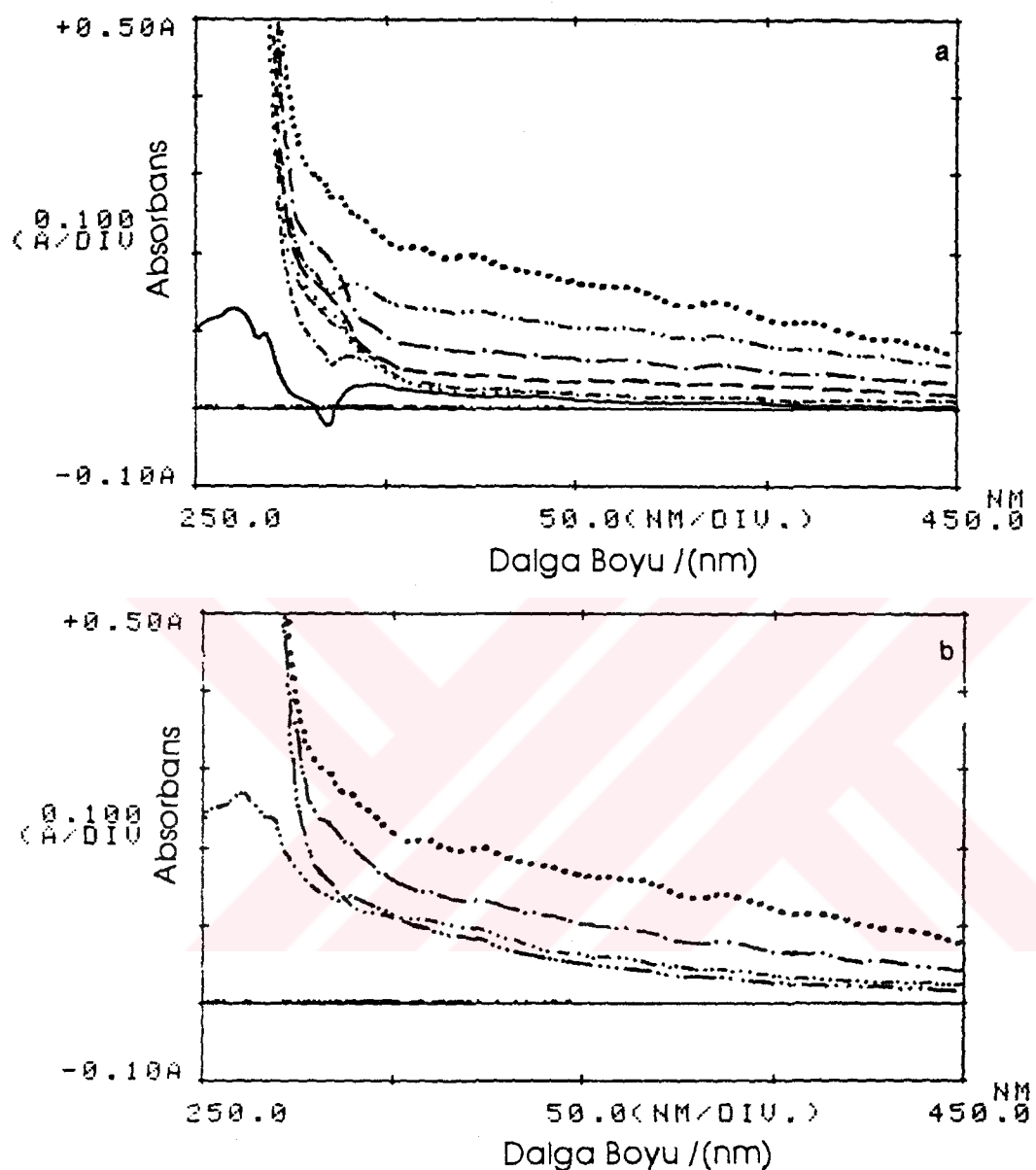
Şekil.28  $10^{\circ}\text{C}/\text{dk}$  ısıtma hızı ve  $25\text{cm}^3/\text{dk}$  azot atmosferinde oda sıcaklığından değişik sıcaklıklara kadar ısıtılmış olan %20PS(COOH)/PVC karışım filminin THF deki çözeltilerinin UV-VIS spektrumları.

- a) (—) ısıtılmamış, (.....)  $160^{\circ}\text{C}$ , (- - -)  $180^{\circ}\text{C}$ , (- - - -)  $200^{\circ}\text{C}$ ,
- (- - -)  $220^{\circ}\text{C}$ , (- - - -)  $230^{\circ}\text{C}$ , (- - - -)  $240^{\circ}\text{C}$ , (.....)  $250^{\circ}\text{C}$
- b) (.....)  $250^{\circ}\text{C}$ , (- - - -)  $260^{\circ}\text{C}$ , (- - - - -)  $270^{\circ}\text{C}$ , (- - - - - -)  $280^{\circ}\text{C}$



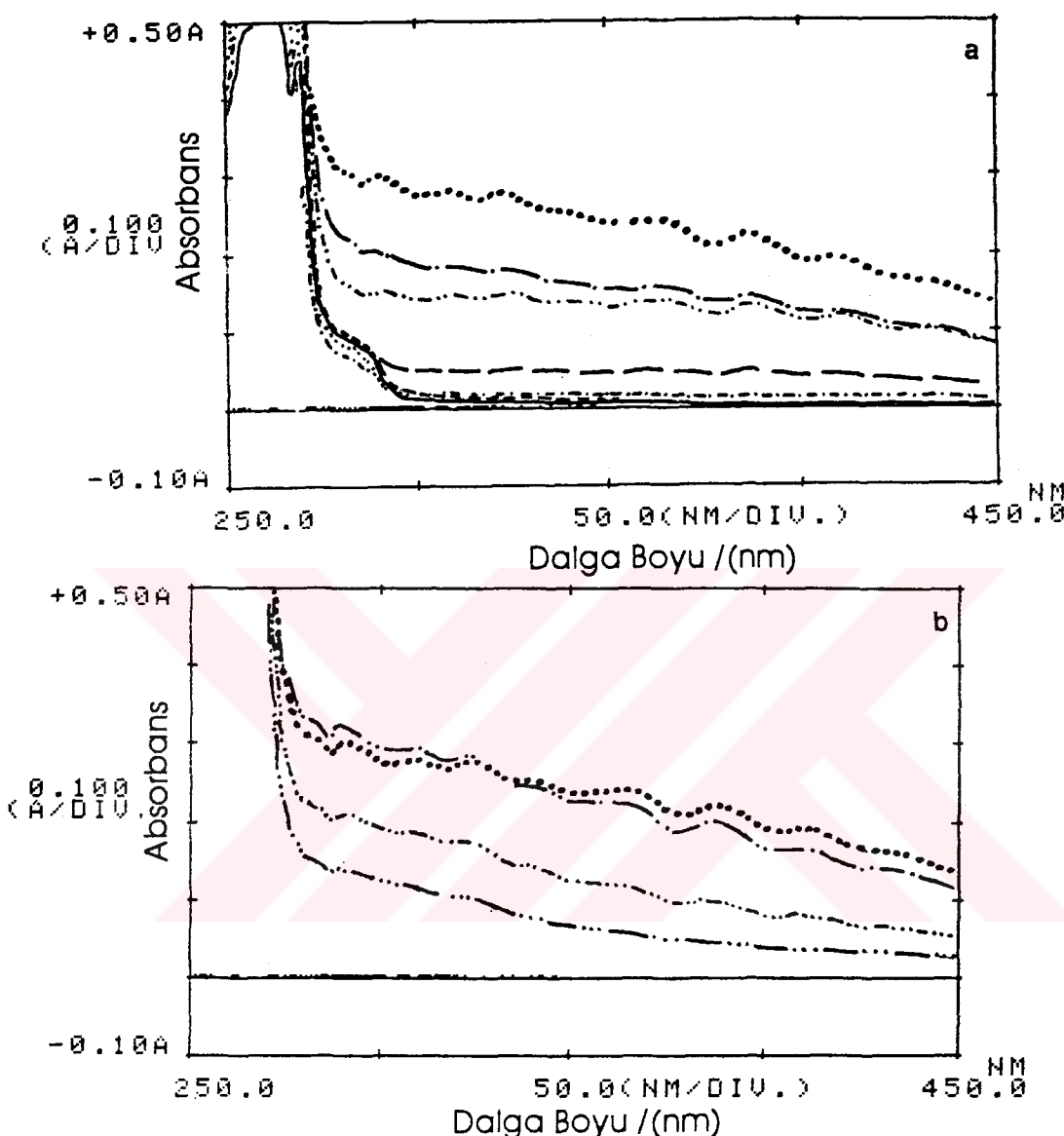
Şekil.29  $10^{\circ}\text{C}/\text{dk}$  ısıtma hızı ve  $25\text{cm}^3/\text{dk}$  azot atmosferinde oda sıcaklığından değişik sıcaklıklara kadar ısıtılmış olan %20PS/PVC karışım filminin THF deki çözeltilerinin UV-VIS spektrumları.

- a) (—) ısıtılmamış, (.....)  $160^{\circ}\text{C}$ , (- - -)  $180^{\circ}\text{C}$ , (- - - -)  $200^{\circ}\text{C}$ ,  
 (— — —)  $220^{\circ}\text{C}$ , (— · —)  $230^{\circ}\text{C}$ , (— · · —)  $240^{\circ}\text{C}$ , (.....)  $250^{\circ}\text{C}$
- b) (.....)  $250^{\circ}\text{C}$ , (— · —)  $260^{\circ}\text{C}$ , (— · · —)  $270^{\circ}\text{C}$ , (— · · · —)  $280^{\circ}\text{C}$



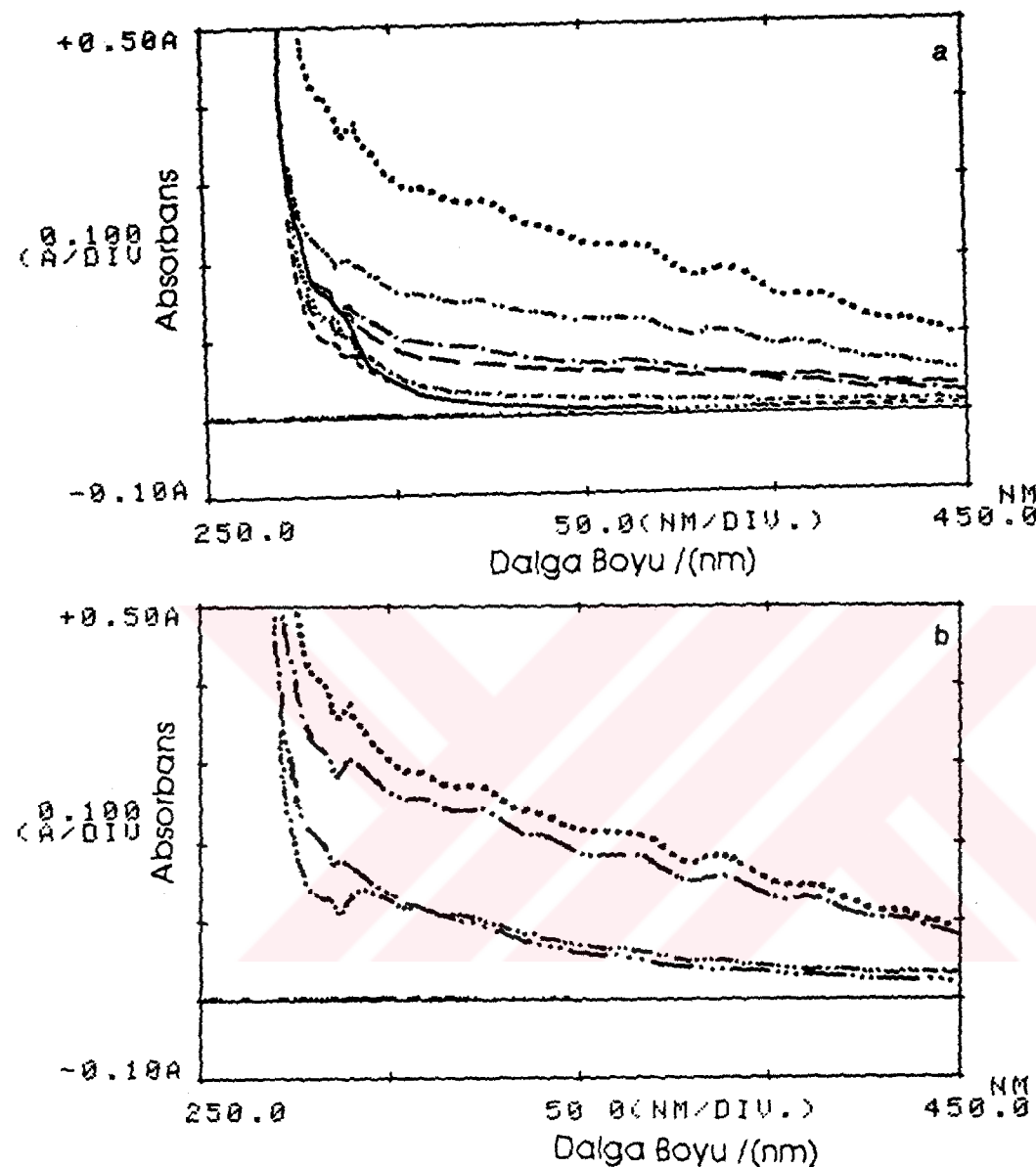
Şekil.30.  $10^{\circ}\text{C}/\text{dk}$  ısıtma hızı ve  $25\text{cm}^3/\text{dk}$  azot atmosferinde oda sıcaklığından değişik sıcaklıklara kadar ısıtılmış olan %30PS(COOH)/PVC karışım filminin THF deki çözeltilerinin UV-VIS spektrumları.

- a) (—) ısıtılmamış, (.....)  $160^{\circ}\text{C}$ , (- - -)  $180^{\circ}\text{C}$ , (— · —)  $200^{\circ}\text{C}$ ,  
 (— — —)  $220^{\circ}\text{C}$ , (— · —)  $230^{\circ}\text{C}$ , (— · —)  $240^{\circ}\text{C}$ , (.....)  $250^{\circ}\text{C}$
- b) (.....)  $250^{\circ}\text{C}$ , (— · —)  $260^{\circ}\text{C}$ , (— · —)  $270^{\circ}\text{C}$ , (— · —)  $280^{\circ}\text{C}$



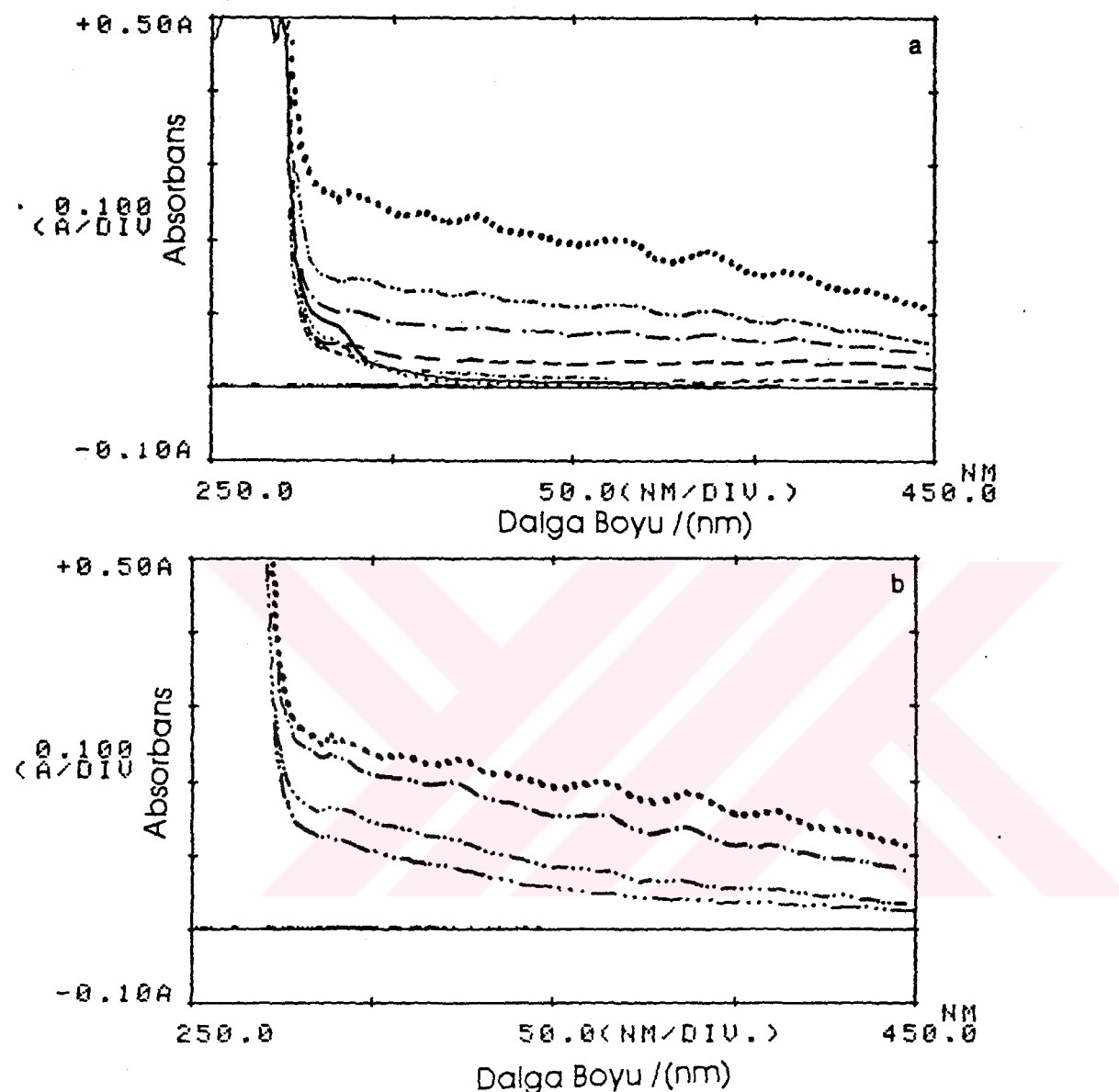
Şekil.31.  $10^{\circ}\text{C}/\text{dk}$  ısıtma hızı ve  $25\text{cm}^3/\text{dk}$  azot atmosferinde oda sıcaklığından değişik sıcaklıklara kadar ısıtılmış olan %30PS/PVC karışım filminin THF deki çözeltilerinin UV-VIS spektrumları

- a) (—) ısıtılmamış, (.....)  $160^{\circ}\text{C}$ , (---)  $180^{\circ}\text{C}$ , (- - -)  $200^{\circ}\text{C}$ ,
- (— — —)  $220^{\circ}\text{C}$ , (— · —)  $230^{\circ}\text{C}$ , (— · · —)  $240^{\circ}\text{C}$ , (· · · · ·)  $250^{\circ}\text{C}$
- b) (.....)  $250^{\circ}\text{C}$ , (— · —)  $260^{\circ}\text{C}$ , (— · · —)  $270^{\circ}\text{C}$ , (— · · · —)  $280^{\circ}\text{C}$



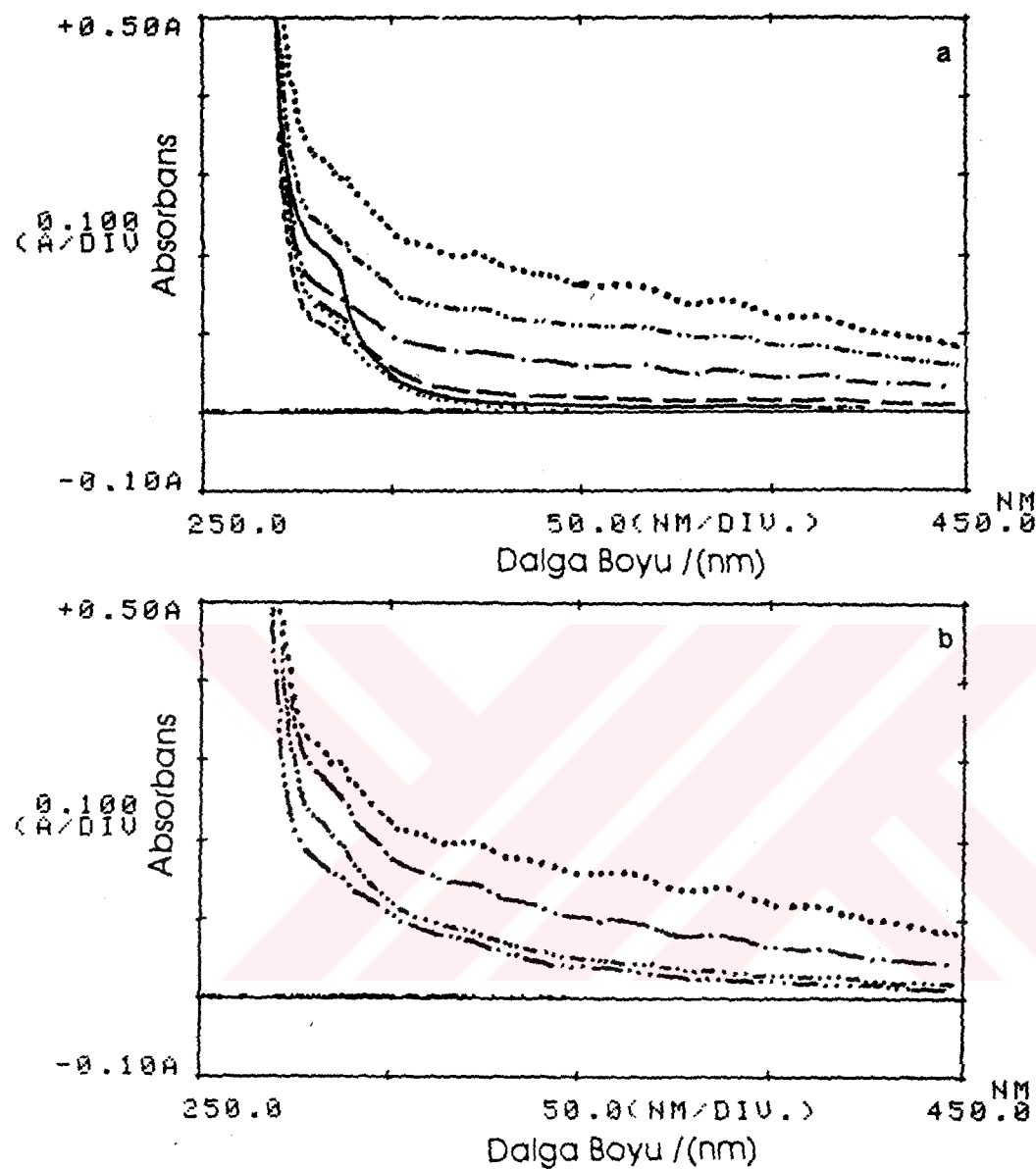
Şekil.32.  $10^{\circ}\text{C}/\text{dk}$  ısıtma hızı ve  $25\text{cm}^3/\text{dk}$  azot atmosferinde oda sıcaklığından değişik sıcaklıklara kadar ısıtılmış olan %40 PS(COOH)/PVC karışım filminin THF deki çözeltilerinin UV-VIS spektrumları.

a) (—) ısıtılmamış, (.....)  $160^{\circ}\text{C}$ , (---)  $180^{\circ}\text{C}$ , (----)  $200^{\circ}\text{C}$ ,  
 (—)  $220^{\circ}\text{C}$ , (—)  $230^{\circ}\text{C}$ , (—)  $240^{\circ}\text{C}$ , (.....)  $250^{\circ}\text{C}$   
 b) (.....)  $250^{\circ}\text{C}$ , (—)  $260^{\circ}\text{C}$ , (—)  $270^{\circ}\text{C}$ , (----)  $280^{\circ}\text{C}$



Şekil.33.  $10^{\circ}\text{C}/\text{dk}$  ısıtma hızı ve  $25\text{cm}^3/\text{dk}$  azot atmosferinde oda sıcaklığından değişik sıcaklıklara kadar ısıtılmış olan %40 PS/PVC karışım filminin THF deki çözeltilerinin UV-VIS spektrumları.

- a) (—) ısıtılmamış, (.....)  $160^{\circ}\text{C}$ , (- - -)  $180^{\circ}\text{C}$ , (- - - -)  $200^{\circ}\text{C}$ ,  
 (- - - -)  $220^{\circ}\text{C}$ , (- - -)  $230^{\circ}\text{C}$ , (- - - -)  $240^{\circ}\text{C}$ , (.....)  $250^{\circ}\text{C}$
- b) (.....)  $250^{\circ}\text{C}$ , (—)  $260^{\circ}\text{C}$ , (- - -)  $270^{\circ}\text{C}$ , (- - - -)  $280^{\circ}\text{C}$

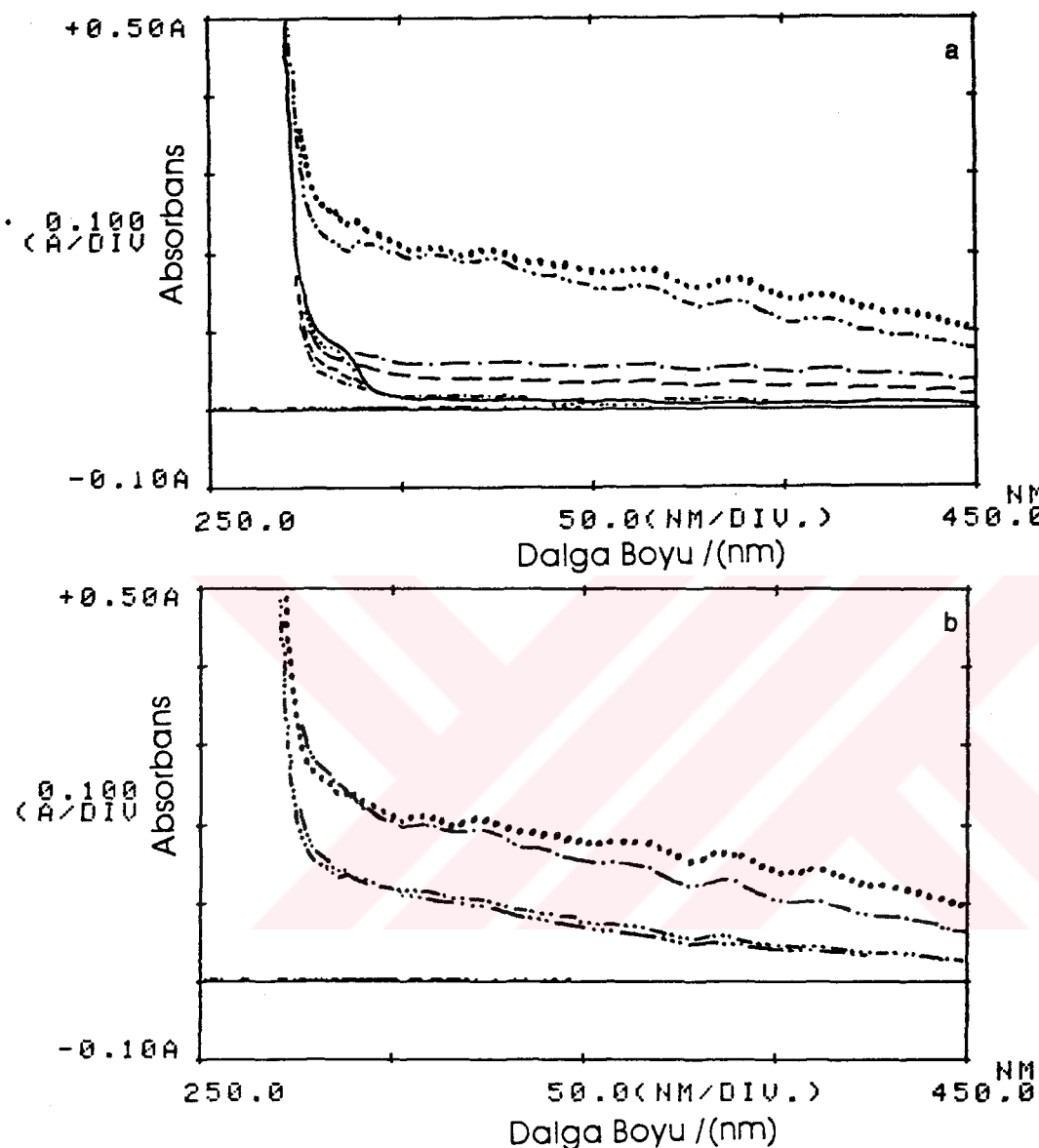


Şekil.34  $10^{\circ}\text{C}/\text{dk}$  ısıtma hızı ve  $25\text{cm}^3/\text{dk}$  azot atmosferinde oda sıcaklığından değişik sıcaklıklara kadar ısıtılmış olan %50 PS(COOH)/PVC karışım filminin THF deki çözeltilerinin UV-VIS spektrumları.

a) (—) ısıtılmamış, (.....)  $160^{\circ}\text{C}$ , (---)  $180^{\circ}\text{C}$ , (- - -)  $200^{\circ}\text{C}$ ,

(— — —)  $220^{\circ}\text{C}$ , (— · —)  $230^{\circ}\text{C}$ , (— · · —)  $240^{\circ}\text{C}$ , (.....)  $250^{\circ}\text{C}$

b) (.....)  $250^{\circ}\text{C}$ , (— · —)  $260^{\circ}\text{C}$ , (— · · —)  $270^{\circ}\text{C}$ , (— ... —)  $280^{\circ}\text{C}$

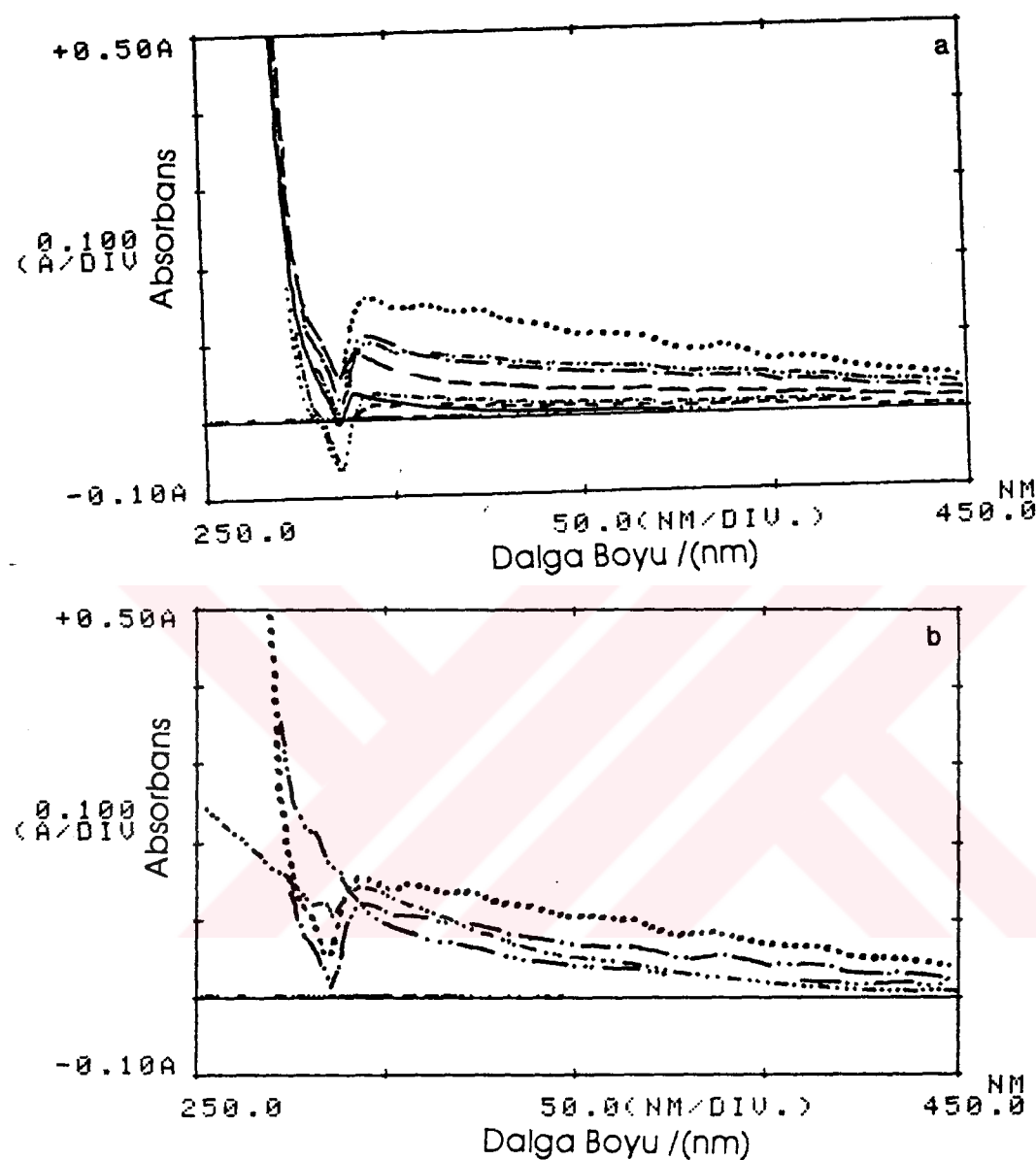


Şekil.35  $10^{\circ}\text{C}/\text{dk}$  ısıtma hızı ve  $25\text{cm}^3/\text{dk}$  azot atmosferinde oda sıcaklığından değişik sıcaklıklara kadar ısıtılmış olan %50 PS /PVC karışım filminin THF deki çözeltilerinin UV-VIS spektrumları.

a) (—) ısıtılmamış, (.....)  $160^{\circ}\text{C}$ , (---)  $180^{\circ}\text{C}$ , (- - -)  $200^{\circ}\text{C}$ ,

(— — —)  $220^{\circ}\text{C}$ , (— · —)  $230^{\circ}\text{C}$ , (— · · —)  $240^{\circ}\text{C}$ , (.....)  $250^{\circ}\text{C}$

b) (.....)  $250^{\circ}\text{C}$ , (— · —)  $260^{\circ}\text{C}$ , (— · · —)  $270^{\circ}\text{C}$ , (— · — · —)  $280^{\circ}\text{C}$

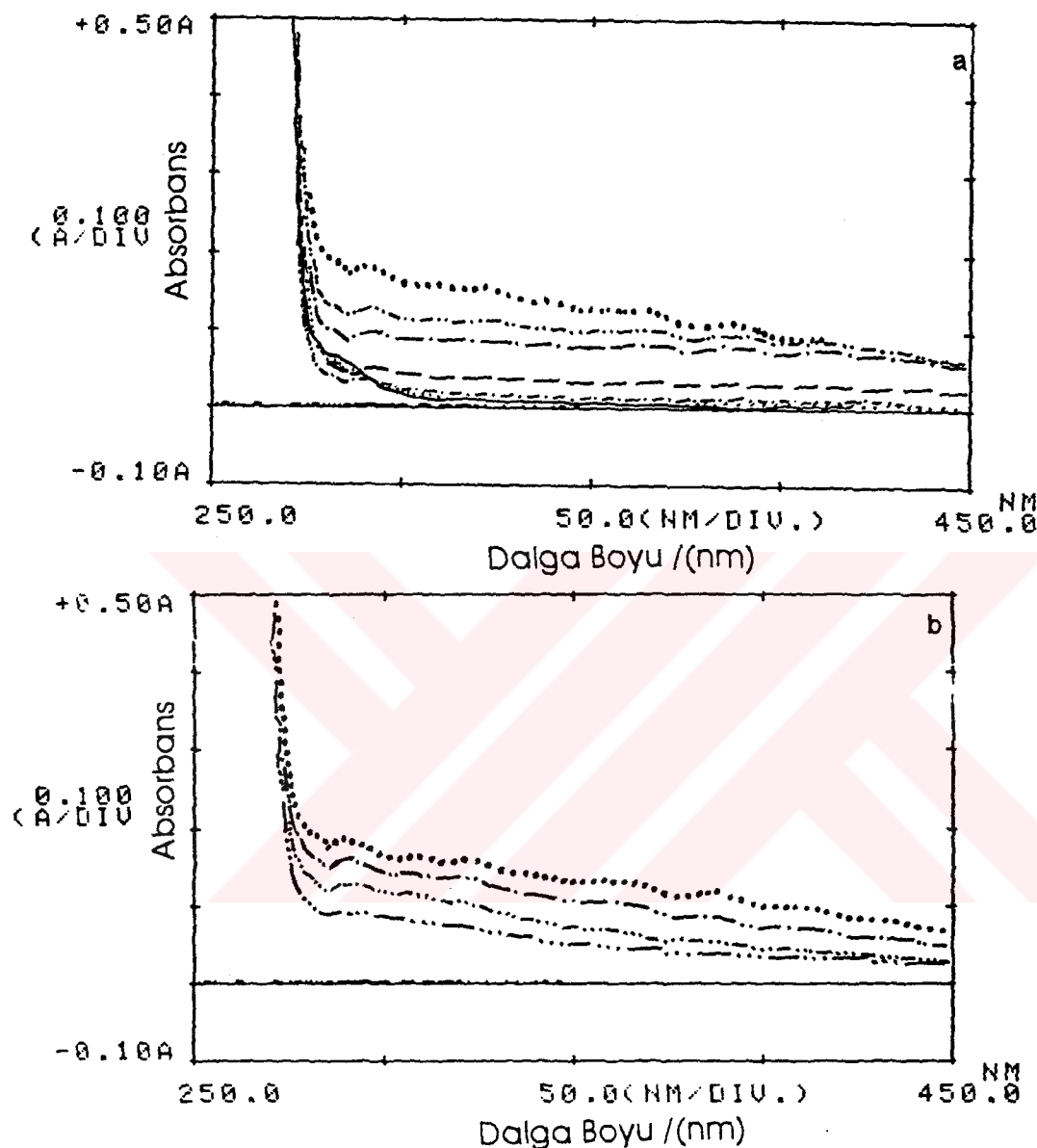


Şekil.36  $10^{\circ}\text{C}/\text{dk}$  ısıtma hızı ve  $25\text{cm}^3/\text{dk}$  azot atmosferinde oda sıcaklığından değişik sıcaklıklara kadar ısıtılmış olan %60 PS(COOH)/PVC karışım filminin THF deki çözeltilerinin UV-VIS spektrumları.

a) (—) ısıtılmamış, (.....)  $160^{\circ}\text{C}$ , (---)  $180^{\circ}\text{C}$ , (-·-)  $200^{\circ}\text{C}$ ,

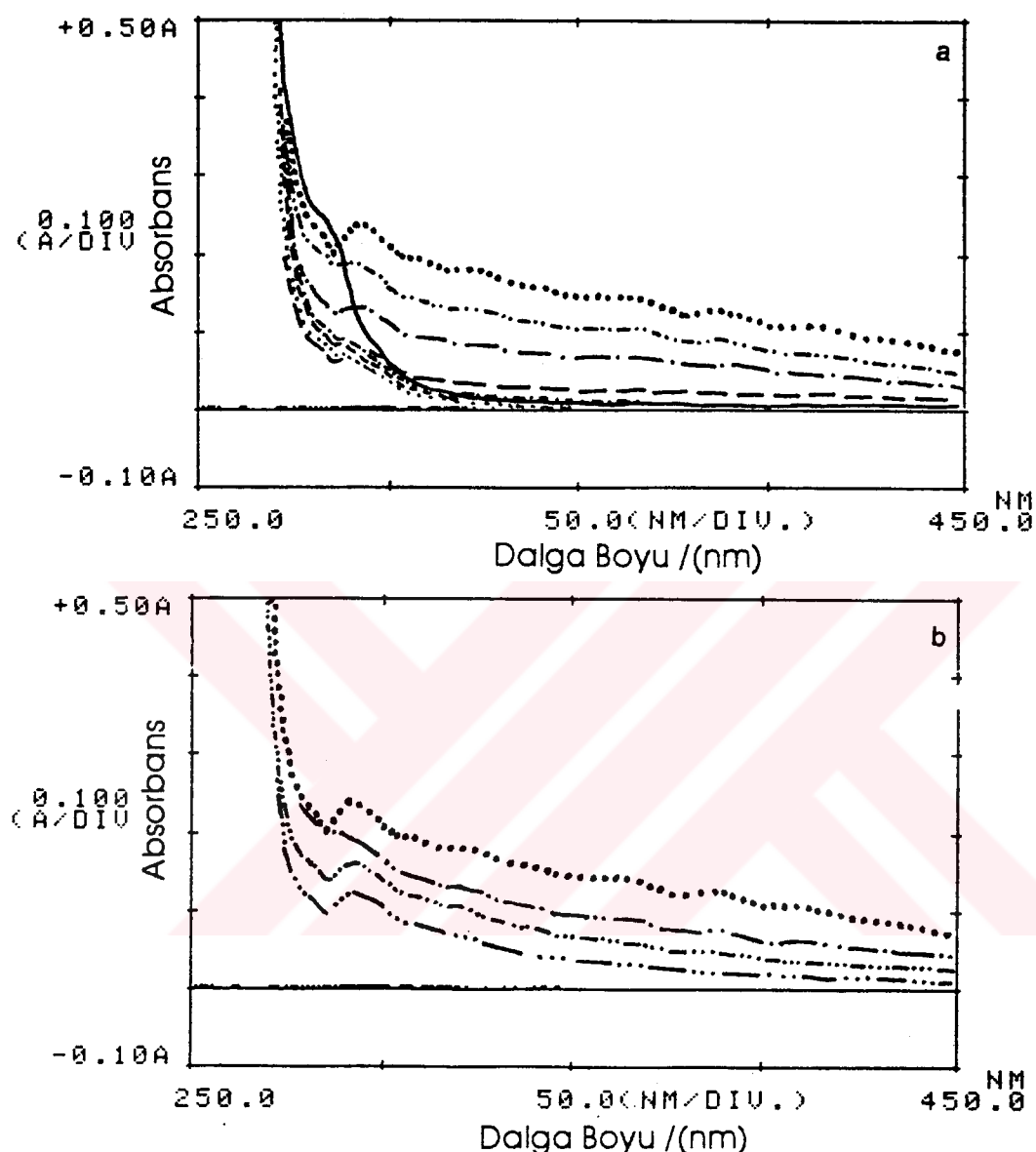
(— — —)  $220^{\circ}\text{C}$ , (—·—)  $230^{\circ}\text{C}$ , (—·—)  $240^{\circ}\text{C}$ , (.....)  $250^{\circ}\text{C}$

b) (.....)  $250^{\circ}\text{C}$ , (—·—)  $260^{\circ}\text{C}$ , (—·—)  $270^{\circ}\text{C}$ , (—·—)  $280^{\circ}\text{C}$



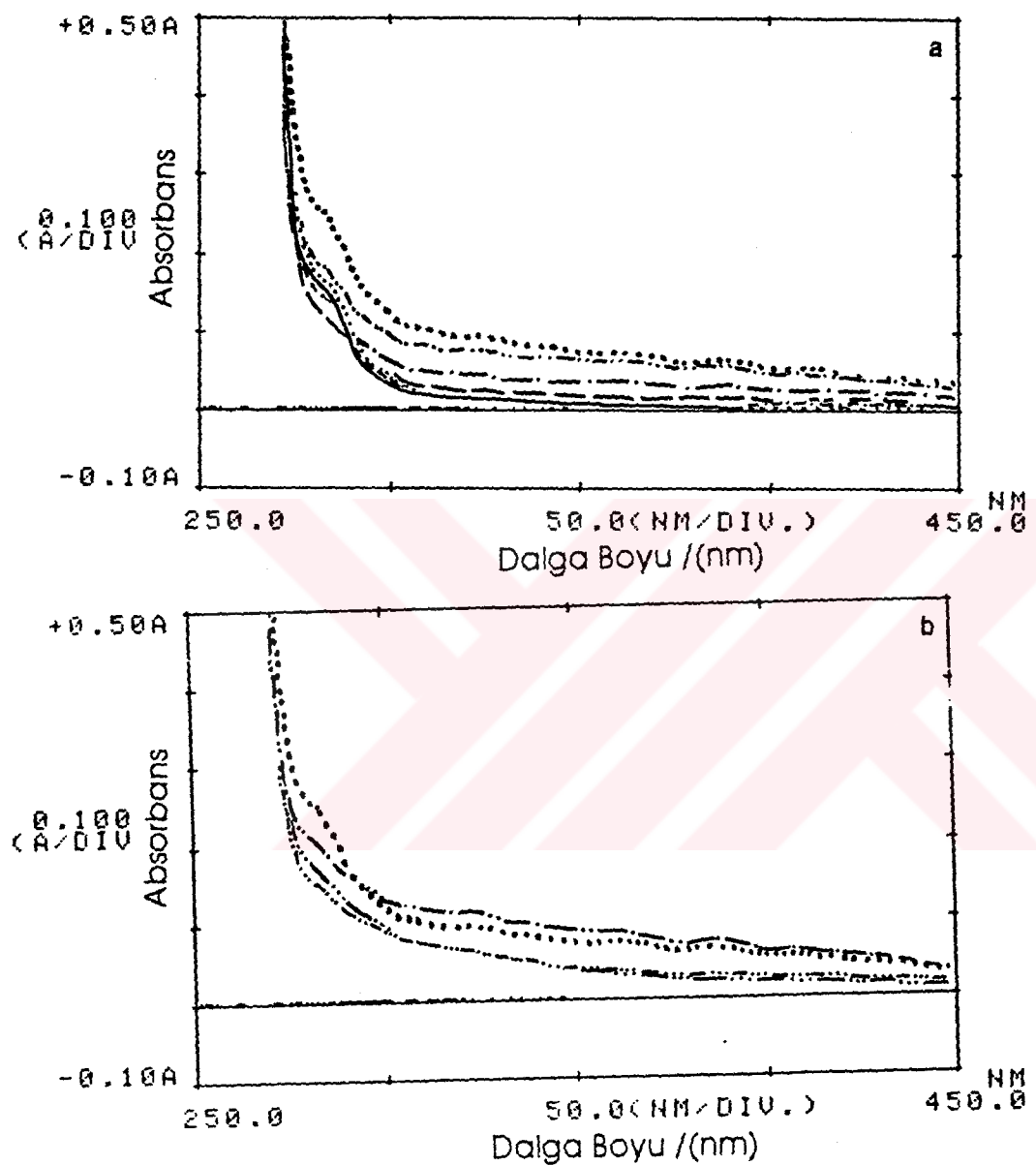
Şekil.37  $10^{\circ}\text{C}/\text{dk}$  ısıtma hızı ve  $25\text{cm}^3/\text{dk}$  azot atmosferinde oda sıcaklığından değişik sıcaklıklara kadar ısıtılmış olan %60 PS/PVC karışım filminin THF'deki çözeltilerinin UV-VIS spektrumları.

- a) (—) ısıtılmamış, (.....)  $160^{\circ}\text{C}$ , (---)  $180^{\circ}\text{C}$ , (-·-)  $200^{\circ}\text{C}$ ,  
 (— — —)  $220^{\circ}\text{C}$ , (— · —)  $230^{\circ}\text{C}$ , (— · · —)  $240^{\circ}\text{C}$ , (.....)  $250^{\circ}\text{C}$
- b) (.....)  $250^{\circ}\text{C}$ , (— · — ·)  $260^{\circ}\text{C}$ , (— · · —)  $270^{\circ}\text{C}$ , (— · — —)  $280^{\circ}\text{C}$



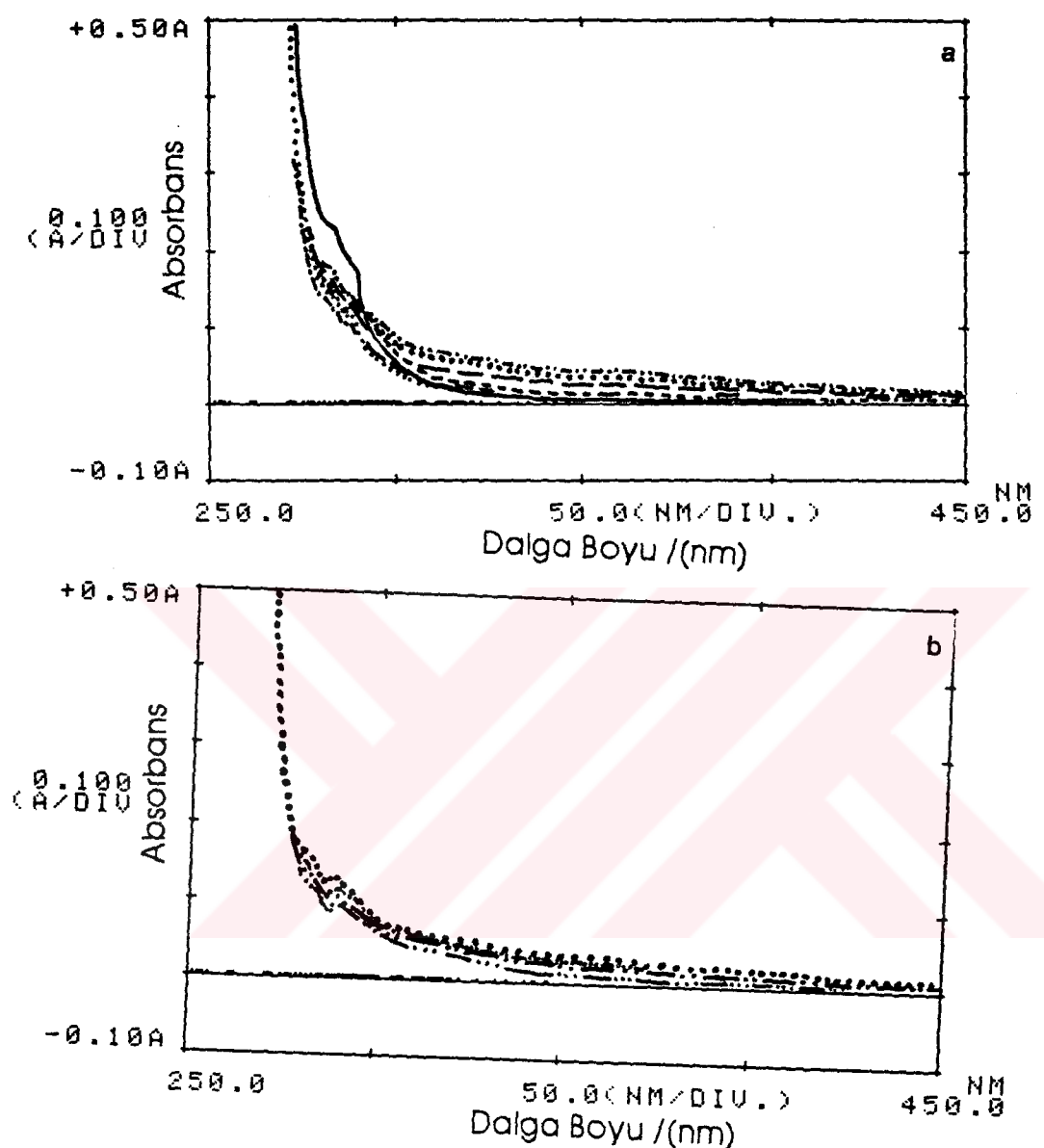
Şekil.38.  $10^{\circ}\text{C}/\text{dk}$  ısıtma hızı ve  $25\text{cm}^3/\text{dk}$  azot atmosferinde oda sıcaklığından değişik sıcaklıklara kadar ısıtılmış olan %70 PS(COOH)/PVC karışım filminin THF deki çözeltilerinin UV-VIS spektrumları.

- a) (—) ısıtılmamış, (.....)  $160^{\circ}\text{C}$ , (- - -)  $180^{\circ}\text{C}$ , (----)  $200^{\circ}\text{C}$ ,  
 (— — —)  $220^{\circ}\text{C}$ , (— · —)  $230^{\circ}\text{C}$ , (— · · —)  $240^{\circ}\text{C}$ , (.....)  $250^{\circ}\text{C}$
- b) (.....)  $250^{\circ}\text{C}$ , (— · —)  $260^{\circ}\text{C}$ , (— · · —)  $270^{\circ}\text{C}$ , (— · · · —)  $280^{\circ}\text{C}$



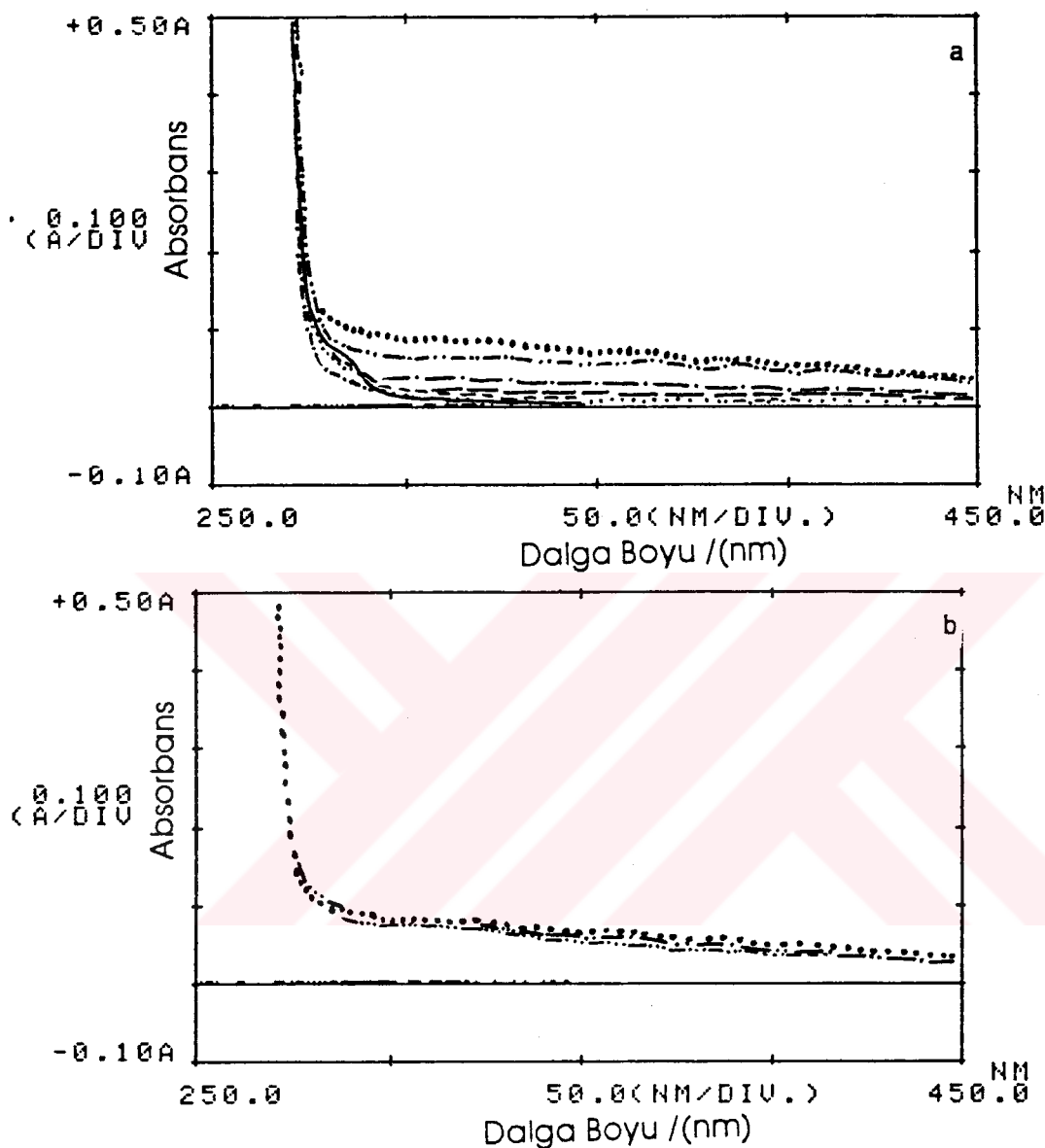
Şekil.39.  $10^{\circ}\text{C}/\text{dk}$  ısıtma hızı ve  $25\text{cm}^3/\text{dk}$  azot atmosferinde oda sıcaklığından değişik sıcaklıklara kadar ısıtılmış olan %70 PS/PVC karışım filminin THF deki çözeltilerinin UV-VIS spektrumları.

- a) (—) ısıtılmamış, (.....)  $160^{\circ}\text{C}$ , (---)  $180^{\circ}\text{C}$ , (- - -)  $200^{\circ}\text{C}$ ,
- (— —)  $220^{\circ}\text{C}$ , (— · —)  $230^{\circ}\text{C}$ , (— · · —)  $240^{\circ}\text{C}$ , (.....)  $250^{\circ}\text{C}$
- b) (.....)  $250^{\circ}\text{C}$ , (— · —)  $260^{\circ}\text{C}$ , (— · · —)  $270^{\circ}\text{C}$ , (— ... —)  $280^{\circ}\text{C}$



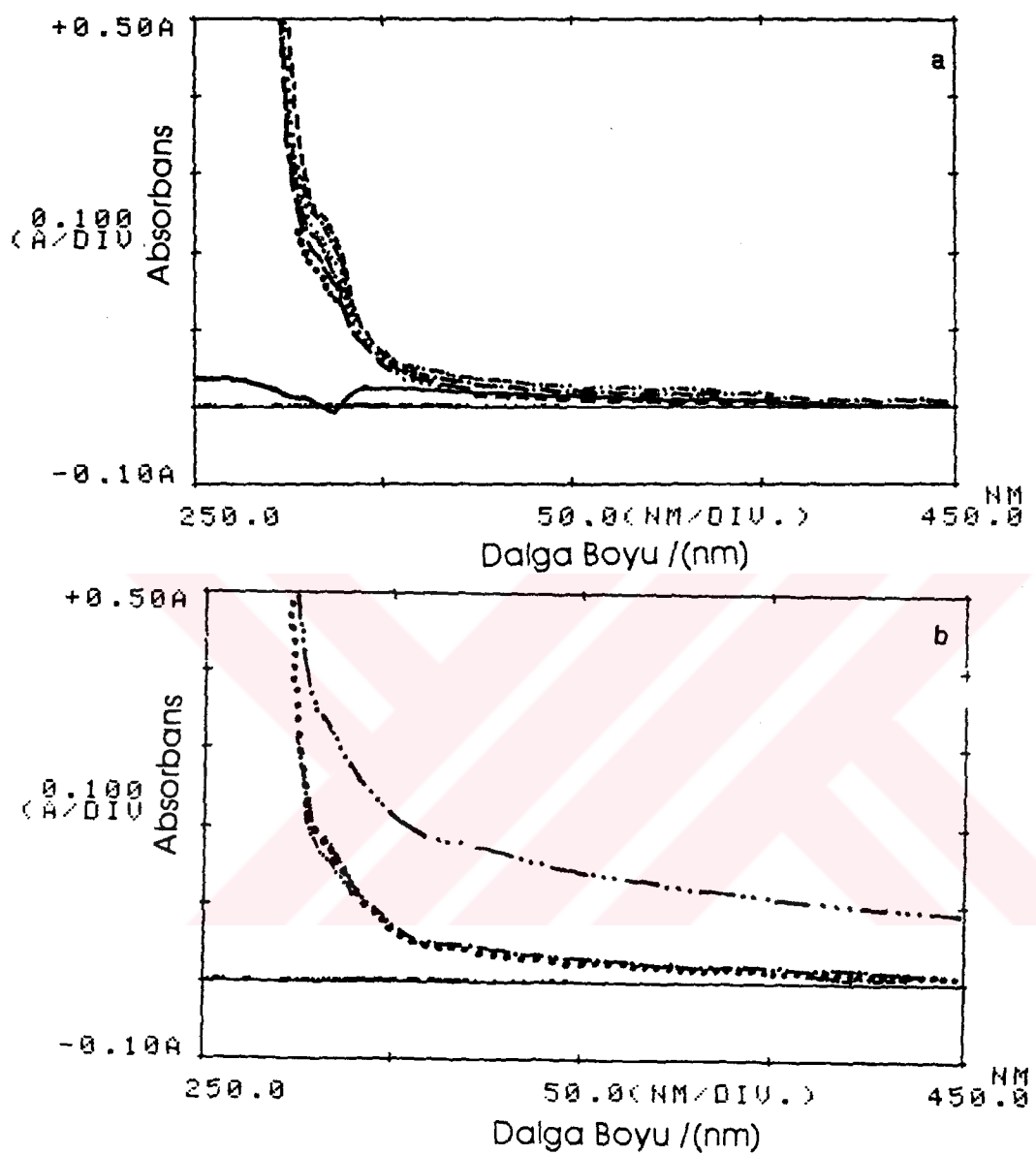
Şekil.40.  $10^{\circ}\text{C}/\text{dk}$  ısıtma hızı ve  $25\text{cm}^3/\text{dk}$  azot atmosferinde oda sıcaklığından değişik sıcaklıklara kadar ısıtılmış olan %80 PS(COOH)/PVC karışım filminin THF deki çözeltilerinin UV-VIS spektrumları.

- a) (—) ısıtılmamış, (······)  $160^{\circ}\text{C}$ , (- - -)  $180^{\circ}\text{C}$ , (- · - -)  $200^{\circ}\text{C}$ ,  
 (— — —)  $220^{\circ}\text{C}$ , (— · —)  $230^{\circ}\text{C}$ , (— - -)  $240^{\circ}\text{C}$ , (······)  $250^{\circ}\text{C}$
- b) (······)  $250^{\circ}\text{C}$ , (— · —)  $260^{\circ}\text{C}$ , (— - -)  $270^{\circ}\text{C}$ , (— — —)  $280^{\circ}\text{C}$



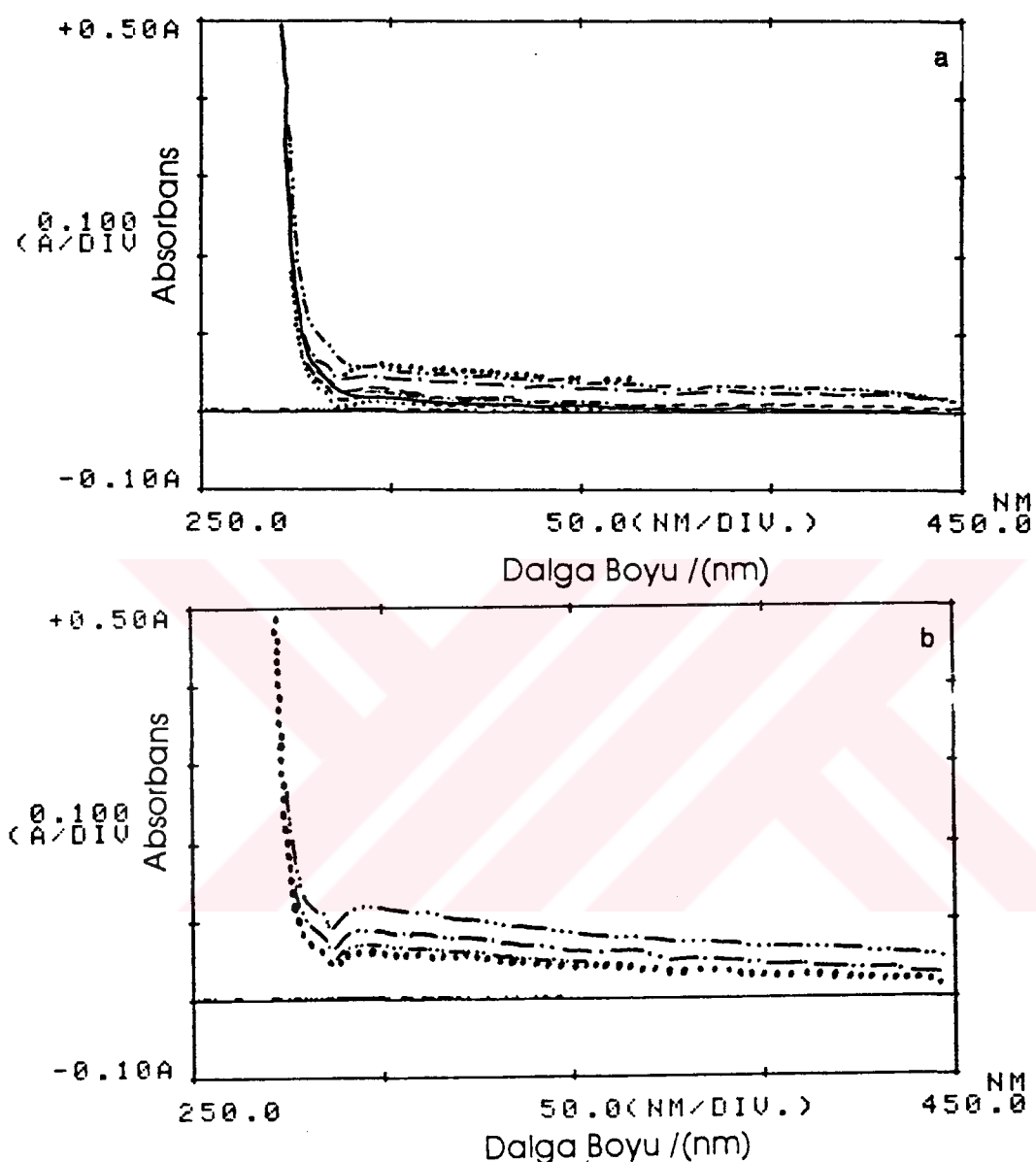
Şekil.41.  $10^{\circ}\text{C}/\text{dk}$  ısıtma hızı ve  $25\text{cm}^3/\text{dk}$  azot atmosferinde oda sıcaklığından değişik sıcaklıklara kadar ısıtılmış olan %80 PS/PVC karışım filminin THF deki çözeltilerinin UV-VIS spektrumları.

- a) (—) ısıtılmamış, (.....)  $160^{\circ}\text{C}$ , (---)  $180^{\circ}\text{C}$ , (-·-·-)  $200^{\circ}\text{C}$ ,  
 (— — —)  $220^{\circ}\text{C}$ , (—·—·—)  $230^{\circ}\text{C}$ , (—·—·—)  $240^{\circ}\text{C}$ , (.....)  $250^{\circ}\text{C}$
- b) (.....)  $250^{\circ}\text{C}$ , (—·—·—)  $260^{\circ}\text{C}$ , (—·—·—)  $270^{\circ}\text{C}$ , (—·—·—·—)  $280^{\circ}\text{C}$



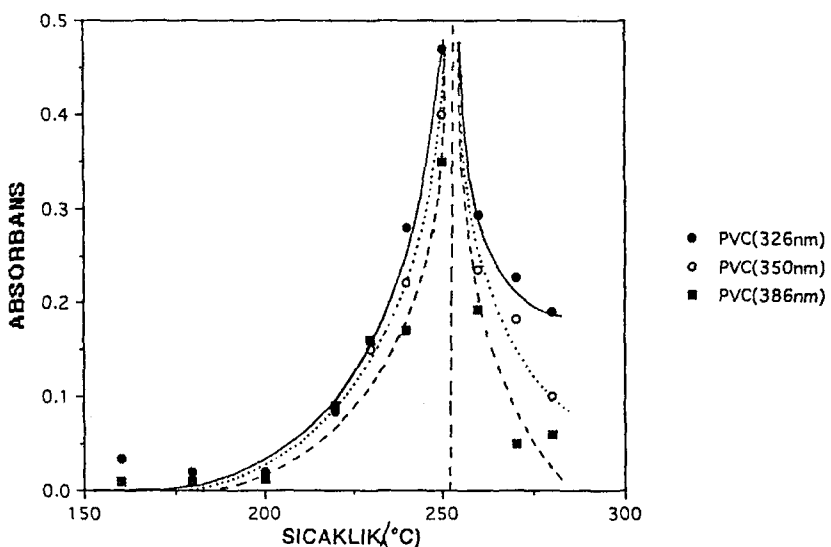
Şekil.42.  $10^{\circ}\text{C}/\text{dk}$  ısıtma hızı ve  $25\text{cm}^3/\text{dk}$  azot atmosferinde oda sıcaklığından değişik sıcaklıklara kadar ısıtılmış olan %90 PS(COOH)/PVC karışım filminin THF deki çözeltilerinin UV-VIS spektrumları.

- a) (—) ısıtılmamış, (.....)  $160^{\circ}\text{C}$ , (---)  $180^{\circ}\text{C}$ , (- - -)  $200^{\circ}\text{C}$ ,  
 (— — —)  $220^{\circ}\text{C}$ , (— · —)  $230^{\circ}\text{C}$ , (— · · —)  $240^{\circ}\text{C}$ , (.....)  $250^{\circ}\text{C}$
- b) (.....)  $250^{\circ}\text{C}$ , (— · —)  $260^{\circ}\text{C}$ , (— · · —)  $270^{\circ}\text{C}$ , (— · · · —)  $280^{\circ}\text{C}$

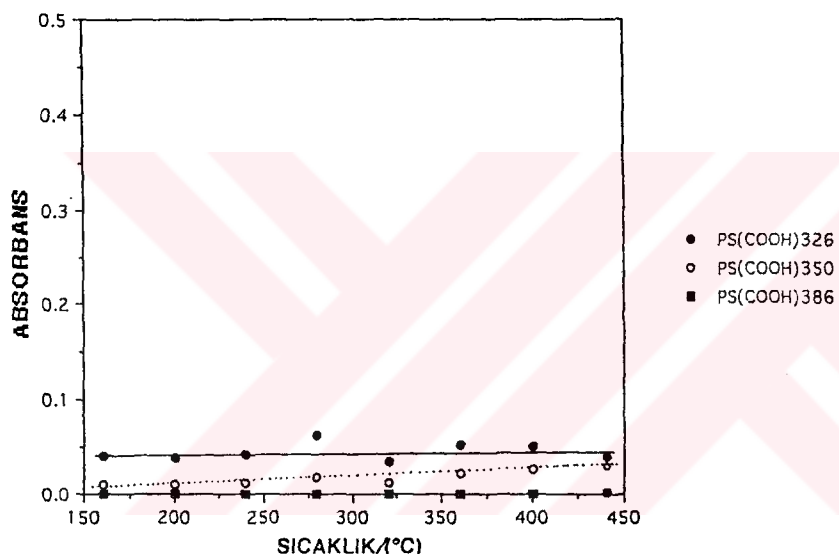


Şekil.43.  $10^{\circ}\text{C}/\text{dk}$  ısıtma hızı ve  $25\text{cm}^3/\text{dk}$  azot atmosferinde oda sıcaklığından değişik sıcaklıklara kadar ısıtılmış olan %90 PS/PVC karışım filminin THF deki çözeltilerinin UV-VIS spektrumları.

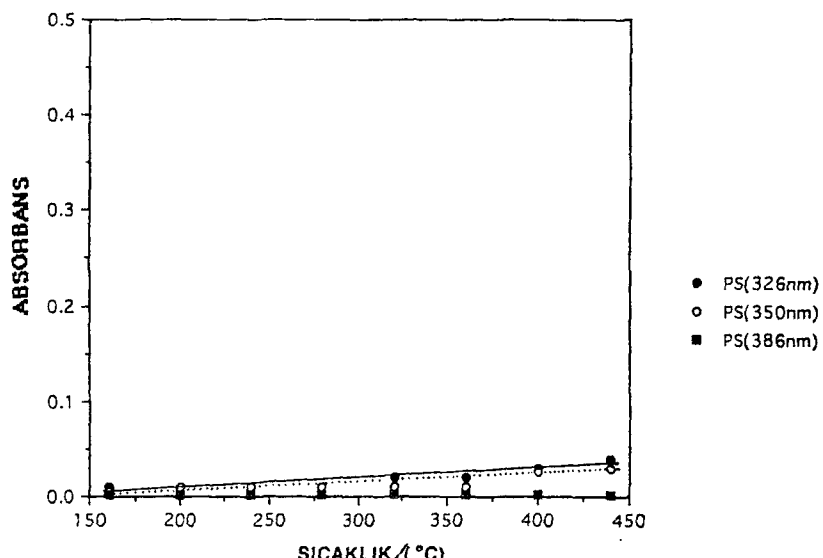
- a) (—) ısıtılmamış, (.....)  $160^{\circ}\text{C}$ , (- - -)  $180^{\circ}\text{C}$ , (- - - -)  $200^{\circ}\text{C}$ ,  
 (— — —)  $220^{\circ}\text{C}$ , (— - - -)  $230^{\circ}\text{C}$ , (— - - - -)  $240^{\circ}\text{C}$ , (.....)  $250^{\circ}\text{C}$
- b) (.....)  $250^{\circ}\text{C}$ , (— — —)  $260^{\circ}\text{C}$ , (— - - -)  $270^{\circ}\text{C}$ , (— - - - -)  $280^{\circ}\text{C}$



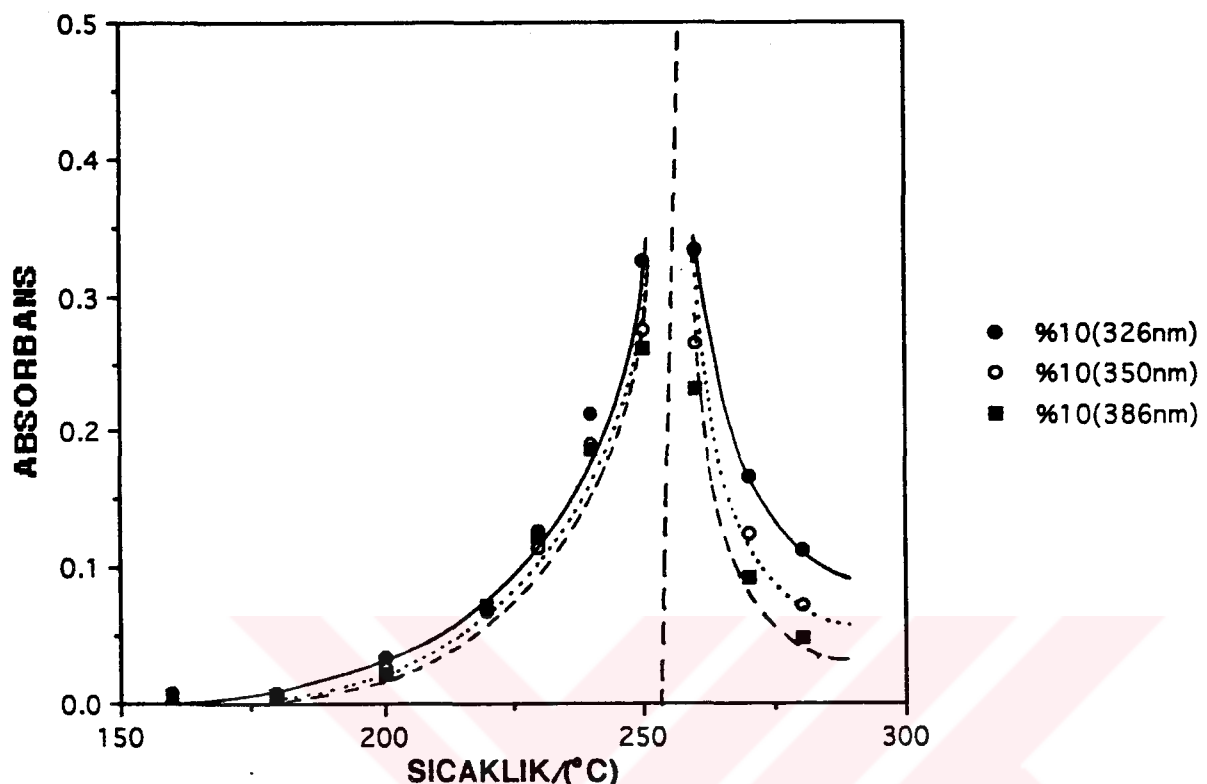
Şekil 44 Breon 113 PVC'nin 326 nm, 350 nm ve 386 nm dalga boyalarındaki absorbans değerine karşı sıcaklık grafiği.



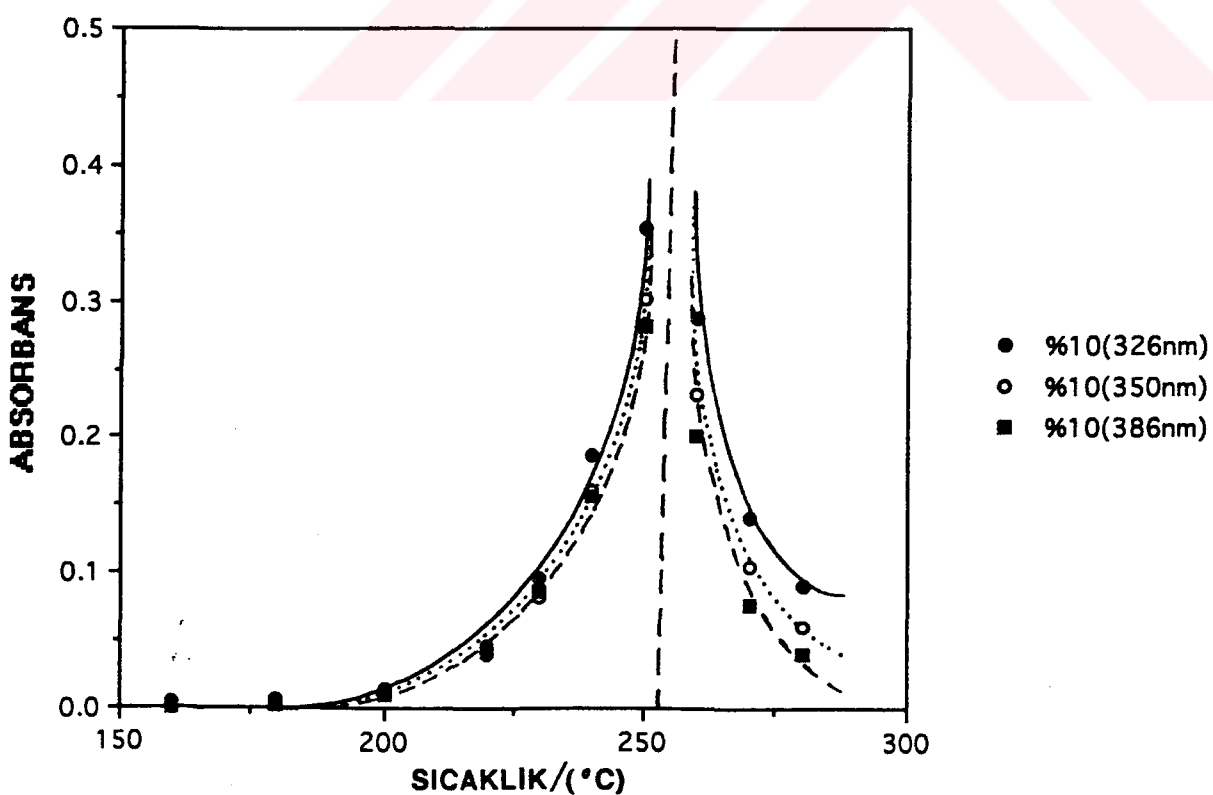
Şekil 45 Karboksil uç gruplu polistirenin 326 nm, 350 nm ve 386 nm dalga boyalarındaki absorbans değerlerine karşı sıcaklık grafiği.



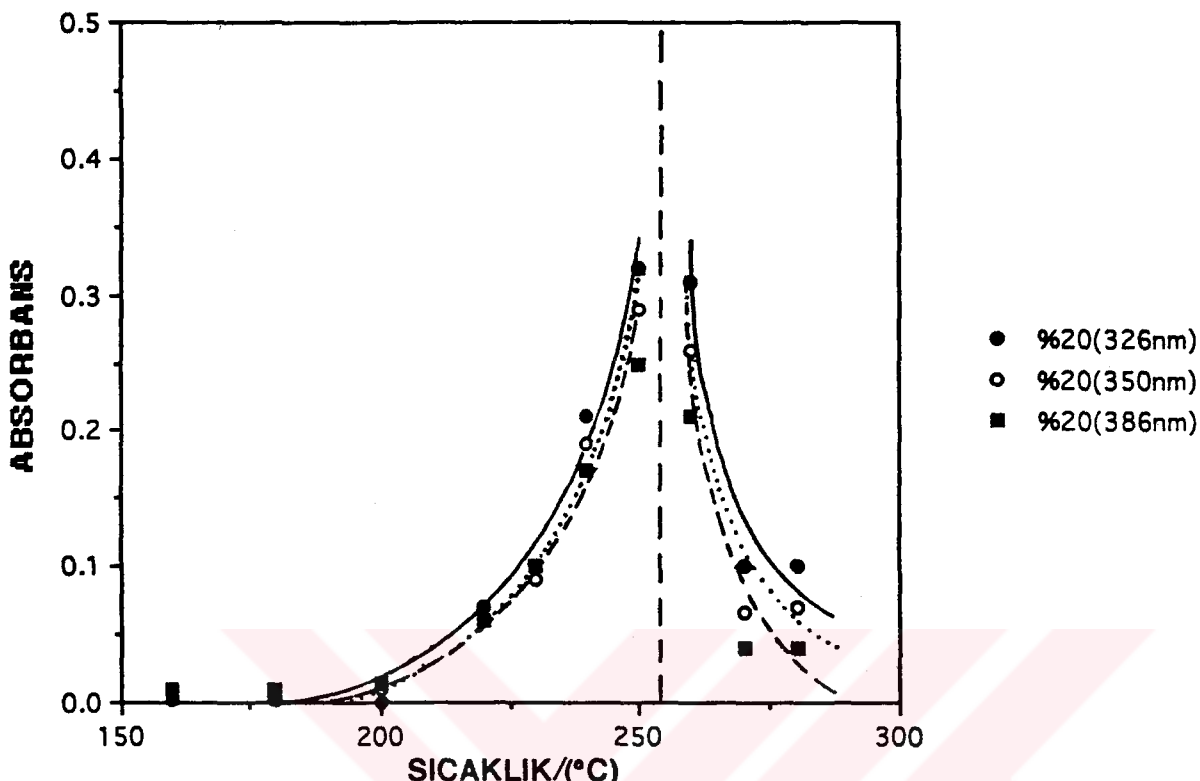
Şekil 46 Bextrene-161 PS'nin 326 nm, 350 nm ve 386 nm dalga boyalarındaki absorbans değerlerine karşı sıcaklık grafiği.



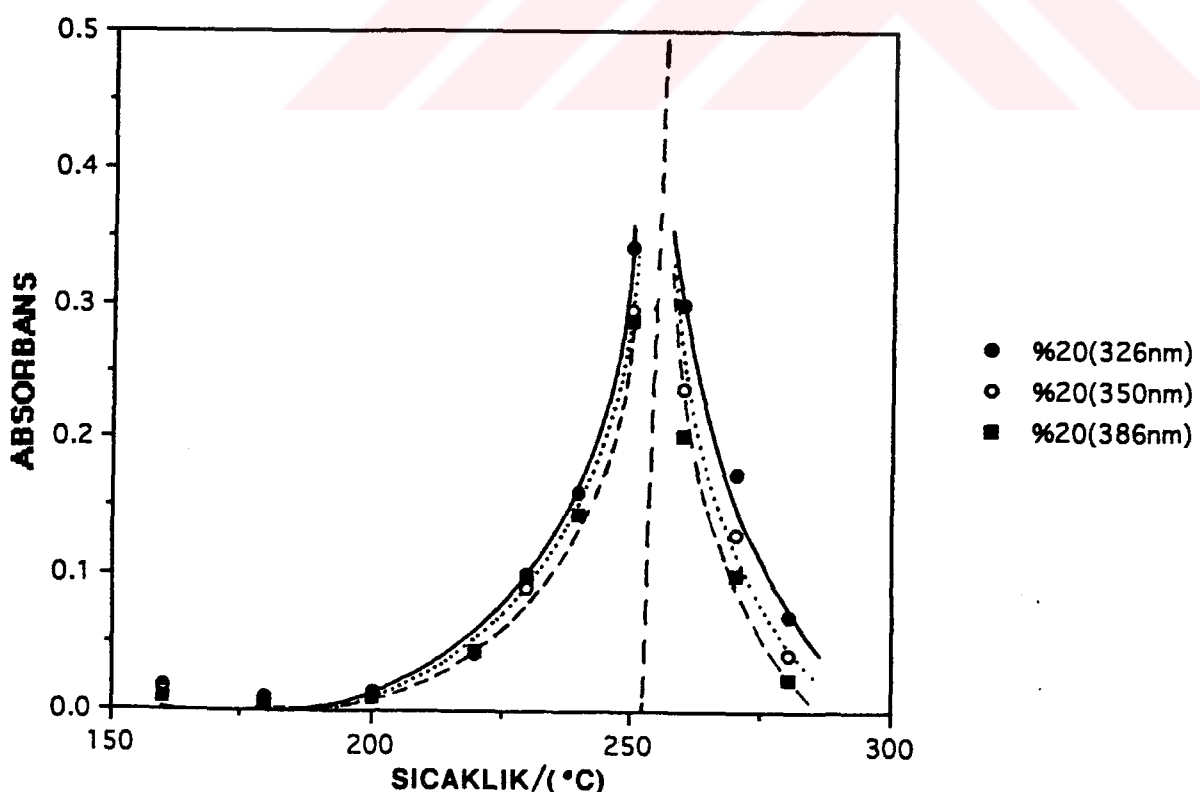
Şekil.47 %10 PS(COOH)/PVC karışımının 326 nm, 350 nm ve 386 nm dalga boylarındaki absorbans değerlerine karşı sıcaklık grafiği.



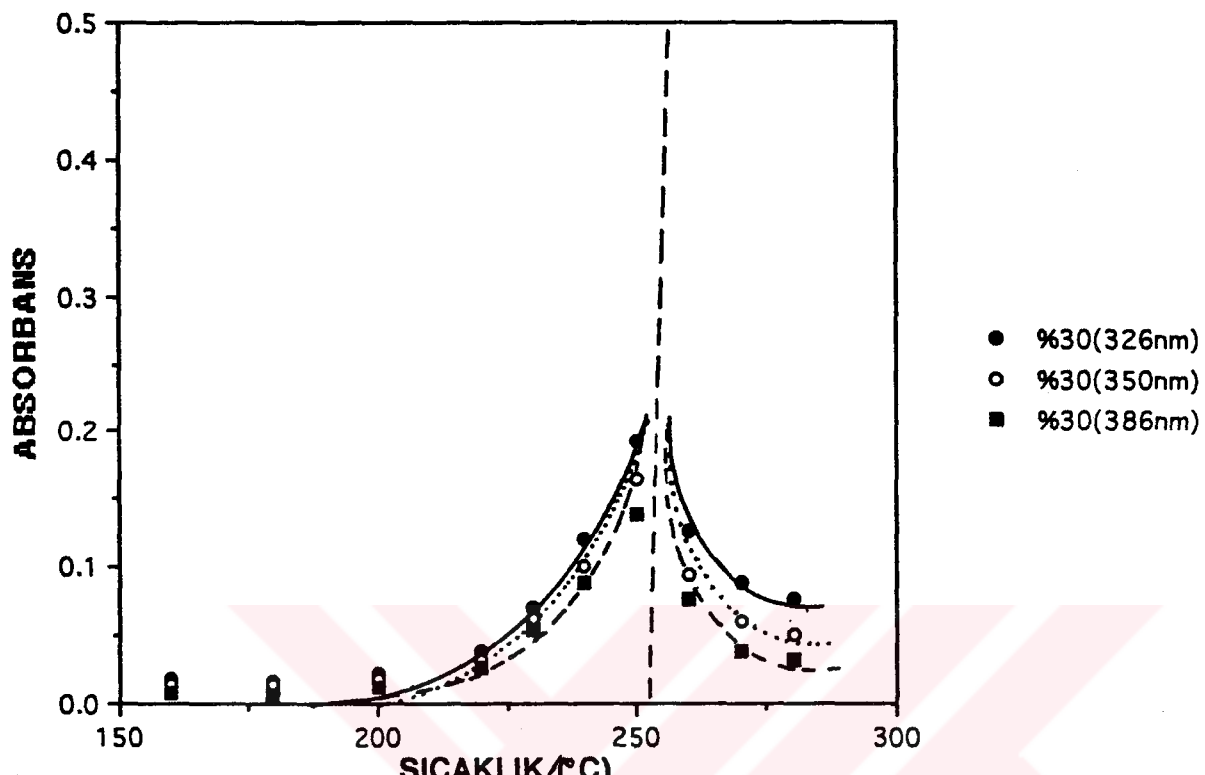
Şekil. 48 %10 PS/PVC karışımının 326 nm, 350 nm ve 386 nm dalga boylarındaki absorbans değerlerine karşı sıcaklık grafiği.



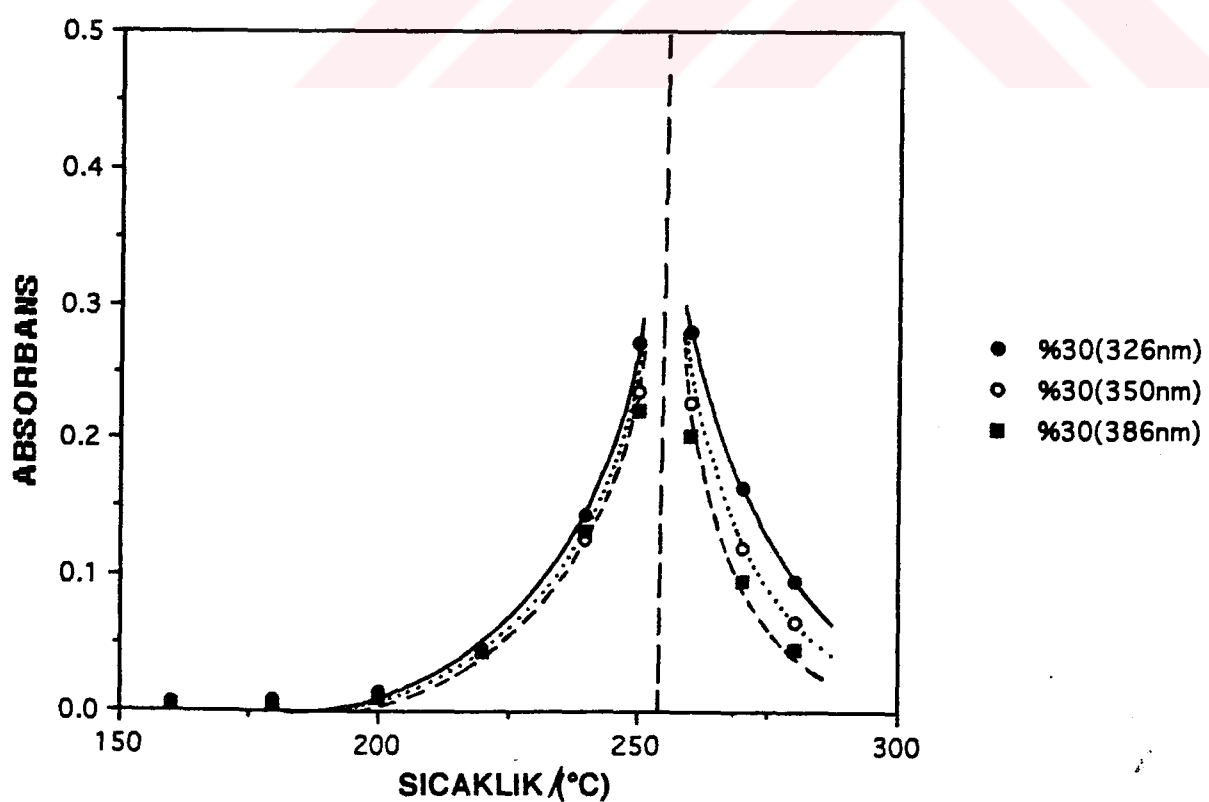
Şekil. 49. %20 PS(COOH)/PVC karışımının 326 nm, 350 nm ve 386 nm dalga boylarındaki absorbans değerlerine karşı sıcaklık grafiği



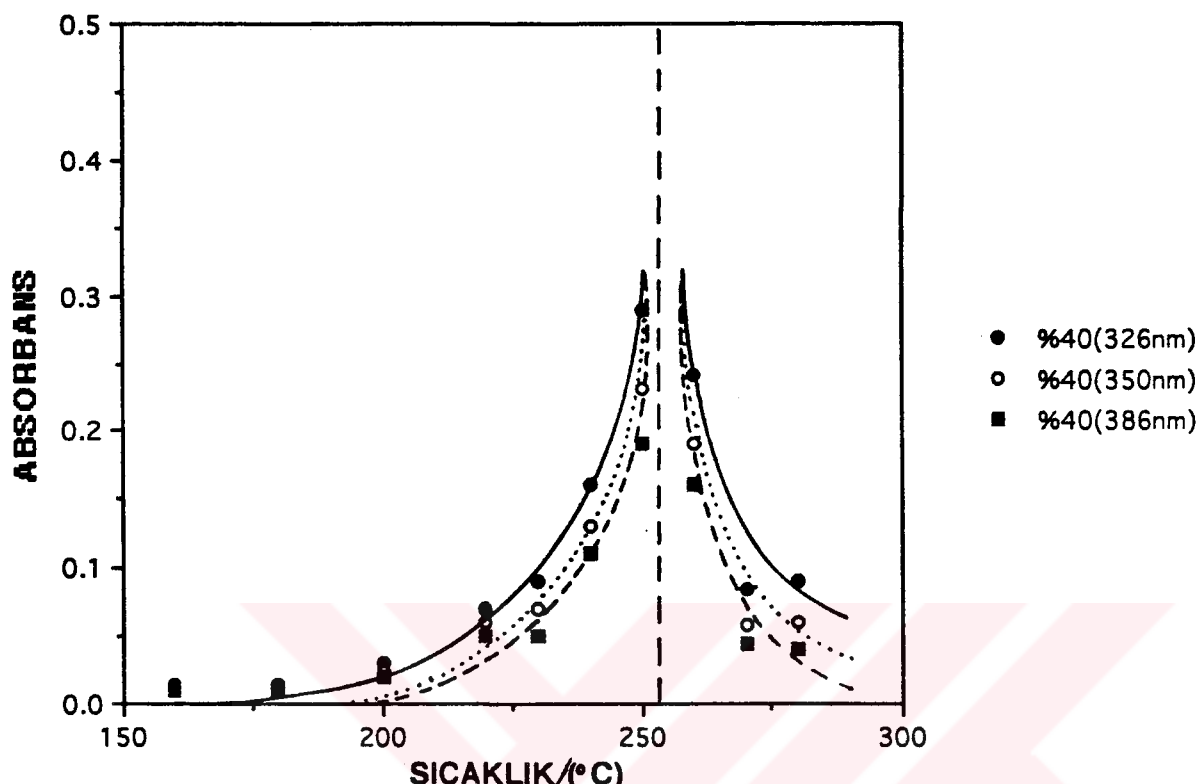
Şekil 50 %20 PS/PVC karışımının 326 nm, 350 nm ve 386 nm dalga boylarındaki absorbans değerlerine karşı sıcaklık grafiği.



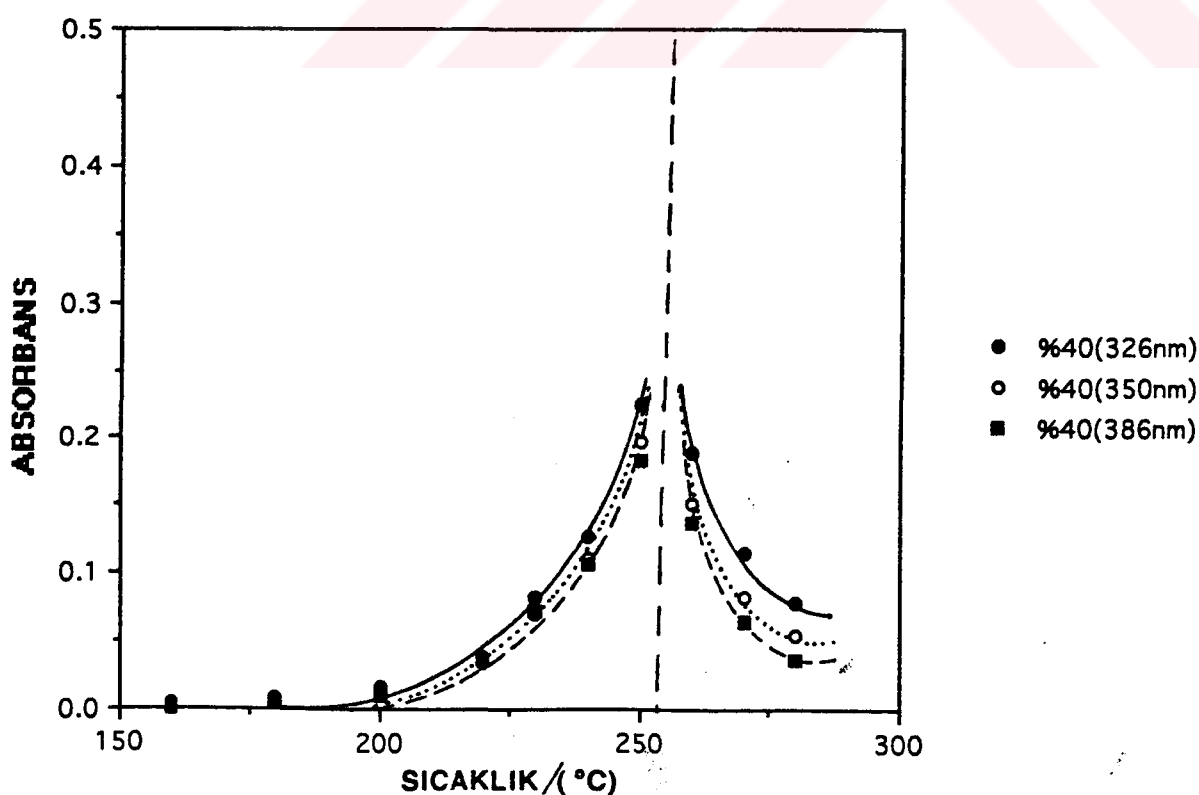
Şekil. 51%30 PS(COOH)/PVC karışımının 326 nm, 350 nm ve 386 nm dalga boylarındaki absorbans değerlerine karşı sıcaklık grafiği.



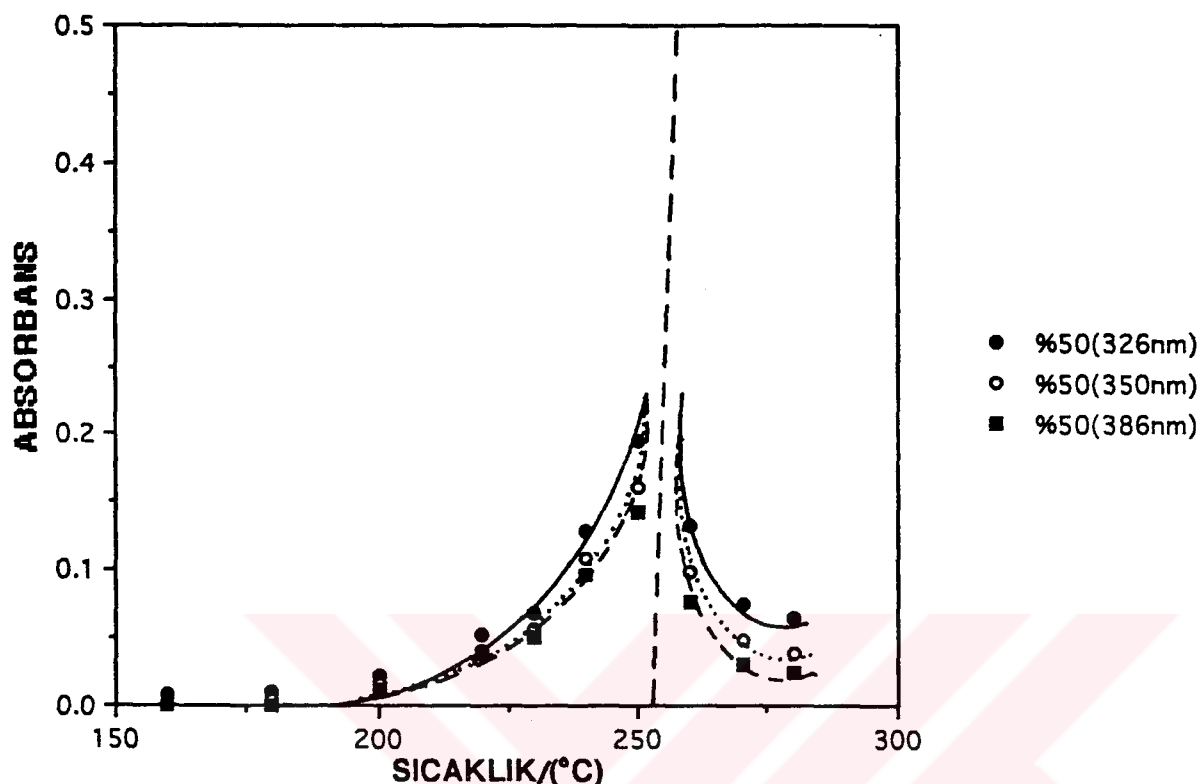
Şekil.52 %30 PS/PVC karışımının 326 nm, 350 nm ve 386 nm dalga boylarındaki absorbans değerlerine karşı sıcaklık grafiği.



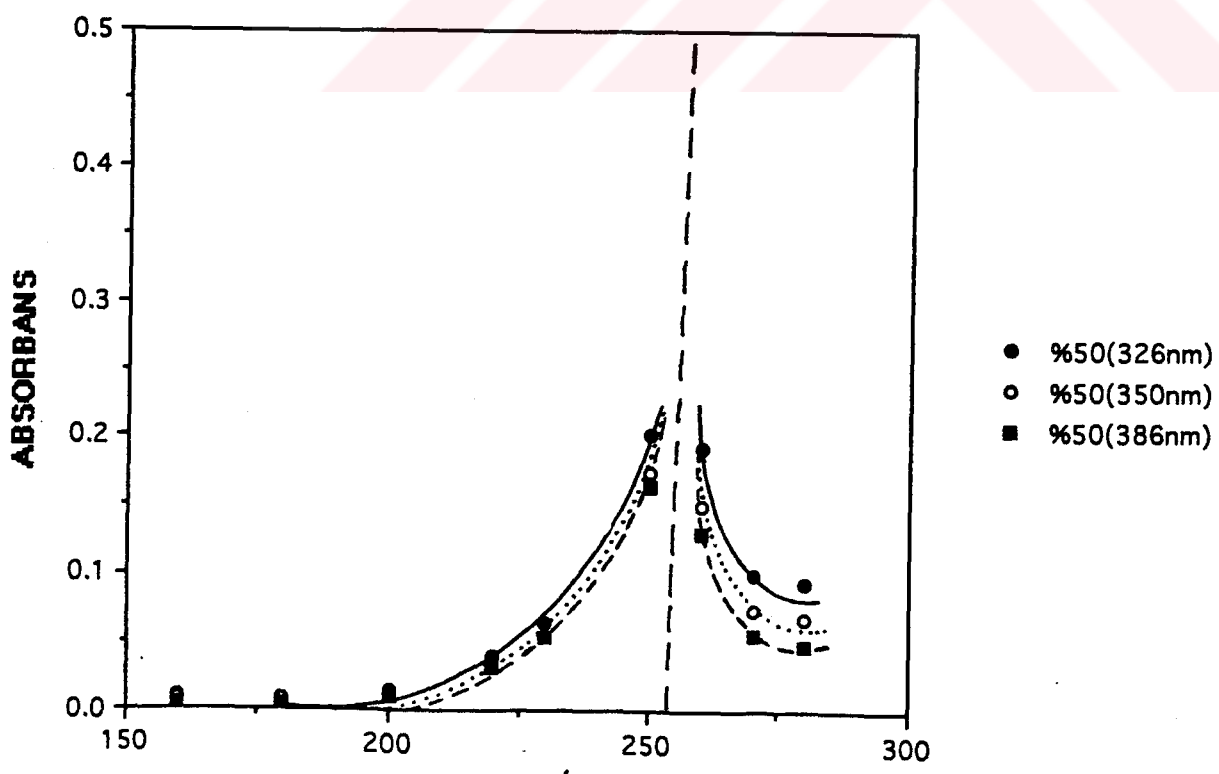
Şekil. 53 %40 PS(COOH)/PVC karışımının 326 nm, 350 nm ve 386 nm dalga boylarındaki absorbans değerlerine karşı sıcaklık grafiği.



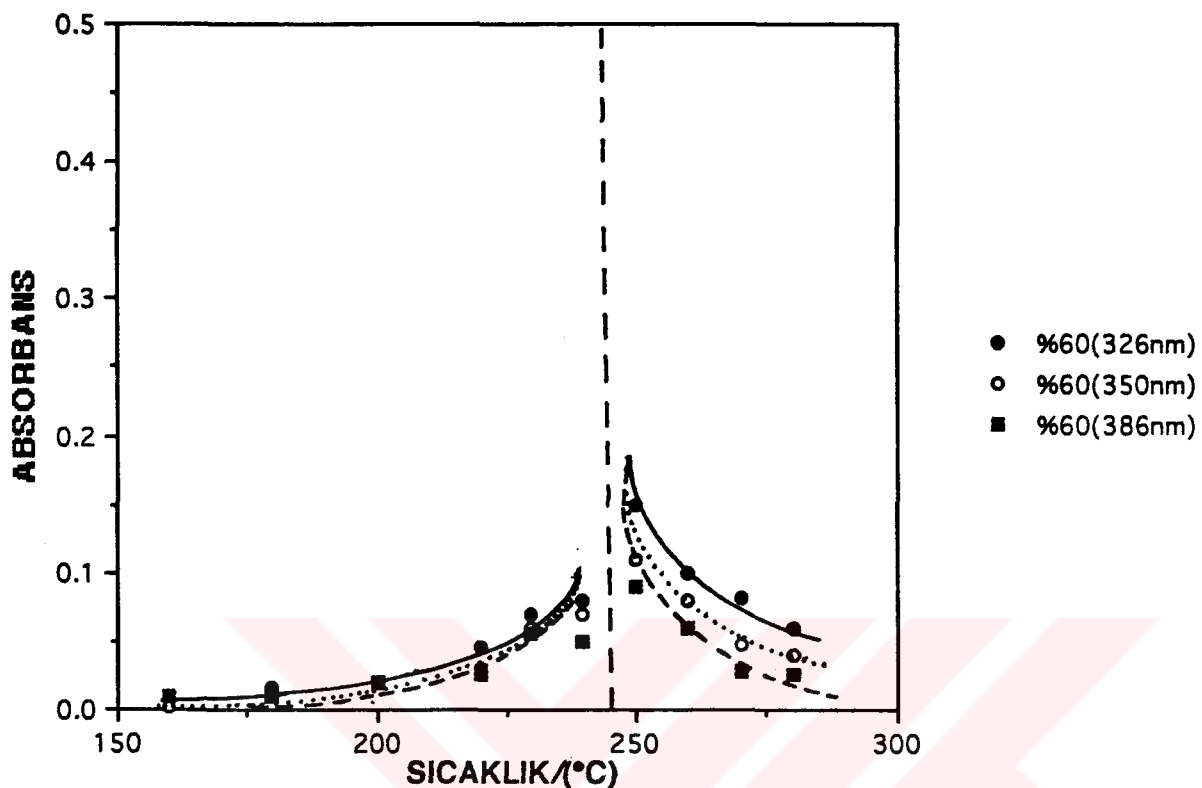
Şekil. 54 %40 PS/PVC karışımının 326 nm, 350 nm ve 386 nm dalga boylarındaki absorbans değerlerine karşı sıcaklık grafiği.



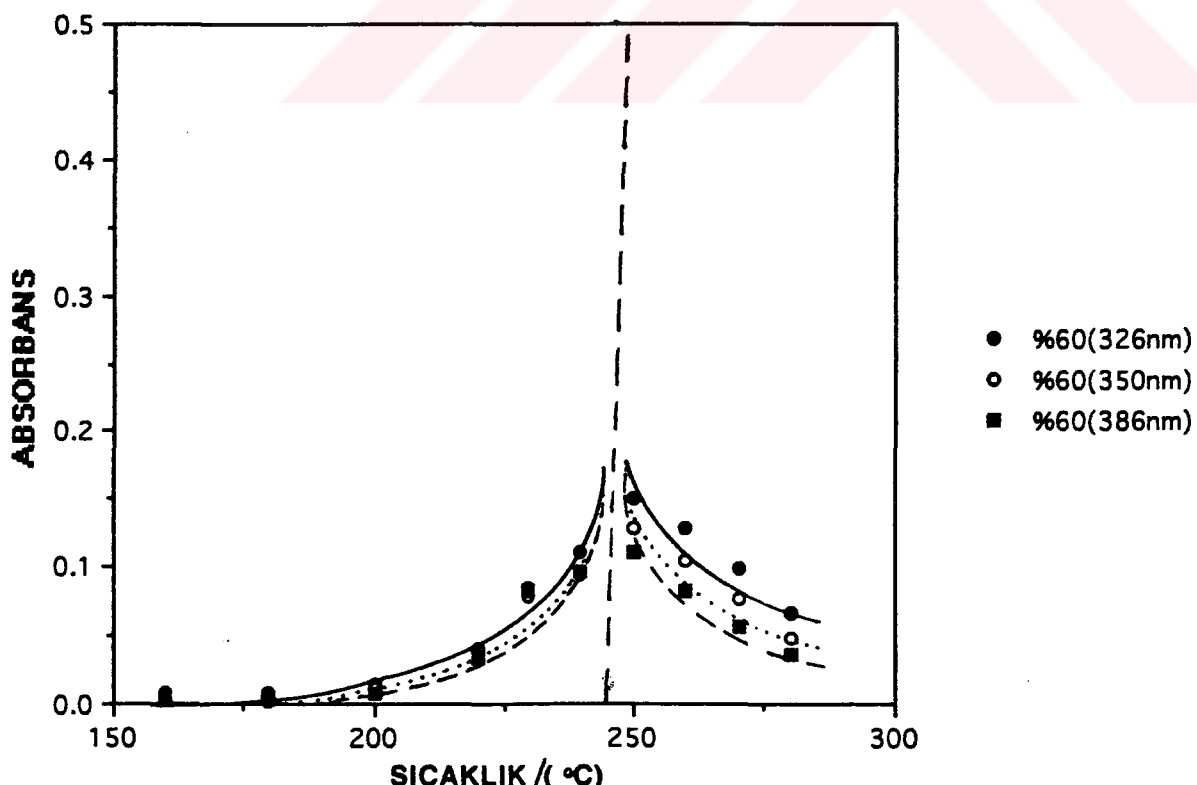
Şekil 55 %50 PS(COOH)/PVC karışımının 326 nm, 350 nm ve 386 nm dalga boylarındaki absorbans değerlerine karşı sıcaklık grafiği.



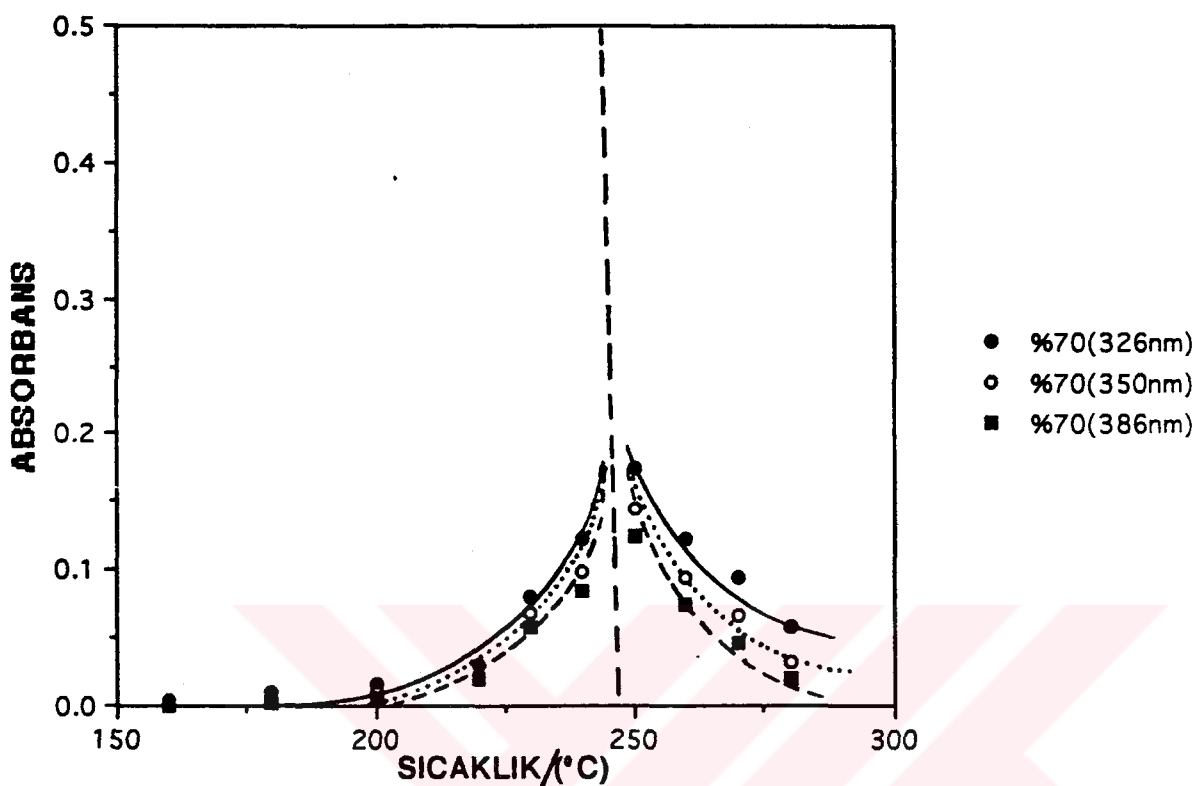
Şekil 56 %50 PS/PVC karışımının 326 nm, 350 nm ve 386 nm dalga boylarındaki absorbans değerlerine karşı sıcaklık grafiği.



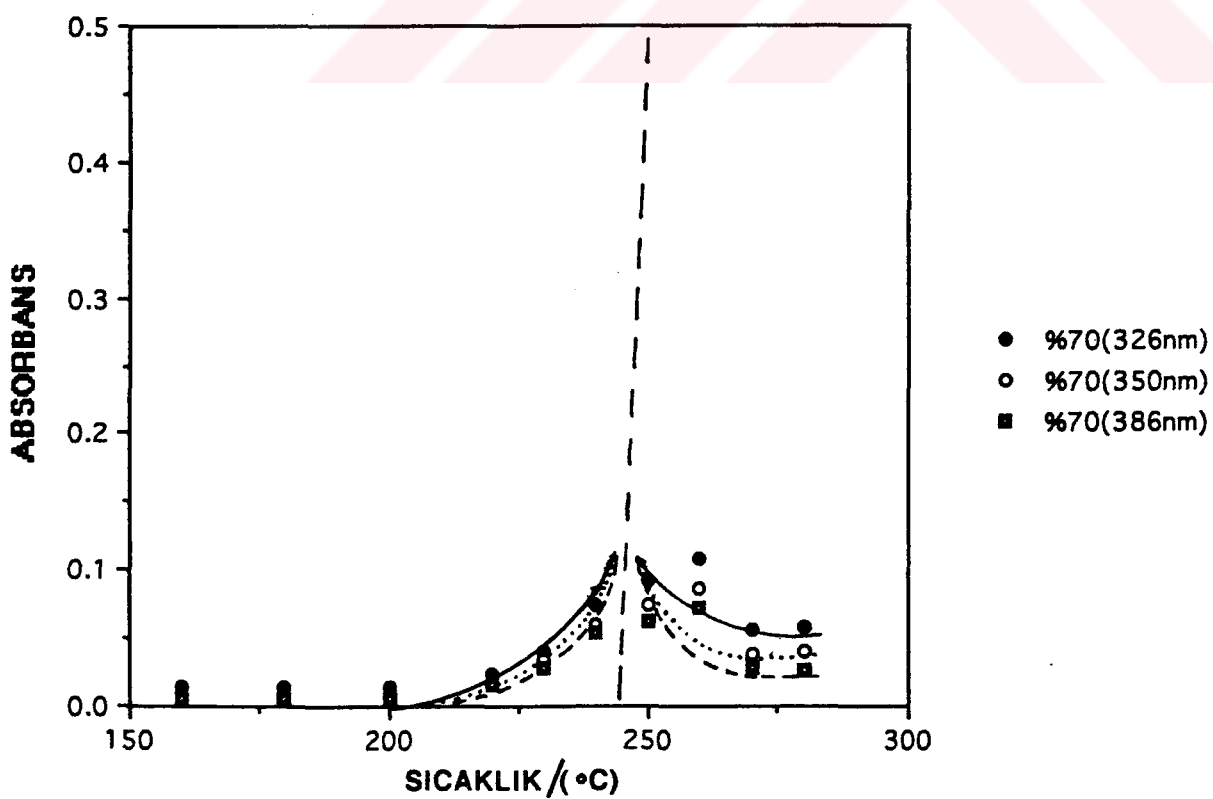
Şekil. 57 %60 PS(COOH)/PVC karışımının 326 nm, 350 nm ve 386 nm dalga boylarındaki absorbans değerlerine karşı sıcaklık grafiği.



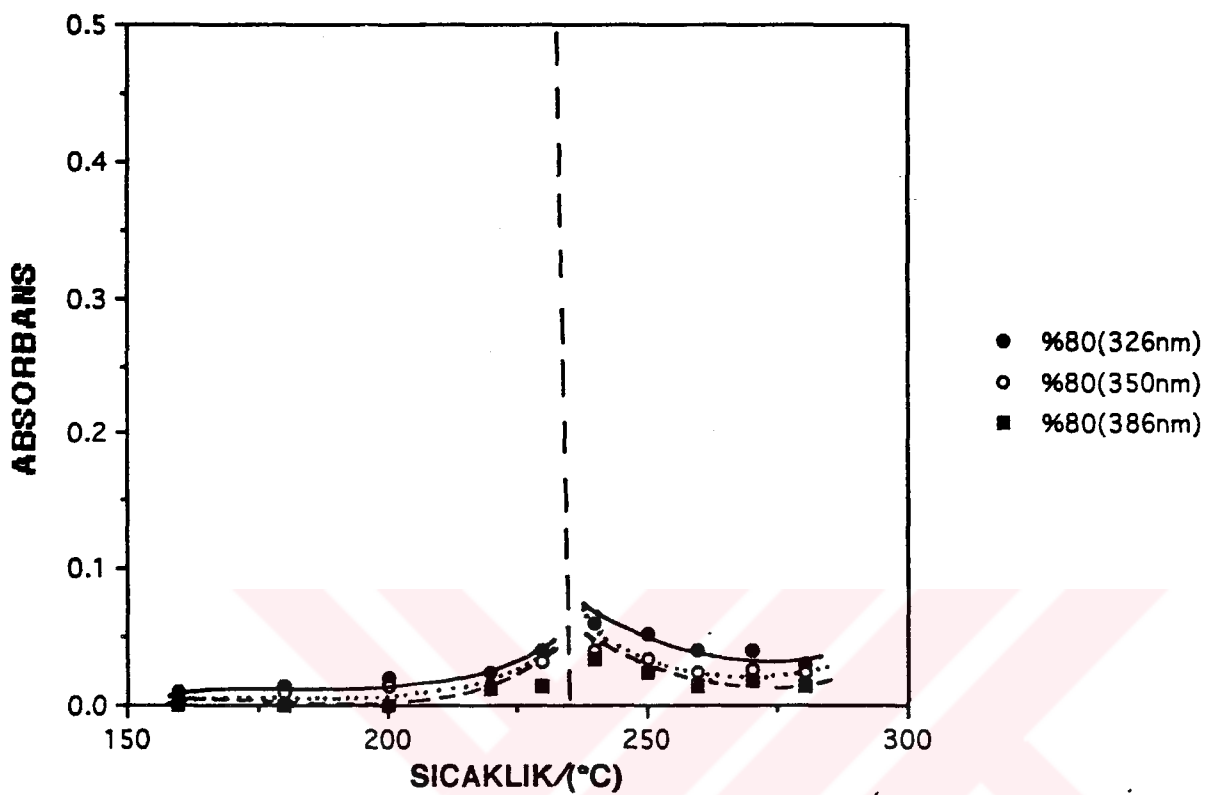
Şekil. 58 %60 PS/PVC karışımının 326 nm, 350 nm ve 386 nm dalga boylarındaki absorbans değerlerine karşı sıcaklık grafiği.



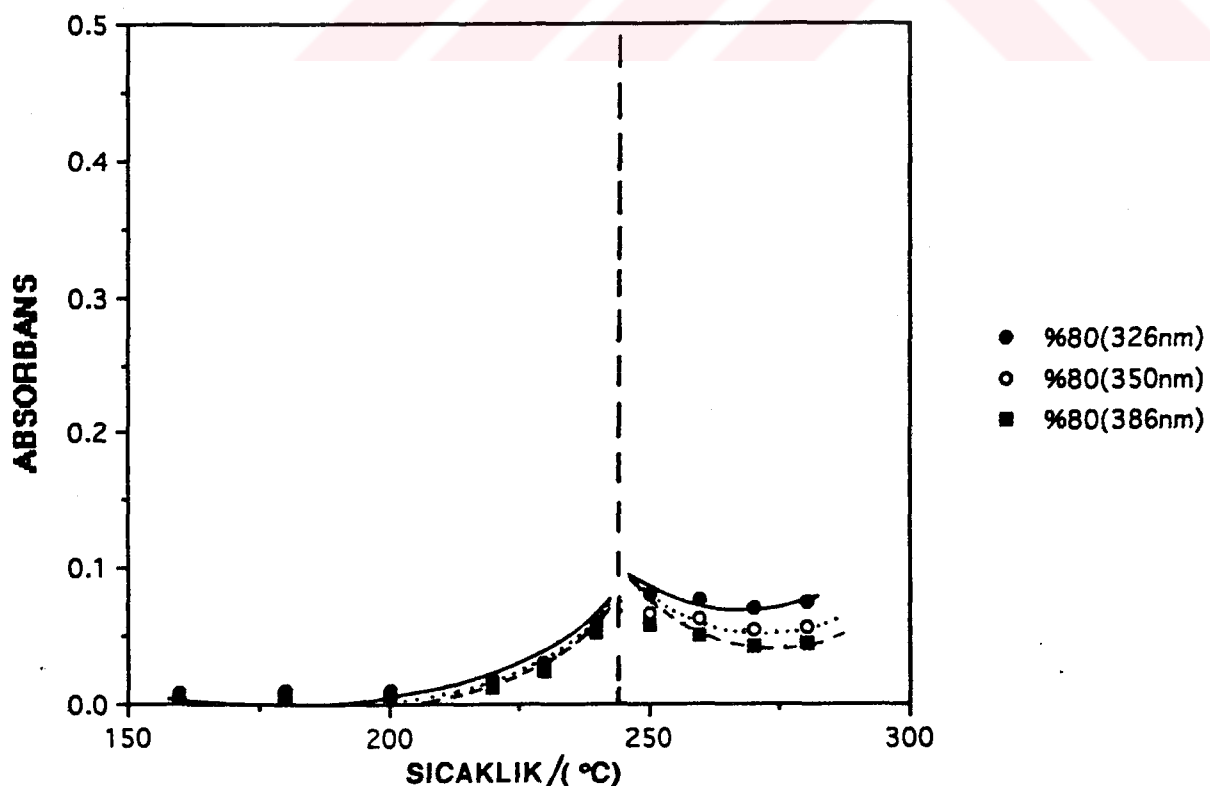
Şekil. 59 %70 PS(COOH)/PVC karışımının 326 nm, 350 nm ve 386 nm dalga boyalarındaki absorbans değerlerine karşı sıcaklık grafiği.



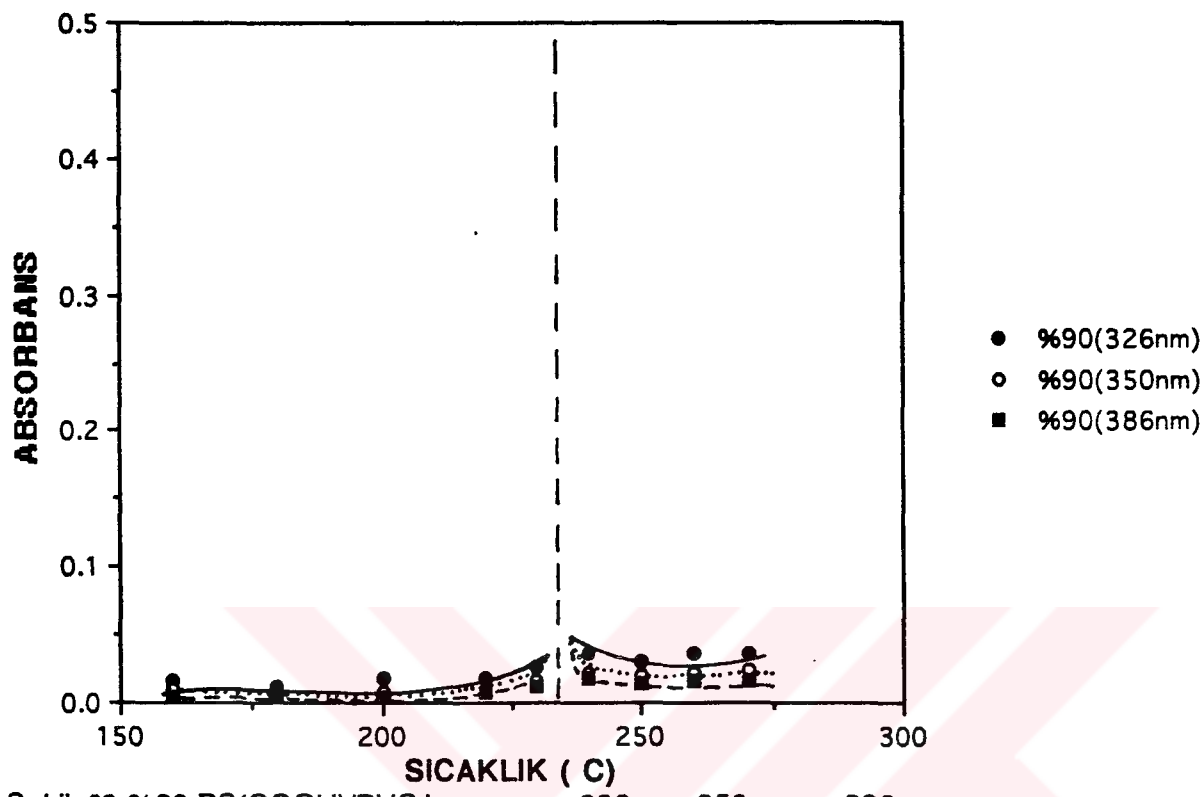
Şekil. 60 %70 PS/PVC karışımının 326 nm, 350 nm ve 386 nm dalga boyalarındaki absorbans değerlerine karşı sıcaklık grafiği.



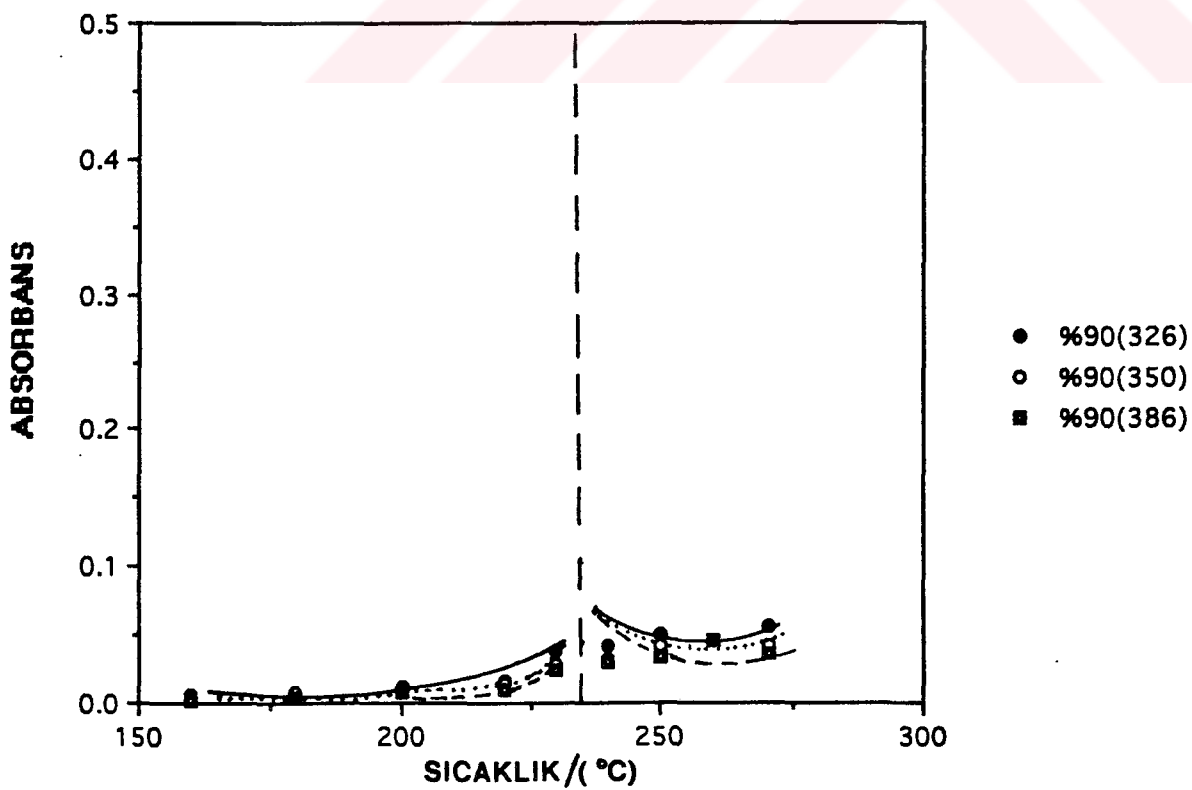
Şekil. 61 %80 PS(COOH)/PVC karışımının 326 nm, 350 nm ve 386 nm dalga boyalarındaki absorbans değerlerine karşı sıcaklık grafiği.



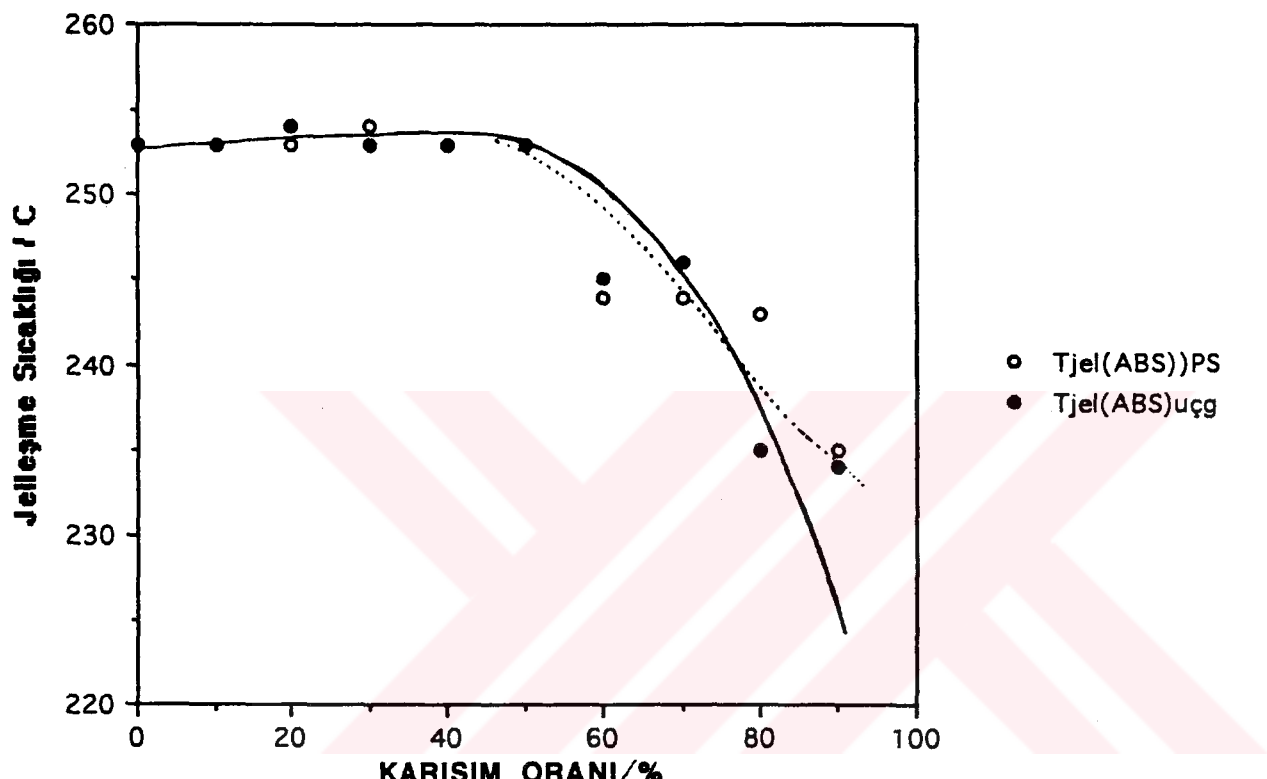
Şekil. 62 %80 PS/PVC karışımının 326 nm, 350 nm ve 386 nm dalga boyalarındaki absorbans değerlerine karşı sıcaklık grafiği.



Şekil. 63 %90 PS(COOH)/PVC karışımının 326 nm, 350 nm ve 386 nm dalga boyalarındaki absorbans değerlerine karşı sıcaklık grafiği.



Şekil. 64 %90 PS/PVC karışımının 326 nm, 350 nm ve 386 nm dalga boyalarındaki absorbans değerlerine karşı sıcaklık grafiği.



Şekil.65 PS(COOH)/PVC ve PS/PVC karışımılarına ait absorbans ölçümlerinde bulunan jelleşme sıcaklıklarının karışım oranı ile değişimi.

### **3.3. Jel Fraksiyonu Yöntemi Bulguları**

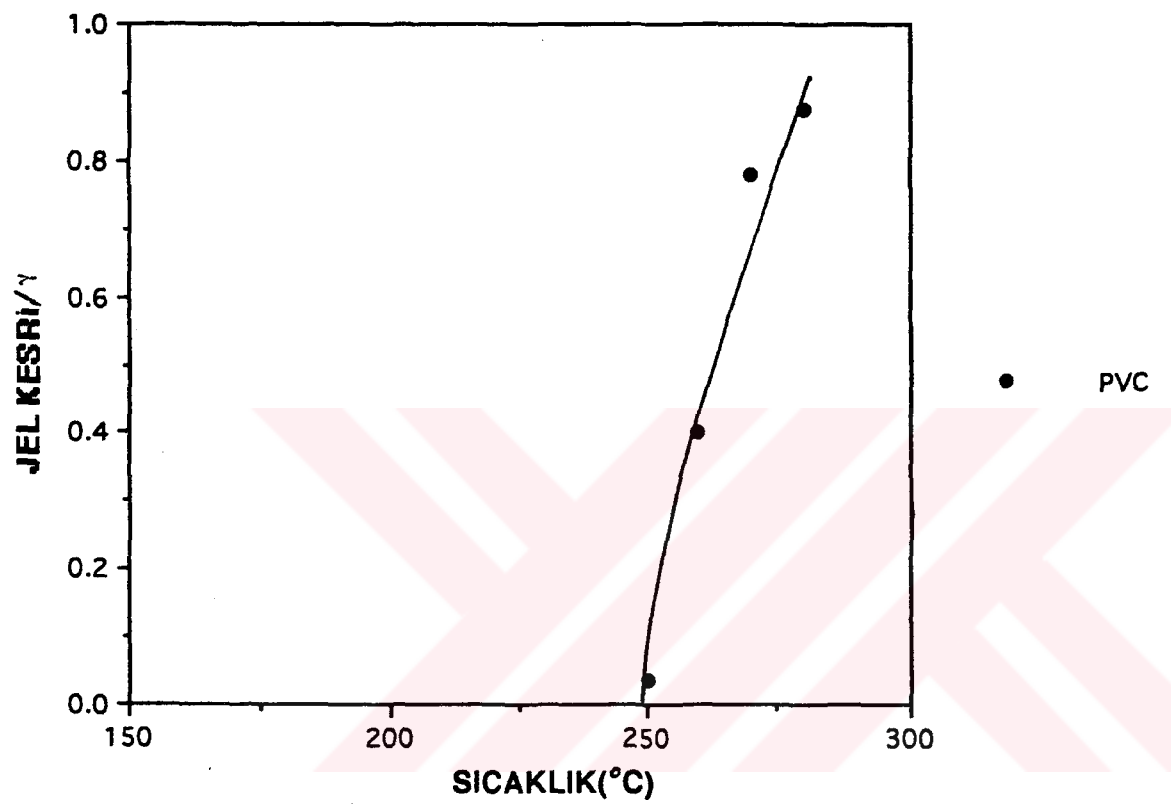
Saf PVC ve PS(COOH)/PVC ve PS/PVC film halindeki ısıtılmış karışım örneklerinin THF çözeltileri süzülerek jel kısımları sol kısımlarından ayrılmış elde edilen süzüntüler yukarıda verildiği gibi viskozimetrik ve spektrofotometrik yöntemlerde kullanılmıştır. Ayrılan jel kısımları sabit tartıma kadar kurutularak örneğin başlangıçtaki kütlelerine oranlamak suretiyle her bir örneğin jel kesirleri elde edilmiştir. Saf PVC, PS(COOH)/PVC ve PS/PVC karışım örnekleri için elde edilen jel kesirleri ısıtma sıcaklıklarına karşı grafiğe geçirilmiş ve elde edilen grafikler Şekil 66-84 de gösterilmiştir. Bu grafiklerde elde edilen eğrilerin sıcaklık eksenini kestiği noktalardan her bir örneğin ısisal jelleşme sıcaklıkları bulunarak Çizelge 3 de verilmiştir. Ayrıca, her bir örneğin ısisal jelleşme sıcaklıkları karışım oranlarına karşı grafiğe geçirilerek Şekil 85 de verilmiştir.

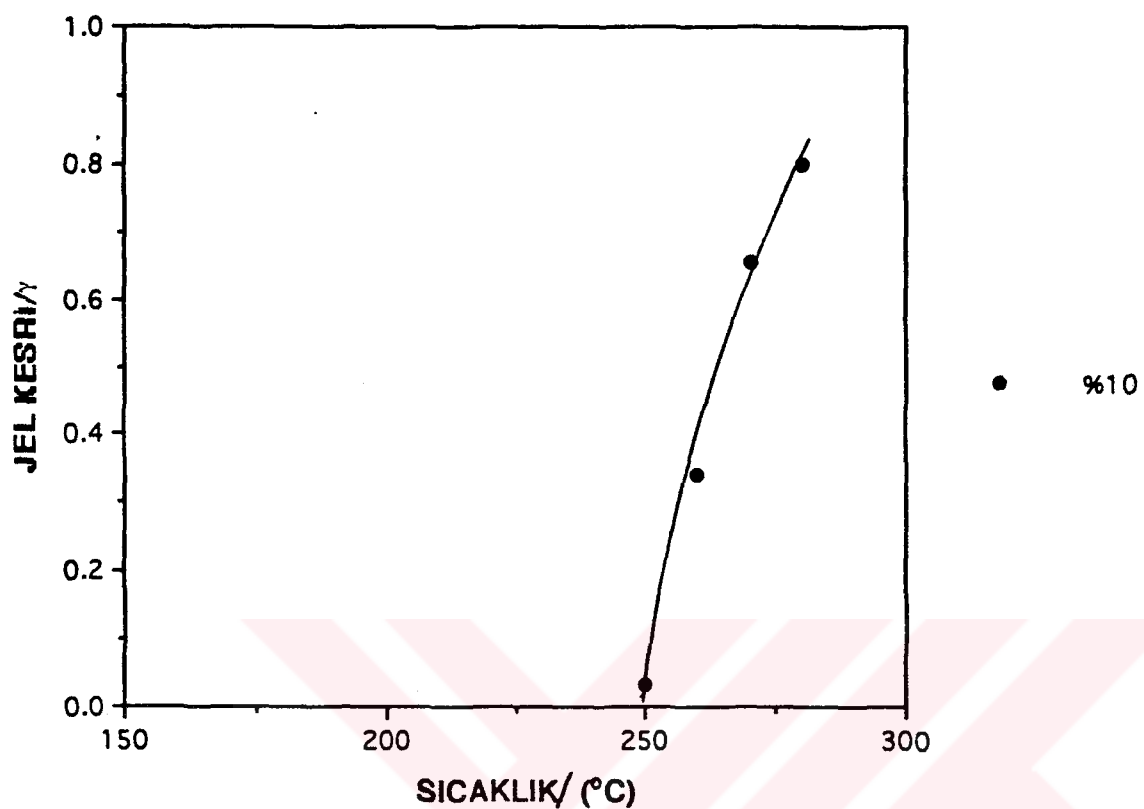
**Çizelge.3** PS(COOH)/PVC ve PS/PVC karışımılarına ait jel fraksiyonu yöntemiyle bulunan ısisal jelleşme sıcaklıkları.

% karışım oranı	0	10	20	30	40	50	60	70	80	90
PS(COOH)/PVC	250	250	250	250	250	250	250	250	250	250
PS/PVC	250	250	250	250	250	250	240	240	240	240

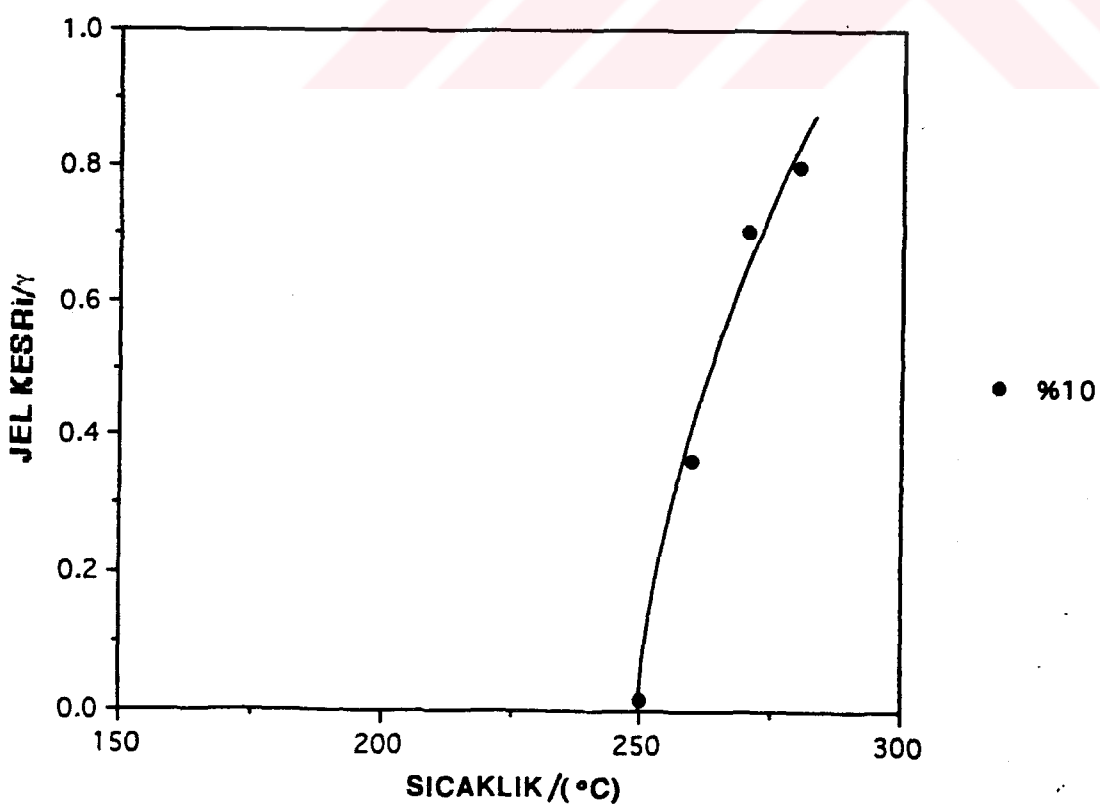
**Çizelge.4** PS(COOH)/PVC ve PS/PVC karışımılarına ait bütün örneklerin 270°C'deki jel kesri miktarları aşağıda verilmiştir.

% karışım oranı	0	10	20	30	40	50	60	70	80	90
PS(COOH)/PVC	0.800	0.656	0.668	0.520	0.548	0.430	0.428	0.410	0.344	0.220
PS/PVC	0.800	0.704	0.584	0.508	0.516	0.312	0.324	0.057	0.010	0.004

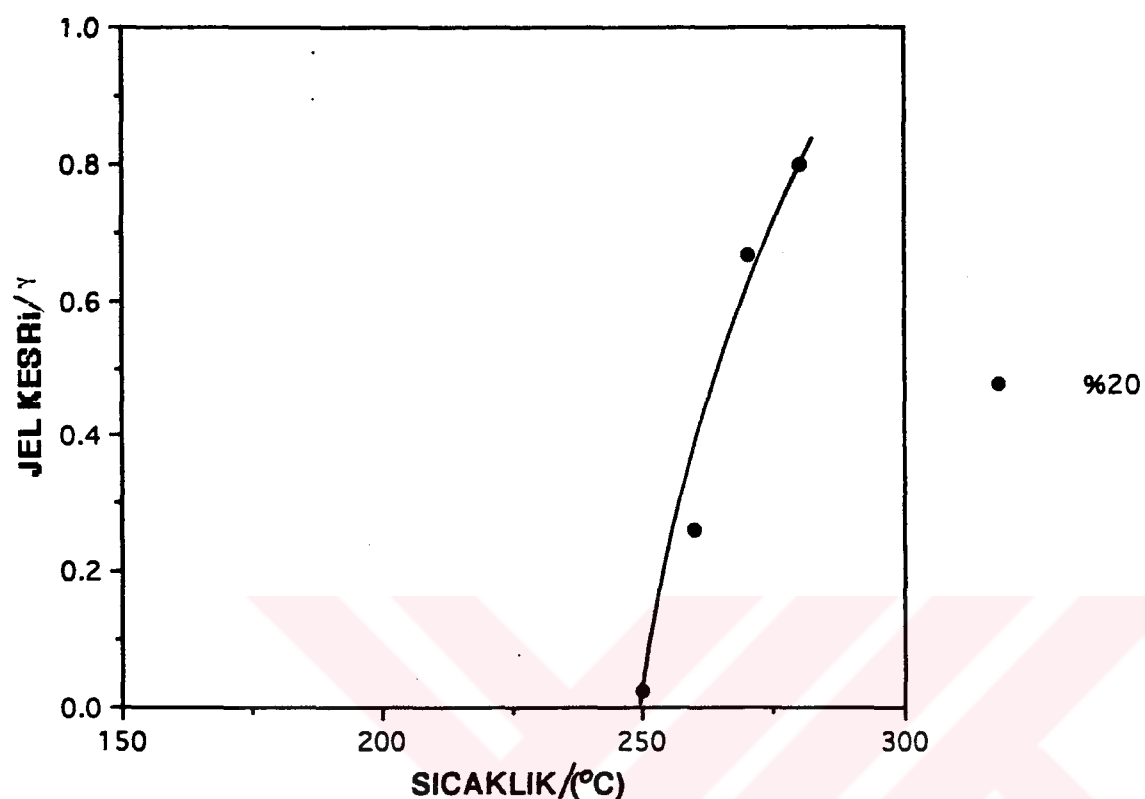




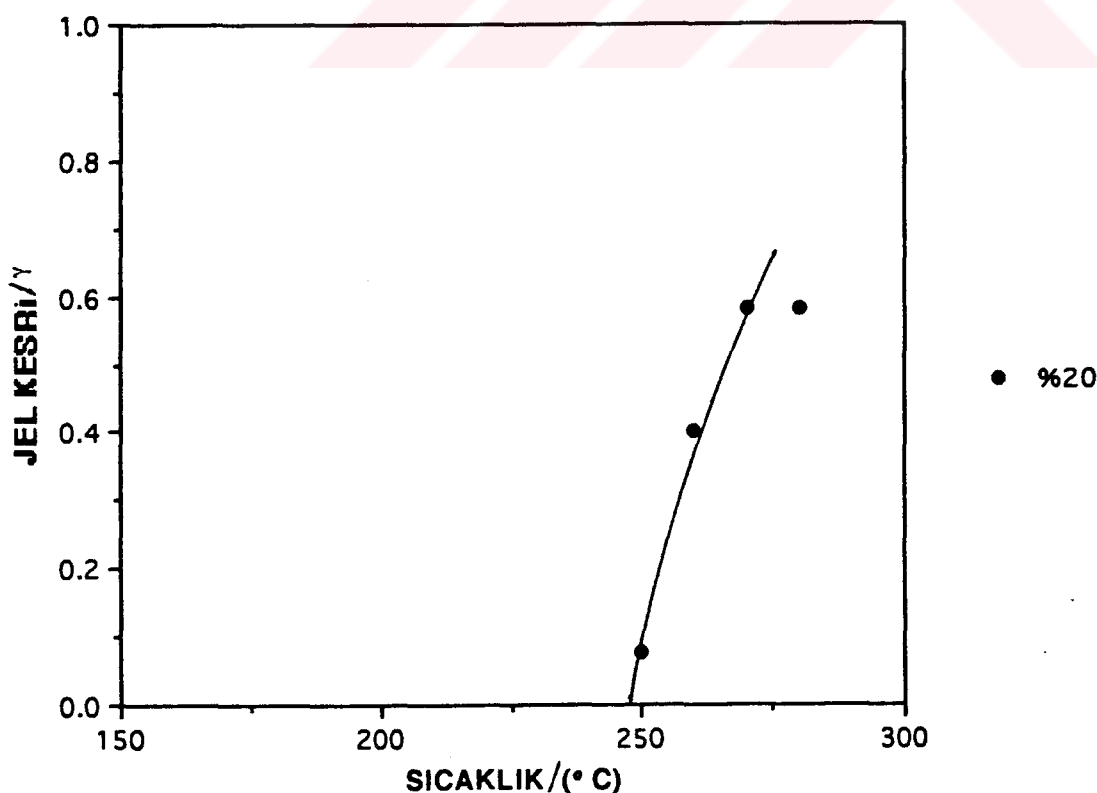
Şekil. 67 %10 PS(COOH)/PVC karışımının jel kesrinin sıcaklığına karşı grafiği.



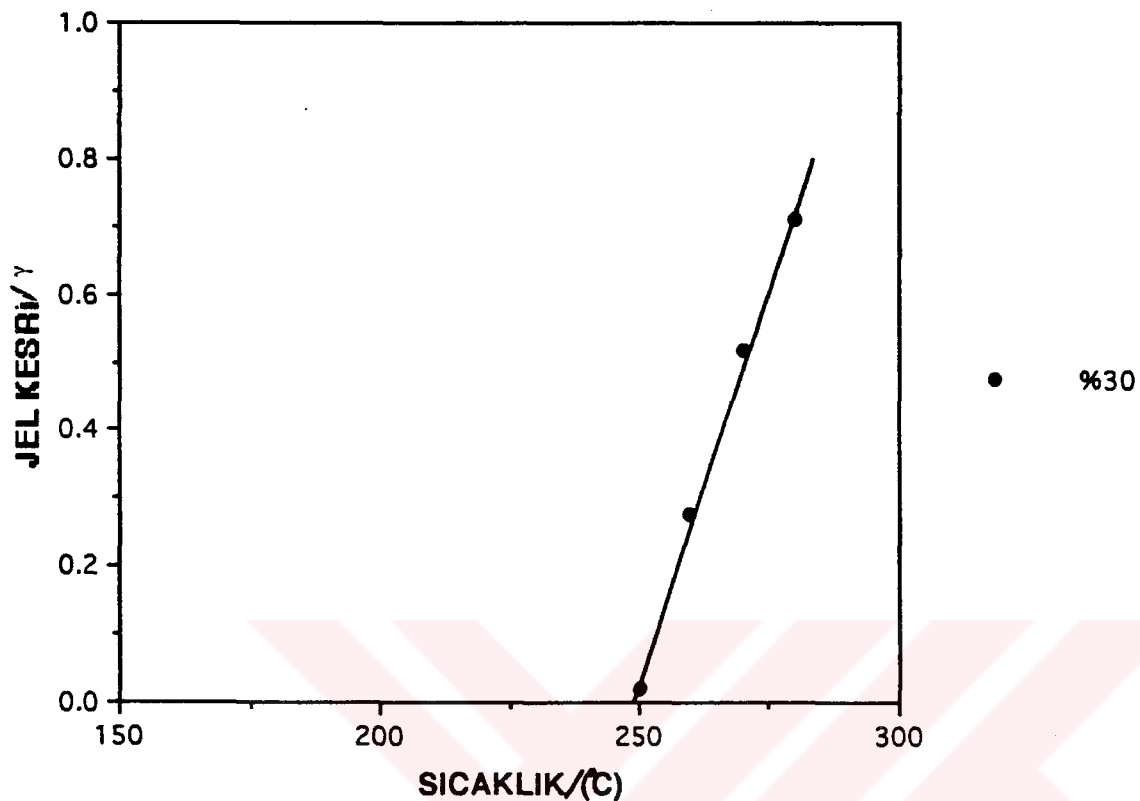
Şekil. 68 %10 PS/PVC karışımının jel kesrinin sıcaklığına karşı grafiği.



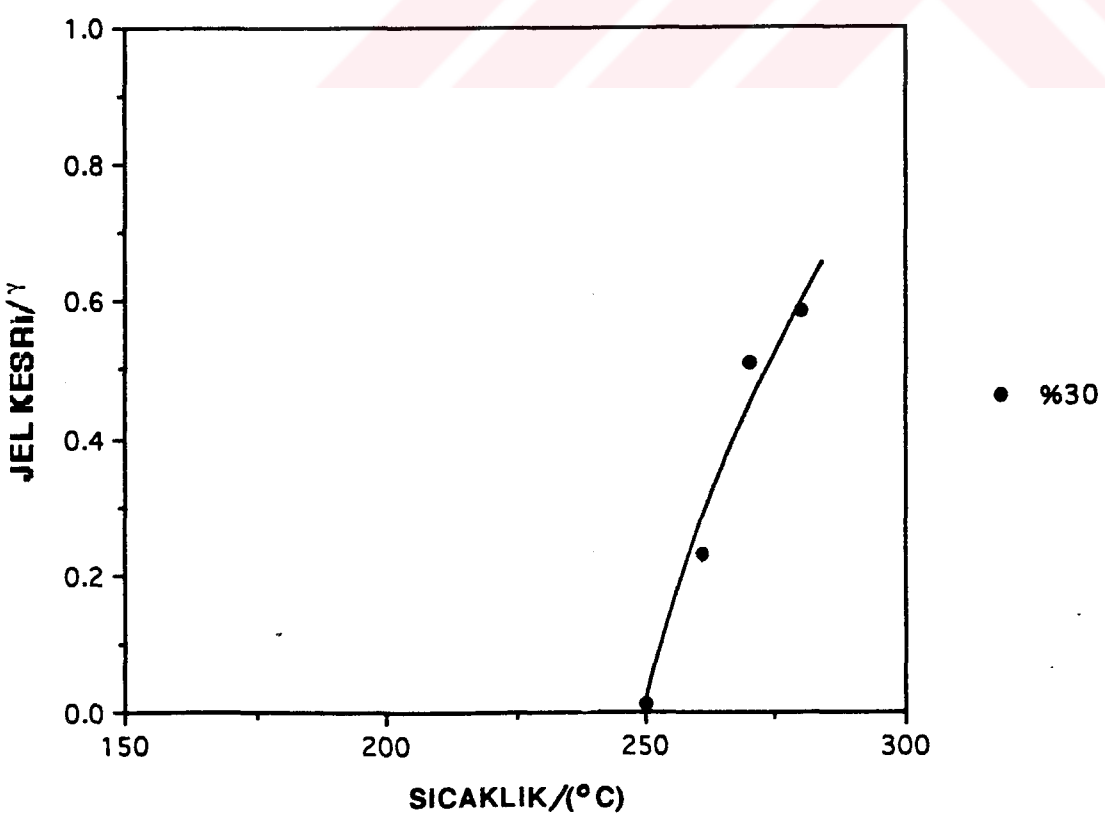
Şekil. 69 %20 PS(COOH)/PVC karışımının jel kesrinin sıcaklığına karşı grafiği.



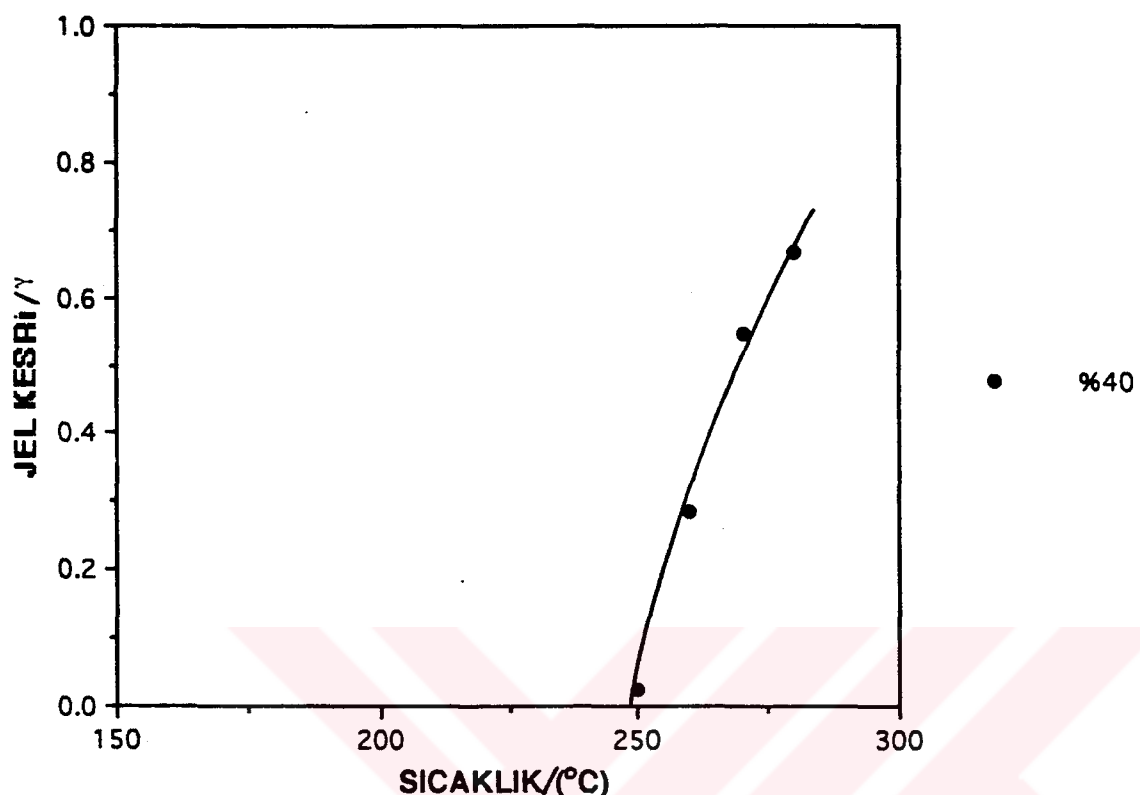
Şekil. 70 %20 PS/PVC karışımının jel kesrinin sıcaklığına karşı grafiği.



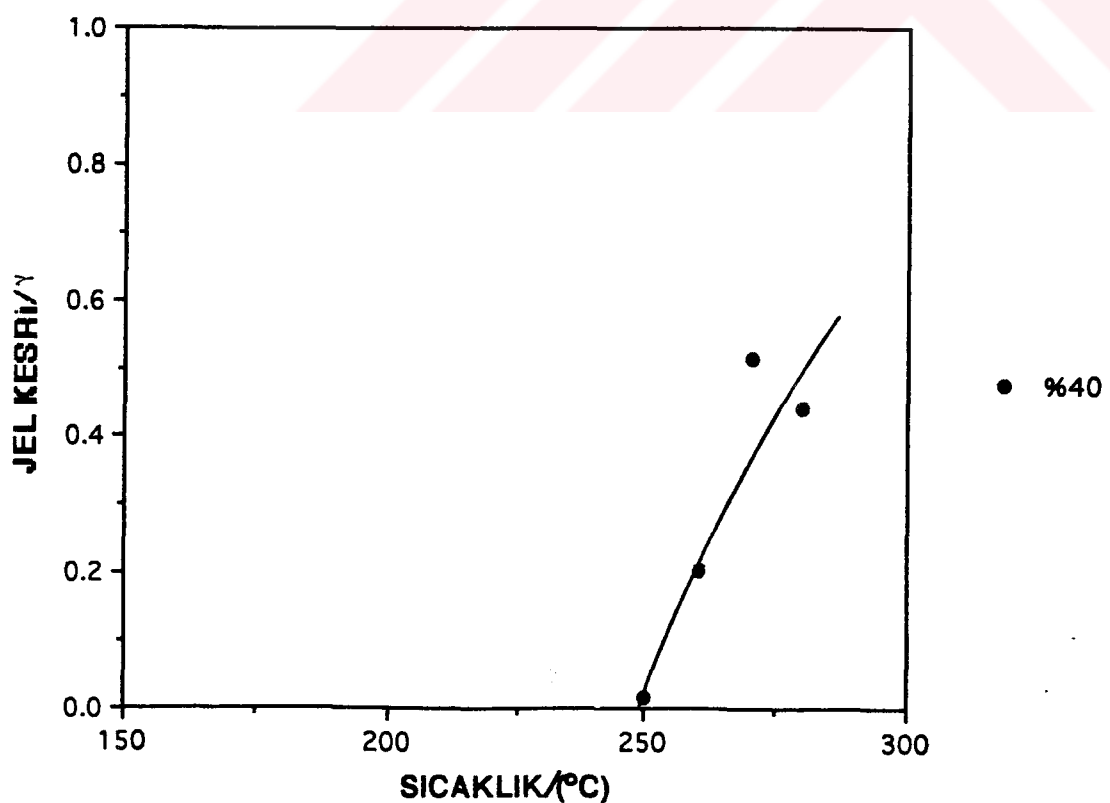
Şekil. 71 %30 PS(COOH)/PVC karışımının jel kesrinin sıcaklığına karşı grafiği.



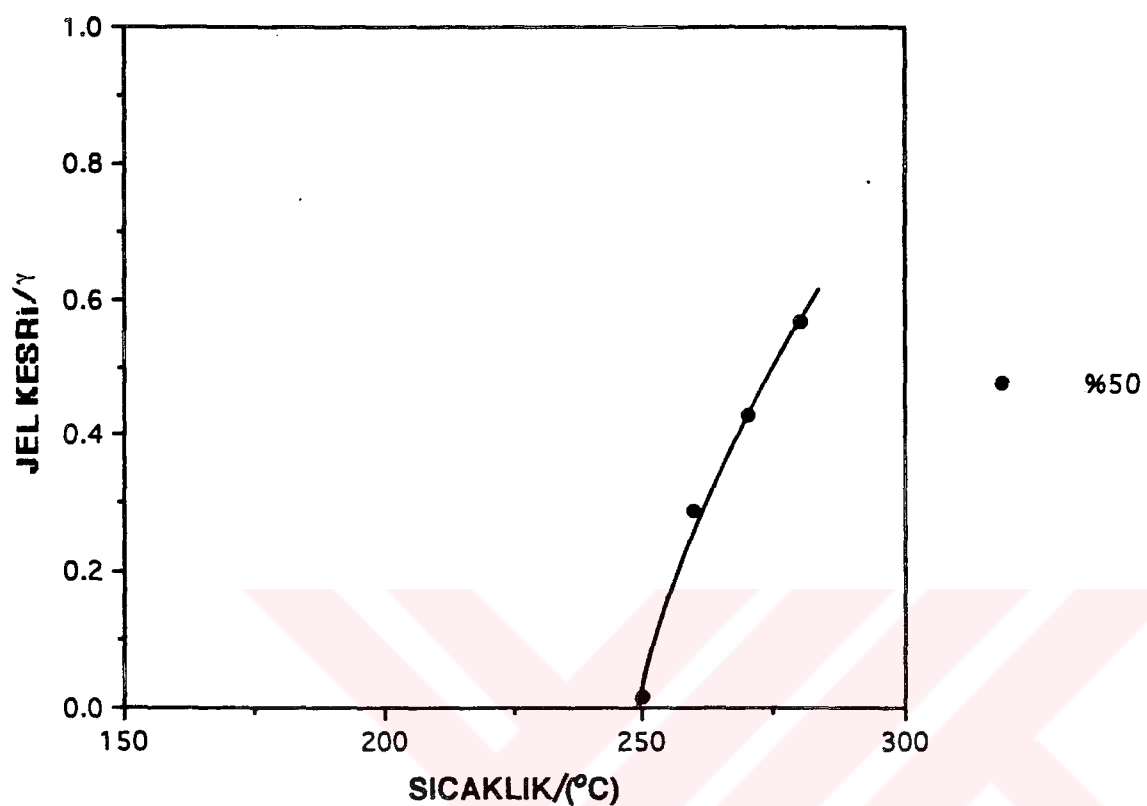
Şekil. 72 %30 PS/PVC karışımının jel kesrinin sıcaklığına karşı grafiği.



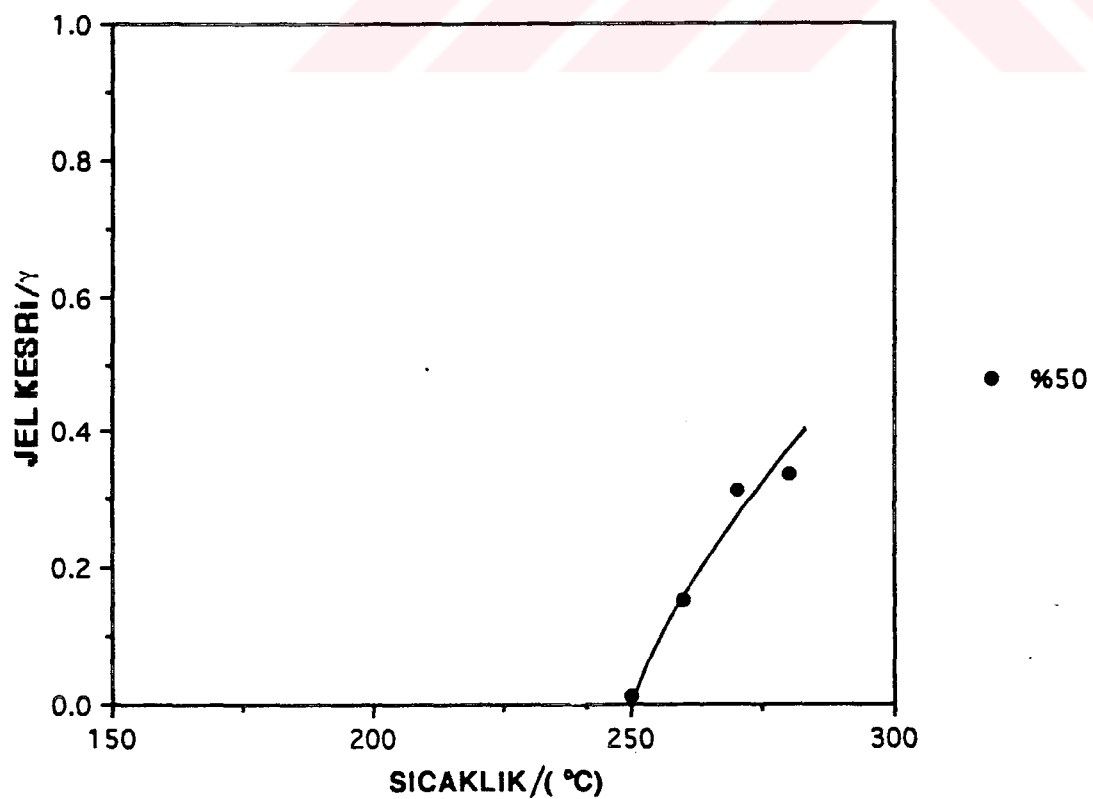
Şekil. 73. %40 PS(COOH)/PVC karışımının jel kesrinin sıcaklığına karşı grafiği.



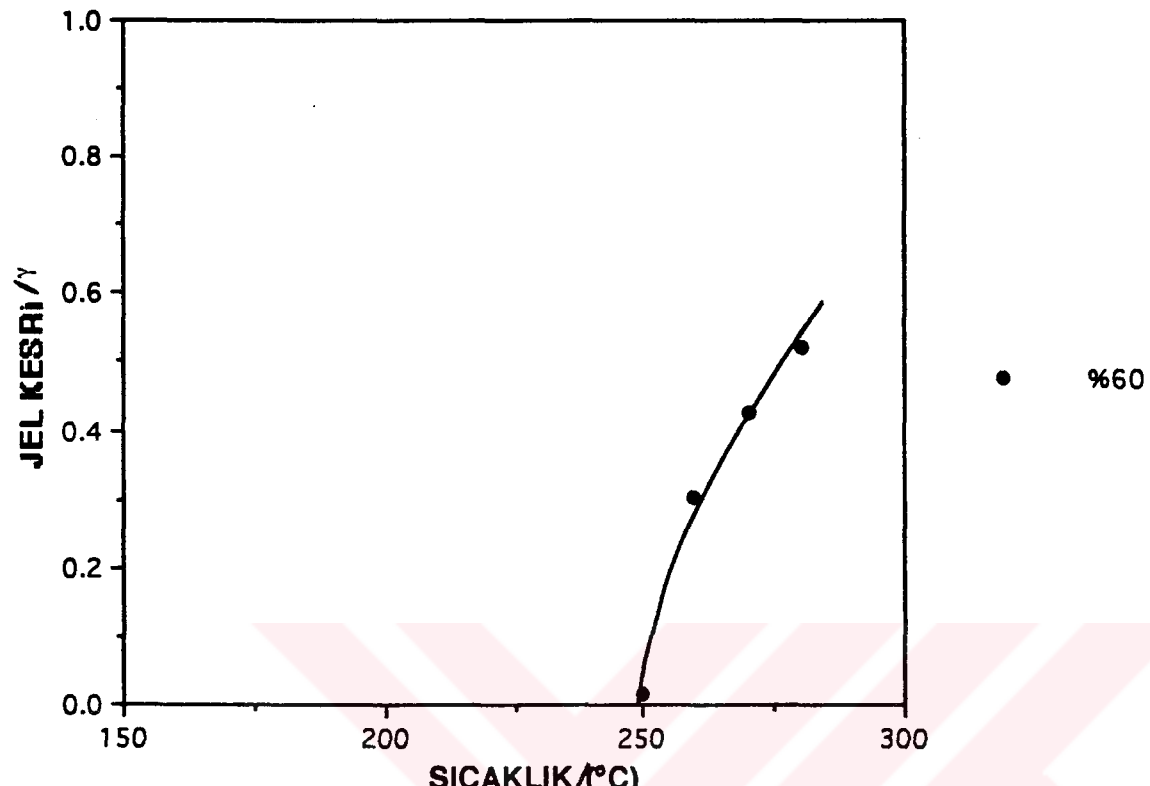
Şekil. 74 %40 PS/PVC karışımının jel kesrinin sıcaklığına karşı grafiği.



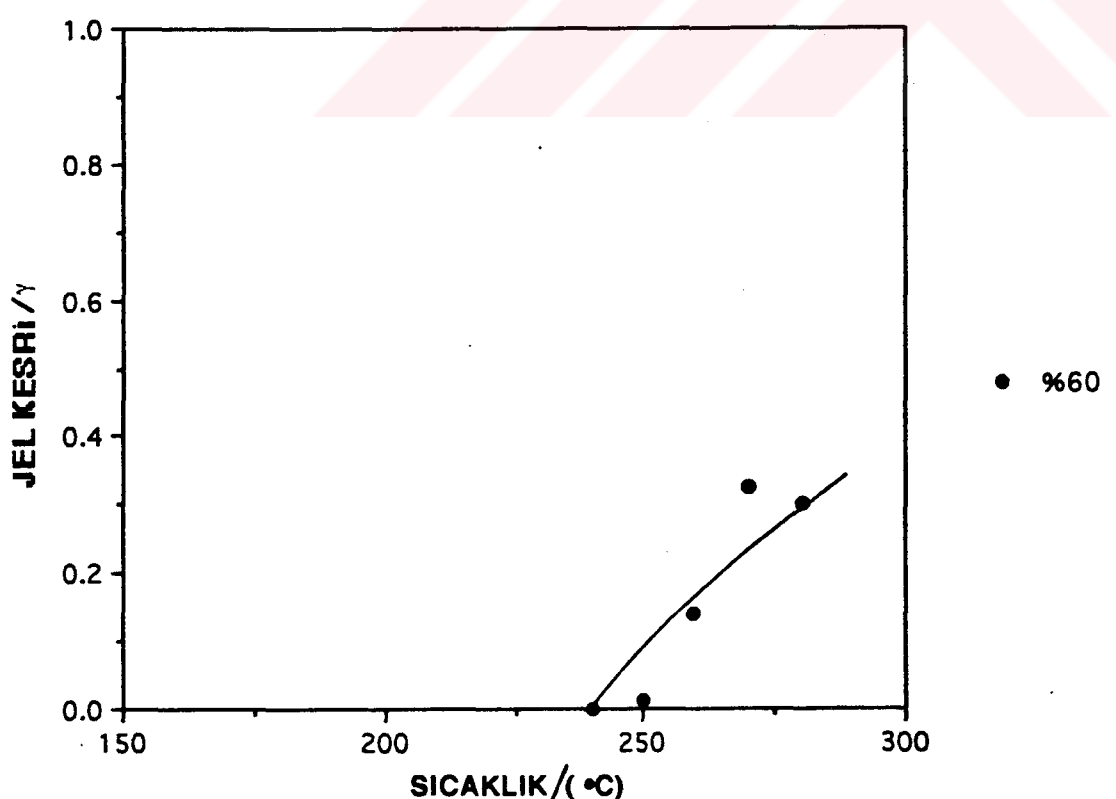
Şekil. 75 %50 PS(COOH)/PVC karışımının jel kesrinin sıcaklığına karşı grafiği.



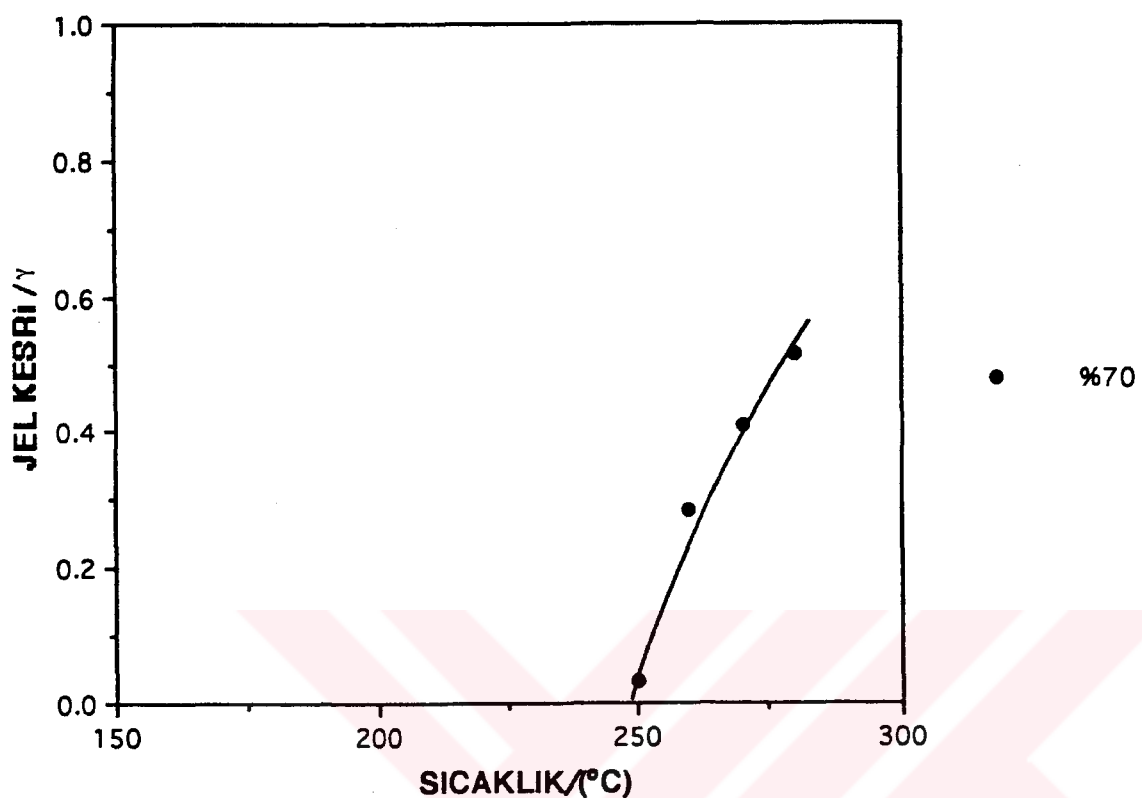
Şekil. 76 %50 PS/PVC karışımının jel kesrinin sıcaklığına karşı grafiği.



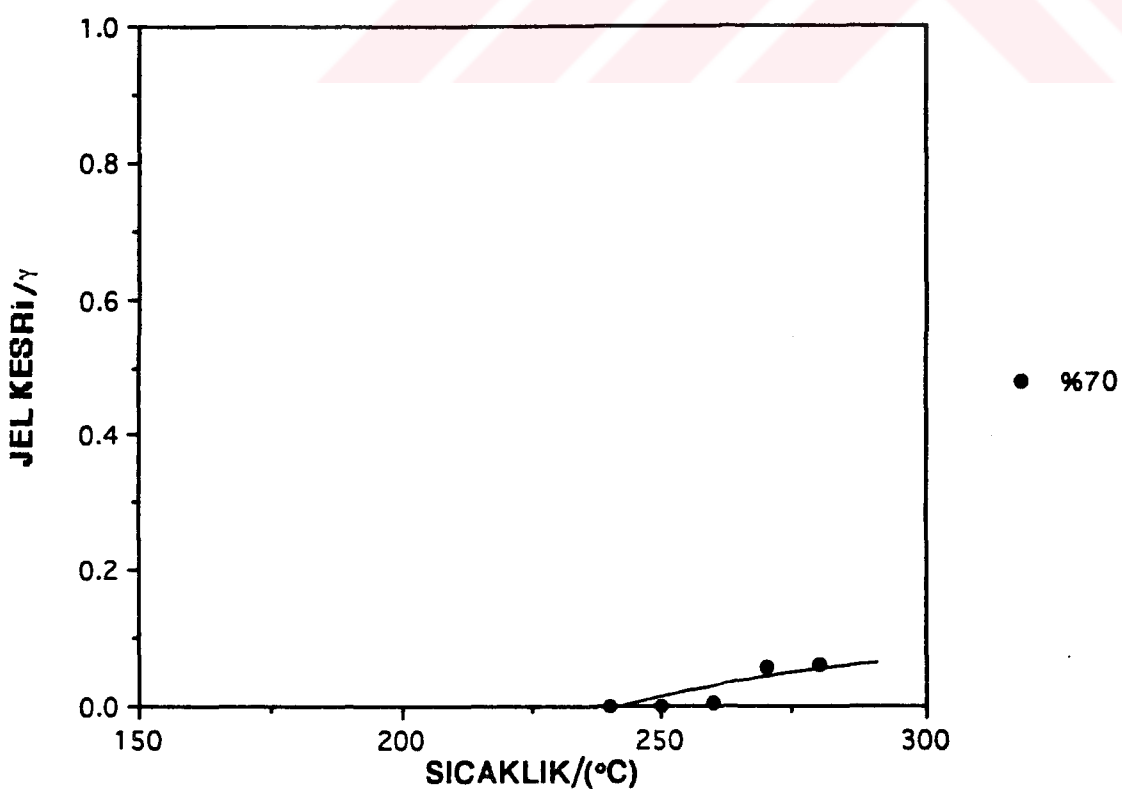
Şekil. 77 %60 PS(COOH)/PVC karışımının jel kesrinin sıcaklığına karşı grafiği.



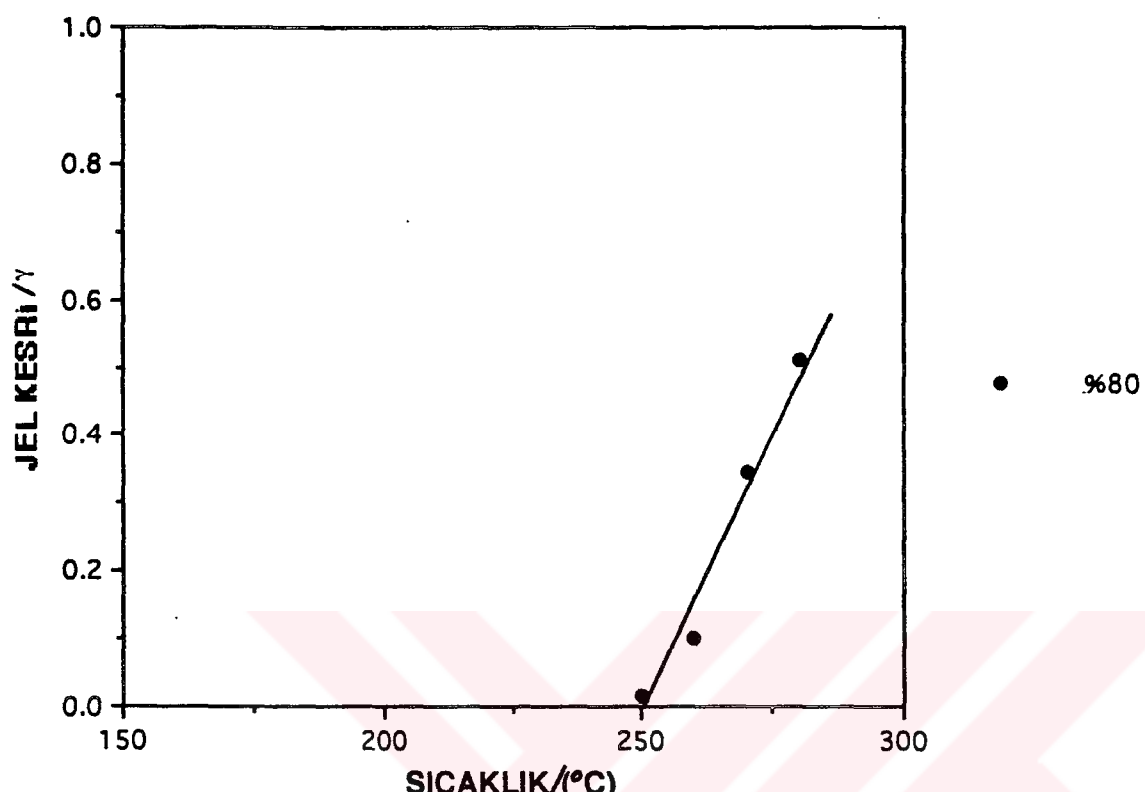
Şekil. 78 %60 PS/PVC karışımının jel kesrinin sıcaklığına karşı grafiği.



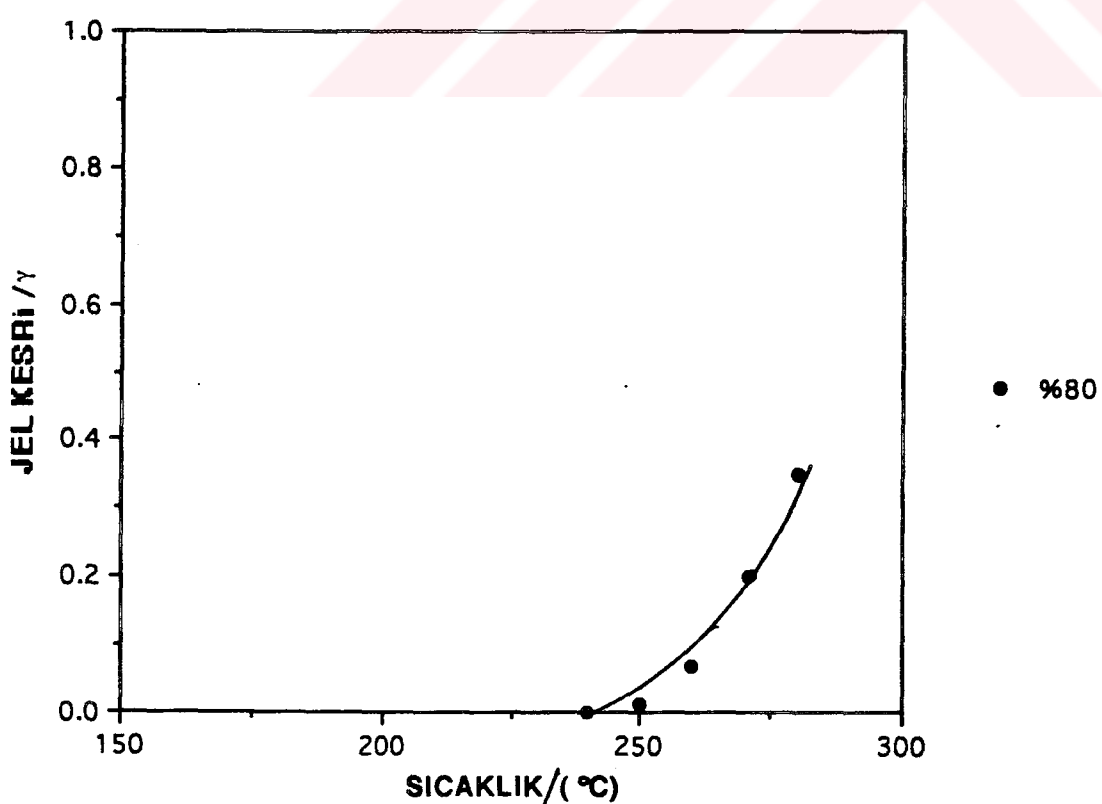
Şekil 79 %70 PS(COOH)/PVC karışımının jel kesrinin sıcaklığına karşı grafiği.



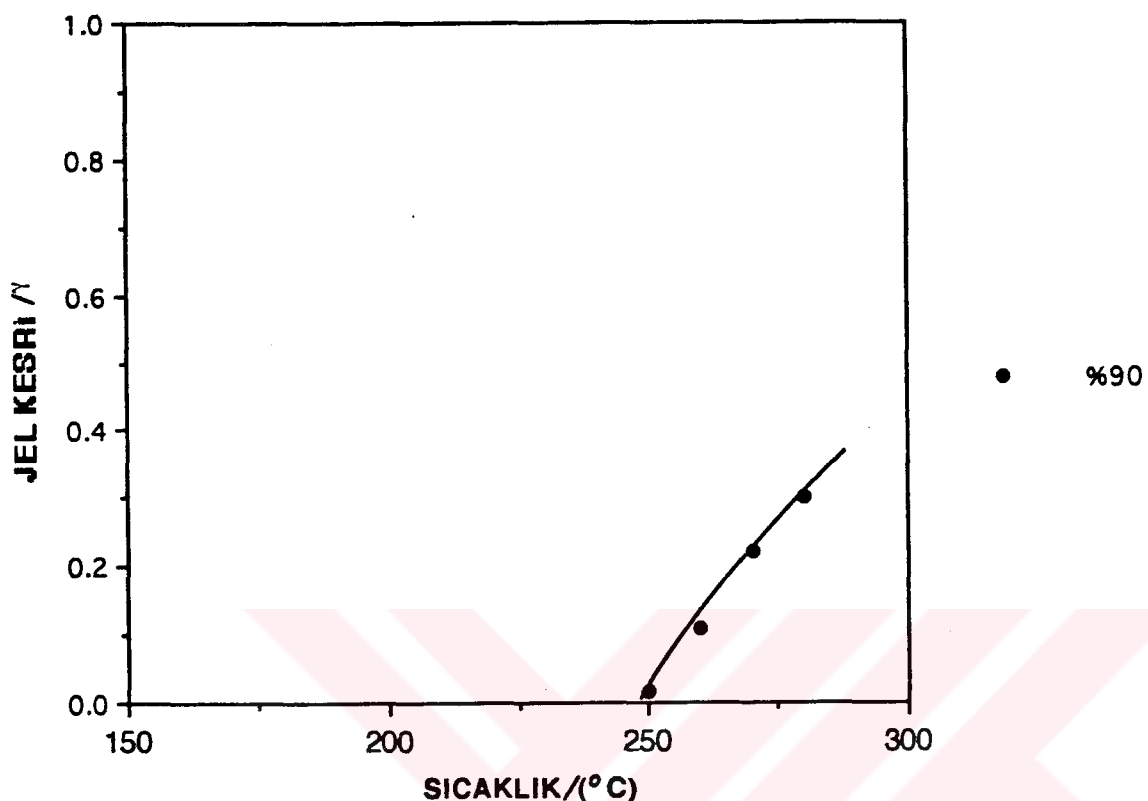
Şekil. 80 %70 PS/PVC karışımının jel kesrinin sıcaklığına karşı grafiği.



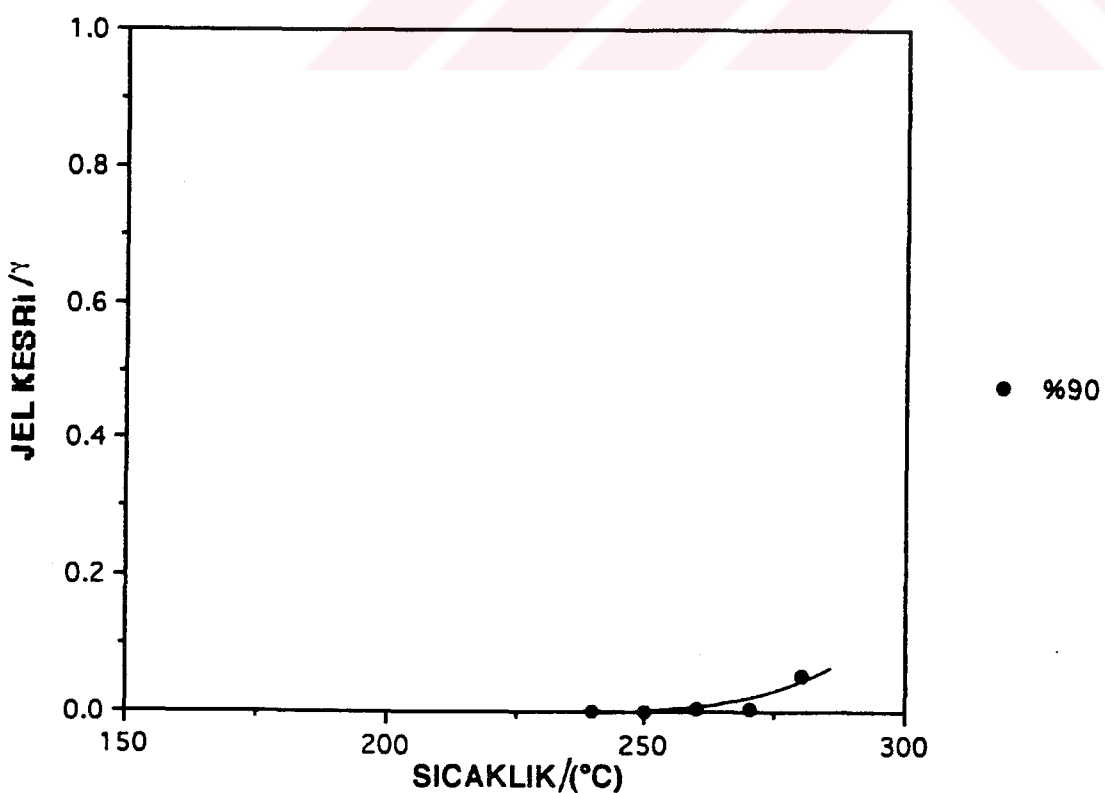
Şekil. 81) %80 PS(COOH)/PVC karışımının jel kesrinin sıcaklığına karşı grafiği.



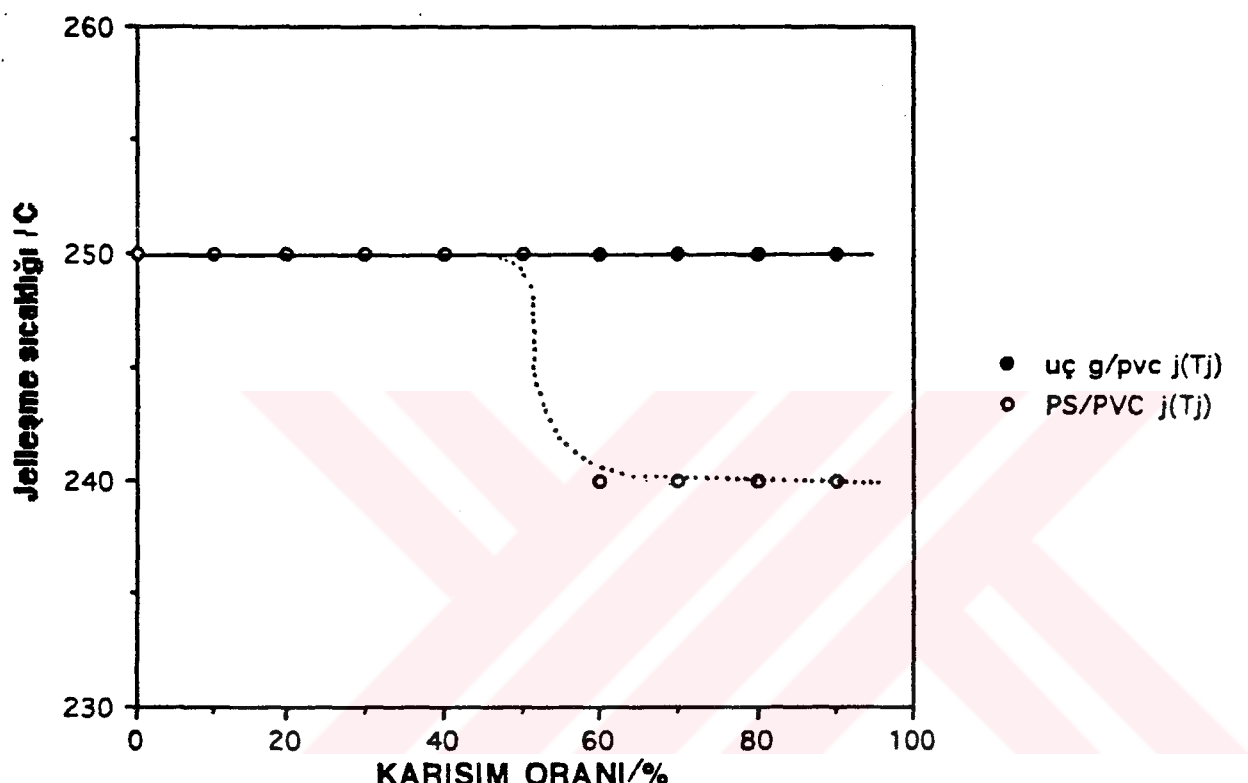
Şekil 82 %80 PS/PVC karışımının jel kesrinin sıcaklığına karşı grafiği.



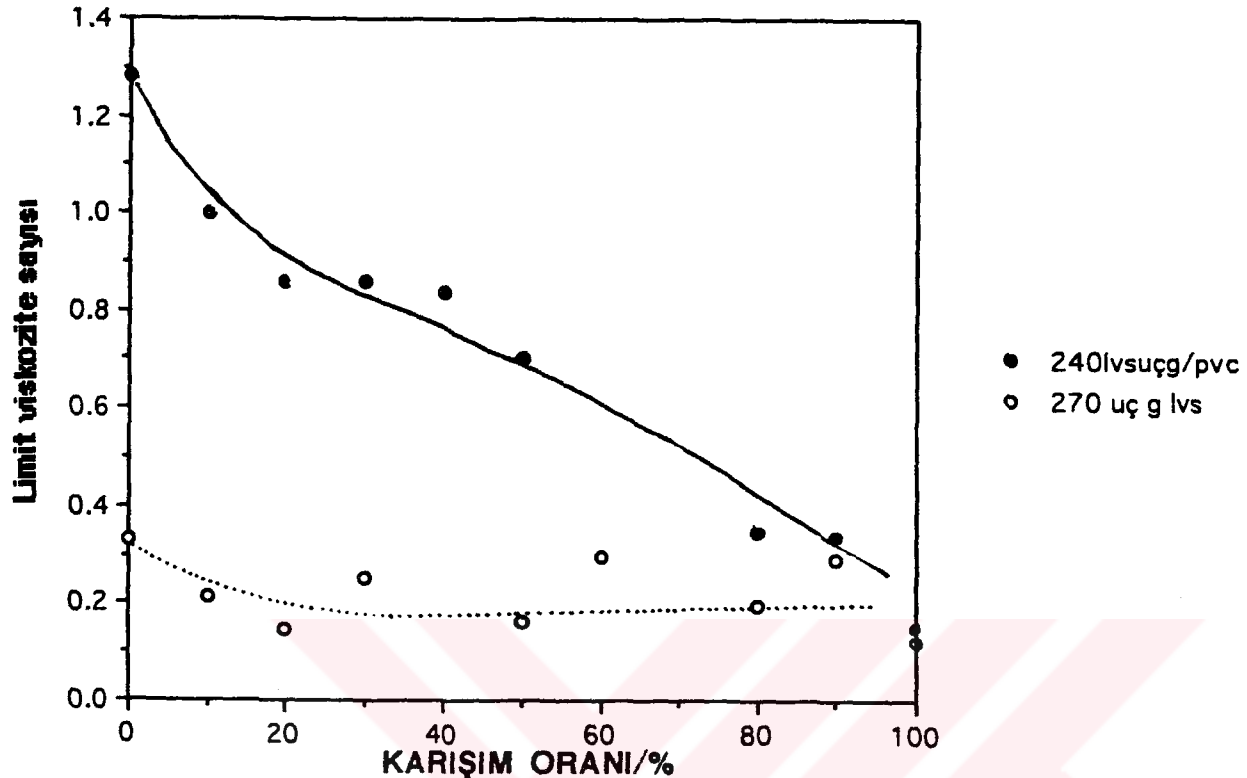
Şekil 83 %90 PS(COOH)/PVC karışımının jel kesrinin sıcaklığına karşı grafiği.



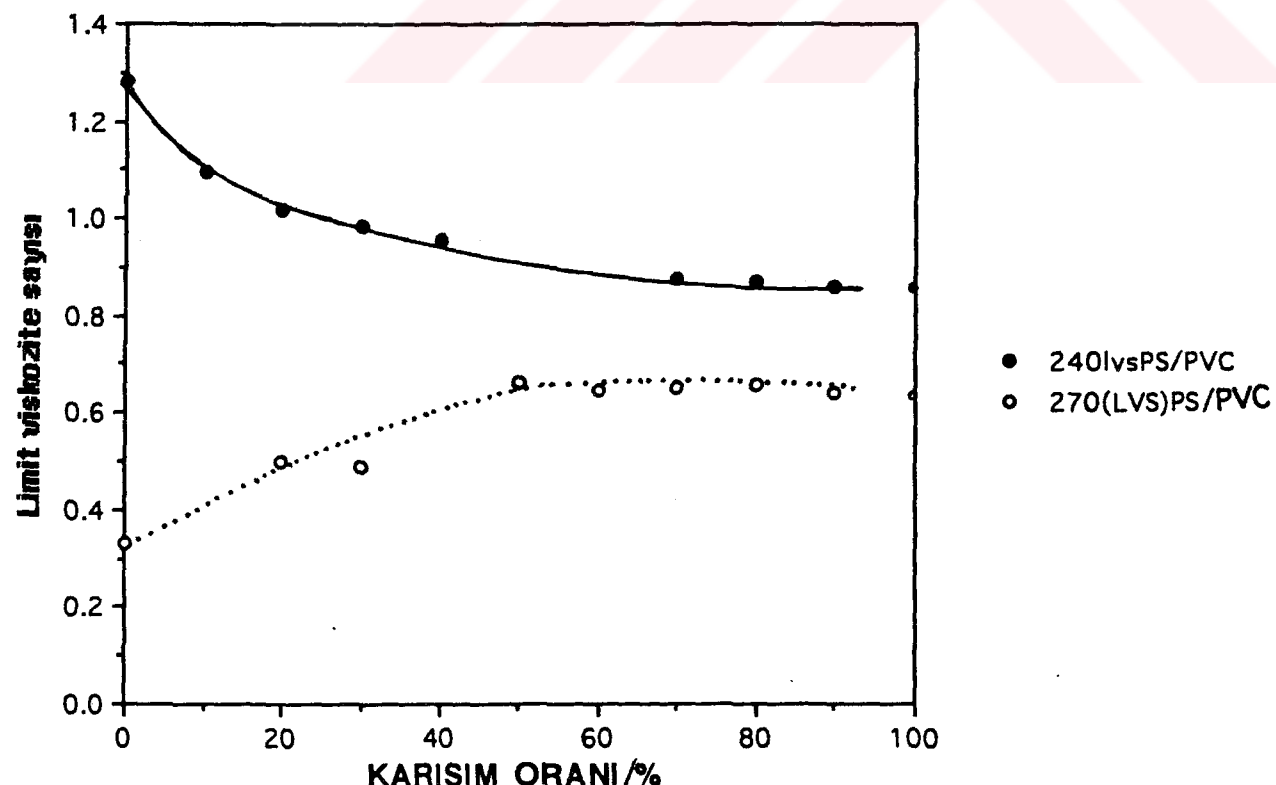
Şekil 84 %90 PS/PVC karışımının jel kesrinin sıcaklığına karşı grafiği.



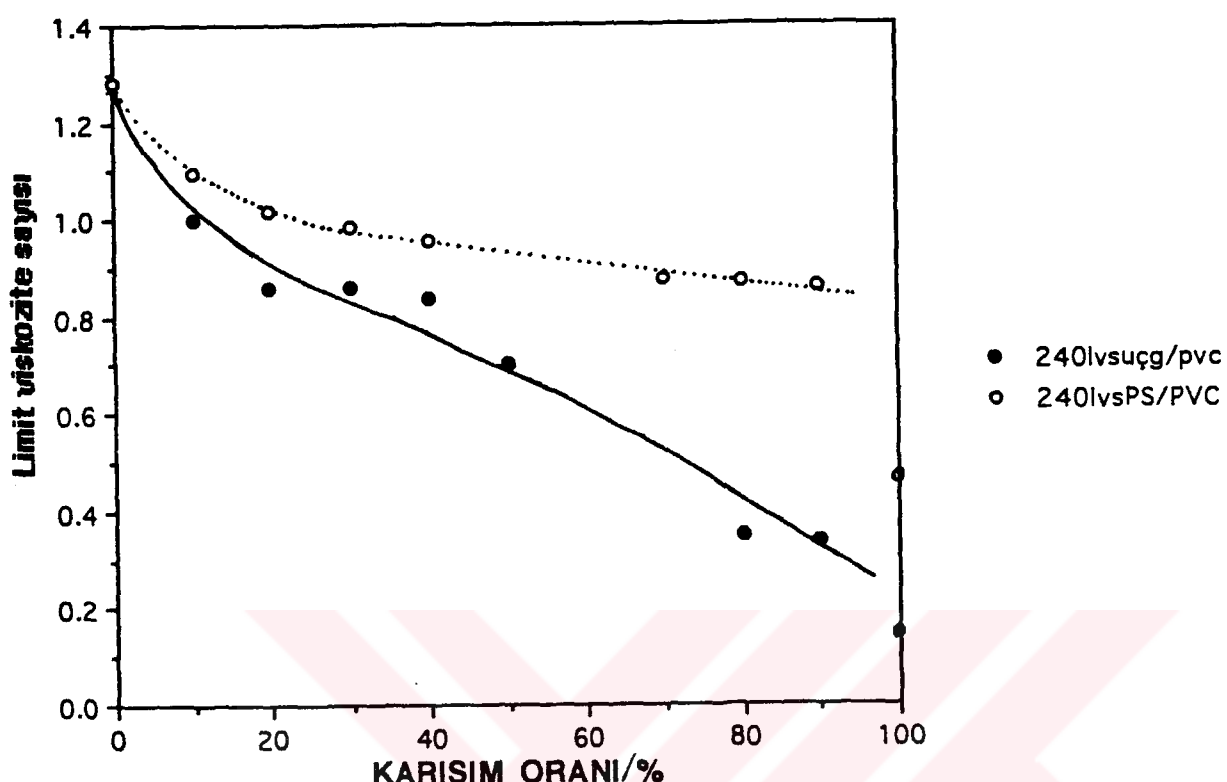
Şekil. 85 PS(COOH)/PVC ve PS/PVC karışımılarına ait jel fraksiyonu yöntemiyle bulunan jelleşme sıcaklıklarının karışım oranı ile değişimi.



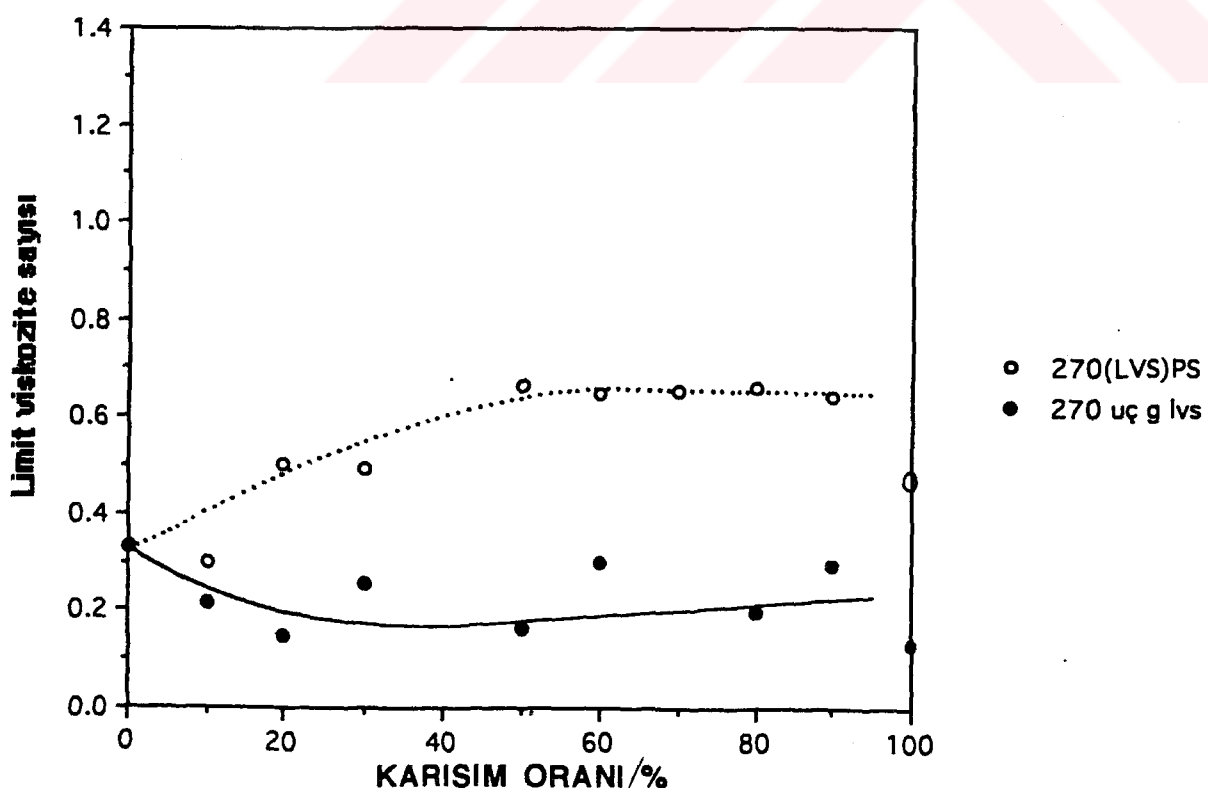
Şekil 86 PS(COOH)/PVC Karışımına ait bütün ömeklerin 240°C ve 270°C'deki viskozite değerlerinin karışım oranı ile değişimi.



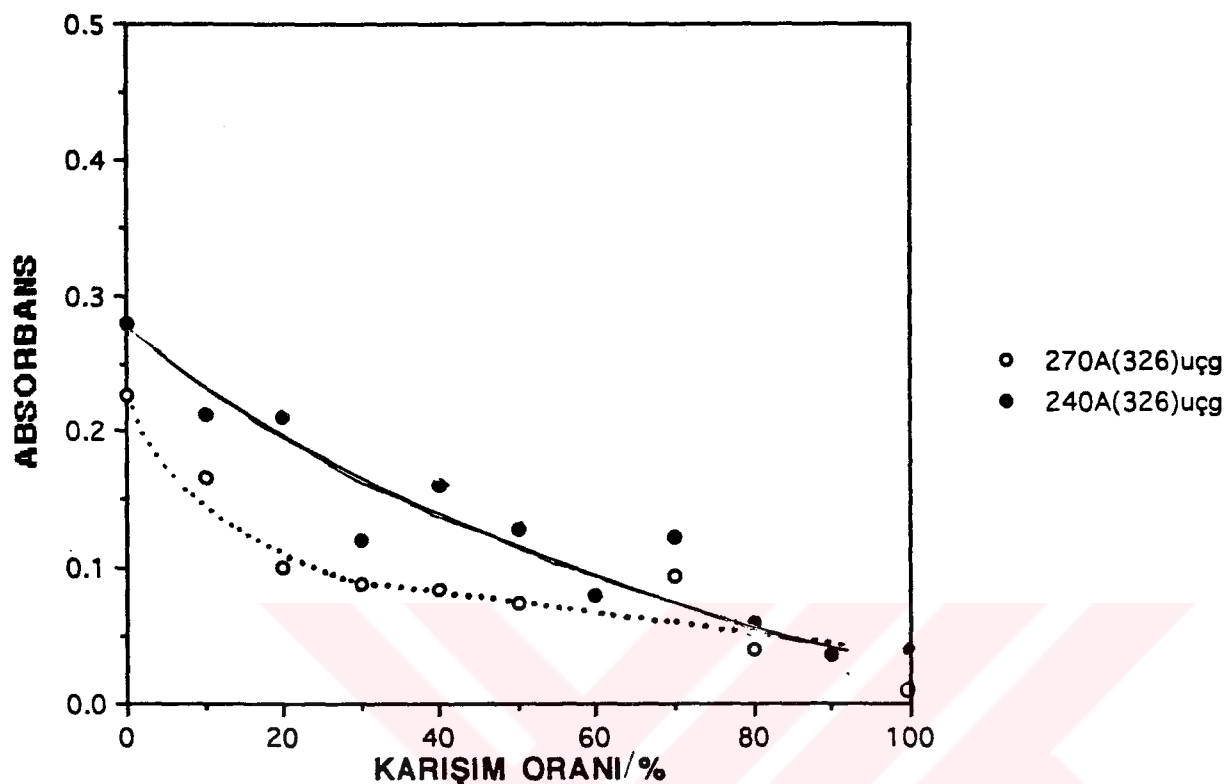
Şekil. 87 PS/PVC Karışımına ait bütün ömeklerin 240°C ve 270°C'deki viskozite değerlerinin karışım oranı ile değişimi.



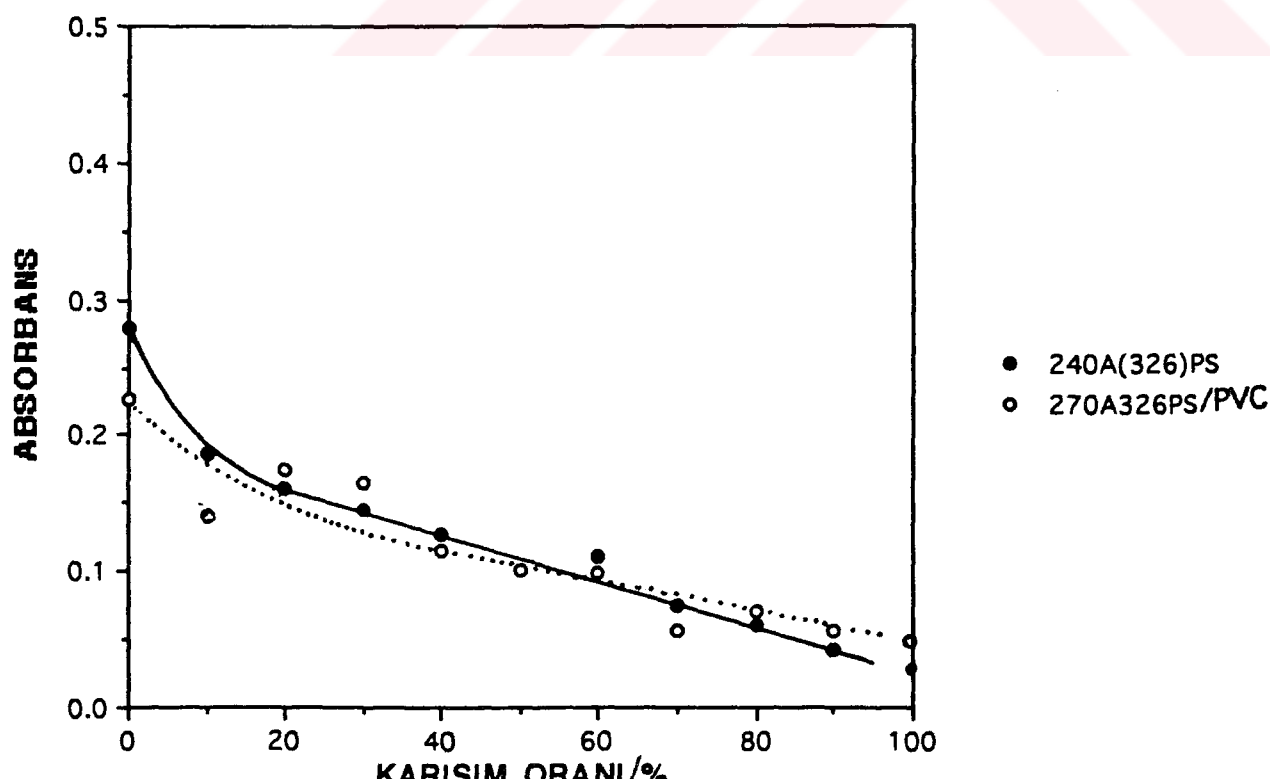
Şekil. 88. PS(COOH)/PVC ve PS/PVC karışımılarına ait bütün örneklerin 240 C'deki viskozite değerlerinin karışım oranı ile değişimi.



Şekil. 89. PS(COOH)/PVC ve PS/PVC karışımıların bütün örneklerin 270 C'deki viskozite değerlerinin karışım oranı ile değişimi.

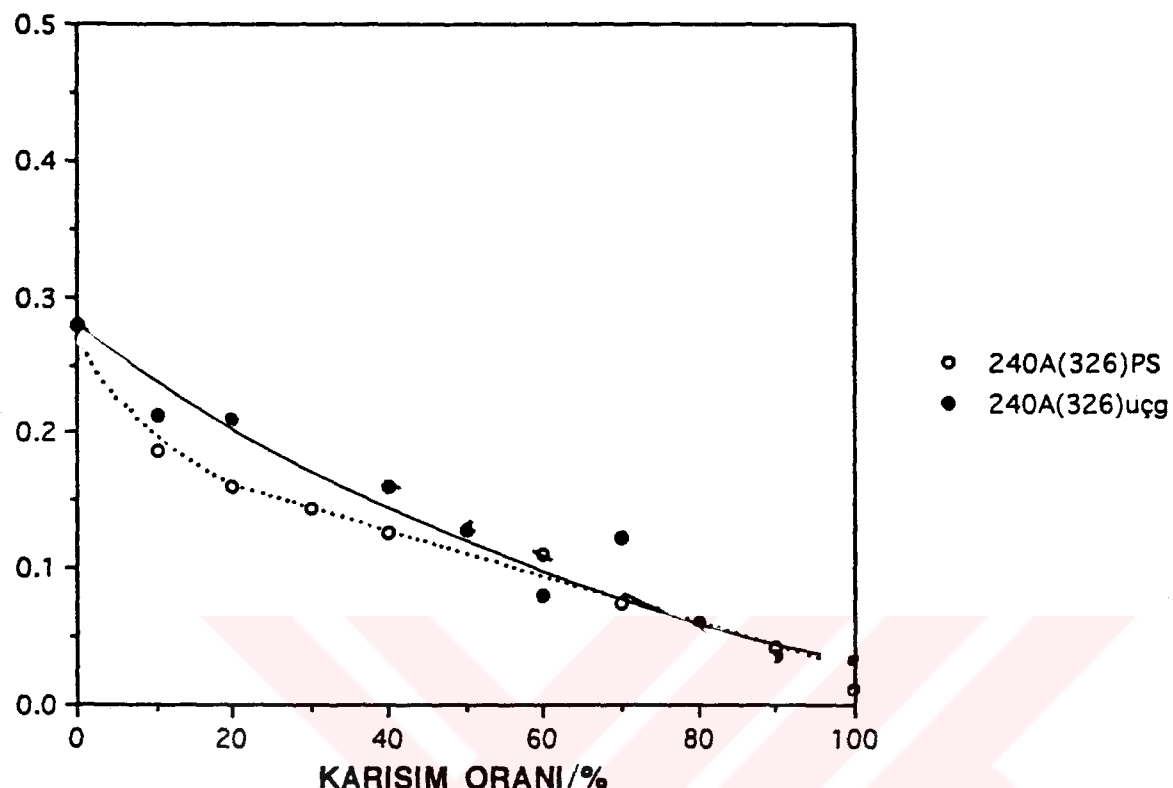


Şekil 90 PS(COOH)/PVC Karışımına ait bütün örneklerin 240 C ve 270 C'ye kadar ısıtılmış olanların 326 nm dalga boyundaki absorbans değerlerinin karışım oranı ile değişimi



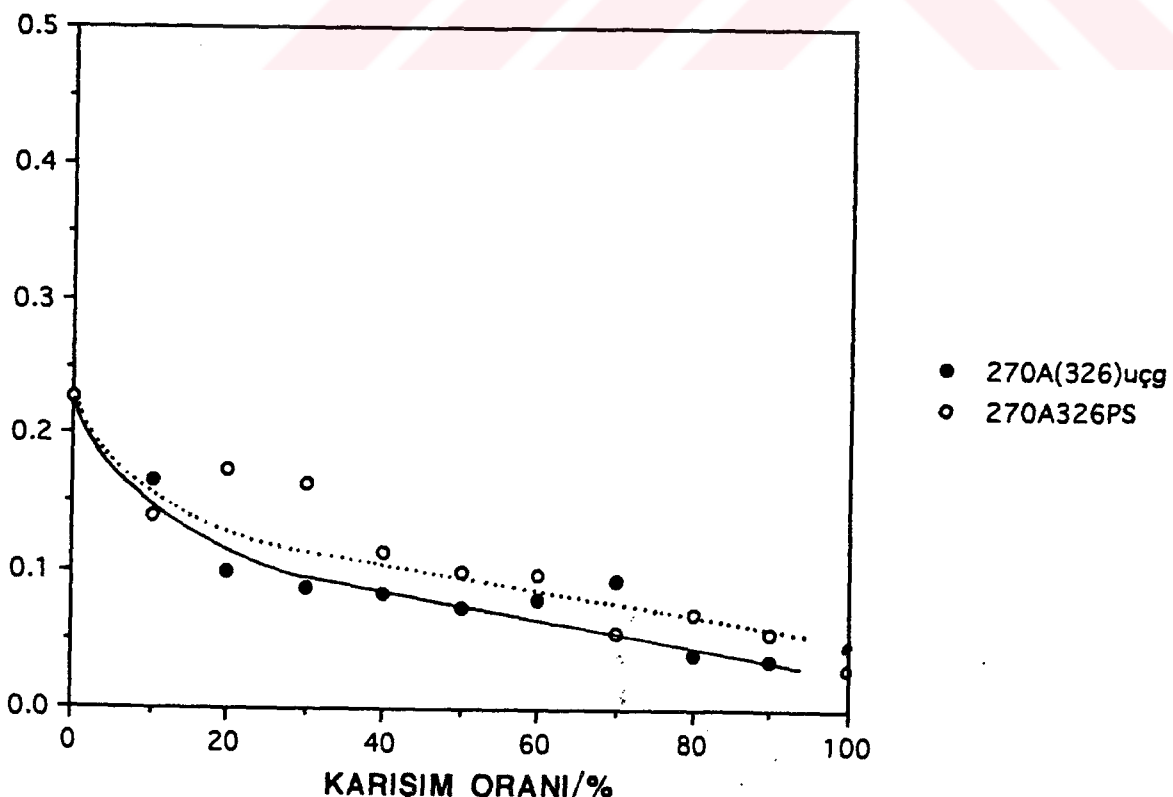
Şekil. 91 PS/PVC Karışımına ait bütün örneklerin 240 C ve 270 C'ye kadar ısıtılmış olanların 326 nm dalga boyundaki absorbans değerlerinin karışım oranı ile değişimi.

ABSORBANS

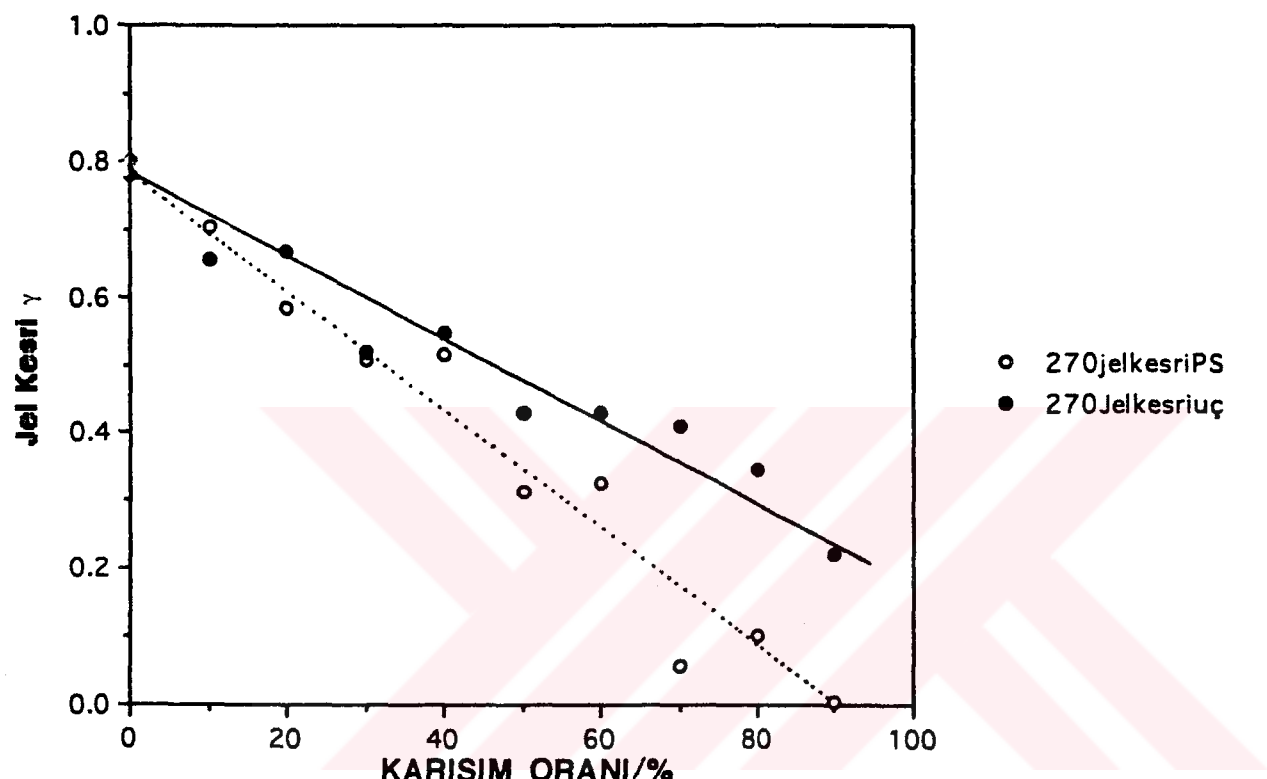


kıl. 92 PS(COOH)/PVC ve PS/PVC karışımılarına ait bütün örneklerin 240 C'ye kadar ısıtılmış 326 nm deki absorbans değerlerinin karışım oranı ile değişimi.

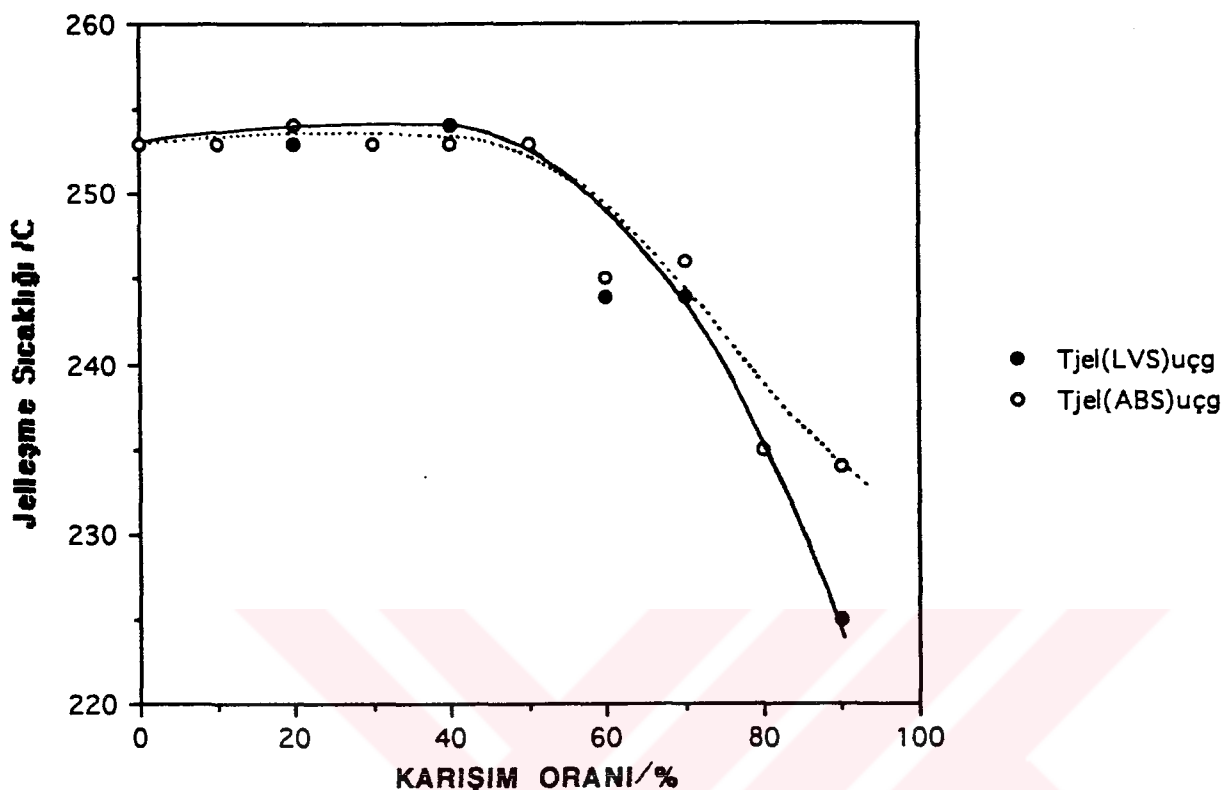
ABSORBANS



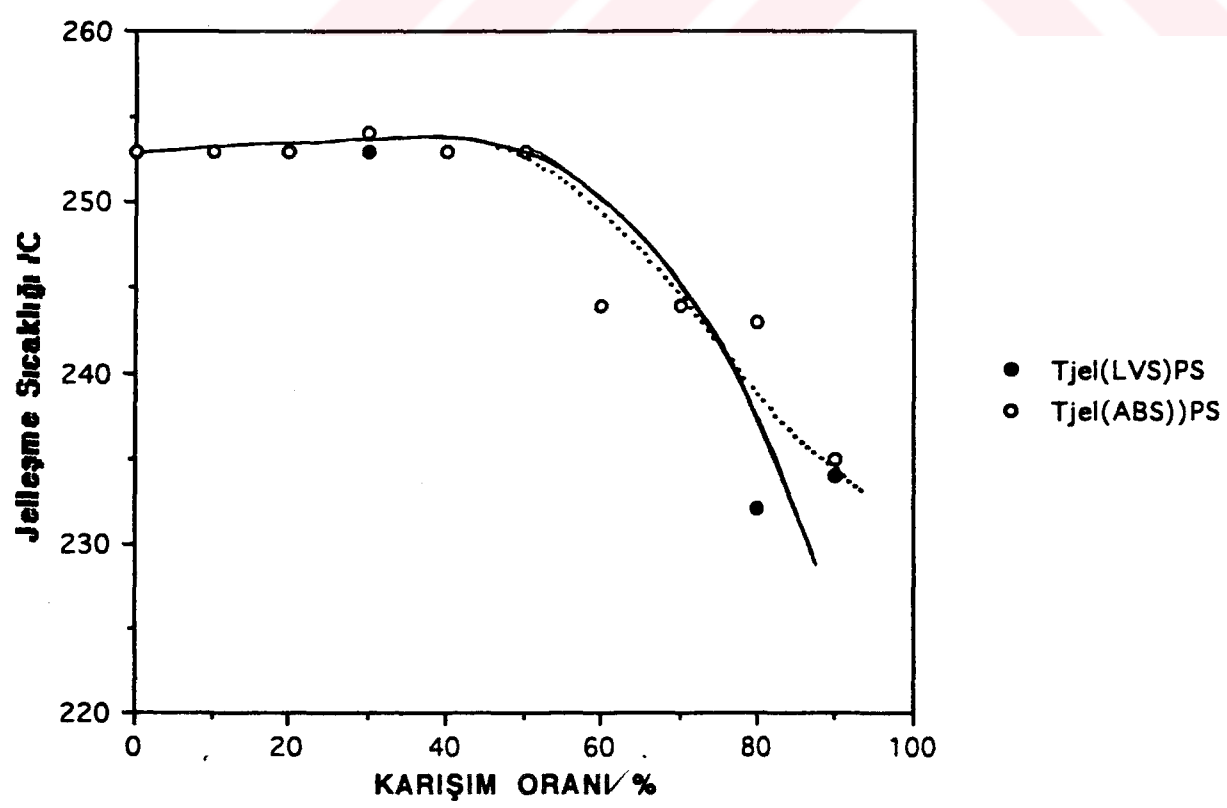
kıl. 93 PS(COOH)/PVC ve PS/PVC karışımılarına ait bütün örneklerin 270 C'ye kadar ısıtılmış olanların 326 nm deki absorbans değerlerinin karışım oranı ile değişimi.



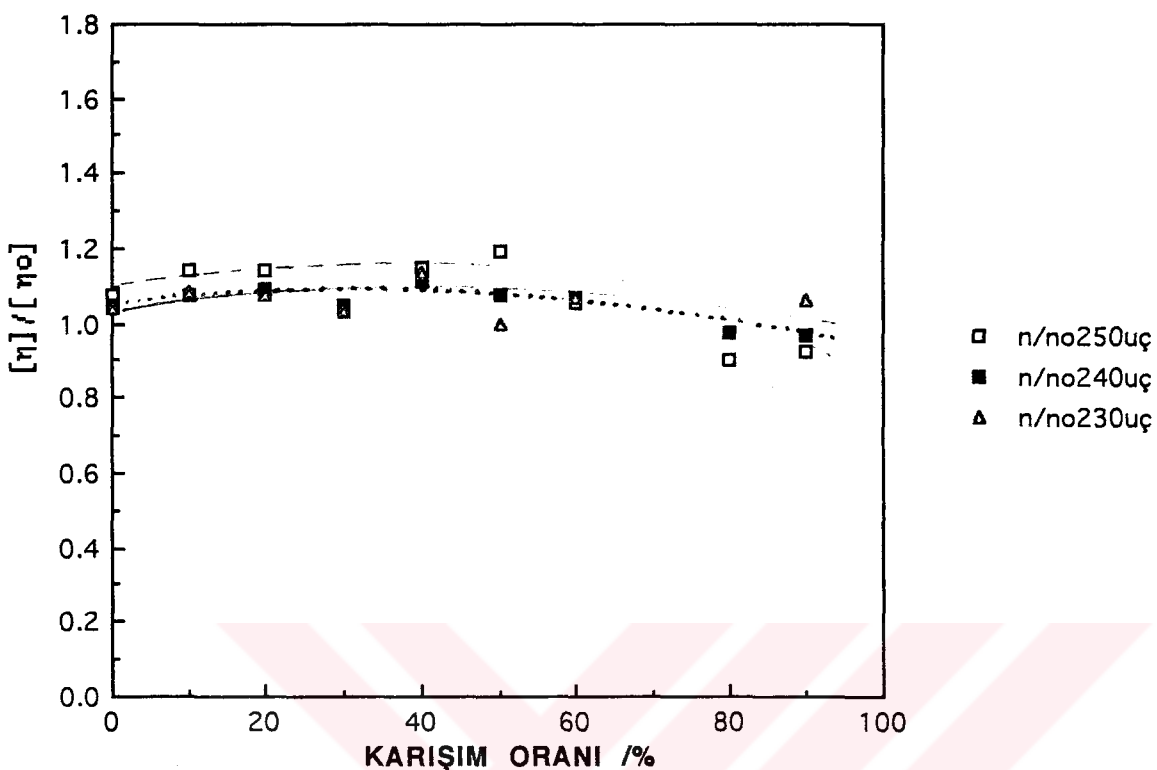
kıl. 94 PS(COOH)/PVC ve PS/PVC karışımımlarına ait 270 C'deki jel kesri değerlerinin karışım oranı ile değişimi.



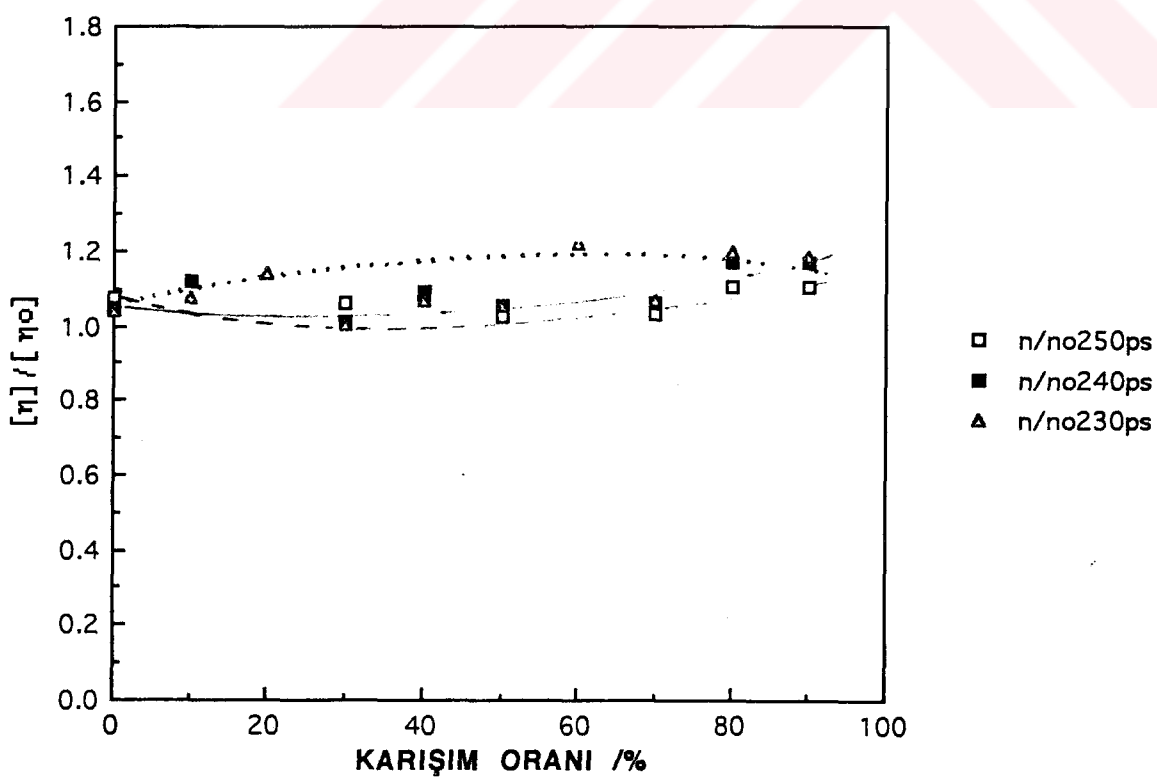
Şekil. 95 PS(COOH)/PVC karışımının Ivs ve absorbans ölçümlerinde bulunan jelleşme sıcaklığının karışım oranı ile değişimi.



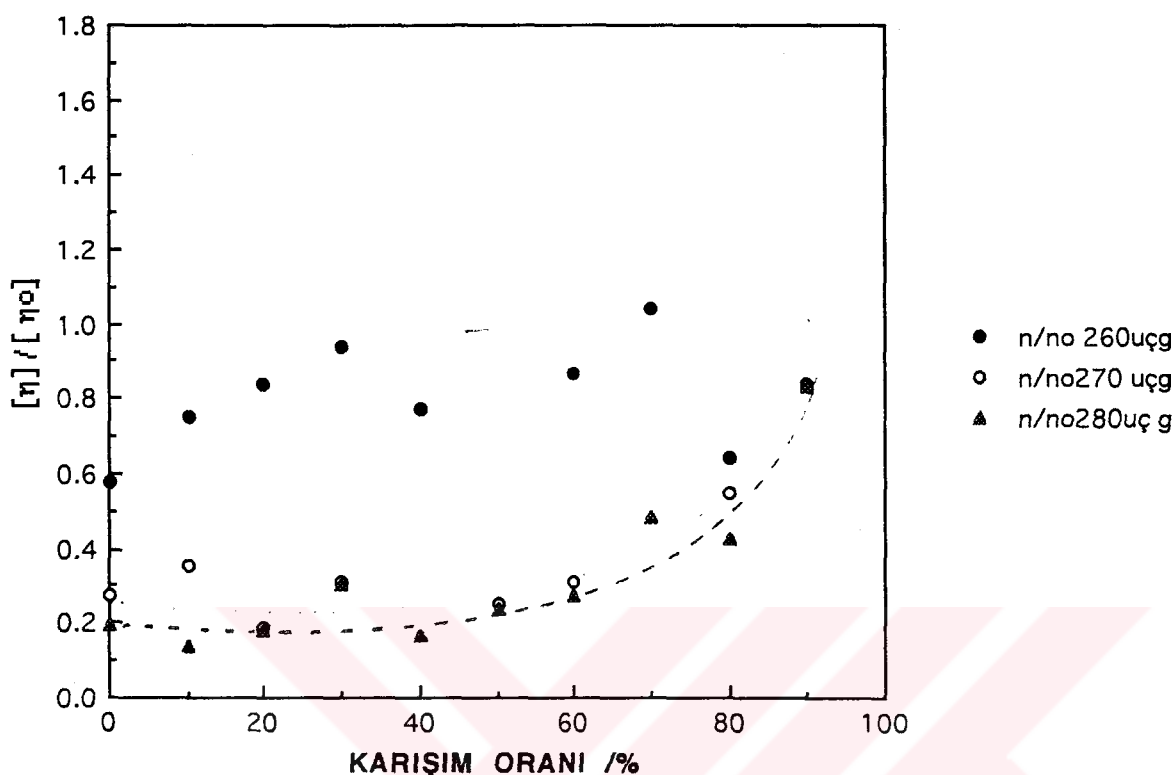
Şekil 96 PS/PVC karışımının Ivs ve absorbans ölçümlerinde bulunan jelleşme sıcaklığının karışım oranı ile değişimi.



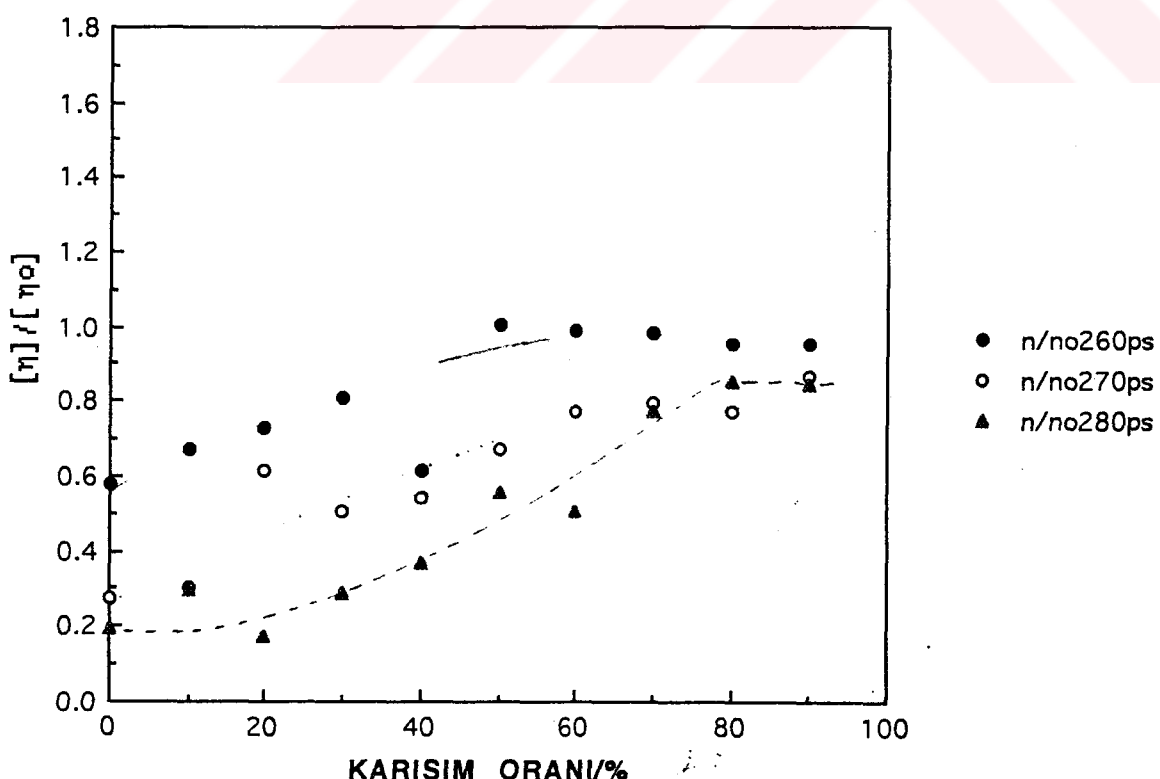
Şekil.97 PS(COOH)/PVC Karışım örneklerinin jelleşme öncesi sıcaklıklardaki  $[\eta]/[\eta_0]$  değerlerinin karışım oranı ile değişimi.



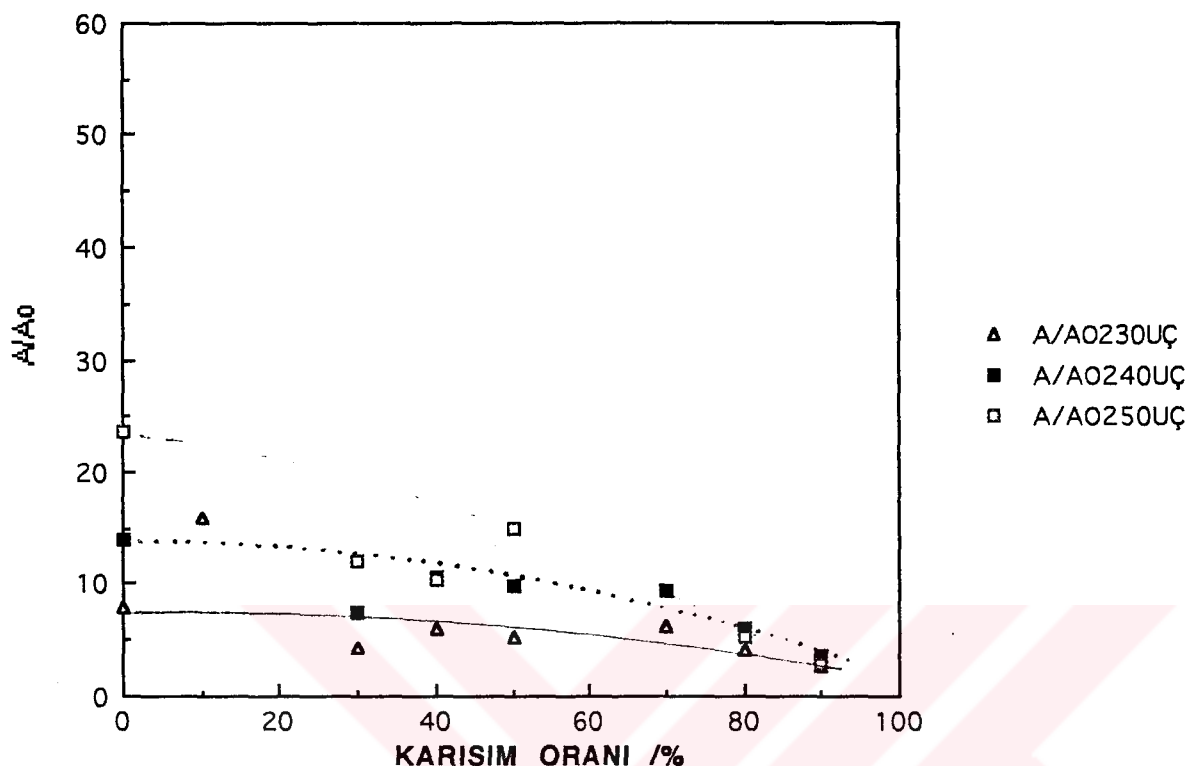
Şekil.98 PS/PVC Karışım örneklerinin jelleşme öncesi sıcaklıklardaki  $[\eta]/[\eta_0]$  değerlerinin karışım oranı ile değişimi.



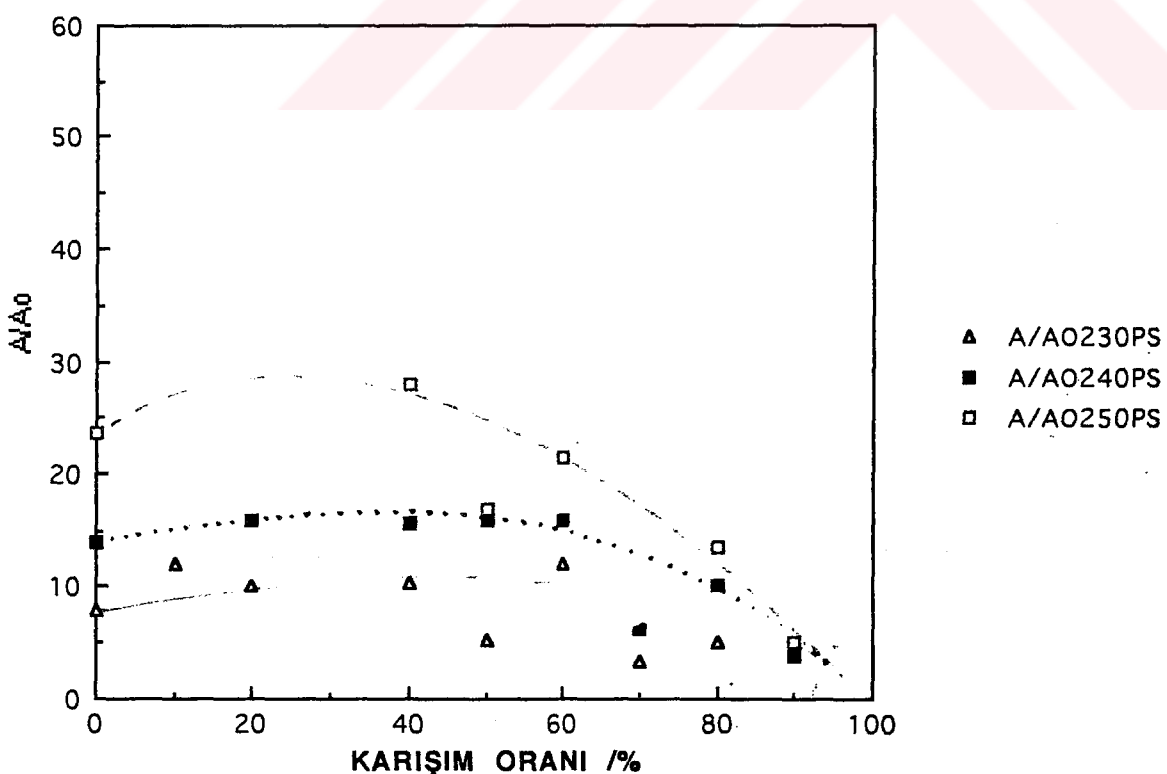
Şekil.99 PS(COOH)/PVC karışım örneklerinin jelleşme sonrası sıcaklıklardaki  $[\eta]/[\eta_0]$  değerlerinin karışım oranı ile değişimi.



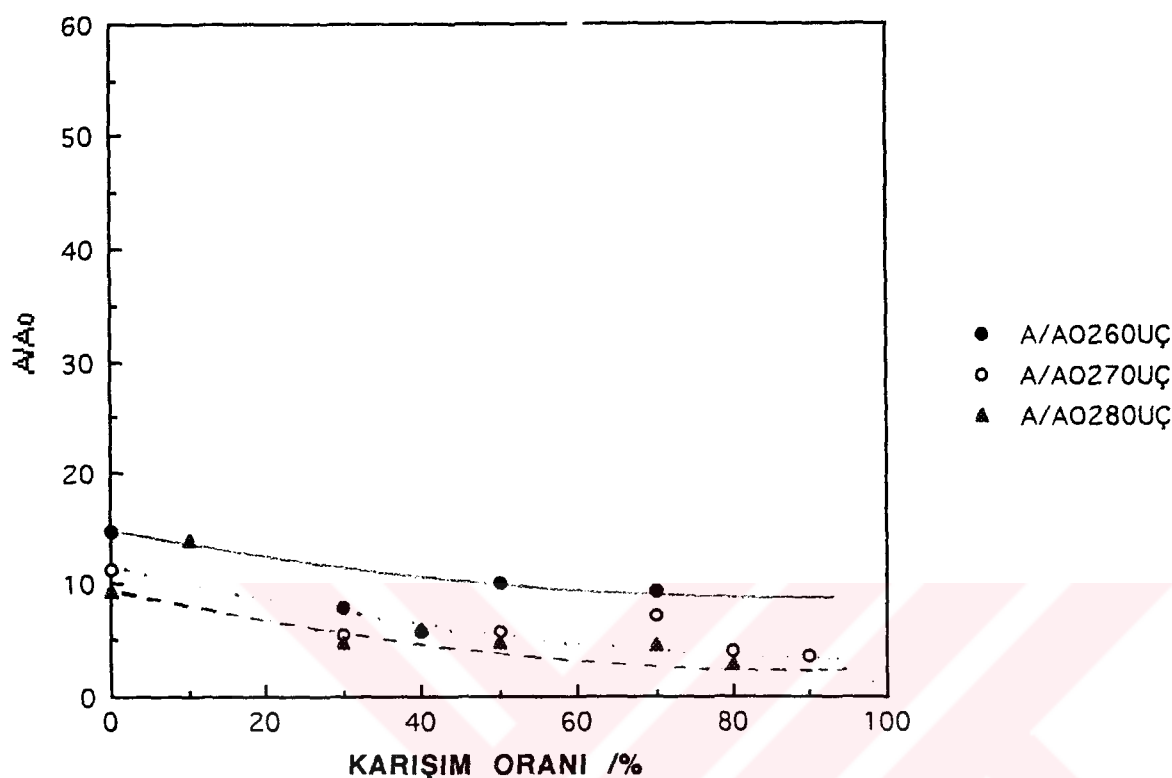
Şekil. 100 PS/PVC karışım örneklerinin jelleşme sonrası sıcaklıklardaki  $[\eta]/[\eta_0]$  değerlerinin karışım oranı ile değişimi.



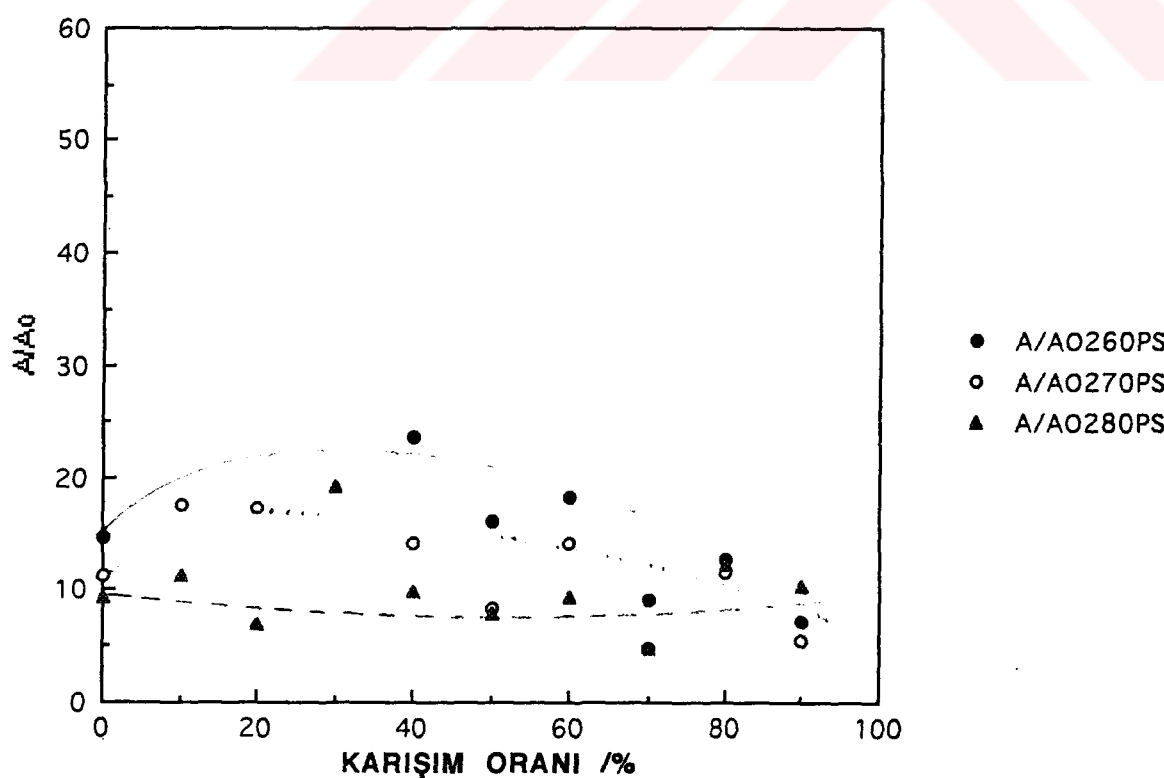
Şekil. 101 PS(COOH)/PVC Karışım örneklerinin jelleşme öncesi sıcaklıklardaki  $A/A_0$  değerlerinin karışım oranı ile değişimi.



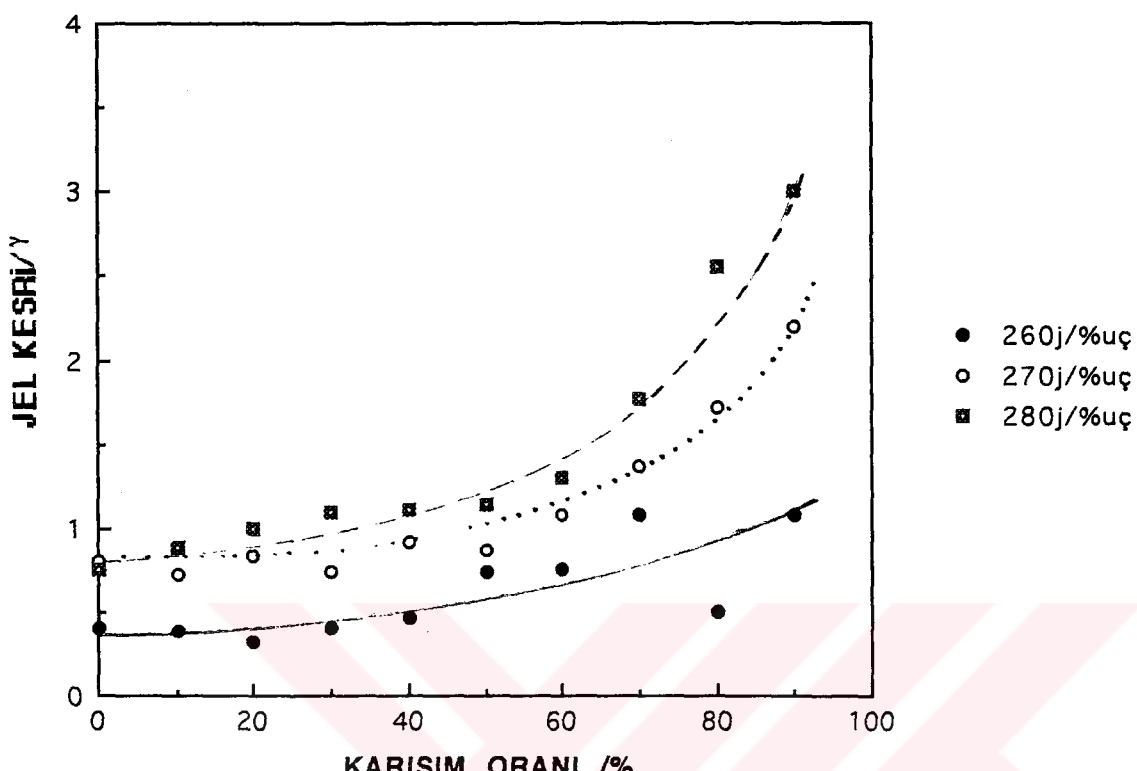
Şekil.102 PS/PVC Karışım örneklerinin jelleşme öncesi sıcaklıklardaki  $A/A_0$  değerlerinin karışım oranı ile değişimi.



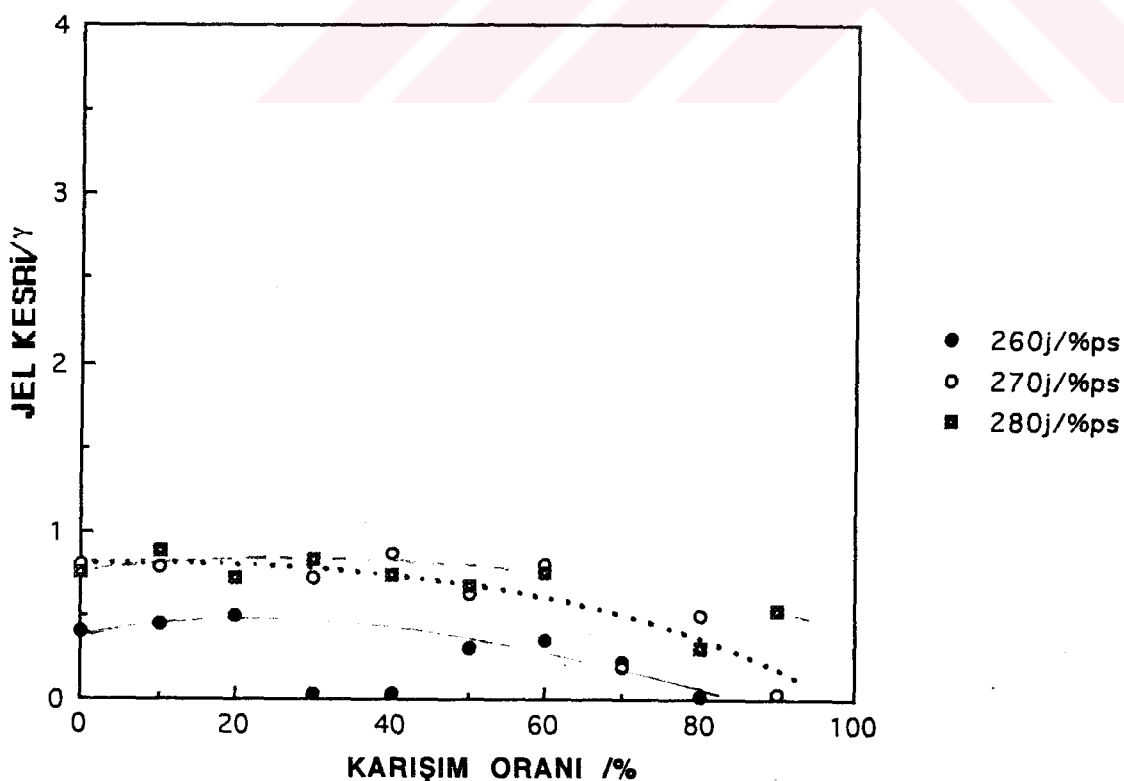
Şekil. 103 PS(COOH)/PVC karışım örneklerinin jelleşme sonrası sıcaklıklardaki  $A/A_0$  değerlerinin karışım oranı ile değişimi.



Şekil. 104 PS/PVC karışım örneklerinin jelleşme sonrası sıcaklıklardaki  $A/A_0$  değerlerinin karışım oranı ile değişimi.



Şekil.105 PS(COOH)/PVC karışım örneklerinin içindeki PVC miktarı hesaba katılarak bulunan jel kesrinin karışım oranı ile değişimi.



Şekil. 106 PS/PVC karışım örneklerinin içindeki PVC miktarı hesaba katılarak bulunan jel kesrinin karışım oranı ile değişimi.

#### 4 TARTIŞMA ve SONUÇ

PVC'nin ısisal özellikleri ve ısisal bozunma tepkime mekanizması hakkında yapılan çalışmalar yıllardır literatürde yoğun ilgi kaynağı olmaktadır. PVC'nin ısisal bozunma tepkimeleri ile ilgili yayınlardan çıkarılan ortak sonuçlara göre; PVC'nin ısisal bozunma mekanizması şu şekilde özetlenebilir: İşi etkisiyle, ilk önce PVC de en zayıf bağ olan C-Cl bağı kırılır ve bir serbest radikal oluşur. Bu radikal en yakın metilen grubundan bir hidrojen atomunu koparırsa bir molekül HCl açığa çıkar ve PVC zinciri üzerinde bir çift bağ oluşur. Allilik aktivasyon nedeniyle bu aşamadan sonra HCl çıkışı dahada kolaylaşır ve yan grup soyulma tepkimesi ile HCl çıkışı zincir boyunca devam ederek PVC üzerinde konjuge çift bağlar meydana getirir. Konjuge çift bağ oluşumu PVC'nin renklenmesine neden olur. Oluşan konjuge polien yapısının uzunluğuna bağlı olarak ısıtılmış PVC örneklerin rengi açık sarıdan koyu kahverengi hatta siyaha kadar değişebilir. Ayrıca, UV-VIS spektrumlardaki gözlenen piklerin şiddeti artarken pik maksimumları da büyük dalgaboylarına doğru kayar.

İşi etkisiyle C-Cl bağıının kırılmasıyla meydana gelen radikal komşu PVC üzerindeki bir başka radikal ile birleşir ise çapraz bağlanma olur ve PVC 'nin molekül kütlesi artar. Özellikle oksidatif ortamlarda daha baskın olan zincir kesilmesi ise PVC'nin molekül kütlesinde azalmalara neden olur. Bu nedenle, işi etkisiyle PVC' de meydana gelen değişiklikler spektrofotometrik ve viskozimetrik yöntemlerle kolayca izlenebilir.

İşi etkisiyle PVC' de meydana gelen tepkimelerden konu ile ilgili olarak en önemlileri çift bağ oluşumu ve çapraz bağlanma tepkimeleridir. Literatüre göre HCl çıkışı tepkimesinin hızı, PVC örneğinin molekül kütlesinin artmasıyla azalır. [Imoto 1953] Diğer taraftan inert atmosferde ısıtılan PVC örneklerinin molekül kütlesinde başlangıçtan itibaren çapraz bağlar nedeniyle bir artış gözlenmesine rağmen oksidatif ortamda önce zincir kesilmesi nedeniyle bir azalma sonra çapraz bağlanma nedeniyle bir artma gözlenmektedir.

İster işi etkisiyle olsun ister ışınıla olsun PVC de çapraz bağlar ile çift bağ oluşumu birbirlerine karşıt ve aynı zamanda olan iki önemli tepkimedir. Ancak, çift bağ oluşumu, ortamdaki radikalın mevcut çift bağa katılması durumunda iki çapraz bağlanma yapabilecek radikal meydana geldiği için çapraz bağlanma oluşumunu artırılabilir. [Matsusaka, 1984]

PVC'nin ısisal jelleşme sıcaklığı molekül kütlesi ile doğru orantılı olarak değişmektedir.[Basan, 1986] Nitekim,  $M_v = 90000$  olan PETKİM ürünü PVC nin ısisal jelleşme sıcaklığı  $234^{\circ}\text{C}$  olarak bulunurken, bu çalışmada kullanılan  $M_v = 111000$  olan PVC' nin (Breon-113) ısisal jelleşme sıcaklığı  $253^{\circ}\text{C}$  bulunmuştur.

Polistiren'in ısisal bozunmasında ise PVC'nin aksine zincir uçlarında başlayan depolimerleşme tepkimesi baskındır. Polistiren'in uçlu ısisal bozunma ürünlerin analizinde en fazla (~%64) stiren ile dimer trimerlerin gözlenmesi de bunu doğrular [Madorsky 1967], Karboksil uç gruplu polistirenin uçlu ısisal bozunma ürünlerinde de ana ürün stiren ve bazı oligomerlerin yanı sıra azda olsa CO ve CO<sub>2</sub> görülmektedir. [Tasneem, 1991]

Bu çalışmada, ısı etkisiyle çapraz bağlanmaya eğilimi olan PVC ile depolimerleşmeye eğilimi olan polistiren PS ve karboksil uç gruplu polistiren, PS(COOH)'in, film halindeki karışım örneklerinde birlikte ısıtıldığı zaman PVC'nin ısisal jelleşmesine etkisi ve bu etkinin karışım oranı ile değişimi incelenmiştir.

Şekil 1 de görüldüğü gibi, ısıtılmış PVC örneklerinin limit viskozite sayıları yaklaşık 250°C da kadar sıcaklıkla çok az artmış ve bu sıcaklıktan sonra oluşan jel kısmın süzülerek ortamdan uzaklaştırılması nedeniyle birdenbire düşmüştür. Limit viskozite sayısının sıcaklıkla değişiminde görülen bu dönüşüm noktasına göre PVC'nin ısisal jelleşme sıcaklığı 253°C olarak belirlenmiştir. Şekil 2 de PS(COOH) nin limit viskozite sayısı sıcaklıkla çok az değişerek sürekli bir azalma göstermiş ve limit viskozite sayısının sıcaklıkla değişiminde bir kesiklik gözlenmemiştir. Dolayısıyla PS(COOH) nin ısisal jelleşme sıcaklığı belirlenmemiştir. Zaten, ısisal olarak depolimerleşme'ye uğrayan polimerlerde ısisal jelleşme beklenemez. Şekil 3 te ise PS nin limit viskozite sayısındaki sıcaklıkla azalma PS(COOH)'e göre daha fazladır. Özellikle 300°C dan sonra azalma hızı daha da artmaktadır.

%10-%90 arasındaki oranlarda PS(COOH) ve PS içeren PS(COOH) /PVC ile PS/PVC karışım örneklerinin Şekil 4-21 de görülen limit viskozite sayısı-sıcaklık grafiklerinde özellikle jelleşme öncesinde limit viskozite sayısının sıcaklıkla değişimi genel olarak PVC nin davranışına benzemektedir. Yani, karışım örneklerinin limit viskozite sayıları çok az artmakta jelleşme noktasında ise birdenbire sonsuz olmaktadır. Jelleşme sonrasında ise örneklerin sol kısımlarına ait limit viskozite sayıları %50 karışım oranına kadar PVC ye benzer şekilde sıcaklıkla birdenbire düşmektedir; bundan daha büyük karışım oranlarına sahip örneklerin limit viskozite sayılarının sıcaklıkla değişim hızı dahada yavaşlamaktadır. Şekil 4-21 de görülen grafiklerin dönüşüm noktalarından elde edilen limit viskozite sayıları Şekil 22 de de görüldüğü gibi %50 karışım oranına kadar pek değişmemektedir. Bu karışım oranından sonra örneklerin ısisal jelleşme sıcaklıklarını karışım oranı ile düzgün bir hızla azalmaktadır. Ayrıca, PS de karboksil uç gruplarının bulunmasının ısisal jelleşme sıcaklığına etkisi Şekil 22 de görüldüğü gibi çok azdır. PS(COOH) ve PS nin ısisal jelleşme sıcaklıklarına

yaptıkları etkilerin birbirlerine yakın olması, PS(COOH) in molekül kütlerinin büyülüğu dolayısıyla uç grup etkisinin fazla olmamasından ileri gelebilir.

Bunlara ek olarak, Şekil 4-21 de değişik oranlardaki karışım örneklerinin belli bir sıcaklığındaki limit viskozite sayıları saf PVC, PS(COOH) ve PS nin limit viskozite sayıları ile karşılaştırıldığında, tüm örneklerin belli bir sıcaklığındaki limit viskozite sayılarının özellikle jelleşme öncesinde PVC ile PS(COOH) veya PS nin limit viskozite sayıları arasında yer aldığı görülmektedir. Örneklerin karışım oranı arttıkça belli bir sıcaklığındaki limit viskozite sayıları azalarak PS(COOH) veya PS değerlerine yaklaşmaktadır. Bu davranışı daha iyi görebilmek için PS(COOH) /PVC ile PS/PVC örneklerinin 240°C ve 270°C deki limit viskozite değerlerinin karışım oranı ile değişimini Şekil 86 ve Şekil 87 de verilmiştir. Jelleşme öncesi bölgeyi temsil eden 240°C daki örneklerin limit viskozite sayıları Şekil 86 da görüldüğü gibi PS(COOH) oranı arttıkça azaldığı halde; jelleşme sonrasında bulunan 270°C da örneklerin limit viskozite sayıları karışım oranı ile pek değişmemektedir. Bu davranış, ısıtma sırasında PVC nin yanında PS(COOH) in bulunmasının, jelleşme öncesinde PVC nin molekül kütlesinde bir azalmaya neden olduğunu veya seyrelme etkisini göstermektedir. PS/PVC karışımılarına ait Şekil 87 de ise jelleşme öncesinde 240°C da ısıtılmış örneklerin limit viskozite sayıları karışım oranı ile önce nisbeten hızla azalmakta sonra yavaşlamaktadır. Jelleşme sonrasında 270°C da ısıtılmış örneklerin limit viskozite sayıları ise karışım oranı ile önce nisbeten hızla artmaka %50 karışım oranından sonra hemen hemen sabit kalmaktadır.

PVC karışımılarındaki PS örneklerinde karboksil uç gruplarının bulunmasının PVC nin ısısal bozunması sırasında molekül kütlesine etkisini anlayabilmek için 240°C ve 270°C da ısıtılmış PS(COOH) /PVC ve PS/PVC örneklerinin limit viskozite sayılarının karışım oranı ile değişimini Şekil 88 ve Şekil 89 da gösterilmiştir. Bu şekillerde görüldüğü gibi, jelleşme öncesindeki belli bir sıcaklıkta ısıtılmış aynı karışım oranındaki bir PS(COOH)/PVC örneğinin limit viskozite sayısı PS/PVC örneğinin limit viskozite sayısından daha küçüktür. Bu davranış, PVC karışımılarındaki PS örneklerinde karboksil uç gruplarının bulunması ile ısı etkisiyle karışım örneklerinde meydana gelen zincir kesilmesi tepkimesinin özellikle jelleşme öncesinde kolaylaştığını göstermektedir.

Yine, PVC karışımılarındaki PS(COOH) ve PS bulunmasının PVC nin ısısal bozunması sırasında çift bağ oluşumuna etkisini anlayabilmek için 240°C ve 270°C da ısıtılmış PS(COOH) /PVC ve PS/PVC örneklerinin 326 nm dalga boyundaki absorbans değerlerinin karışım oranı ile değişimini Şekil 90 ve Şekil 91 de gösterilmiştir. Şekil 90 dan görüldüğü gibi 240°C de ısıtılmış PS(COOH) /PVC karışım örneklerinin 326 nm dalga boyundaki absorbans değerleri karışım oranı ile hemen hemen doğrusal bir şekilde azaldığı halde, 270°C de ısıtılmış PS(COOH) /PVC karışım örneklerinin 326 nm

dalgaboyundaki absorbans değerleri karışım oranı ile önce nisbeten hızlı bir şekilde azalmakta, %30 karışım oranından sonra da absorbans değerlerinin karışım oranı ile değişimi iyice yavaşlamaktadır. Halbuki, 240°C ve 270°C da ısıtılmış PS/PVC karışım örneklerinin 326 nm dalgaboyundaki absorbans değerleri karışım oranı ile birbirine paralel şekilde azaldığı şekil 91 de görülmektedir. Isıtılmış PS(COOH) /PVC ve PS/PVC örneklerinin 326 nm dalgaboyundaki absorbans değerlerinin karışım oranı ile azalması, karışımda bulunan PS(COOH) ve PS nin ısı etkisiyle karışım örneklerinde çift bağ oluşumunun nisbeten engellendiğini göstermektedir.

PVC karışımılarındaki PS örneklerinde karboksil uç gruplarının bulunmasının PVC nin ısisal bozunması sırasında karışım örneklerinde çift bağ oluşumuna etkisini anlayabilmek için de 240°C ve 270°C da ısıtılmış PS(COOH) /PVC ve PS/PVC örneklerinin 326 nm dalgaboyundaki absorbans değerlerinin karışım oranı ile değişimi şekil 92 ve Şekil 93 de gösterilmiştir. Bu şeklärde görüldüğü gibi, jelleşme öncesindeki belli bir sıcaklıkta ısıtılmış aynı karışım oranındaki bir PS(COOH)/PVC örneğinin 326 nm dalgaboyundaki absorbans değeri genellikle jelleşme öncesindeki 240°C da PS/PVC örneğinin absorbans değerinden daha büyütür. Jelleşme sonrasında 270°C da ise tersine aynı sıcaklık ve aynı dalgaboyundaki PS(COOH) içeren örneklerin absorbans değerleri PS içeren örneklerinkinden daha küçütür. Bu davranış, PVC karışımılarındaki PS örneklerinde karboksil uç gruplarının bulunması ile ısı etkisiyle karışım örneklerinde meydana gelen çift bağ oluşumunun özellikle jelleşme öncesinde çok azda olsa kolaylaştığını, jelleşme sonrasında ise zorlaştığını göstermektedir.

PS(COOH) /PVC ve PS/PVC karışım örneklerinin 270°C de elde edilen jel kesri değerlerinin karışım oranı ile değişimi, ise Şekil 94 de verilmiştir. Buradan da Şekilden görüldüğü gibi, hem PS(COOH) /PVC hem de PS/PVC karışım örneklerine ait jel kesri değerleri karışım oranı ile doğrusal bir şekilde azalmaktadır. Bu da, ısıtma sırasında PVC nin yanında jelleşmeyen aksine ısisal depolimerleşmeye uğrayan PS(COOH) ve PS nin bulunmasından kaynaklanmaktadır.

Karışım örneklerine ait jel kesri değerlerinin karışım oranı ile doğrusal azalması, karışım içindeki PS(COOH) ve PS miktarlarının artması nedeniyle ısisal jelleşmeye uğrayan PVC nin seyrelmesinden ileri gelebilir. Şekil 94 de jel kesrinin karışım oranı ile değişiminde olduğu gibi doğrusal olmasada, Şekil 86–89 da görülen örneklerde ait limit viskozite sayılarının; Şekil 90–93 de görülen absorbans değerlerinin karışım oranı ile azalması da yine karışımda bulunan PVC nin seyrelmesinden ileri gelebileceğini akla getirmektedir. Bunu açıklığa kavuşturmak için, her örneğin belli bir sıcaklığındaki limit viskozite sayılarının ısıtılmamış haldeki çözeltilerinin limit viskozite sayılarına oranı

$[\eta]/[\eta_0]$  karışım oranlarına karşı grafiğe geçirilmiş ve Şekil 97–100 de; her örneğin belli bir sıcaklıktaki absorbans değerlerinin ısıtılmamış haldeki çözeltilerinin absorbans değerlerine oranı A/A<sub>0</sub> karışım oranlarına karşı grafiğe geçirilmiş ve Şekil 101–104 de; her örnekten belli bir sıcaklıktaki elde edilen jel miktarlarının karışım içindeki PVC miktarlarına oranı karışım oranlarına karşı grafiğe geçirilmiş ve Şekil 105–106 da verilmiştir.

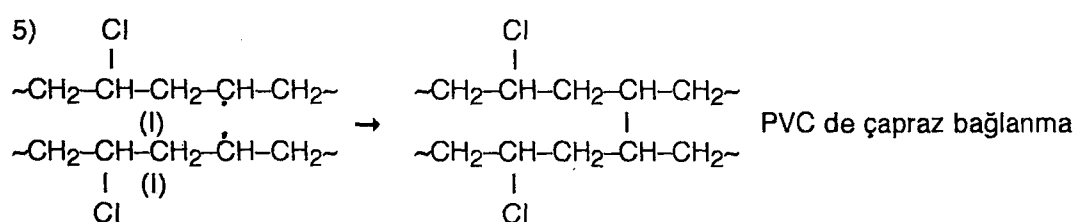
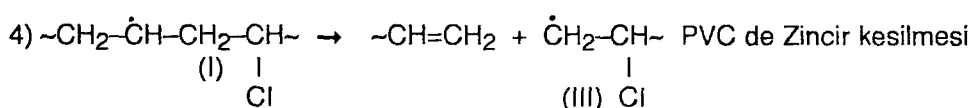
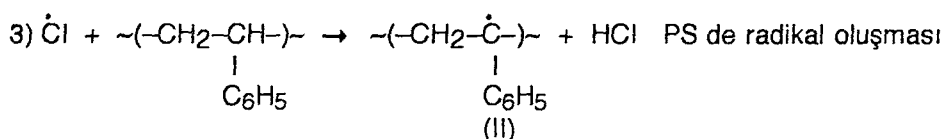
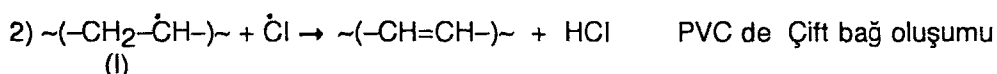
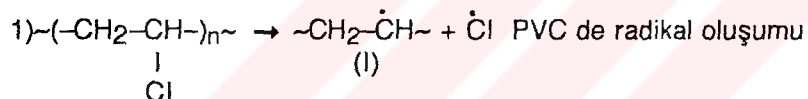
Şekil 97 ve Şekil 98 de görüldüğü gibi jelleşme öncesinde bulunan 230, 240 ve 250°C da ısıtılan PS(COOH)/PVC ve PS/PVC örneklerin  $[\eta]/[\eta_0]$  oranları karışım oranı ile pek değişmemekte ve genellikle her örnek için  $[\eta]/[\eta_0]$  değeri bir veya bundan biraz fazladır.  $[\eta]/[\eta_0]$  değerinin birden az olması bu sıcaklıklarda ısıtılan örneklerde zincir kesilmesi tepkimesinin, birden büyük olmasında birleşme ile uzama veya çapraz bağlanma tepkimesinin baskın olduğunu göstermektedir. [Basan ve Güven 1983] Buna göre, PS(COOH)/PVC ve PS/PVC karışımılarında jelleşme öncesi sıcaklıklarda paralel yürüyen zincir kesilmesi ve çapraz bağlanma tepkimelerinin birbirlerine üstünlük kuramadığı söylenebilir. Ancak, bazı örneklerin  $[\eta]/[\eta_0]$  oranlarının birden biraz büyük olması, birleşme ile uzama tepkimesinin olabileceği izlenimini vermektedir. Şekil 99 ve Şekil 100 den ise, jelleşme sonrasında bulunan 260, 270 ve 280°C da ısıtılan PS(COOH)/PVC ve PS/PVC örneklerinin  $[\eta]/[\eta_0]$  oranlarının karışım oranları ile artışı görülmektedir. Ancak, jelleşme sonrasında bu yüksek sıcaklıklarda ısıtılan tüm örneklerin  $[\eta]/[\eta_0]$  değerlerinin birden çok küçük olması, jel kısmı ayrıldıktan sonra geri kalan çözünebilir sol kısımdaki PVC, PS(COOH) ve PS zincirlerinin zincir kesilmesiyle çok küçüldüğünün bir işaretini kabul edilebilir. Değişik karışım oranlarındaki PS(COOH)/PVC ve PS/PVC örneklerinin  $[\eta]/[\eta_0]$  oranlarının karışım oranı ile artması da bu küçük zincir parçalarının kendi aralarında birleşerek uzama tepkimesi verebileceğini akla getirmektedir.

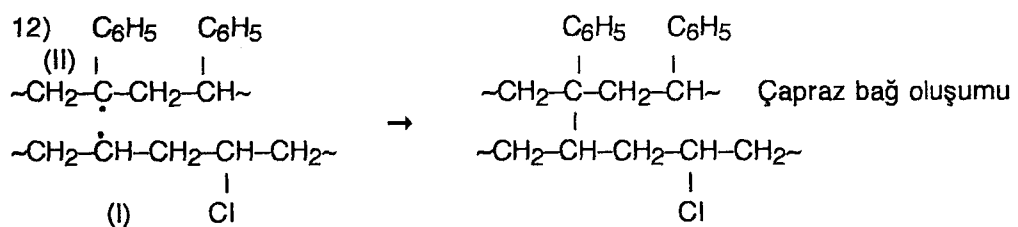
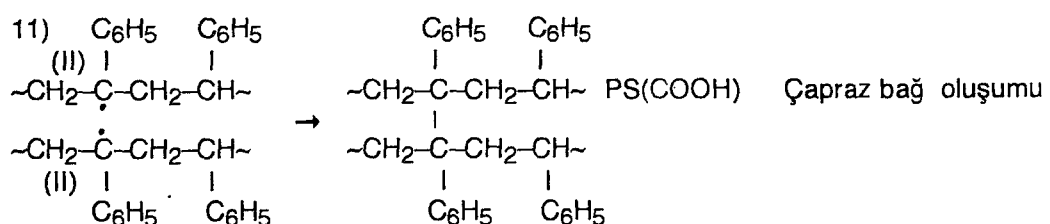
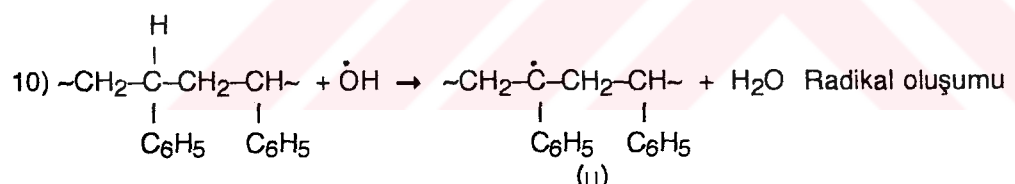
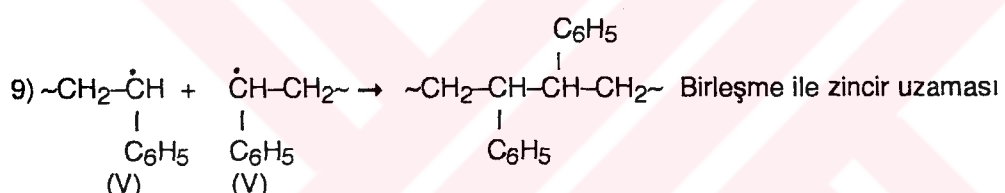
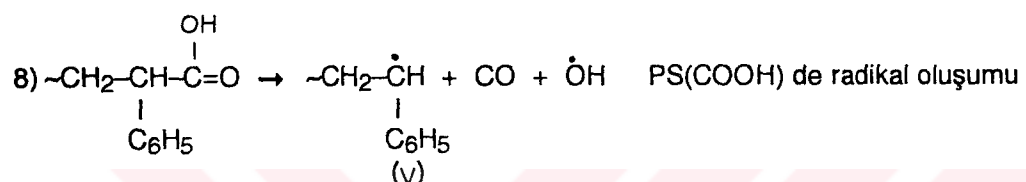
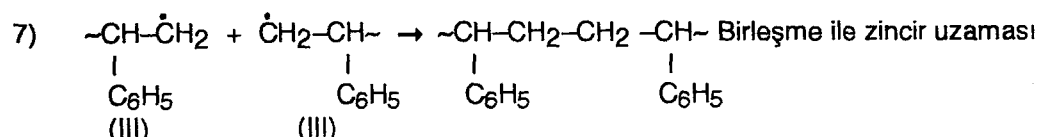
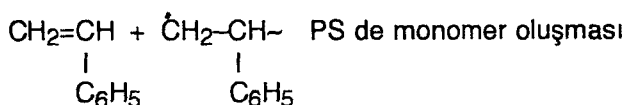
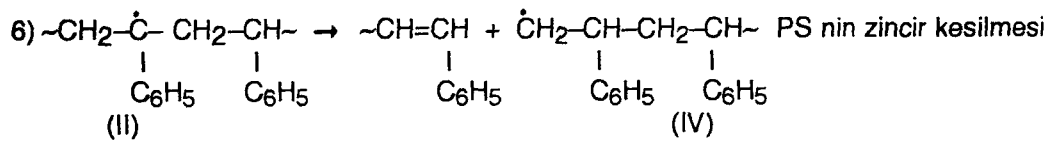
Şekil 101–104 deki grafikler gerek jelleşme öncesi gerekse jelleşme sonrası sıcaklıklarda ısıtılan örneklerin çözelti ve süzüntülerine ait A/A<sub>0</sub> oranlarının genellikle PS(COOH)/PVC örneklerinde %10; PS/PVC örneklerinde %20 karışım oranından sonra karışım oranı ile azaldığını göstermektedir. A/A<sub>0</sub> oranlarının artan PS(COOH) ve PS ile azalması, çift bağ oluşumuna neden olan PVC zincirlerinin bu sıcaklıkta ısısal bozunmaya pek uğramayan PS(COOH) ve PS molekülleri tarafından kafeslenerek Cl radikalının komşu karbondan hidrojen abstraksiyonu için difüzlenmesini engellemesi nedeniyle PVC zincirlerinde çift bağ oluşumunu engellediği şeklinde yorumlanabilir.. Yine, aynı karışım oranlarındaki PS(COOH)/PVC örneklerine ait A/A<sub>0</sub> oranlarının PS/PVC örneklerine ait A/A<sub>0</sub> oranlarından küçük olması da PS de bulunan karboksil

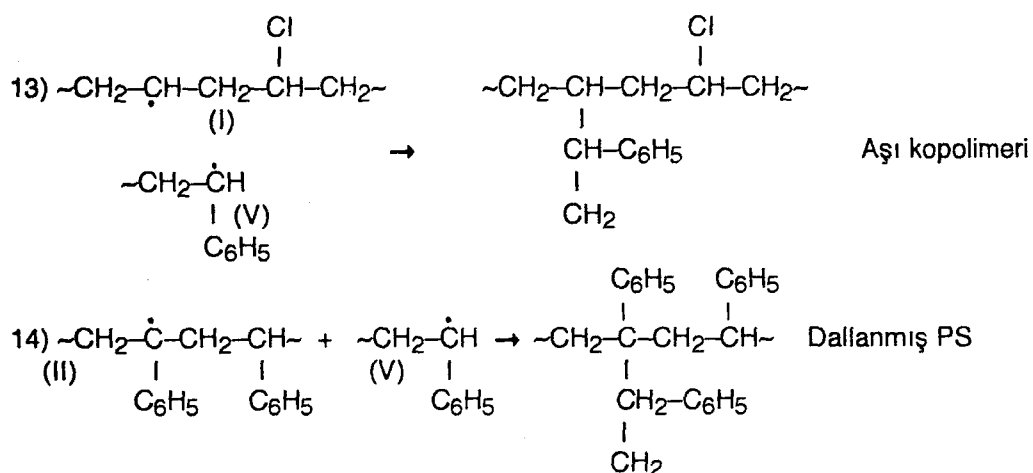
uç gruplarının PVC zincirlerinde daha az çift oluşumuna neden olduğunu göstermektedir.

Şekil 105 de her örnekten 260, 270 ve 280°C da elde edilen jel miktarlarının karışım içindeki PVC miktarlarına oranları %50 karışım oranına kadar 1 dolayında olup karışım oranı ile çok az artmaka bundan sonra ise özellikle 270 ve 280°C de çok hızlı artmaktadır. Şekil 106 da görüldüğü gibi her örnekten 260, 270 ve 280°C da elde edilen jel miktarlarının karışım içindeki PVC miktarlarına oranları karışım oranı ile azalmaktadır ve hemen hemen her değer birden küçüktür. PS/PVC karışımlarında jel kesri karışım oranı ile azalırken PS(COOH)/PVC karışımlarında artması ve bu artışın 1 değerinden büyük olması, PS(COOH)/PVC karışımlarında PVC nin yanısıra PS(COOH) moleküllerinin de ısisal jelleşmeye uğrayarak jel miktarının artıldığı Şeklinde yorumlanabilir. Jel kesri değerinin yüksek PS(COOH) içeren karışım örneklerinde ve yüksek sıcaklıklarda 1 değerinden daha büyük olması bu yorumu kuvvetlendirmektedir.

Elde edilen bu deneyel sonuçlara ve literatür bilgilerine göre, ısı etkisiyle karışım örneklerinde meydana gelen kimyasal tepkimeler için aşağıdaki mekanizmalar önerilebilir.







Önerilen bu mekanizmadaki (1) tepkimesinde olduğu gibi, ısıtılan PVC zincirlerindeki en zayıf bağ olan C-Cl bağlı kırılarak zincir içinde bulunan karbon atomlarında tek elektron içeren bir makro radikal (I) ile bir klor radikali meydana gelir. Bu klor radikali zincir içindeki radikale komşu hidrojen atomu ile birleşerek PVC zincirinde bir çift bağ oluşumuna ve bir molekül HCl çıkışına neden olur. Ayrıca, PVC moleküllerinden ayrılan klor radikali PS moleküllerindeki üçüncü (tersiyel) karbondaki hidrojen ile birleşerek de polistril radikalleri (II) oluşturur. PVC zincirlerinde oluşan (I) radikali zincir kesilmesine uğrayarak zincir ucunda çift bağ bulunan bir küçük PVC molekülü ile zincir ucundaki karbonda tek elektron içeren bir radikal (III) verir. PVC de zincir içi karbonlarda bulunan radikallerin (I) birleşmesi ile PVC çapraz bağlanma tepkimesi oluşur. Polistril radikalleri de (II) zincir kesilmesi tepkimesine uğrayarak zincir ucunda çift bağ bulunan daha küçük bir PS molekülü ile yine zincir ucundaki karbonda tek elektron içeren başka bir polistril radikalı (IV) verir. Bu radikaller de, depolimerleşmeye uğrayarak stiren molekülü ile azalan sayıda tekrarlanan birim içeren (IV) radikalı tipinde polistril radikalleri verir. Ortamda bulunan (IV) radikalı tipindeki radikaller uçuca birleşerek birleşme ile zincir uzamasına sebep olurlar. PS(COOH) moleküllerinde ısı etkisiyle radikal oluşumu PS den biraz farklıdır. Bu moleküllerde karboksil uç grubu ısı etkisiyle parçalanarak zincir ucundaki üçüncü karbonda tek elektron içeren yeni tür polistril radikalleri (V), OH radikali ve CO molekülleri verir. (V) radikalleri birbirleriyle birleşerek PS de zincir uzamasına neden olur. Meydana gelen OH radikalleri ise, PS moleküllerindeki üçüncü karbonlardaki hidrojen atomlarını kopararak (II) türünde polistril radikalleri ile H<sub>2</sub>O molekülleri verir. (II) türündeki Polistril radikalleri birbirleriyle birleşerek çapraz bağ tepkimelerinin oluşmasına neden olurlar. PVC den oluşan (I) türü radikaller ile PS den oluşan (II) türü radikaller birleşerek PVC PS zincirlerinden oluşan ağı yapı (jel) meydana getirirler. Ayrıca, (V) türü polistril

radikalleri (I) türü radikaller ile birleşerek PVC-g-PS aşısı kopolimerleri, (II) türü polistril radikalleri ile birleşerek da dallanmış PS molekülleri verirler.

Yukarıda verilen ısisal bozunma mekanizmaları ile elde edilen deneysel sonuçlar uyum içindedir. Jelleşme öncesi sıcaklıklarda ısıtılan karışım örneklerine ait  $[\eta]/[\eta_0]$  değerlerinin 1 dolayında olması ve karışım oranı ile çok fazla değişmemesi, bu sıcaklıklarda ısıtılan örneklerin ısisal bozunmasında mekanizmada verilen zincir kesilmesi tepkimelerinin fazla rol oynamadıklarını göstermemektedir. (Şekil 97, 98). Jelleşme sonrası sıcaklıklarda ısıtılan karışım örneklerine ait  $[\eta]/[\eta_0]$  değerlerinin düşük karışım oranlarında 1 den çok küçük olmasına rağmen, karışım oranı arttıkça bu değerlerin artarak 1 dolayına gelmesi örneklerin ısisal bozunmasında bu sıcaklıklarda ana tepkime olan çapraz bağlanma tepkimesinin yanında zincir kesilmesi tepkimeleri ve birleşme ile zincir uzaması tepkimelerinin birlikte yer aldığınnını göstermektedir (Şekil 99, 100). Çeşitli sıcaklıklarda ısıtılan karışım örneklerine ait  $A/A_0$  değerlerinde düşük karışım oranlarında biraz artış olmasına rağmen, genelde karışım oranı arttıkça bu değerlerin azalması, örneklerin ısisal bozunmasında yukarıdaki mekanizmada verilen çift bağ oluşumu tepkimelerinin jelleşme öncesinde etkin olduğunu göstermektedir (Şekil 101-104). Şekil 105 de görüldüğü gibi, ısıtılan örneklerden elde edilen jel miktarlarının karışım örnekleri içindeki PVC miktarlarına oranlarının, PS(COOH)/PVC karışımılarında %50 karışım oranına kadar maksimum değer (1) dolayında olurken yüksek oranlarda ve özellikle yüksek sıcaklıklarda karışım oranı ile artması mekanizmada verilen çapraz bağlanma ile jel oluşumuna PS(COOH) nin de katıldığı göstermektedir. Şekil 106 dan görüldüğü gibi, ısıtılan örneklerden elde edilen jel miktarlarının karışım örnekleri içindeki PVC miktarlarına oranlarının PS/PVC karışımılarında 1 den az olması ve karışım oranı ile pratik olarak değişmemesi PS nin çapraz bağlanma ile jel oluşumuna herhangi bir katkıda bulunmadığını göstermektedir. Zaten, PS/PVC karışımılarının ısisal bozunması üzerine yapılan çalışmalarda da herhangi bir jelleşme gözlenmemiştir. [Dodson 1976] Buna rağmen, Şekil 85 den görüldüğü gibi, PS/PVC karışımılarında %50 karışım oranından sonra, karışım örneklerinin ısisal jelleşme sıcaklıklarının düşmesi, PS ve PS(COOH)'in PVC de ısı etkisiyle oluşan Cl radikallerinin PVC zincirlerine difüzyonu önleyerek "radikal sink" etkisi yaptığıını akla getirmektedir. Böylece, difüzyonu önlenen Cl radikalleri H abstraksiyonu yapmadığı için PVC zincirindeki radikallerin çapraz bağlanma olasılığını artırır. Çift bağ oluşumunun karışım oranı ile azalması da bu görüşü desteklemektedir (Şekil 101-104). PS(COOH)/PVC karışımılarında ısisal jelleşme sıcaklığının PS/PVC karışımılarına göre biraz daha fazla düşmesi ise, PS(COOH) da bulunan karboksil uç

gruplarının ısisal bozunmasında meydana gelen OH radikallerin ortamındaki radikal derişimlerinin artmasından ileri geldiği düşünülmektedir.

Sonuç olarak, PS(COOH)/PVC ve PS/PVC karışımılarında ısisal jelleşme sıcaklıkları %50 oranına kadar pek değişimmemekle birlikte bu orandan sonra karışım oranı arttıkça jelleşme sıcaklığının azaldığı söylenebilir. Bu da, PVC nin PS ve PS(COOH) ile ısıtıldığında daha kolay jelleşeceği anlamına gelmektedir.

## 5 . KAYNAKLAR

- 1.** **Akovalı**, G., 1984 Temel ve Uygulamalı Polimer Kimyası, Ankara.
- 2.** **Basan**, S., ve Güven, O., 1983  $\gamma$  – Işınlarının Vinil Klorür/Vinil Asetat Kopolimerlerinin Bozunmasına Etkisi C. Ü. Fen Bilimleri Enstitüsü Sivas.
- 3.** **Basan**, S., Yiğit, F., Güven, O., 1985 PVAC'ın Jelleşme Dozunun spektrofotometrik yöntemle tayini II. Makromolekül simpozyumu, Ankara.
- 4.** **Basan**, S., Karadağ, E., 1986 "PVC'ün ısisal jelleşmesi noktasının ısıtma hızı ve molekül kütlesi ile değişiminin incelenmesi". Yüksek Lisans Tezi C.Ü. Fen Bilimleri Enstitüsü, Sivas
- 5.** **Basan**, S., 1988 Polimer kimyasına giriş ders notları Sivas.
- 6.** **Basan**, S., 1991 ısisal analiz yöntemleri ders notları Sivas.
- 7.** **Basan**, S., 1991 Determination of Thermal Gelation of a Vinylidene Chloride/Acrylonitrile copoymer by a Spectrophotometric Technique. Polymer Degradation and Stabilization, 33, 429–440
- 8.** **Basan**, S., 1992 Karboksil uç gruplu polistiren/poli(vinil klorür) karışımlarının ısisal bozunması VIII. Kimya ve Kimya Mühendisliği sempozyumu İstanbul.
- 9.** **Basan**, S., 1993 contributions of gel sol and Fractions to the Thermal Stability of  $\gamma$ -irradiated Poly(vinyl acetate) Polymer Degradation and Stability 39 151–155
- 10.** **Baysal**, B., 1981 Polimer Kimyası , s 33 ODTÜ yayınları Ankara.
- 11.** **Billmeyer**, F.W., Jr. 1970 Textbook of Polymer Science, Wiley–interscience, New York
- 12.** **Braun**, D., Edited by Geuskens, G., 1975 Degradation and Stabilization of Polymers, 23–42, Applied sciense publisher LTD. London.
- 13.** **Brydson**, J. A., 1966 plastic Materials, D. Van Nostrand Co. Princeton.
- 14.** **Chang**, E.P. ve Salovey, R.J. 1974 Polym. Sci. Poly. Chem. Ed. 12–2927–2941
- 15.** **Charlesby**, A., 1960 Atomic Radiation and Polymers, Pergamon press, London,
- 16.** **Costa**, L., G, Camino., A, Guyat., M, Bert., A, Chiotis 1982 The role chain ends in the thermal degradation of anionic polystyrene Polymer Degradation and Stability S. 245–260
- 17.** **Dodson**, B., McNeill, I.C., 1976 Degradation of polymer mixtures. VI. blends of Poly(vinyl Chloride) with Polystyrene. Journal of Polymer Science: Polymer Chemistry Edition VOL. 14, 353, 364
- 18.** **Elias**, H.G., 1977 Macromolecules, Vol. 2, S. 913–18, John Wiley London.

- 19.** **Güven**, O., Deniz, V., Basan,S., and Tarhan, Ü., 1982 Spectrophotometric Determination of gelation dose in the  $\gamma$ - irradiation of Poly(Vinyl Chloride) 5<sup>th</sup>.sym. on Radiation Chemistry, 853–858,
- 20.** **Hazer**, B., 1993 Polimer Teknolojisi Trabzon.
- 21.** **Imoto**, M. and Otsu, T., 1953 J. inst. Polytech. 4C, 124, 269, 281, Osaka.
- 22.** **İvan**, B., Turksanyi, B., Nagy, T.T., Kelen, T., and Tudos, F., 1978 Photometric Determination of gel point in PVC Thermal Degradation polymer. 19, 351,
- 23.** **Küchler**, L., 1951 Polymerization Kinetic, S. 32, springer Verlag, Berlin.  
Basan, S., Yiğit, F., Güven, O., 1985 PVAC'ın jelleşme Dozunun spektrofotometrik yöntemle tayini II. Makromolekül simpozyumu, Ankara.
- 24.** **Madorsky**, S.I. 1967 Thermal Degradation of Organic Polymers, Interscience Publishers sayfa 47 New York.
- 25.** **Matusaka**, K., 1984 Secondary Reactions in Thermal Degradation of Poly(vinyl chloride) Journal of Sci. of The Hiroshima University, A, 48, 3,
- 26.** **Smith**, W.M., 1964 Manufacture of plastics, vol. 1, Reinhold Book. Corp., New York
- 27.** **Tager**, A., 1978 Physical Chemistry, of Polymers. Mir publishers, Moscow.
- 28.** **Tasneem**, K., 1991 Synthesis and Degradation Studies of polymer structures Based on Polystrene. Doktora tezi Glasgow.

## 6. ÖZGEÇMİŞ

10.01.1965 tarihinde İmranlı'da doğdu ilk ve orta öğrenimini İmranlı'da tamamladı. 1986 yılında Cumhuriyet Üniversitesi Fen-Edebiyat Fakültesine. Kimya Bölümüne kaydoldu ve 1990 yılında kimya bölümünden mezun oldu.

Eylül 1991 de Cumhuriyet Üniversitesi Fen Bilimleri Enstitüsünün açmış olduğu Yüksek Lisans sınavını kazandı.

Halen, Cuhuriyet Üniversitesi Fen-Edebiyat Fakültesi Kimya Bölümünde araştırma görevlisi olarak çalışmaktadır.

Hacıbayram ZENGİN

T.C. YÜKSEKÖĞRETİM KURULU  
DOKUMANTASYON MERKEZİ